

Obsah

- A. Teoretická část
- Úvod
- 1.0 PŘÍPRAVNÉ ÚVAHY
- 1.1 Formulace úlohy
- 1.2 Absolutní a relativní souřadnice modelu
- 1.3 Indikační páka a třetí vibroizolační stupeň
- 2.0 LAGRANGEOVY POHYBOVÉ ROVNICE
- 2.1 Kinetická energie systému
- 2.2 Vyjádření Lagrangeových operátorů
- 2.3 Levé strany Lagrangeových rovnic
- 2.4 Poznámka k druhé možnosti horizontální vibroizolace
- 2.5 Potencionální energie gravitačních sil
- 2.6 Obecný tvar pohybových rovnic
- 3.0 VAZEBNÍ PRVKY PRVNÍHO VIBROIZOLAČNÍHO STUPNĚ
- 3.1 Osově zatížená pneumatická pružina
- 3.2 Obecně zatížená pneumatická pružina
- 3.3 Pneumatická pružina umístěná v nůžkovém mechanizmu
- 3.4 Pneumatická pružina spojená s indikační pákou
- 3.5 Charakteristiky hydraulických tlumičů
- 3.6 Silový moment hydraulického tlumiče připojeného k mechanizmu podstavce
- 3.7 Zjednodušení odvozených vztahů ve zvláštním případě
- 3.8 Dorazové pryžové bloky a jejich charakteristiky
- 3.9 Moment síly dorazové pružiny
- 3.10 Dorazový tlumič, jeho charakteristiky
- 4.0 DRUHÝ VIBROIZOLAČNÍ STUPEŇ
- 4.1 Empirické poznatky
- 4.2 Reologické modely viskoelastických materiálů
- 4.3 Separovaný model
- 4.4 Integrovaný model
- 4.5 Poznámka k realizaci dynamické zátěže

U302 S

KMP 87A, 1
2. sam. příl. - JSO: experimentální a teoretické
momenty, simulace

TECHNICKÁ UNIVERZITA V LIBERCI
Univerzitní knihovna
Voroněžská 1329, Liberec 1

PSC 46117

- 5.0 REGULACE PRVNÍHO VIBROIZOLAČNÍHO STUPNĚ
 - 5.1 Polohový regulátor a některé jeho typy
 - 5.2 Náhon polohového regulátoru
 - 5.3 Regulace pneumatické pružiny
 - 5.4 Škrtící ventil
 - 5.5 Regulace pneumatické pružiny s přídavným objemem
 - 5.6 Poznámka k charakteru škrtícího proudu v rovnovážné poloze
 - 6.0 ZKRÁCENÝ SYSTÉM
 - 6.1 Pohybové rovnice zkráceného systému bez třetího vibroizolačního stupně
 - 6.2 Rovnovážná poloha
 - 6.3 Stabilita rovnovážné polohy nekorigovaného systému
 - 6.4 Analýza podmínky stability ve zvláštních případech
 - 6.5 Stabilita rovnovážné polohy korigovaného systému
 - 6.6 Stabilita rovnovážné polohy systému s přídavným objemem
 - 6.7 Stabilita rovnovážné polohy systému s více přídavným objemem
 - 6.8 Stabilita rovnovážné polohy systému s přídavnými objemy a dlouhým potrubím
 - 7.0 OBECNÝ SYSTÉM
 - 7.1 Matice hmotnosti a tlumení
 - 7.2 Poznámka k řešení a integraci pohybových rovnic
 - 7.3 Rovnovážná poloha systému
 - 7.4 Stabilita rovnovážné polohy
 - 8.0 Závěr
- Literatura

ÚVOD.

Řešení úlohy řízené vibroizolace těla řidiče na sedačce spočívá v analýze dynamického systému tvořeného základním modelem lidského těla spočívajícího na několika vibroizolačních stupních. Přitom je třeba zdůraznit, že u tohoto konkrétního modelu s více stupni volnosti je nutné provést nahradu kontinuálně diskrétně umístěnými vayebními prvky; i když budeme mít na zřeteli vysoký stupeň věrnosti a přesnosti modelu, jsme nuceni se omezit jen na určitý frekvenční rozsah popisujících proměnných.

První vibroizolační stupeň představuje pružící podstavec s nůžkovým mechanizmem (jeden stupeň volnosti) a je určen k vertikální vibroizolaci, druhý vibroizolační stupeň je tvořen uložením těla řidiče na viskoelastickém materiálu sedáku a opěráku. Omezíme se na obecný rovinný pohyb těla řidiče v rovině vertikální a podélné horizontální osy kabiny, který má tři stupně volnosti. Třetí vibroizolační stupeň je přídavný (může a nemusí být realizován) a představuje podélnou horizontální vibroizolaci buď základny sedáku nebo základny celé sedačky. Tělo řidiče je nahrazeno tříhmotovým modelem - první hmota je rám modelu ve tvaru opěrných prvků těla řidiče a spočívá na druhém vibroizolačním stupni - na rámu jsou pak zavěšeny dvě hmoty na lineárních pružinách a tlumičích, jejichž parametry jsou voleny tak, aby v oblasti frekvencí nižších než 12 Hz souhlasily mechanická impedance modelu a standartního lidského těla. Úplný mechanický systém má tedy šest resp. sedm stupňů volnosti a je doplněn diferenciálními rovnicemi popisujícími regulaci pneumatické pružiny, případně zkracený výtok do přídavného objemu.

V převážné většině prací je úplný mechanický systém nahrazen pouze prvním vibroizolačním stupnem, zatíženým výslednou tíhou horní základny pružícího podstavce, sedáku, opěráku a redukovaného těla sedícího řidiče.

Nazveme tento systém zkráceným a položme si otázku: do jaké míry nahrazuje zkrácený systém úplný a to jak v případě, kdy pneumatická pružina je spojena s přídavným objemem i v případě, kdy pracuje samostatně.

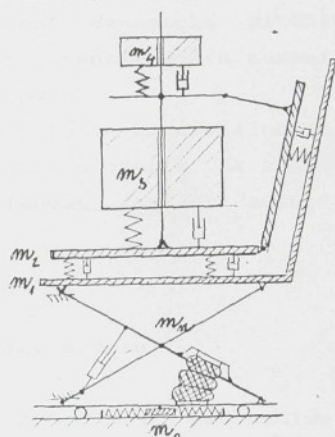
1.0 PŘÍPRAVNÉ ÚVAHY

1.1 Formulace úlohy

Omezíme se na rovinový pohyb dynamického systému, naznačeného na obr. 1,1 a nahrazeného modelem na obr. 1,2

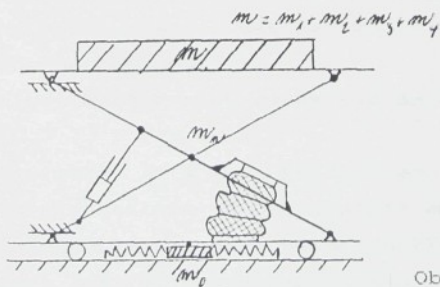


Obr. 1,1



Obr. 1,2

Tento náhradní model srovnáme, jak bylo řešeno v úvodu s modelem na obr. 1,3



Obr. 1,3

který je popisán t.zv.zkráceným systémem, obvykle vyšetřovaným; připomínáme, že horizontální vibroizolační stupeň byl nazván

třetím z důvodu, že většina sedaček jej nemá a pokud má pružící podstavec nůžkový mechanizmus, je vzájemné ovlivnění třetího a prvního stupně malé. Přitom má samozřejmě smysl porovnat úplný a zkrácený systém pokud jsou zároveň oba opatřeny horizontální vibroizolací či nikoliv.

Téma této práce vzniklo na základě sledování experimentu; zvláště při vyšších frekvencích a při buzení skokovou funkcí dochází k relativnímu pohybu hmot dynamické zátěže vůči rámu; rovněž přes řádné upevnění a přitažení dynamické zátěže popruhy k sedáku u opěráku je možné při intenzivnějším buzení pozorovat, že zátěž koná obecný rovinový pohyb.

Dynamická zátěž je popsána podrobně v [5]; principiálně je projektována pro vertikální vibroizolaci, uložením na sedák a opěrák však není možné striktně realizovat jen její svislý jednosměrný pohyb.

1.2 Absolutní a relativní souřadnice modelu

Při odvození pohybových rovnic nutno zadat souřadnice těžiště jednotlivých hmot jako funkce nezávislých souřadnic, za něž volíme

ξ_0 - relativní výchylka spodní základny pružicího podstavce,

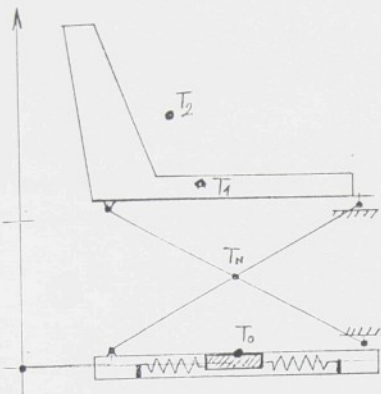
α - úhel nůžkového mechanizmu vůči spodní základně,

ξ_{11}, η_2 - souřadnice těžiště rámu dynamické zátěže,

β - úhel natočení rámu zátěže vůči horní základně nůžkového mechanizmu,

ζ_3, η_4 - souřadnice těžiště hmot dynamické zátěže vůči rámu.

Označime-li složky $\mathbf{r}(t)$, $\mathbf{w}(t)$ posunutí základny celého systému v horizontálním a vertikálním směru, platí pro souřadnice těžiště jednotlivých hmot za předpokladu, že těžiště nůžkového mechanizmu leží v jeho geometrickém středu:



$$x_0 = \nu(t) + \xi_{01}, \quad y_0 = \omega_1$$

$$T_0 [x_0, y_0],$$

$$T_{10} [x_0 + \frac{R}{2} \cos \alpha, y_0 + \frac{R}{2} \sin \alpha],$$

$$T_1 [x_0 + \xi_{10}, y_0 + \eta_{10} + R \sin \alpha], \quad (1.2,1)$$

$$T_2 [x_0 + \xi_{10} + \xi_{20} + \xi_{21}, y_0 + \eta_{10} + \eta_{20} + \eta_{21}],$$

$$T_3 [x_3, y_3], \quad T_4 [x_4, y_4]$$

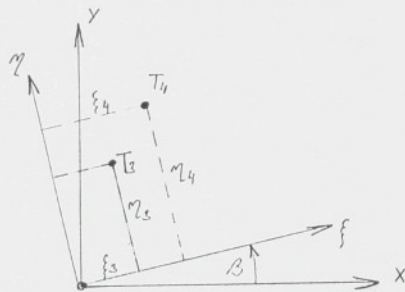
Obr. 1,4

Platí

$$x_2 = x_0 + \xi_{10} + \xi_{20} + \xi_{21}, \quad \begin{vmatrix} x_3 \\ y_3 \end{vmatrix} = \begin{vmatrix} x_2 \\ y_2 \end{vmatrix} + \begin{vmatrix} \cos \beta, -\sin \beta \\ \sin \beta, \cos \beta \end{vmatrix} \begin{vmatrix} \xi_3 \\ \eta_3 \end{vmatrix}, \quad (1.2,2)$$

$$y_2 = y_0 + \eta_{10} + \eta_{20} + \eta_{21},$$

při čemž ξ_3 je konstantní.



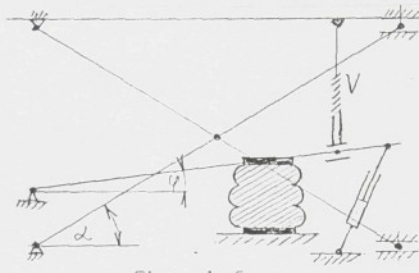
Obr. 1,5

$$x_3 = \xi_3 \cos \beta - \eta_3 \sin \beta + x_2, \quad x_4 = \xi_4 \cos \beta - \eta_4 \sin \beta + x_2, \quad (1.2,3)$$

$$y_3 = \xi_3 \sin \beta + \eta_3 \cos \beta + y_2, \quad y_4 = \xi_4 \sin \beta + \eta_4 \cos \beta + y_2$$

1.3 Indikační páka a třetí vibroizolační stupeň

I. Jedna z prototypových konstrukcí SVÚSS používá t.zv. indikační páku za účelem oddělení výškového přestavení mechanizmu od jeho polohové regulace . viz obr. 1,6



Obr. 1,6

Výškové přestavení se realizuje změnou délky ramene V, spojujícího horní základnu s indikační pákou obecnou kinematickou dvojicí.

V tomto případě musíme do svých úvah zahrnout převod mezi vlaštivním mechanizmem a indikační pákou; jedná se o přídavné zařízení, které každý pružící podstavec nemá.

II. Třetí vibrační stupeň, t.j. přídavnou horizontální vibroizolaci rovněž nemá každý pružící podstavec a lze jej považovat rovněž za přídavné zařízení - na rozdíl od předešlého však představuje jeden stupeň volnosti a navíc může být umístěno jak na spodní (Isring) tak na horní (Karosa) základně pružícího podstavce. V našich úvahách se omezíme na první případ, k druhému se vrátíme v krátké poznámce v příští kapitole.

Horizontální pružné uložení je realizováno dvěma předepjatými lineárními pružinami s výslednou tuhostí C_0 , symetrickým lineárním tlumičem a útlumovou konstantou b_0 , případně navíc pryžovými dorazovými bloky (viz odst. 3.8)

2.0 LAGRANGEOVY POHYBOVÉ ROVNICE

2.1. Kinetická energie systému

Rychlosti souřadnic těžišť získáme derivací vztahů (1.2,1):

$$\dot{x}_0 = \dot{w} + \dot{\xi}_0, \quad \dot{y}_0 = \dot{w}, \quad (2.1,1)$$

$$\begin{aligned}\dot{x}_{in} &= \dot{w} + \dot{\xi}_0 - \frac{R}{2} \sin \alpha \cdot \dot{\vartheta}, \\ \dot{y}_{in} &= \dot{w} + \frac{R}{2} \cos \alpha \cdot \dot{\vartheta},\end{aligned} \quad (2.1,2)$$

$$\begin{aligned}\dot{x}_1 &= \dot{w} + \dot{\xi}_0, \\ \dot{y}_1 &= \dot{w} + R \cos \alpha \cdot \dot{\vartheta},\end{aligned} \quad (2.1,3a)$$

$$\begin{aligned}\dot{x}_2 &= \dot{w} + \dot{\xi}_0 + \dot{\xi}_2, \\ \dot{y}_2 &= \dot{w} + R \cos \alpha \cdot \dot{\vartheta} + \dot{\eta}_2,\end{aligned} \quad (2.1,3b)$$

$$\begin{aligned}\dot{x}_3 &= \dot{w} + \dot{\xi}_0 + \dot{\xi}_2 - \dot{\eta}_3 \sin \beta - \eta_3 \cos \beta \cdot \dot{\beta} + \dot{\xi}_3 \sin \beta \cdot \dot{\beta}, \\ \dot{y}_3 &= \dot{w} + R \cos \alpha \cdot \dot{\vartheta} + \dot{\eta}_2 + \dot{\eta}_3 \cos \beta - \eta_3 \sin \beta \cdot \dot{\beta} + \dot{\xi}_3 \cos \beta \cdot \dot{\beta},\end{aligned} \quad (2.1,4a)$$

$$\begin{aligned}\dot{x}_4 &= \dot{w} + \dot{\xi}_0 + \dot{\xi}_2 - \dot{\eta}_4 \sin \beta - \eta_4 \cos \beta \cdot \dot{\beta} + \dot{\xi}_4 \sin \beta \cdot \dot{\beta}, \\ \dot{y}_4 &= \dot{w} + R \cos \alpha \cdot \dot{\vartheta} + \dot{\eta}_2 + \dot{\eta}_4 \cos \beta - \eta_4 \sin \beta \cdot \dot{\beta} + \dot{\xi}_4 \cos \beta \cdot \dot{\beta}.\end{aligned} \quad (2.1,4b)$$

Indikační páka je spojena s nůžkovým mechanizmem definovaným převodem, jenž závisí na velikosti výškového nastavení

$$\psi = \psi(\alpha, w) \quad (2.1,5)$$

a je k ní připojen úchyt pneumatické pružiny, tlumiče a náhon polohové regulace. Označíme-li K_{in} kloub indikační páky a S_{in} jeho těžiště platí:

$$\begin{aligned} x_k &= \nu + x_{k0}, & x_s &= x_k + R_{in} \cos \varphi \\ y_k &= w + y_{k0}, & y_s &= y_k + R_{in} \sin \varphi \end{aligned} \quad (2.1,6a)$$

$$\begin{aligned} \dot{x}_s &= \dot{\nu} - R_{in} \sin \varphi(x) \cdot \frac{d\varphi}{dx} \cdot \dot{x} \\ \dot{y}_s &= \dot{w} + R_{in} \cos \varphi(x) \cdot \frac{d\varphi}{dx} \cdot \dot{x} \end{aligned} \quad (2.1,6b)$$

Celý systém má sedm stupňů volnosti; za nezávislé Lagrangeovy souřadnice byly zvoleny

$$\xi_0, x, \xi_2, \eta_2, \beta, \eta_3, \eta_4 \quad (2.1,7)$$

Označíme kinetické energie jednotlivých členů $T_0, T_a, T_{in}, T_1, \dots, T_4, m_0, m_1, m_2, m_3, m_4$ příslušné hmotnosti, J_n moment setrvačnosti nůžkového mechanizmu kolem příčné osy, procházející těžištěm a J_2 moment setrvačnosti zátěže kolem příčné osy (rovnoběžné s osou z).

Naznačíme funkční závislosti:

$$\begin{aligned} T_0 &= T_0(\dot{\xi}_0, \dot{\nu}(t), \dot{w}(t)) \\ T_m &= T_m(\dot{\xi}_0, x, \dot{x}, \dot{\nu}(t), \dot{w}(t)) \\ T_{in} &= T_{in}(\dot{\xi}_0, \varphi(x), \dot{\varphi}(x, \dot{x}), \dot{x}(t), \dot{w}(t)) \\ T_1 &= T_1(\dot{\xi}_0, x, \dot{x}, \dot{\nu}(t), \dot{w}(t)) \\ T_2 &= T_2(\dot{\xi}_0, x, \dot{x}, \dot{\xi}_2, \dot{\eta}_2, \dot{\nu}(t), \dot{w}(t), \dot{\beta}) \\ T_3 &= T_3(\dot{\xi}_0, x, \dot{x}, \dot{\xi}_2, \dot{\eta}_2, \beta, \dot{\beta}, \dot{\nu}(t), \dot{w}(t), \dot{\eta}_3) \\ T_4 &= T_4(\dot{\xi}_0, x, \dot{x}, \dot{\xi}_2, \dot{\eta}_2, \beta, \dot{\beta}, \dot{\eta}_4, \dot{\nu}(t), \dot{w}(t)) \end{aligned} \quad (2.1,8)$$

Celková kinematická energie je dána vztahem

$$T = T_m + T_{in} + \sum_{i=0}^4 T_i \quad (2.1,9)$$

Poznamenejme předem, že je-li třetí (horizontální) vibrozolační stupeň umístěn mezi nůžkový mechanizmus a sedák, změní

se poněkud obecné závislosti (2.1,8); tomuto problému je věno-ván odstavec 2.4

2.2. Vyjádření Lagrangeových operátorů

$$T_0 = \frac{1}{2} m_0 (\dot{x}_0^2 + \dot{y}_0^2) \quad (2.2,1)$$

$$\frac{\partial T_0}{\partial \dot{\xi}_0} = m_0 (\dot{\xi}_0 + \dot{\nu}) \quad (2.2,2)$$

$$\frac{d}{dt} \frac{\partial T_0}{\partial \dot{\xi}_0} = m_0 (\ddot{\xi} + \ddot{\nu}) \quad (2.2,3)$$

$$T_m = \frac{1}{2} m_m (\dot{x}_{m \nu}^2 + \dot{y}_{m \nu}^2) + \frac{1}{2} J_m \dot{\omega}^2 \quad (2.2,4)$$

$$\frac{\partial T_m}{\partial \dot{\omega}} = m_m \left(\dot{x}_{m \nu} \frac{\partial \dot{x}_{m \nu}}{\partial \dot{\omega}} + \dot{y}_{m \nu} \frac{\partial \dot{y}_{m \nu}}{\partial \dot{\omega}} \right) + J_m \dot{\omega} = \\ \frac{m_m R}{2} [\dot{\nu} \cos \alpha - (\dot{\xi}_0 + \dot{\nu}) \sin \alpha] + \left(J_m + \frac{m_m R^2}{4} \right) \dot{\omega}, \quad (2.2,5)$$

$$\frac{d}{dt} \frac{\partial T_m}{\partial \dot{\omega}} = \frac{m_m R}{2} [\ddot{\nu} \cos \alpha - (\ddot{\xi} + \ddot{\nu}) \sin \alpha] + \left(J_m + \frac{m_m R^2}{4} \right) \ddot{\omega} \\ - \frac{m_m R}{2} \dot{\omega} [\dot{\nu} \sin \alpha + (\dot{\xi}_0 + \dot{\nu}) \cos \alpha], \quad (2.2,6)$$

$$\frac{\partial T_m}{\partial \dot{\alpha}} = m_m \left(\dot{x}_{m \nu} \frac{\partial \dot{x}_{m \nu}}{\partial \dot{\alpha}} + \dot{y}_{m \nu} \frac{\partial \dot{y}_{m \nu}}{\partial \dot{\alpha}} \right) = \\ = - \frac{m_m R}{2} \dot{\omega} [\dot{\nu} \sin \alpha + (\dot{\xi}_0 + \dot{\nu}) \cos \alpha], \quad (2.2,7)$$

$$\frac{\partial T_m}{\partial \dot{\xi}_0} = m_m \left(\dot{\xi}_0 + \dot{\nu} - \frac{R}{2} \sin \alpha \cdot \dot{\omega} \right), \quad (2.2,8)$$

$$\frac{d}{dt} \frac{\partial T_m}{\partial \dot{\xi}_0} = m_m \left(\ddot{\xi}_0 + \ddot{\nu} - \frac{R}{2} \sin \alpha \cdot \ddot{\omega} - \frac{R}{2} \cos \alpha \cdot \dot{\omega}^2 \right), \quad (2.2,9)$$

$$T_1 = \frac{1}{2} m_1 (\dot{x}_1^2 + \dot{y}_1^2), \quad (2.2,10)$$

$$\frac{\partial T_1}{\partial \dot{\xi}_0} = m_1 \left(\ddot{\xi}_0 + \ddot{\nu} \right), \quad (2.2,11)$$

$$\frac{d}{dt} \frac{\partial T_1}{\partial \dot{\xi}_0} = m_1 \left(\ddot{\xi}_0 + \ddot{\nu} \right), \quad (2.2,12)$$

$$\frac{\partial T_1}{\partial \dot{\nu}} = m_1 \left(\dot{x}_1 \frac{\partial \dot{x}_1}{\partial \dot{\nu}} + \dot{y}_1 \frac{\partial \dot{y}_1}{\partial \dot{\nu}} \right) = m_1 R \cos \alpha (\dot{\nu} \cos \alpha R + \dot{\omega}), \quad (2.2,13)$$

$$\frac{d}{dt} \frac{\partial T_1}{\partial \dot{\alpha}} = m_1 \left[R^2 \dot{\alpha}^2 \ddot{\nu} + R \dot{\nu} \cos \alpha - 2R^2 \dot{\alpha}^2 \sin \alpha \cos \alpha - R \dot{\nu} \dot{\alpha} \cos \alpha \right], \quad (2.2,14)$$

$$\begin{aligned} \frac{\partial T_1}{\partial \dot{\alpha}} &= m_1 \left(\dot{x}_1 \frac{\partial \dot{x}_1}{\partial \dot{\alpha}} + \dot{y}_1 \frac{\partial \dot{y}_1}{\partial \dot{\alpha}} \right) = \\ &= -m_1 (R^2 \dot{\alpha}^2 \sin \alpha \cos \alpha + R \dot{\alpha} \dot{\nu} \cos \alpha), \end{aligned} \quad (2.2,15)$$

$$T_2 = \frac{1}{2} m_2 (\dot{x}_2^2 + \dot{y}_2^2) + \frac{1}{2} J_2 \dot{\beta}^2, \quad (2.2,16)$$

$$\frac{\partial T_2}{\partial \dot{\xi}_0} = m_2 \left(\ddot{\nu} + \ddot{\xi}_0 + \ddot{\xi}_2 \right), \quad (2.2,17)$$

$$\frac{d}{dt} \frac{\partial T_2}{\partial \dot{\xi}_0} = m_2 \left(\ddot{\nu} + \ddot{\xi}_0 + \ddot{\xi}_2 \right), \quad (2.2,18)$$

$$\frac{\partial T_2}{\partial \dot{\xi}_0} = 0, \quad (2.2,19)$$

$$\frac{\partial T_2}{\partial \dot{\alpha}} = \frac{\partial T_2}{\partial \dot{x}_2} \frac{\partial \dot{x}_2}{\partial \dot{\alpha}} + \frac{\partial T_2}{\partial \dot{y}_2} \frac{\partial \dot{y}_2}{\partial \dot{\alpha}} = m_2 (\dot{\nu} + R \cos \alpha \dot{\alpha} + \dot{\gamma}_2) R \cos \alpha, \quad (2.2,20)$$

$$\begin{aligned} \frac{d}{dt} \frac{\partial T_2}{\partial \dot{\alpha}} &= m_2 R \cos \alpha (\ddot{\nu} + \dot{\gamma}_2 + R \cos \alpha \ddot{\alpha}) \\ &\quad - m_2 R \dot{\alpha} \sin \alpha (\dot{\nu} + R \cos \alpha \dot{\alpha} + \dot{\gamma}_2) - m_2 R \dot{\alpha}^2 \sin \alpha \cos \alpha, \end{aligned} \quad (2.2,21)$$

$$\begin{aligned} \frac{\partial T_2}{\partial \dot{\alpha}} &= \frac{\partial T_2}{\partial \dot{x}_2} \frac{\partial \dot{x}_2}{\partial \dot{\alpha}} + \frac{\partial T_2}{\partial \dot{y}_2} \frac{\partial \dot{y}_2}{\partial \dot{\alpha}} = \\ &= -m_2 R \dot{\alpha} \sin \alpha (\dot{\nu} + \dot{\gamma}_2 + R \cos \alpha \dot{\alpha}), \end{aligned} \quad (2.2,22)$$

$$\frac{\partial T_2}{\partial \dot{\xi}_2} = \frac{\partial T_2}{\partial \dot{x}_2} \frac{\partial \dot{x}_2}{\partial \dot{\xi}_2} + \frac{\partial T_2}{\partial \dot{y}_2} \frac{\partial \dot{y}_2}{\partial \dot{\xi}_2} = m_2 (\ddot{\nu} + \dot{\xi}_0 + \dot{\xi}_2), \quad (2.2, 23)$$

$$\frac{d}{dt} \frac{\partial T_2}{\partial \ddot{\xi}_2} = m_2 (\ddot{\nu} + \ddot{\xi}_0 + \ddot{\xi}_2), \quad (2.2, 24)$$

$$\frac{\partial T_2}{\partial \ddot{v}_2} = \frac{\partial T_2}{\partial \ddot{x}_2} \frac{\partial \ddot{x}_2}{\partial \ddot{v}_2} + \frac{\partial T_2}{\partial \ddot{y}_2} \frac{\partial \ddot{y}_2}{\partial \ddot{v}_2} = m_2 (\ddot{\nu} + R \cos \alpha \cdot \ddot{\omega} + \ddot{\gamma}_2), \quad (2.2, 25)$$

$$\frac{d}{dt} \frac{\partial T_2}{\partial \ddot{v}_2} = m_2 (\ddot{\nu} + R \cos \alpha \ddot{\omega} + \ddot{\gamma}_2 - R \sin \alpha \cdot \ddot{\beta}), \quad (2.2, 26)$$

$$\frac{\partial T_2}{\partial \dot{\xi}_2} = 0, \quad \frac{\partial T_2}{\partial \dot{y}_2} = 0, \quad \frac{\partial T_2}{\partial \beta} = 0, \quad (2.2, 27)$$

$$\frac{\partial T_2}{\partial \dot{\beta}} = J_2 \dot{\beta}, \quad \frac{d}{dt} \frac{\partial T_2}{\partial \dot{\beta}} = J_2 \ddot{\beta}. \quad (2.2, 28)$$

Pro $j = 3, 4$ platti

$$T_j = \frac{m_j}{2} (\dot{x}_j^2 + \dot{y}_j^2) + \frac{1}{2} J_j \dot{\beta}_j^2 \quad (2.2, 29)$$

$$\frac{\partial T_j}{\partial \dot{\xi}_0} = m_j [\ddot{\nu} + \dot{\xi}_0 + \dot{\xi}_2 - \dot{\gamma}_j \sin \beta - \dot{\beta}(\gamma_j \cos \beta + \xi_j \sin \beta)], \quad (2.2, 30)$$

$$\begin{aligned} \frac{d}{dt} \frac{\partial T_j}{\partial \dot{\xi}_0} = m_j & [\ddot{\nu} + \ddot{\xi}_0 + \ddot{\xi}_2 - \ddot{\gamma}_j \sin \beta - \ddot{\beta}(\gamma_j \cos \beta + \xi_j \sin \beta) - \\ & - 2 \dot{\gamma}_j \dot{\beta} \cos \beta - (\gamma_j \sin \beta - \xi_j \cos \beta) \ddot{\beta}], \end{aligned} \quad (2.2, 31)$$

$$\frac{\partial T_j}{\partial \dot{\xi}_0} = 0, \quad (2.2, 32)$$

$$\frac{\partial T_j}{\partial \dot{\alpha}} = m_j [\ddot{\nu} + R \cos \alpha \cdot \ddot{\omega} + \dot{\gamma}_2 + \dot{\gamma}_j \cos \beta + \dot{\beta}(\xi_j \cos \beta - \gamma_j \sin \beta)] R \cos \alpha, \quad (2.2, 33)$$

$$\begin{aligned} \frac{d}{dt} \frac{\partial T_j}{\partial \dot{\alpha}} = m_j R \cos \alpha & [\ddot{\nu} + R \ddot{\omega} \cos \alpha + \ddot{\gamma}_2 + \ddot{\gamma}_j \cos \beta + \ddot{\beta}(\xi_j \cos \beta - \gamma_j \sin \beta)] \\ & + m_j R \cos \alpha [-R \sin \alpha \dot{\omega}^2 - 2 \dot{\gamma}_j \dot{\beta} \sin \beta - \dot{\beta}^2 (\xi_j \sin \beta - \gamma_j \cos \beta)] - \\ & - m_j R \sin \alpha \dot{\omega} [\ddot{\nu} + R \dot{\omega} \cos \alpha + \dot{\gamma}_2 + \dot{\gamma}_j \cos \beta + \dot{\beta}(\xi_j \cos \beta - \gamma_j \sin \beta)], \end{aligned} \quad (2.2, 34)$$

$$\frac{\partial T_i}{\partial \alpha} = -m_j R \sin \alpha \cdot \dot{\omega} \left[\ddot{w} + R \cos \alpha \cdot \ddot{\alpha} + \ddot{q}_2 + \ddot{q}_j \cos \beta + \ddot{\beta} (\xi_j \cos \beta - \eta_j \sin \beta) \right], \quad (2.2, 35)$$

$$\frac{\partial T_i}{\partial \xi_2} = m_j \left[\ddot{w} + \ddot{\xi}_0 + \ddot{\xi}_2 - \ddot{q}_j \sin \beta - (\ddot{\xi}_j \sin \beta + \eta_j \cos \beta) \dot{\beta} \right], \quad (2.2, 36)$$

$$\begin{aligned} \frac{d}{dt} \frac{\partial T_i}{\partial \xi_2} &= m_j \left[\ddot{w} + \ddot{\xi}_0 + \ddot{\xi}_2 - \ddot{q}_j \sin \beta - \ddot{\beta} (\xi_j \sin \beta + \eta_j \cos \beta) \right. \\ &\quad \left. - 2 \ddot{q}_j \dot{\beta} \cos \beta - (\xi_j \cos \beta - \eta_j \sin \beta) \dot{\beta}^2 \right], \end{aligned} \quad (2.2, 37)$$

$$\frac{\partial T_i}{\partial \eta_2} = m_j \left[\ddot{w} + R \cos \alpha \cdot \ddot{\alpha} + \ddot{q}_2 + \ddot{q}_j \cos \beta + \ddot{\beta} (\xi_j \cos \beta - \eta_j \sin \beta) \right], \quad (2.2, 38)$$

$$\begin{aligned} \frac{d}{dt} \frac{\partial T_i}{\partial \eta_2} &= m_j \left[\ddot{w} + R \cos \alpha \cdot \ddot{\alpha} + \ddot{q}_2 + \ddot{q}_j \cos \beta + \ddot{\beta} (\xi_j \cos \beta - \eta_j \sin \beta) \right. \\ &\quad \left. - R \ddot{\alpha} \sin \alpha - 2 \ddot{q}_j \dot{\beta} \sin \beta - (\xi_j \sin \beta + \eta_j \cos \beta) \dot{\beta}^2 \right], \end{aligned} \quad (2.2, 39)$$

$$\frac{\partial T_i}{\partial \xi_2} = 0, \quad \frac{\partial T_i}{\partial \eta_2} = 0, \quad (2.2, 40)$$

$$\begin{aligned} \frac{\partial T_i}{\partial \dot{\beta}} &= \frac{\partial T_i}{\partial \dot{x}_j} \frac{\partial \dot{x}_j}{\partial \dot{\beta}} + \frac{\partial T_i}{\partial \dot{\eta}_j} \frac{\partial \dot{\eta}_j}{\partial \dot{\beta}} = \\ &= m_j \left[\ddot{w} + \ddot{\xi}_0 + \ddot{\xi}_2 - \ddot{q}_j \sin \beta - (\ddot{\xi}_j \sin \beta + \eta_j \cos \beta) \dot{\beta} \right] (-\xi_j \sin \beta - \eta_j \cos \beta) \\ &\quad + m_j \left[\ddot{w} + R \cos \alpha \cdot \ddot{\alpha} + \ddot{q}_2 + \ddot{q}_j \cos \beta - (\xi_j \cos \beta - \eta_j \sin \beta) \dot{\beta} \right] (\xi_j \cos \beta - \eta_j \sin \beta), \end{aligned} \quad (2.2, 41)$$

$$\begin{aligned} \frac{d}{dt} \frac{\partial T_i}{\partial \dot{\beta}} &= m_j \left[-2 \ddot{q}_j \dot{\beta} \cos \beta (-\xi_j \sin \beta - \eta_j \cos \beta) \right] + \\ &\quad m_j \left[\ddot{w} + \ddot{\xi}_0 + \ddot{\xi}_2 - \ddot{q}_j \sin \beta - \ddot{\beta} (\xi_j \sin \beta + \eta_j \cos \beta) \right] (-\xi_j \sin \beta - \eta_j \cos \beta) \\ &\quad + m_j \left[\ddot{w} + \ddot{\xi}_0 + \ddot{\xi}_2 - \ddot{q}_j \sin \beta - (\xi_j \sin \beta + \eta_j \cos \beta) \dot{\beta} \right] [(-\xi_j \cos \beta + \eta_j \sin \beta) \dot{\beta} - \ddot{q}_j \cos \beta] \\ &\quad + m_j [-R \sin \alpha \dot{\alpha}^2 - 2 \ddot{q}_j \dot{\beta} \sin \beta] (\xi_j \cos \beta - \eta_j \sin \beta) + \\ &\quad + m_j [\ddot{w} + R \cos \alpha \cdot \ddot{\alpha} + \ddot{q}_2 + \ddot{q}_j \cos \beta + \ddot{\beta} (\xi_j \cos \beta - \eta_j \sin \beta)] (\xi_j \cos \beta - \eta_j \sin \beta) + \\ &\quad + m_j [\ddot{w} + R \cos \alpha \cdot \ddot{\alpha} + \ddot{q}_2 + \ddot{q}_j \cos \beta + \ddot{\beta} (\xi_j \cos \beta - \eta_j \sin \beta)] [(\xi_j \cos \beta - \eta_j \sin \beta) \dot{\beta} - \ddot{q}_j \sin \beta], \end{aligned} \quad (2.2, 42)$$

$$\begin{aligned} \frac{\partial T_j}{\partial \beta} &= \frac{\partial T_j}{\partial \dot{x}_j} \frac{\partial \dot{x}_j}{\partial \beta} + \frac{\partial T_j}{\partial \dot{y}_j} \frac{\partial \dot{y}_j}{\partial \beta} = \\ &= m_j [\ddot{v} + \dot{\xi}_0 + \dot{\xi}_2 - \dot{\eta}_j \sin \beta - (\dot{\xi}_j \sin \beta + \dot{\eta}_j \cos \beta) \dot{\beta}] [-\dot{\eta}_j \cos \beta - \dot{\beta} (\dot{\xi}_j \cos \beta - \dot{\eta}_j \sin \beta)] + \\ &+ m v_j [\ddot{v} + R \cos \alpha \dot{\omega} + \dot{\eta}_2 + \dot{\eta}_j \cos \beta - (\dot{\xi}_j \cos \beta - \dot{\eta}_j \sin \beta) \dot{\beta}] [-\dot{\eta}_j \sin \beta + \dot{\beta} (\dot{\xi}_j \sin \beta + \dot{\eta}_j \cos \beta)], \end{aligned} \quad (2.2, 43)$$

$$\begin{aligned} \frac{\partial T_j}{\partial \dot{v}_j} &= \frac{\partial T_j}{\partial \dot{x}_j} \frac{\partial \dot{x}_j}{\partial \dot{v}_j} + \frac{\partial T_j}{\partial \dot{y}_j} \frac{\partial \dot{y}_j}{\partial \dot{v}_j} = \\ &= m_j [\ddot{v} + \dot{\xi}_0 + \dot{\xi}_2 - \dot{\eta}_j \sin \beta - (\dot{\xi}_j \sin \beta + \dot{\eta}_j \cos \beta) \dot{\beta}] (-\sin \beta) + \\ &m v_j [\ddot{v} + R \cos \alpha \dot{\omega} + \dot{\eta}_2 + \dot{\eta}_j \cos \beta + (\dot{\xi}_j \cos \beta - \dot{\eta}_j \sin \beta) \dot{\beta}] (\cos \beta), \end{aligned} \quad (2.2, 44)$$

$$\begin{aligned} \frac{d}{dt} \frac{\partial T_j}{\partial \eta_j} &= m_j [-\ddot{v} \sin \beta + \ddot{v} \cos \beta - (\ddot{\xi}_0 + \ddot{\xi}_2) \sin \beta + R \ddot{\omega} \cos \alpha \cos \beta \\ &\quad + \ddot{\eta}_2 \cos \beta + \ddot{\eta}_j + \ddot{\xi}_j \dot{\beta}] - m_j \dot{\eta}_j \dot{\beta}^2 + \\ &+ m v_j [\ddot{v} + \dot{\xi}_0 + \dot{\xi}_2 - \dot{\eta}_j \sin \beta - (\dot{\xi}_j \sin \beta + \dot{\eta}_j \cos \beta) \dot{\beta}] (-\dot{\beta} \cos \beta) + \\ &m v_j [\ddot{v} + R \cos \alpha \dot{\omega} + \dot{\eta}_2 + \dot{\eta}_j \cos \beta + (\dot{\xi}_j \cos \beta - \dot{\eta}_j \sin \beta) \dot{\beta}] (-\dot{\beta} \sin \beta), \end{aligned} \quad (2.2, 45)$$

$$\begin{aligned} \frac{\partial T_j}{\partial \eta_j} &= m_j [\ddot{v} + \dot{\xi}_0 + \dot{\xi}_2 - \dot{\eta}_j \sin \beta - (\dot{\xi}_j \sin \beta + \dot{\eta}_j \cos \beta) \dot{\beta}] (-\dot{\beta} \cos \beta) + \\ &m v_j [\ddot{v} + R \cos \alpha \dot{\omega} + \dot{\eta}_2 + \dot{\eta}_j \cos \beta + (\dot{\xi}_j \cos \beta - \dot{\eta}_j \sin \beta) \dot{\beta}] (-\dot{\beta} \sin \beta) = \\ &= \frac{\partial T_j}{\partial \dot{x}_j} \frac{\partial \dot{x}_j}{\partial \eta_j} + \frac{\partial T_j}{\partial \dot{y}_j} \frac{\partial \dot{y}_j}{\partial \eta_j}, \end{aligned} \quad (2.2, 46)$$

2.3. Levé strany Lagrangeových rovnic

Vzhledem k platnosti vztahu (2.1,9) bude po úpravách

$$\begin{aligned} \frac{d}{dt} \frac{\partial T}{\partial \dot{\xi}_0} - \frac{\partial T}{\partial \xi_0} &= \\ = (m_N + \sum_{j=0}^4 m_j) (\ddot{\xi}_0 + \ddot{\nu}) - \frac{m_N R}{2} \sin \alpha \cdot \ddot{\nu} + \sum_{j=2}^4 m_j \ddot{\xi}_2 + \\ \sum_{j=3}^4 m_j [-\ddot{\nu}_j \sin \beta - \ddot{\alpha} (\eta_j \cos \beta + \xi_j \sin \beta)] - \frac{m_N R}{2} \cdot \ddot{\nu}^2 \\ - \sum_{j=3}^4 m_j [\eta_j \beta \cos \beta - \ddot{\alpha}^2 (-\eta_j \sin \beta + \xi_j \cos \beta)], \end{aligned} \quad (2.3,1)$$

$$\begin{aligned} \frac{d}{dt} \frac{\partial T}{\partial \dot{\alpha}} - \frac{\partial T}{\partial \alpha} &= \\ = \left(\frac{m_N}{2} + \sum_{j=0}^4 m_j R \right) \cos \alpha \cdot \ddot{\nu} - \frac{m_N R}{2} (\ddot{\xi}_0 + \ddot{\nu}) \sin \alpha \\ + \left[J_N + \frac{m_N R^2}{4} + \sum_{j=1}^4 m_j R^2 \cos^2 \alpha \right] \ddot{\alpha} + \sum_{j=2}^4 m_j R \cos \alpha \ddot{\xi}_j + \\ + \sum_{j=3}^4 m_j R [\ddot{\nu}_j \cos \alpha \cos \beta + \ddot{\alpha} \cos \alpha (\xi_j \cos \beta - \eta_j \sin \beta)] \\ + \sum_{j=3}^4 m_j R \cos \alpha [-R \sin \alpha \dot{\nu}^2 - 2 \ddot{\nu}_j \sin \beta \cdot \dot{\beta} - (\xi_j \sin \beta + \eta_j \cos \beta) \dot{\beta}^2], \end{aligned} \quad (2.3,2)$$

$$\begin{aligned} \frac{d}{dt} \frac{\partial T}{\partial \dot{\xi}_2} - \frac{\partial T}{\partial \xi_2} &= \\ = \sum_{j=2}^4 m_j (\ddot{\nu} + \ddot{\xi}_0 + \ddot{\xi}_2) + \sum_{j=3}^4 m_j [-\ddot{\nu}_j \sin \beta - \ddot{\alpha} (\xi_j \sin \beta + \eta_j \cos \beta) - \\ - 2 \ddot{\nu}_j \beta \cos \beta - (\xi_j \cos \beta - \eta_j \sin \beta) \dot{\beta}^2], \end{aligned} \quad (2.3,3)$$

$$\frac{d}{dt} \frac{\partial T}{\partial \ddot{\gamma}_2} - \frac{\partial T}{\partial \gamma_2} = \sum_{j=2}^4 m_j (\ddot{\omega} + R \cos \alpha \dot{\phi} + \ddot{\gamma}_2 - R \sin \alpha \dot{\phi}^2) \quad (2.3,4)$$

$$+ \sum_{j=3}^4 m_j [\ddot{\gamma}_j \cos \beta + (\xi_j \cos \beta - \gamma_j \sin \beta) \dot{\beta} - 2\dot{\gamma}_j \dot{\beta} \sin \beta - (\xi_j \sin \beta + \gamma_j \cos \beta) \dot{\beta}]$$

$$\frac{d}{dt} \frac{\partial T}{\partial \dot{\beta}} - \frac{\partial T}{\partial \beta} = \sum_{j=3}^4 m_j [(\ddot{\omega} + \dot{\xi}_0 + \dot{\xi}_2)(-\xi_j \sin \beta - \gamma_j \cos \beta) + \xi_j \ddot{\gamma}_j + (\ddot{\omega} + R \cos \alpha \dot{\phi} - \ddot{\gamma}_2)(\xi_j \cos \beta - \gamma_j \sin \beta)] + \left[J_2 + \sum_{j=3}^4 [m_j (\xi_j^2 + \dot{\gamma}_j^2) + J_j] \right] \ddot{\beta} - \sum_{j=3}^4 m_j [-R \sin \alpha \dot{\phi}^2 (\xi_j \cos \beta - \gamma_j \sin \beta) + 2\dot{\gamma}_j \dot{\beta} \dot{\gamma}_j], \quad (2.3,5)$$

Plati pro $j=3,4$

$$\frac{d}{dt} \frac{\partial T}{\partial \ddot{\gamma}_j} - \frac{\partial T}{\partial \dot{\gamma}_j} = m_j [-(\ddot{\omega} + \dot{\xi}_0 + \dot{\xi}_2) \sin \beta + (\ddot{\omega} + R \dot{\phi} \cos \alpha + \ddot{\gamma}_2) \cdot \cos \beta + \ddot{\gamma}_j + \xi_j \dot{\beta}] - m_j \dot{\gamma}_j \dot{\beta}^2, \quad (2.3,6)$$

V případě, že bude u nůžkového mechanizmu aplikována indikační páka, přibudou v Lagrangeových rovnicích další členy.

Kinetická energie indikační páky je

$$T_{inv} = \frac{1}{2} m_{inv} \left[\left(\dot{\omega} + \dot{\xi}_0 - R_{inv} \sin \varphi \frac{d\varphi}{dx} \dot{x} \right)^2 + \left(\dot{\omega} + R_{inv} \cos \varphi \frac{d\varphi}{dx} \dot{x} \right)^2 \right] + \frac{1}{2} I_{inv} \left(\frac{d\varphi}{dx} \right)^2 \dot{x}^2 \quad (2.3,7)$$

$$\frac{\partial T_{inv}}{\partial \dot{\xi}_0} = m_{inv} \left[-R_{inv} \frac{d\varphi}{dx} \dot{x} \sin \varphi + \dot{\omega} + \dot{\xi}_0 \right], \quad (2.3,8)$$

$$\frac{d}{dt} \frac{\partial T_{inv}}{\partial \dot{\xi}_0} = m_{inv} \left[\dot{\xi}_0 + \dot{\omega} - R_{inv} \frac{d\varphi}{dx} \sin \varphi \cdot \ddot{x} \right], \quad (2.3,9)$$

$$- m_{inv} R_{inv} \left[\frac{d^2\varphi}{dx^2} \sin \varphi + \left(\frac{d\varphi}{dx} \right)^2 \cos \varphi \right] \dot{x}^2$$

$$\frac{\partial T_{inv}}{\partial \dot{\xi}_0} = 0$$

$$\frac{\partial T_{inv}}{\partial \dot{x}} = m_{inv} R_{inv} \frac{d\varphi}{dx} \left[-(\dot{\omega} + \dot{\xi}_0) \sin \varphi + \dot{\omega} \cos \varphi \right] \quad (2.3,10)$$

$$+ \left[d_{inv} + m_{inv} R_{inv}^2 \left(\frac{d\varphi}{dx} \right)^2 \right] \dot{x}, \quad (2.3,11)$$

$$\begin{aligned}
 \frac{d}{dt} \frac{\partial T_{in}}{\partial x} = & m_{in} R_{in} \frac{d\varphi}{dx} [-(\ddot{\omega} + \ddot{\xi}_0) \sin \varphi + \dot{\omega} \cos \varphi] + m_{in} R_{in}^2 \left(\frac{d\varphi}{dx} \right)^2 \ddot{x} + \\
 & J_{in} \left(\frac{d\varphi}{dx} \right) \ddot{x} + 2 J_{in} \frac{d\varphi}{dx} \dot{x}^2 + m_{in} R_{in} \ddot{x} \left[-\cos \varphi \left(\frac{d\varphi}{dx} \right) \dot{x} + \sin \varphi \frac{d^2\varphi}{dx^2} \dot{x} \right] \quad (2.3,12) \\
 & \left\{ -R_{in} \sin \varphi \frac{d\varphi}{dx} \right\} + \left[-\sin \varphi \left(\frac{d\varphi}{dx} \right) \dot{x} + \cos \varphi \frac{d\varphi}{dx} \dot{x} \right] \left[R_{in} \cos \varphi \frac{d\varphi}{dx} \right] \} + \\
 & + m_{in} (\dot{\omega} + \dot{\xi}_0 - R_{in} \sin \varphi \frac{d\varphi}{dx} \dot{x}) \cdot \frac{d}{dx} (-R_{in} \sin \varphi \frac{d\varphi}{dx}) \dot{x} + \\
 & + m_{in} (\dot{\omega} + R_{in} \cos \varphi \frac{d\varphi}{dx} \dot{x}) \cdot \frac{d}{dx} (R_{in} \cos \varphi \frac{d\varphi}{dx}) \dot{x} \}
 \end{aligned}$$

$$\begin{aligned}
 \frac{\partial T_{in}}{\partial x} = & m_{in} (\dot{\omega} + \dot{\xi}_0 - R_{in} \sin \varphi \frac{d\varphi}{dx} \dot{x}) \frac{d}{dx} (-R_{in} \sin \varphi \frac{d\varphi}{dx}) \dot{x} + \quad (2.3,13) \\
 & + m_{in} (\dot{\omega} + R_{in} \cos \varphi \frac{d\varphi}{dx} \dot{x}) \frac{d}{dx} (R_{in} \cos \varphi \frac{d\varphi}{dx}) \dot{x} \\
 & + J_{in} \frac{d\varphi}{dx} \left[\frac{d}{dx} \left(\frac{d\varphi}{dx} \dot{x} \right) \right]
 \end{aligned}$$

Odtud pak je

$$\begin{aligned}
 \frac{d}{dt} \frac{\partial T_{in}}{\partial x} - \frac{\partial T_{in}}{\partial x} = & m_{in} R_{in} \left[-(\ddot{\omega} + \ddot{\xi}_0) \frac{d\varphi}{dx} \sin \varphi + \dot{\omega} \frac{d\varphi}{dx} \cos \varphi \right] + \quad (2.3,14) \\
 & + \left(J_{in} + m_{in} R_{in}^2 \right) \left(\frac{d\varphi}{dx} \right)^2 \ddot{x} + \left(J_{in} + m_{in} R_{in}^2 \right) \frac{d\varphi}{dx} \frac{d^2\varphi}{dx^2} \dot{x}^2.
 \end{aligned}$$

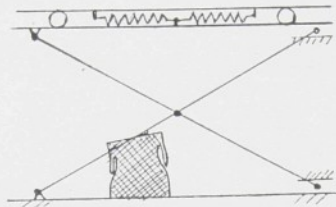
Výrazy (2.3,9) resp. (2.3,12) pak rozšíří levé strany (2.3,1) resp. (2.3,2)

2.4. Poznámka k druhé možnosti horizontální vibroizolace

V případě, že systém podélné horizontální vibroizolace je umístěn mezi nůžkovým mechanizmem a sedákem - viz obr.2.1) lze odvodit, že pravé strany pohybových rovnic, odvozené v odstavci 2.3) nedoznají podstatných změn:

V tomto případě platí pro střed nůžkového mechanizmu

$$\begin{aligned}
 x_m = & N + \frac{R}{2} \cos \vartheta, & \dot{x}_m = \dot{N} - \frac{R}{2} \sin \vartheta \cdot \dot{\vartheta}, & \quad (2.4,1) \\
 y_m = & W + \frac{R}{2} \sin \vartheta, & \dot{y}_m = \dot{W} + \frac{R}{2} \cos \vartheta \cdot \dot{\vartheta},
 \end{aligned}$$



Obr. 2.1

pro základnu horizontálního uložení

$$\begin{aligned} x_2 &= \bar{x} & x_2 &= \bar{x} \\ y_2 &= \bar{w} + R \sin \omega t, & y_2 &= \bar{w} + R \cos \omega t \end{aligned} \quad (2.4,2)$$

a pro sedák

$$\begin{aligned} x_1 &= \bar{x} + \xi_0 & x_1 &= \bar{x} + \xi_0 \\ y_1 &= \bar{w} + R \sin \omega t + \eta_{10}, & y_1 &= \bar{w} + R \cos \omega t + \eta_1 \end{aligned} \quad (2.4,3)$$

(neboli shodné vztahy s 2.1,6)

takže pak

$$T_w = T_w(x, \dot{x}, \ddot{x}, \ddot{w}), \quad (2.4,4)$$

$$T_t = T_t(x, \dot{x}, \ddot{x}, \ddot{w}),$$

$$T_s = T_s(x, \dot{x}, \xi_0, \ddot{x}, \ddot{w})$$

a explicitně

$$T_w = \frac{1}{2} m w \left(\dot{x}_w^2 + \dot{y}_w^2 \right) + \frac{1}{2} J_w \dot{\theta}^2, \quad (2.4,5)$$

$$\begin{aligned} \frac{\partial T_w}{\partial \dot{x}} &= m_w \left(\dot{x}_w \frac{\partial \dot{x}_w}{\partial \dot{x}} + \dot{y}_w \frac{\partial \dot{y}_w}{\partial \dot{x}} \right) + J_w \dot{\theta} \dot{\theta} = \\ &= \frac{m_w R}{2} (\dot{w} \cos \omega t - \dot{v} \sin \omega t) + \left(J_w + \frac{m_w R^2}{4} \right) \dot{\theta}, \end{aligned} \quad (2.4,6)$$

$$\frac{d}{dt} \frac{\partial T_m}{\partial \dot{x}} = \frac{m \omega R}{2} [\ddot{w} \cos x - \ddot{v} \sin x - i(\ddot{w} \sin x + \ddot{v} \cos x)] + \left(\frac{m \omega R^2}{4} + J_m \right) \ddot{\phi}, \quad (2.4, 7)$$

$$\frac{\partial T_m}{\partial \omega} = -\frac{m \omega R}{2} (\ddot{w} \sin x + \ddot{v} \cos x), \quad (2.4, 8)$$

$$T_z = \frac{1}{2} m_r (\dot{x}_{rz}^2 + \dot{y}_{rz}^2), \quad (2.4, 9)$$

$$\frac{\partial T_z}{\partial \dot{x}} = m_r (\dot{x}_z \frac{\partial \dot{x}_z}{\partial \dot{x}} + \dot{y}_z \frac{\partial \dot{y}_z}{\partial \dot{x}}) = m_r R \cos x (\ddot{w} r \cos x \cdot i), \quad (2.4, 10)$$

$$\frac{d}{dt} \frac{\partial T_z}{\partial \dot{x}} = m_r R [R \ddot{w} \cos^2 x + \ddot{v} \cos x - 2R \dot{w} \sin x \cos x - i \dot{w} \sin x], \quad (2.4, 11)$$

$$\frac{\partial T_z}{\partial \omega} = -m_r R [R \dot{w}^2 \sin x \cos x + i \dot{v} \sin x], \quad (2.4, 12)$$

$$T_{in} = \frac{1}{2} m_{in} (\dot{x}_s^2 + \dot{y}_s^2) + \frac{1}{2} J \sin \dot{\phi}^2 = \frac{1}{2} m_{in} [\dot{w}^2 + \dot{v}^2 + 2R \dot{w} \frac{dy}{dx} (\dot{w} \cos \varphi - \dot{v} \sin \varphi) i] + \left(\frac{1}{2} m_{in} R^2 i^2 \right) \left(\frac{dy}{dx} \right)^2, \quad (2.4, 13)$$

$$\frac{\partial T_{in}}{\partial \dot{x}} = m_{in} R_{in} \frac{dy}{dx} (\dot{w} \cos \varphi - \dot{v} \sin \varphi) + J_{in} \left(\frac{dy}{dx} \right)^2 \dot{\phi},$$

$$\frac{d}{dt} \frac{\partial T_{in}}{\partial \dot{x}} = m_{in} R_{in} \left[\frac{dy}{dx} (\dot{w} \cos \varphi - \dot{v} \sin \varphi) + \left(\frac{dy}{dx} \right)^2 (-\dot{w} \sin \varphi - \dot{v} \cos \varphi) \right] \cdot \ddot{\phi}, \quad (2.4, 14)$$

$$+ \frac{d^2 y}{dx^2} \dot{x} (\dot{w} \cos \varphi - \dot{v} \sin \varphi) + 2y \frac{dy}{dx} \frac{d^2 y}{dx^2} \dot{x}^2 + y \left(\frac{dy}{dx} \right)^2 \ddot{\phi}, \quad (2.4, 15)$$

$$\frac{\partial T_{in}}{\partial \omega} = m_{in} R_{in} \left[\dot{x} \frac{d^2 y}{dx^2} (\dot{w} \cos \varphi - \dot{v} \sin \varphi) + \dot{x} \left(\frac{dy}{dx} \right)^2 (-\dot{w} \sin \varphi - \dot{v} \cos \varphi) \right], \quad (2.4, 16)$$

a odtud

$$\frac{d}{dt} \frac{\partial T_{in}}{\partial \dot{x}} - \frac{\partial T_{in}}{\partial x} = (m_{ia} R^2 + Y) \left(\frac{d\dot{y}}{dx} \right)^2 + 2(m_{ia} R^2 + Y) \frac{d\dot{y} d\dot{x}}{dx} \frac{\dot{x}^2}{(2.4,17)} \\ + m_{in} R_{in} \frac{d\dot{y}}{dx} (\ddot{y} \cos \varphi - \ddot{x} \sin \varphi),$$

Vztah (2.4,17) jsme odvodili za předpokladu, že horizontální vibroizolační stupeň je umístěn pod sedákem, zatímco (2.3,14) platí pro původní sestavu, t.j. horizontální vibroizolační stupeň je umístěn v dolní základně pružicího podstvce.

Porovnáme-li matice hmotnosti v případě horizontálního uložení pod sedákem s původní (viz příloha 1) je

$$A_{11} = \sum_{j=1}^4 m_j \quad (2.4,18) \\ A_{22} = J_m + \frac{m_{ia} R^2}{4} + [m_{iz} + (m_x - m_t) + \sum_{i=1}^4 m_i] R^2 \ddot{x} \cos^2 \alpha \\ A_{12} = A_{21} = 0$$

ostatní členy jsou stejné.

2.5 Potenciální energie gravitačních sil

Potenciální energie je dána vztahem

$$U = U_m + \sum_{i=0}^4 U_i = m_a g y_{in} + \sum_{i=0}^4 m_i g y_i \quad (2.5,1)$$

při čemž je

$$y_0 = -W_0 = \text{const} \quad (2.5,2)$$

při dosazení ze vztahů (1.2,1) klademe

$$W = W_0 > 0$$

aby nulová hladina potenciální energie byla v počátku souřadnic.

Je potom

$$\begin{aligned}
 y_0 &= -\omega y_0 \\
 y_{10} &= \frac{R}{2} \sin \alpha \\
 y_1 &= R \sin \alpha + y_{1T} \\
 y_2 &= R \sin \alpha + y_{1T} + y_{2T} + y_2 \\
 y_3 &= R \sin \alpha + y_{1T} + y_{2T} + y_2 + y_3 \cos \beta + \xi_3 \sin \beta \\
 y_4 &= R \sin \alpha + y_{1T} + y_{2T} + y_2 + y_3 \cos \beta + \xi_4 \sin \beta
 \end{aligned} \tag{2.5,3}$$

Po dosazení do (2.5,1) obdržíme

$$U = g \left[m_1 \frac{R}{2} \sin \alpha + \sum_{i=1}^4 m_i (R \sin \alpha + y_{iT}) + \sum_{i=2}^4 m_i y_2 + \sum_{i=3}^4 m_i y_i \cos \beta + \sum_{i=3}^4 m_i \xi_i \sin \beta \right] \tag{2.5,4}$$

Dále je

$$\begin{aligned}
 \frac{\partial U}{\partial \xi_0} &= 0 \quad , \quad \frac{\partial U}{\partial \alpha} = \left(\frac{m_1}{2} + \sum_{i=1}^4 m_i \right) R \cos \alpha \cdot g \cdot \frac{\partial U}{\partial \xi_1} = 0 \\
 \frac{\partial U}{\partial y_2} &= + \sum_{i=2}^4 m_i g \quad , \quad \frac{\partial U}{\partial \beta} = g \left(\sin \beta \sum_{i=3}^4 m_i y_i + \cos \beta \sum_{i=3}^4 m_i \xi_i \right) \\
 \frac{\partial U}{\partial y_3} &= m_3 g \cos \beta \quad , \quad \frac{\partial U}{\partial y_4} = m_4 g \cos \beta
 \end{aligned} \tag{2.5,5}$$

2.6. Obecný tvar pohybových rovnic

Na pravých stranách pohybových rovnic mechanického systému

$$\begin{aligned}
 \frac{d}{dt} \frac{\partial T}{\partial \xi_0} - \frac{\partial T}{\partial \xi_0} &= \frac{\partial U}{\partial \xi_0} + F_{\xi_0}, \quad \frac{d}{dt} \frac{\partial T}{\partial \beta} - \frac{\partial T}{\partial \beta} = \frac{\partial U}{\partial \beta} + M_B, \\
 \frac{d}{dt} \frac{\partial T}{\partial \alpha} - \frac{\partial T}{\partial \alpha} &= \frac{\partial U}{\partial \alpha} + M_\alpha, \quad \frac{d}{dt} \frac{\partial T}{\partial y_3} - \frac{\partial T}{\partial y_3} = \frac{\partial U}{\partial y_3} + F_{y_3}, \\
 \frac{d}{dt} \frac{\partial T}{\partial \xi_2} - \frac{\partial T}{\partial \xi_2} &= \frac{\partial U}{\partial \xi_2} + F_{\xi_2}, \quad \frac{d}{dt} \frac{\partial T}{\partial y_4} - \frac{\partial T}{\partial y_4} = \frac{\partial U}{\partial y_4} + F_{y_4}, \\
 \frac{d}{dt} \frac{\partial T}{\partial y_2} - \frac{\partial T}{\partial y_2} &= \frac{\partial U}{\partial y_2} + F_{y_2}.
 \end{aligned} \tag{2.6,1}$$

Označíme F resp. M výsledné síly resp. momenty sil vazebních prvků (pružin, tlumičů reálných příp. modelovaných) a

pasivních odporek.

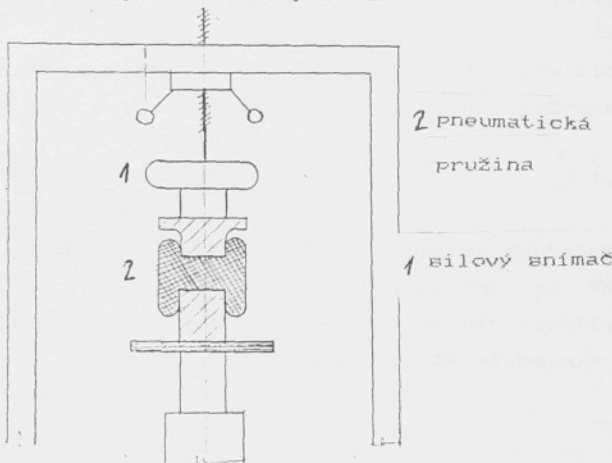
Principiálně nejmenší potíže bude činit vyjádření F_{ξ_0} , F_{ξ_3} , F_{ξ_4} (lineární tlumiče a pružiny), značný problém představuje věrná náhrada viskoelastického materiálu F_{ξ_2} , F_{ξ_2} , M_{ξ_1} pro výsledný moment v ose úhlu α nůžkového mechanizmu platí

$$M_\alpha = M_{pneu}(\alpha, p) + M_\alpha(\epsilon, \dot{\epsilon}) + M_{dp}(\alpha, \dot{\alpha}) + M_{el}(\alpha, \dot{\alpha}) + M_{pas}(\alpha, \dot{\alpha}) \quad (2.6.2)$$

kde funkční závislosti momentu tlumiče $M_\alpha(\alpha, \dot{\alpha})$, dorazu prýžových bloků M_{dp} , dorazového tlumiče M_{el} , M_{pas} jsou naznačeny. Připomeňme, že to nemusí být hladké resp. spojité funkce svých proměnných. Moment síly pneumatické pružiny je vázán na velikost pětlaaku p ; proto systém (2.6.1) musí být doplněn o jednu resp. více (v případě přid. objemu) dif. rovnic, jež vyjadřují rovnováhu hmotnostních proudů vzduchu na vstupu resp. výstupu regulované pneumatické pružiny. V dalších kapitolách budou jednotlivé síly resp. momenty explicitně vyjádřeny.

3.0 VAZEBNÍ PRVKY PRVNÍHO VIBROIZOLAČNÍHO STUPNĚ

3.1 Osově zatížená pneumatická pružina



Obr. 3.1

Označíme-li

$S(p_i l)$ efektivní plochu pneumatické pružiny

$V(p_i l)$ její objem

p přetlak v pružině

l délku pružiny

Pak pro vertikálně zatíženou pružinu silou F platí

$$F = S(p_i l) \cdot p_1 \quad (3.1,1)$$

$$V(p_i l) = \int_{l_0}^l S(p_i x) dx + V_0(p_i l_0) \quad (3.1,2)$$

kde V_0 je objem pružiny při základní délce l_0

Pokud se týká závislosti efektivní plochy na obou proměnných

$$S = S(p_i l) \quad (3.1,3)$$

Poznamenejme, že u některých vlnovcových pružin je efektivní plocha nezávislá na tlaku p , u některých hadicových pružin s válcovým pistem je naopak efektivní plocha nezávislá na délce l , v obecném případě však předpokládáme závislost efektivní plochy S na obou proměnných. Při vyhodnocení měření tlaku p , jemu odpovídající síle F při různých délkách

vystačíme obvykle s approximací závislosti (3.1,3) polynomem $(m+n)$ tého stupně ve dvou proměnných

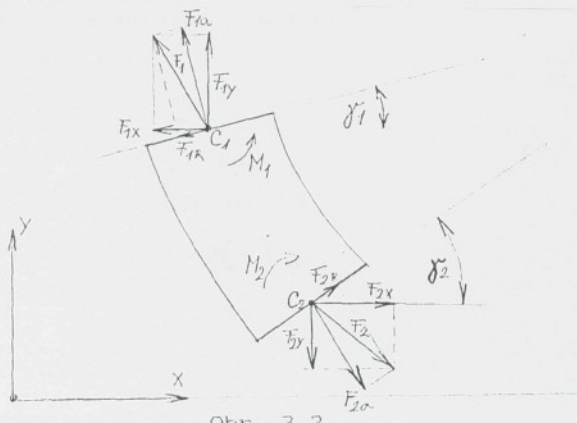
$$S(p, \ell) = \sum_{i=0}^m \sum_{j=0}^n S_{ij} \ell^i p^j, \quad (3.1,4)$$

Stejně tak můžeme při určité základní délce ℓ_0 měřit závislost objemu V na přetlaku p a výsledky opět zpracovat regresním polynomem

$$V_0(p, \ell_0) = \sum_{j=0}^l V_j p^j, \quad (3.1,5)$$

Obvykle se ovšem snažíme o nejjednodušší a přitom dostatečně přesnou approximaci. (V případě vzorku, vyvinutého na VŠST Liberec pro nový prototyp sedačky, není závislost efektivní plochy na přetlaku p výraznější a ukázalo se, že volba $m=1$, $n=2$, $l=2$ je plně dostačující.)

3.2 Obecně zatížená pneumatická pružina



Obr. 3.2

Označme C_1, C_2 středy čel obecně zatížené pružiny,
 F_1, F_2 síly působí v těchto bodech,
 F_{1x}, F_{2x} jejich axiální složky,
 F_{1R}, F_{2R} radiální složky,
 M_1, M_2 přidavné ohybové momenty.

Pokud bychom považovali natlakovanou pneumatickou pružinu za tuhé těleso, platilo by

$$\vec{F}_1 = \vec{F}_2 \quad (3.2,1a)$$

$$\vec{M}_1 = \vec{M}_2 \quad (3.2,1b)$$

a při rozepsání do složek

$$\begin{aligned} F_{Rx} &= F_{R1} \cos \varphi_1 - F_{a1} \sin \varphi_1, \\ F_{Ry} &= F_{R1} \sin \varphi_1 + F_{a1} \cos \varphi_1, \\ F_{ax} &= F_{R2} \cos \varphi_2 - F_{a2} \sin \varphi_2, \\ F_{ay} &= F_{R2} \sin \varphi_2 + F_{a2} \cos \varphi_2 \end{aligned} \quad (3.2,2)$$

a vzhledem k předpokladané platnosti (3.2,1,a)

$$F_{Rx} = -F_{ax}, \quad F_{Ry} = -F_{ay}. \quad (3.2,3)$$

Obecná poloha pružiny je charakterizována souřadnicemi bodů C_1, C_2 a úhly čel φ_1, φ_2 .

Označme úhel φ_0 úhel spojnice bodů C_1C_2 s kladným směrem osy x .

$$\operatorname{tg} \varphi_0 = \frac{C_{2y} - C_{1y}}{C_{2x} - C_{1x}} \quad (3.2,4)$$

Mohou nastat dva speciální případy:

1. Případ čistého střihu:

(3.2,5)

$$\begin{aligned} \varphi_1 &= \varphi_2, \\ \operatorname{tg} \varphi_1, \operatorname{tg} \varphi_0 &\neq -1. \end{aligned}$$

Přitom bude ohybový moment nulový:

$$M_1 = M_2 = 0. \quad (3.2,6)$$

2. Případ čisté axiálního zatížení

$$\begin{aligned} \varphi_1 &= \varphi_2, \\ \operatorname{tg} \varphi_1, \operatorname{tg} \varphi_0 &= -1, \\ M_1 = M_2 &= 0. \end{aligned} \quad (3.2,7)$$

Vliv radiální složky a ohybového momentu byl sledován na speciálně vyvinutém zkušebním zařízení v SVÚSS - viz [2]. Ze záznamů vyplývá, že průběh hlavní, axiální složky se prakticky nezmění se sklonem čela a výstředností. Vedle tohoto pozitivního výsledku však vyplývá, že vliv radiální složky a

ohybového momentu není zcela zanedbatelný.

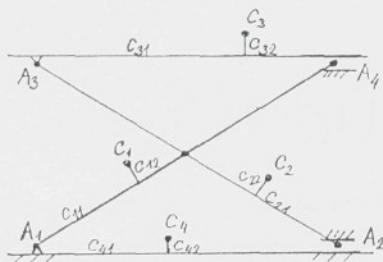
Aby mohly být tyto skutečnosti respektovány v příslušném matematickém modelu, bude zřejmě nutné experimenty opakovat, příp. rozšířit a určit závislosti

$$F_R = F_R(\bar{G}C_2, \bar{\rho}_1, \bar{\rho}_2, \bar{\rho}_3, p) \quad (3.2,8)$$

$$M = M(\bar{G}C_2, \bar{\rho}_1, \bar{\rho}_2, \bar{\rho}_3, p).$$

V našich úvahách jsme bohužel nuceni zatím považovat účinek axiální složky za dominantní a vliv radiální složky a ohybového momentu nerespektovat. Nejen vzhledem k tomuto faktu, ale především vzhledem k zvětšenému namáhání materiálu pružiny při mimoosovém zatízení, lze doporučit takové konstrukce uložení pružiny, jež se od osového liší jen málo.

3.3 Pneumatická pružina umístěná v nůžkovém mechanizmu



Obr. 3.3

Označme obecné polohu středu základny pružiny body C_{ij} ($i, j = 1..4$) - podle obr. 3.3,1. V úvahu přicházejí především kombinace:

- | | | |
|--------------------------------|------------|------------|
| 1) mezi základ a rameno | $i = 1, 2$ | $j = 4$ |
| 2) mezi základ sedáku a rameno | $i = 3$ | $j = 1, 2$ |
| 3) mezi sedák a základ | $i = 3$ | $j = 4$ |
| 4) mezi ramena | $i = 1, 2$ | $j = 2, 1$ |

Označíme-li $C_i C_j$ délku pružiny, je u prvních třech kombinací podmínka

$$\frac{dC_i C_j}{dx} > 0 \quad (3.3,1)$$

nutná pro správnou funkci pružiny bez obtíží spinitelná, zatímco u poslední kombinace můžeme docílit i opačné nerovnosti než (3.3,1) a použít jedné pružiny jako tažné, druhé jako tlačné. Využití proměnnosti převodu (3.3,1) se jeví nejúčinnější u pružiny, jejíž efektivní plocha je podstatně závislá na délce. Tento efekt je podrobně zpracován v řadě prací katedry části strojů VŠST Liberec. Vzhledem k označení na obr. 3.3,1 platí pro klouby

$$\begin{aligned} A_1[0,0] & , \quad A_2[R\cos\alpha, 0], \\ A_3[0, R\sin\alpha] & , \quad A_4[R\cos\alpha, R\sin\alpha]. \end{aligned} \quad (3.3,2)$$

a pro souřadnice možných úchytů

$$\begin{aligned} C_1[c_{11}\cos\alpha - c_{12}\sin\alpha, c_{11}\sin\alpha + c_{12}\cos\alpha], \\ C_2[R\cos\alpha - c_{21}\cos\alpha + c_{22}\sin\alpha, c_{21}\sin\alpha + c_{22}\cos\alpha], \\ C_3[c_{31}, R\sin\alpha + c_{32}], \\ C_4[c_{41}, c_{42}] \end{aligned} \quad (3.3,3)$$

Pro vzdálenost \tilde{C}_{ij} platí

$$\tilde{C}_{ij} = [(c_{ii} - c_{jj})^2 + (c_{ij} - c_{ji})^2]^{\frac{1}{2}} \quad (3.3,4)$$

a pro derivace složek polohových vektorů podle α je

$$\begin{aligned} \frac{dC_{1x}}{d\alpha} &= -c_{11}\sin\alpha - c_{12}\cos\alpha, \quad \frac{dC_{1y}}{d\alpha} = c_{11}\cos\alpha - c_{12}\sin\alpha, \\ \frac{dC_{2x}}{d\alpha} &= (-R\sin\alpha + c_{21}\sin\alpha + c_{22}\cos\alpha), \quad \frac{dC_{2y}}{d\alpha} = c_{21}\cos\alpha - c_{22}\sin\alpha, \\ \frac{dC_{3x}}{d\alpha} &= 0, \quad \frac{dC_{3y}}{d\alpha} = R\cos\alpha, \\ \frac{dC_{4x}}{d\alpha} &= 0, \quad \frac{dC_{4y}}{d\alpha} = 0. \end{aligned} \quad (3.3,5)$$

Při výpočtu momentu pružiny vycházíme ze dvou možných variant:

- A. V bodech C_i, C_j působí síla ve směru spojnice $\overline{C_i C_j}$ - platí zejména pro kloubově uložené pružiny (viz práce Imaše Moskva) [], [], a.p.). V tomto případě jsou složky v bodech

$$\vec{F}_{ci} = [F_c \cdot i_x, F_c \cdot i_y] \quad (3.3,6)$$

$$\vec{F}_{cj} = [-F_c \cdot i_x, -F_c \cdot i_y]. \quad (3.3,7)$$

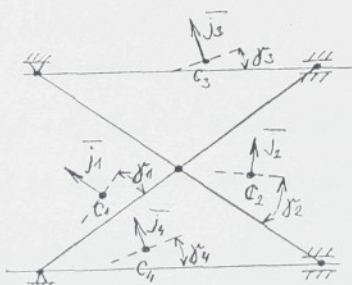
kde F_c je velikost síly vyvzované pneumatickou pružinou (popsaná v 3.1) a $[i_x, i_y]$, jsou složky jednotkového vektoru ve směru spojnice $\overline{C_i C_j}$

$$i_x = \frac{C_{ix} - C_{jx}}{C_i C_j} \quad i_y = \frac{C_{iy} - C_{jy}}{C_i C_j} \quad (3.3,8)$$

Virtuální práce pružiny v mechanizmu je

$$\begin{aligned} dA_{\text{pruž.}} &= (\vec{F}_{ci}, d\vec{x}_i) + (\vec{F}_{cj}, d\vec{x}_j) = (\vec{F}_{ci}, d\vec{x}_i) - (\vec{F}_{ci}, d\vec{x}_j) = \\ &= (\vec{F}_{ci}, d\vec{x}_i - d\vec{x}_j) = \\ &= F_c \left[i_x \cdot \left(\frac{dc_{ix}}{dx} - \frac{dc_{jx}}{dx} \right) + i_y \cdot \left(\frac{dc_{iy}}{dx} - \frac{dc_{jy}}{dx} \right) \right] = M_{\text{pruž.}} dx \end{aligned} \quad (3.3,9)$$

- B. Síla pružiny působí kolmo na plochy pootočené obecně vzhledem k příslušné základně o úhel γ_i v kladném smyslu (proti směru hodinových ručiček - viz obr. 3.4 :



Obr. 3.4

Směrové kosiny normály k příslušné ploše jsou dány vztahy

$$\begin{aligned}\vec{j}_1 & [-\sin(\alpha + \beta_1), \cos(\alpha + \beta_1)], \\ \vec{j}_2 & [-\sin(\alpha - \beta_2), \cos(-\alpha + \beta_2)], \\ \vec{j}_3 & [-\sin \beta_3, \cos \beta_3], \\ \vec{j}_4 & [-\sin \beta_4, \cos \beta_4].\end{aligned}\quad (3.3,10)$$

Protože síla tlačné pružiny působí vždy ve směru vnější normály, je nutné přisoudit směrovým kosinům pro případ dolního závěsu opačné znaménko.

Virtuální práce je dána vztahem (i-horní, j-dolní základna pružiny)

$$\begin{aligned}dA & (\vec{F}_{ci}, d\vec{x}_i) (\vec{F}_{cj}, d\vec{x}_j) = F_c [\vec{j}_i, d\vec{x}_i] - [\vec{j}_j, d\vec{x}_j] = \\ & = M_{pruž} d\alpha = \alpha(\alpha) \cdot F_c d\alpha\end{aligned}\quad (3.3,11)$$

Uvedeme několik speciálních případů výpočtu (3.3,11)

a) zvláštním mechanizmem je zabezpečeno, že $\beta_1 = -\alpha$ (konstrukce SVÚSS, při čemž je pružina umístěna mezi body C_1, C_4). Pak je

$$\vec{j}_1 [0,1], \vec{j}_4 [0,-1], \dots, d\vec{x}_4 = 0 \quad \text{a } x\text{-ová složka } d\vec{x}_i \text{ "nekoná" práci.} \quad (3.3,12)$$

$$dx_{iy} = (c_i \cos \alpha - c_i \sin \alpha), \quad M = F \cdot dx_{iy}$$

b) je-li střed závěsu umístěn přímo na rameni a příslušný $\beta_1 = 0$ pak

$$\begin{aligned}d\vec{R}_i & [-R_i \sin \alpha, R_i \cos \alpha] d\alpha \\ & j_{ci} [-\sin \alpha, \cos \alpha] \\ dA & = F_c R_i (\sin^2 \alpha + \cos^2 \alpha) d\alpha = M d\alpha\end{aligned}\quad (3.3,13)$$

(rameno momentu je nezávislé na úhlu α)

c) u posledního modelu sedačky Isring je pružina uchycena mezi body C_3 (horní závěs) a C_2 (spodní závěs). Pak je

Podle (3.3,11) je

$$\vec{F}_2 \left[-\sin(-x+\mu_2), \cos(-x+\mu_2) \right], \frac{dC_2}{dx} \left[-R \sin(x+C_1 \cos x + C_2 \sin x), C_1 \cos x - C_2 \sin x \right],$$

$$\vec{T}_3 \left[-\sin \mu_3, \cos \mu_3 \right], \frac{dC_3}{dx} \left[0, R \cos x \right],$$

$$M_{pneu} = F_c \cdot \left\{ R \left[\cos x \cos \mu_3 - \sin x \sin(-x+\mu_2) \right] - C_1 \left[-\sin x \cdot \sin(-x+\mu_2) + \cos(-x+\mu_2) \cos x \right] - C_2 \left[-\cos x \cdot \sin(-x+\mu_2) - \sin x \cdot \cos(-x+\mu_2) \right] \right\} =$$

$$= F_c \cdot \left[R \left(\cos x \cos \mu_3 - \sin x \sin(-x+\mu_2) - (C_1 \cos \mu_2 + C_2 \sin \mu_2) \right) \right]. \quad (3.3,14)$$

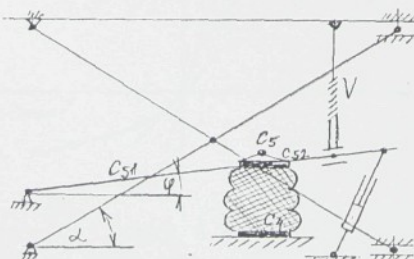
a) konstrukce prototypu KAROSA – pružina umístěna mezi páku 1 a podstavec

$$\vec{f}_1 \left[-\sin(x+\mu_1), \cos(x+\mu_1) \right], \frac{dC_1}{dx} \left[-C_1 \sin x - C_2 \cos x, C_1 \cos x - C_2 \sin x \right]$$

$$\vec{f}_4 \left[0, 1 \right], \quad \frac{dC_4}{dx} \left[0, 0 \right].$$

$$M_{pneu} = F_c \left[C_1 \cos \mu_1 + C_2 \sin \mu_1 \right].$$

3.4 Pneumatická pružina spojená s indikační pákou



Obr. 3.5

Na obr. 3.5 je naznačeno umístění pneumatické pružiny mezi základnou (bod C_4) a indikační páku (bod C_5). Jejich souřadnice jsou

$$C_5 [c_{51} \cos \varphi - c_{52} \sin \varphi, c_{51} \sin \varphi + c_{52} \cos \varphi] \quad (3.4,1)$$

$$C_4 [c_{41}, c_{42}] \quad (3.4,2)$$

a pro jednotkové vektory normál k základnám platí

$$j_5 [-\sin \varphi, \cos \varphi], j_4 [0, -1] \quad (3.4,3)$$

a pro virtuální posuvy bodů C_4, C_5

$$\vec{dr}_4 [0, 0]$$

$$\vec{dr}_5 [-(c_{51} \sin \varphi + c_{52} \cos \varphi) d\varphi, (c_{51} \cos \varphi - c_{52} \sin \varphi) d\varphi] \quad (3.4,5)$$

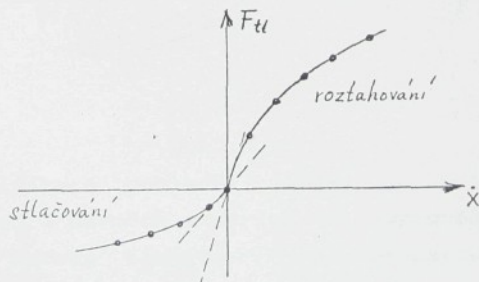
takéž pro virtuální práci pružiny obdržíme

$$\Delta F_{pruž} = F_c (\vec{j}_5, \vec{dr}_5) = c_{51} F_c \cdot d\varphi = \left(c_{51} F_c \frac{d\varphi}{dx} \right) \cdot dx \quad (3.4,6)$$

a je tedy úměrná okamžité velikosti převodu $\frac{d\varphi}{dx}$.

3.5 Charakteristiky hydraulických tlumičů

Zaznamenáme-li při zvolené amplitudě harmonického kmitu a různých jeho frekvencích hodnotu tlumící síly při jednotlivých maximálních rychlostech pistnice,



Obr. 3.6

obdržíme t.zv. statickou rychlostní charakteristiku, kterou můžeme dobře approximovat polynomální regresí zvlášt pro

každou její větev

$$F_{\text{u}} = \sum_{j=1}^N b_j(\text{sign} x) x^j \quad (3.5,1)$$

kde naznačenou závislostí zohledňujeme nesymetrii charakteristiky vzhledem k počátku.

Uvedená závislost je však pouze základní approximaci skutečné síly

$$\bar{F}_{\text{u}} = F_{\text{u}} + F_{\text{pas}}(x) + F_{\text{př}}(x) + F_{\text{du}}(x, \dot{x}) \quad (3.5,2)$$

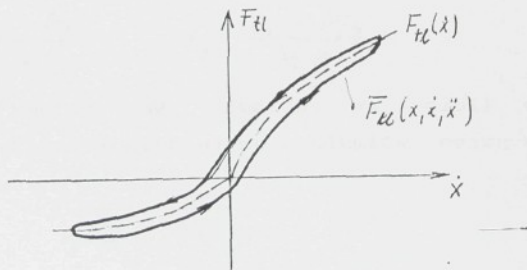
kde další sekundární složky mají tento význam:

F_{pas} je dána pasivními odpory pistu ve válci a pistnice ve vodítku a ucpávce,

$F_{\text{př}}$ je výrazná u jednopláštového tlumiče a představuje direktní sílu stlačeného plynu v akumulátoru,

F_{du} je dána zrychlením setrvačných hmot tlumiče

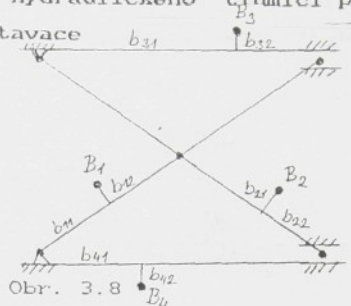
Všechny tyto sekundární složky způsobují hysterezi skutečné t.zv. dynamické rychlostní charakteristiky



Obr. 3.7

Zvláště identifikace poslední složky je velmi obtížná a vyžaduje přesné a náročné experimenty doprovázené simulacemi matematického modelu tlumiče. U jednopláštového tlumiče je tato problematika analyzována v práci [32].

3.6 Silový moment hydraulického tlumiče připojeného k mechanizmu podstavace



Obr. 3.8

Označíme-li B_i, B_j obecně polohu závěsu tlumiče ($i, j = 1, 4$) podle obr. 3.8, platí pro odvození analogické vztahy odst. 3.3:

$$B_1 [b_{11}\cos\alpha - b_{12}\sin\alpha, b_{11}\sin\alpha + b_{12}\cos\alpha],$$

$$B_2 [R\cos\alpha - b_{21}\cos\alpha + b_{22}\sin\alpha, b_{21}\sin\alpha + b_{22}\cos\alpha], \quad (3.6,1)$$

$$B_3 [b_{31}, R\sin\alpha + b_{32}], \quad B_4 [b_{41}, b_{42}].$$

V bodech B_i, B_j působí síla ve směru spojnice $B_i B_j$; tlumič je kloubově uložen. Označíme-li F_{tl} sílu vyvazovanou tlumičem, analogicky vztahu (3.3,9) odvodíme

$$M_{tl} = F_{tl} \left[i_x \left(\frac{dB_{ix}}{dx} - \frac{dB_{jx}}{da} \right) + i_y \left(\frac{dB_{iy}}{dx} - \frac{dB_{jy}}{da} \right) \right], \quad (3.6,2)$$

kde

$$i_x = \frac{b_{ix} - b_{jx}}{B_i B_j}, \quad i_y = \frac{b_{iy} - b_{jy}}{B_i B_j} \quad (3.6,3)$$

jsou směrové kosiny osy tlumiče. Na rozdíl od uložení pneumatické pružiny kontrolujeme u tlumiče nejen maximální a minimální délku

$$l_{tl} = \overline{B_i B_j}, \quad (3.6,4)$$

ale u dvojpášťového tlumiče rovněž jeho sklon od vertikály

$$\beta = \arctg \frac{b_{iy} - b_{jy}}{b_{ix} - b_{jx}} \quad (3.6,5)$$

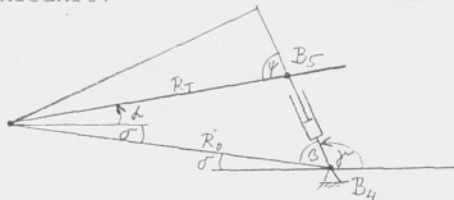
který nesmí překročit určitou hodnotu.

3.7 Zjednodušení odvozených vztahů ve zvláštním případě

V případě, kdy tlumič resp. kloubově uložená pneumatická

pružina je uložena tak, že horní kloub je přímo na páce mechanizmu a spodní kloub na základu, můžeme vztahy odvozené v 3.3 resp. 3.6 zprůhlednit:

A. Tlumič



Obr. 3.9

pro lineární, resp. linearizovaný tlumič (při výpočtech stability),

$$\begin{aligned}
 dA_{tx} &= F_{tx} (j_x dB_{5x} + j_y dB_{5y}) = \\
 &= F_{tx} \left[\frac{(B_{5x} - B_{4x})}{B_4 B_5} dB_x + \frac{(B_{5y} - B_{4y})}{B_4 B_5} dB_{5y} \right] = \\
 &= F_{tx} \left[\frac{(B_{5x} - B_{4x})}{[(B_{5x} - B_{4x})^2 + (B_{5y} - B_{4y})^2]} dB_x + \frac{(B_{5y} - B_{4y})}{[(B_{5x} - B_{4x})^2 + (B_{5y} - B_{4y})^2]} dB_{5y} \right], \quad (3.7,1) \\
 &= F_{tx} d \left[\frac{(B_{5x} - B_{4x})^2 + (B_{5y} - B_{4y})^2}{[(B_{5x} - B_{4x})^2 + (B_{5y} - B_{4y})^2]} \right]^{\frac{1}{2}} = F_{tx} \frac{dl}{dx} dx = \\
 &= -b \cdot \frac{dl}{dt} \frac{dl}{dx} dx = -b \left(\frac{dl}{dx} \right)^2 \dot{x} dx = M_{tx} dx
 \end{aligned}$$

Na druhé straně platí

$$M_{tx} = -b \cdot l \cdot R_T \sin \varphi = -R_T b \sin \varphi \frac{dl}{dx} \cdot \dot{x} \quad (3.7,2)$$

$$l = \sqrt{B_4 B_5} = \sqrt{R_T^2 + R_4^2 - 2 R_T R_4 \cos(\alpha + \delta)} \quad (3.7,3)$$

$$\frac{dl}{dx} = \frac{\frac{1}{2} \cdot 2 R_T R_4 \sin(\alpha + \delta)}{[R_T^2 + R_4^2 - 2 R_T R_4 \cos(\alpha + \delta)]^{\frac{1}{2}}} = \frac{R_T R_4 \sin(\alpha + \delta)}{l} \quad (3.7,4)$$

Pro úhly na obr. 3.9 platí

$$\begin{aligned}
 \varphi &= \alpha + \beta + \beta' & \varphi' &= 180^\circ + \ell - \beta' \\
 \beta &= 180^\circ - \beta' - \delta & 180^\circ - \varphi &= \beta' - \alpha
 \end{aligned} \quad (3.7,5)$$

Dále je

$$\frac{\sin(\alpha + \delta)}{\sin(180^\circ - \psi)} = \frac{l}{R_0},$$

$$\sin \psi = \frac{R_0 \sin(\alpha + \delta)}{l}, \quad (3.7,6)$$

a po dosazení do (3.7,4)

$$\frac{dl}{dx} = R_f \sin \psi \quad (3.7,7)$$

a po dosazení do (3.7,1)

$$M_{\text{el}} = (R_f \sin \psi)^2 \cdot k_i \quad (3.7,8)$$

Vztah (3.7,7) umožňuje lehce určit převod v rovnovážné poloze

$$\left. \frac{dl}{dx} \right|_0 = R_f \sin(\psi_0 - \alpha_0), \quad (3.7,9)$$

B. Pneumatická pružina

Umístíme-li pneumatickou pružinu do stejného místa jako tlumič, odvodíme postupem (3.7,1) - (3.7,8)

$$M_{\text{pru}} = F_{\text{pru}} \cdot \frac{dl}{dx}, \quad (3.7,10)$$

při čemž platnost vztahu (3.7,9) zůstává. Rozvineme-li v rovnovážné poloze M_{pru} v Taylorovu řadu, bude

$$\begin{aligned} M_{\text{pru}} &= M_{\text{pru}0} + \left. \frac{\partial M_{\text{pru}}}{\partial x} \right|_0 \cdot dx + \left. \frac{\partial M_{\text{pru}}}{\partial p} \right|_0 \cdot dp + \\ &= M_{\text{pru}0} + \left. \frac{\partial M_{\text{pru}}}{\partial l} \right|_{dx} \frac{dl}{dx} \cdot dx + \left. \frac{\partial M_{\text{pru}}}{\partial p} \right|_0 \cdot dp = \end{aligned} \quad (3.7,11)$$

$$\frac{\partial M_{\text{pru}}}{\partial l} \cdot \frac{\partial F_{\text{pru}}}{\partial l} \cdot \frac{dl}{dx} = c_{\text{pru}} \frac{dl}{dx}. \quad (3.7,12)$$

Pro tuhostní člen v linearizovaném poruchovém systému příslušném (2.6,1)

$$\frac{\partial M_{\text{pru}}}{\partial x} = c_{\text{pru}} \cdot \left(\frac{dl}{dx} \right)_0^V = c_{\text{pru}} \cdot R_f^V \sin^V(\psi_0 - \alpha_0), \quad (3.7,13)$$

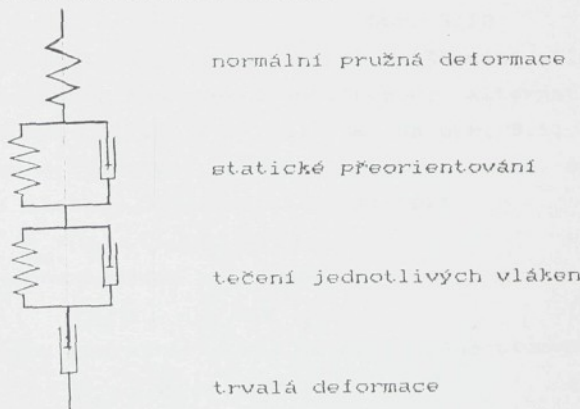
3.8 Dorazové pryžové bloky a jejich charakteristiky

Pro vymezení krajních poloh nážkového mechanizmu se používají pryžové bloky jakožto progresivní tlačné pružiny s nezanedbatelným vnitřním (materiálovým) útlumem.

Pryž má vyjimečné mechanické a fyzikální vlastnosti, především schopnost značných deformací. Tyto deformace zahrnují v sobě vratné i nevratné procesy; nicméně při vhodném praktickém použití jsou to hlavně procesy vratné. Jejich pořadí je následující:

1. Nejprve normální pružná deformace, doprovázená změnou objemu a hromaděním energie napjatosti, tato složka následuje 10^{-12} - 10^{-14} sec od okamžiku T_0 , kdy začalo působit napětí.
2. Další deformace, způsobená statickým přeorientováním molekul, aniž by došlo k přerušení sírových můstků mezi molekulami kaučuku a nastává 10^{-4} - 10^{-5} sec od okamžiku T_0 .
3. Deformace vzniklá tečením jednotlivých vláknových molekul při porušení některých mezimolekulárních můstků - 10^{-3} až 10^{-2} sec.
4. Po porušení posledních míst svazků molekul dochází k čistému tečení a tím i trvalé deformaci.

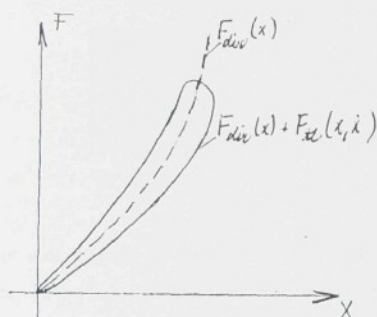
V [37] je uveden následující schema.



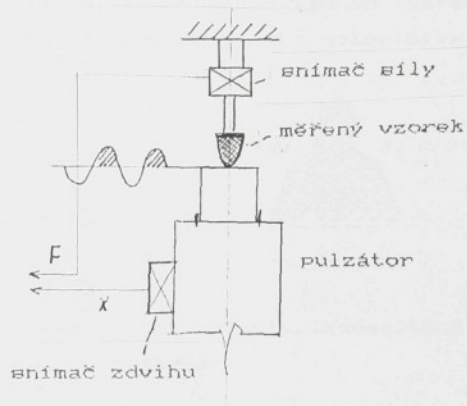
Obr. 3.10

Identifikace statické a dynamické tuhosti pryžových silenbloků používaných pro pružné ukládání strojů je podobně

rozebráno v [17], výklad rozdílu statické a dynamické tuhosti je v originální práci [29]. Pryžové dorazové bloky však nepracují v ustálených režimech s danou frekvencí kmitání; přicházejí do funkce spíše vyjímečně, při identifikaci jejich vratné a tlumící síly se snažíme realizovat takové experimenty, které se reálným procesům budou co nejvíce blížit.



Obr. 3.11



Obr. 3.12

Schema experimentu a jeho záznam při zatěžování půlvlnami harmonického signálu s konstantní amplitudou, alternativně s různými frekvencemi (1), (2), (3) je na obr. 3.11, 3.12. V podstatě půjde o oddělení direkční složky, dané střední čarou od tlumící složky, způsobující hysterézi

$$F_{dir} = F_{dir}(x) + F_d(x, \dot{x}) \quad (3.8,1)$$

Direkční složku approximujeme polynomem

$$F_{dir}(x) = \sum_{i=1}^n a_i x^i \quad (3.8,2)$$

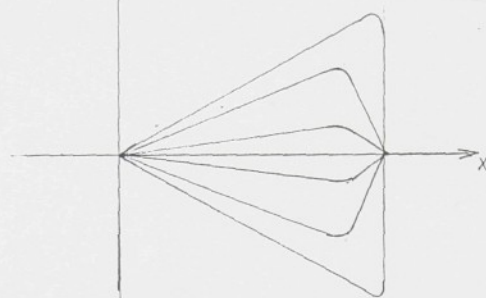
zobecníme-li známou charakteristiku materiálového tlumení

$$F_d = k_D |x|^{1/m} |\dot{x}|^{n/m} \operatorname{sign} x \quad (3.8,3)$$

na

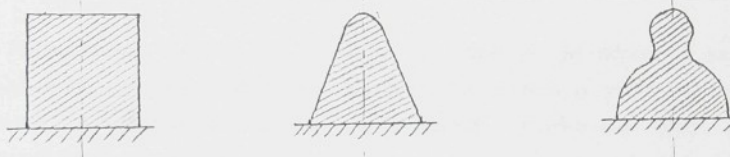
$$F_d = k_D |x|^{m/n} |\dot{x}|^{n/m} \operatorname{sign} x \quad (3.8,3b)$$

můžeme podle návodu, vypracovaného v [38], určit hodnoty



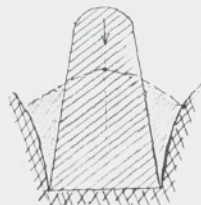
Obr. 3.13

Nelineární průběh direkční sily je především ovlivněn tvarem silentbloku viz obr. 3.14, průběh tlumící sily jeho materiálem.



Obr. 3.14

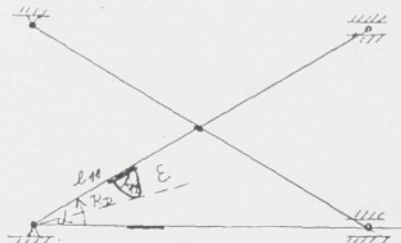
v současné době se jako perspektivní jeví (konsultace s vývoj. pracovištěm Gumokov Hradec Králové).



Obr. 3.15

tvarové opěry pryžového bloku, které jsou při dorazu postupně stlačenou gumou vyplňeny; jejich předností proti předešlým je stálost charakteristiky direkční složky.

3.9 Moment síly dorazové pružiny



Obr. 3.16

Podmínkou správné funkce dorazové pružiny je, aby trajektorie dotykového bodu protínala kolmo dorazovou plochu; vzhledem k poměrně malým deformacím (několik mm) můžeme stlačení approximovat závislostí

$$x = R_D \arcsin \dot{\theta}, \quad \dot{x} = R_D \dot{\theta} \quad \text{ze } (x_0, \dot{x}_0) \text{ (3.9,1)}$$

kde $\dot{\theta}_D$ je úhel při němž dochází k dotyku,

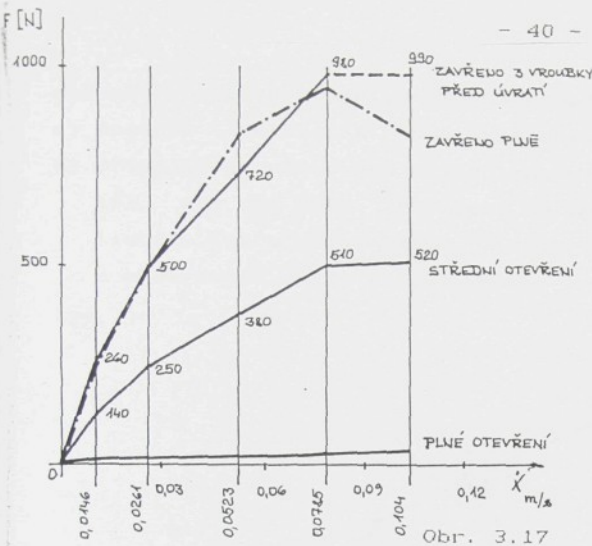
$\dot{\theta}_D$ je úhel maximálního možného stlačení.

Pro moment síly dorazového pružového bloku pak máme

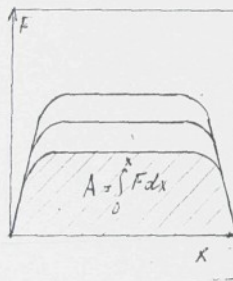
$$\begin{aligned} M_{dev} &= R_D (F_{D,dev} + F_{D,ac}) = \\ &\rightarrow R_D \left(\sum_{i=1}^N a_i x^i + b_D |x|^m |\dot{x}|^n \operatorname{sign} \dot{x} \right) \end{aligned} \quad (3.9,2)$$

3.10 Dorazový tlumič a jeho charakteristiky

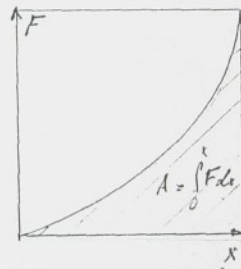
- Regulovaný dorazový tlumič (obr. 3.17) s konstantním škrcením během zdvihu (má degresivní charakteristiku, znázorněnou pro vybrané čtyři stupně škrcení na obr. 3.17)



Při rychlosti $0,08 \text{ ms}^{-1}$ je charakteristika nasycená: tlumič je samozřejmě jednočinný, tlumí pouze ve stlačovací fázi. Jeho zdvihofáza charakteristika (převzato s prospektu firmy) je na obr. 3.18



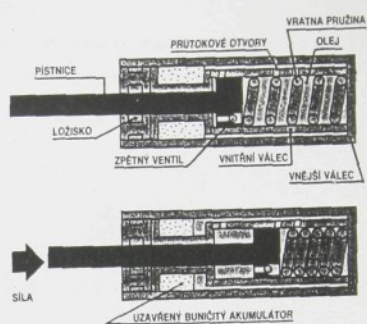
Obr. 3.18



Obr. 3.19

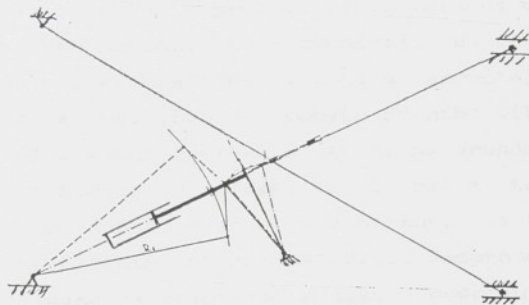
2. Neregulovatelný progresivní dorazový tlumič. Zdvihofáza charakteristika je na obr. 3.19

Stejně jako v odst. 3.5 můžeme popsat sílu tlumiče regresními polynomy. Aplikace dorazového tlumiče v pružicím mechanizmu má smysl tam, kde dochází k velkým relativním výchylkám sedačky vůči kabíně (terénní nákladní automobily). Pokud chceme pomocí dorazového tlumiče zkvalitnit proces



omezení pohybu v krajních plochách mechanizmu je možné

- a) opatřit tlumiči jak horní, tak dolní doraz,
 - b) připojit k nážkovému mechanizmu další mechanizmus, řešený tak, aby v obou krajních polohách stlačoval nárazový tlumič. Tento mechanizmus (viz obr. 3.20) je podrobně popsán a analyzován v [5] a [33].



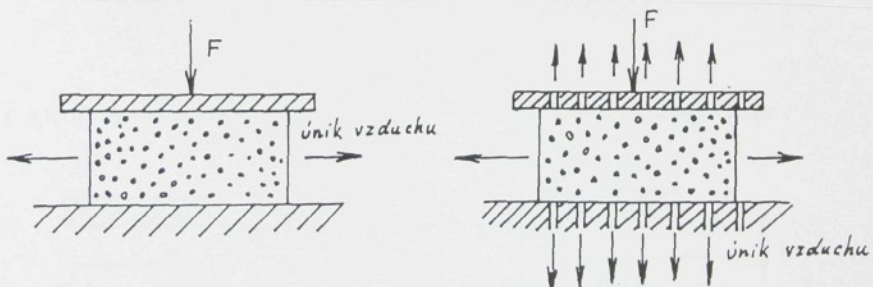
Obr. 3. 20

4.0 DRUHÝ VIBROIZOLAČNÍ STUPEŇ

4.1 Empirické poznatky

Pružné uložení těla řidiče na sedáku a opěráku má vedle fyziologických efektů, pocitu pohodlí, vhodného podpření dotykových partií těla i určitý vibroizolační efekt, jednak v oblasti velkých zdvihů, kdy přicházejí do funkce dorazové prvky prvního vibroizolačního stupně a samozřejmě také tam, kdy nedochází k relativnímu pohybu prvního vibroizolačního stupně. Jelikož vlastní frekvence zátěže na druhém stupni bývá podle hmotnosti řidiče v oblasti $\langle 6, 10 \text{ Hz} \rangle$ a tato oblast je navíc nejvíce chráněná hygienickou normou, je třeba věnovat i tomuto vibroizolačnímu stupni náležitou pozornost.

Pěny, používané na polštáře sedáku a opěráku, jsou tvořeny prostorovou sítí základního materiálu, která tvoří buňky naplněné vzduchem. Kanály mezi buňkami jsou různě velké, závisí na homogenitě zpěnění materiálu; v krajním případě jsou buňky zcela uzavřené. Při stlačování se vzduch vytlačuje od středních postupně až k volnému povrchu, při roztažování se nabává opačnou cestou.



Obr. 4.1

Je dále patrné, že charakter těchto výměn bude záležet na prodyšnosti materiálu kompletního polštáře, příp. jen jeho části (na př. aplikace prodyšného materiálu na opěrné plochy a neprodyšného na boky polštářů). Škrcení vzduchu při výměnách a

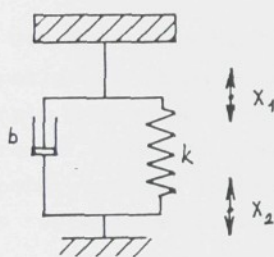
patrně i vnitřní materiálové tlumení sedáku a opěráku je příčinou hystereze na zatěžovacích charakteristikách pěny. Konečně bylo zjištěno, že jak pružící tak i tlumičí vlastnosti materiálu podstatně závisejí na velikosti statického předpřetí.

4.2 Reologické modely viskoelastických materiálů

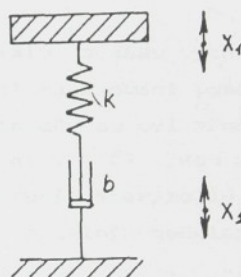
I. Při diskretizaci modelu druhého vibroizolačního stupně je možné postupovat analogicky jako v [1] u pryže: výběrem několika parametrického modelu a z výsledků modelového experimentu provést identifikaci těchto parametrů.

Tyto modely jsou tvořeny sériovým a paralelním spojením lineárních a nelineárních pružin a tlumičů. Uvedeme některé známé

a) Voigt-Kelvinův

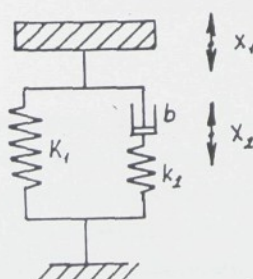


b) Maxwellův

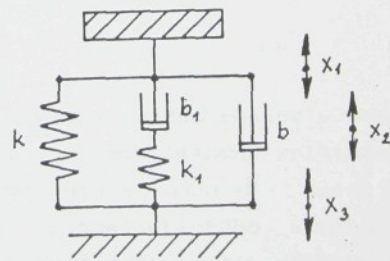


Obr. 4.2

c) tříparametrický

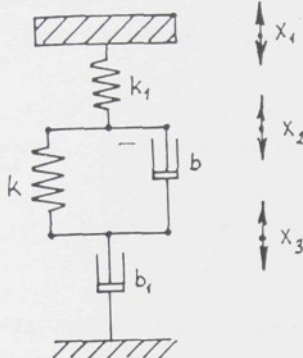


b) čtyřparametrický

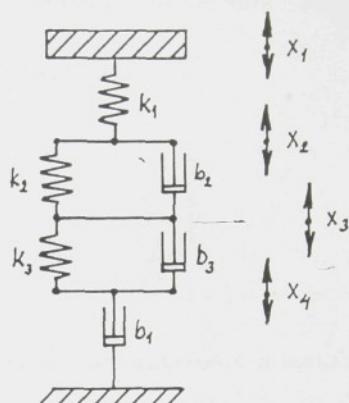


Obr. 4.3

a) Tucketáv

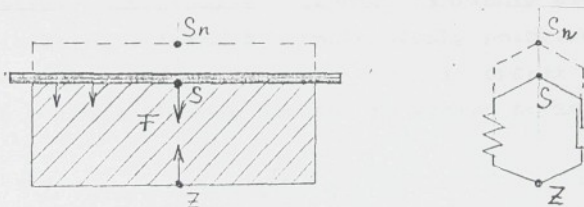


b) Holzmülleráv



Obr. 4.4

Uvedené diskrétní modely materiálu sedáku vycházely z předpokladu jeho osového (vertikálního) zatěžování (opěrák se z tohoto důvodu neuvažoval). A z tohoto důvodu byl předpoklad isotropie materiálu nezpochybnitelný a v [5] jsou uvedeny podrobne výsledky experimentálního šetření. Kterýkoliv ze tří druhů vyšetřovaných pěn byl nahrazen podélným modelem

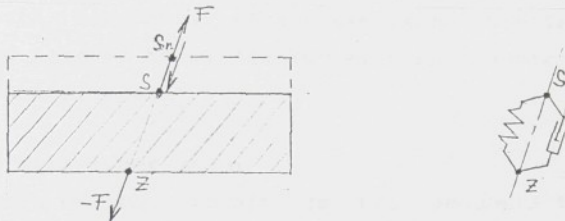


Obr. 4.5

Při zatížení silou P v bodě S vznikne opačná reakce v bodě základny Z ; S_n značí neutrální polohu nezatíženého polštáře. Při vertikálním zatěžování zůstává poloha bodu Z pevná a jako diskrétní náhradní model viskoelastického elementu schematicky naznačeného na obr. 4.5 bylo možno volit některý z uvedených náhradních modelů.

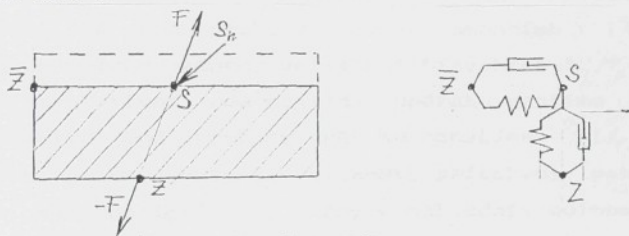
Pokládáme-li materiál sedáku resp. opěráku za izotropní a uvažujeme-li deformaci v obecném směru, je určena poloha bodu Z

směrem vektoru deformace $\overrightarrow{S_n S}$ (viz obr. 4.6)



Obr. 4.6

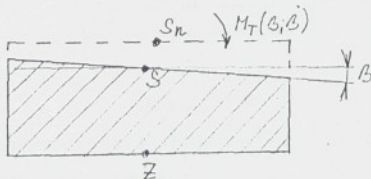
je-li materiál sedáku resp. opěráku anizotropní a zatížen v obecném směru



Obr. 4.7

je určena poloha bodu Z směrem deformační síly, jejíž směr není obecně totožný se směrem vektoru deformace $\overrightarrow{S_n S}$. V tomto případě patrně nevystačíme s jedním náhradním elementem, ale dvěma, umístěnými v tečné a normále plochy polštáře.

Navíc může být pak sedák tak i opěrák skloněn (viz obr. 4.8) a v tomto případě dochází ke vzniku torzního momentu



Obr. 4.8

působícímu proti smyku úhlové výchylky β .

Respektování této skutečnosti nás vede ke dvěma alternativním modelování:

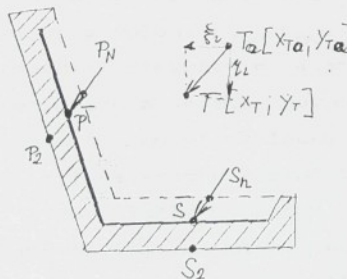
- 1) nahrazení pěny polštáře sedáku a opěráku diskrétními viskoelastickými elementy, jejichž počet a umístění bude respektovat buď izotropii nebo anizotropii materiálu - separovaný model,
- 2) kompletní nahrazení viskoelastického kontinua sedáku i opěráku zároveň třemi fiktivními viskoelastickými elementy - integrovaný model.

4.3 Separovaný model

U separovaného modelu je při posunutí těžiště zátěže [§₂, §₂] a natočení zátěže o úhel β třeba stanovit změnu souřadnic reprezentativních bodů viskoelastických elementů.

Reprezentativní bod základny sedáku označíme $S_2[x_{S2}, y_{S2}]$, reprezentativní bod pružiny sedáku označíme $S_1[x_s, y_s]$ jeho stacionární polohu určenou velikostí tíhy hmot m_s, m_s, m_s $S_0[x_{S0}, y_{S0}]$.

Reprezentativní bod základy opěráku označíme $P[x_{P1}, y_{P1}]$, reprezentativní bod pružiny opěráku označíme $P_1[x_p, y_p]$, jeho stacionární polohu určenou velikostí přitažení popruhu tak, aby byla splněna ($\beta=0$) t.j. aby v základní poloze "seděla" dynamika zátěže svisle; $P_0[x_{P0}, y_{P0}]$



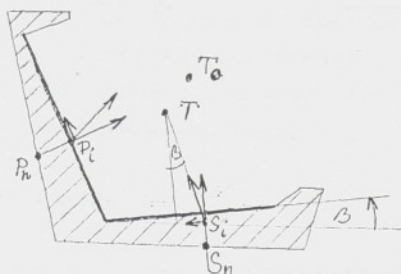
Obr. 4.9

Těžiště rámu se posune z polohy $T_0[x_{T0}, y_{T0}]$ do polohy T , takže pro souřadnice těžiště rámu zátěže platí

$$x_T = x_{T0} + \frac{S_2}{S_2} \quad (4.3,1)$$

$$y_T = y_{T0} + y_{S2}$$

a potom se rám dynamické zátěže otočí o úhel β :



Obr. 4.10

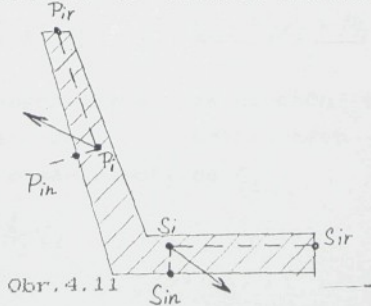
Při otočení zátěže kolem příčné osy procházející těžistem zůstanou souřadnice těžistě zachovány a pro body S_i, P_i platí

$$\begin{vmatrix} x_{Si} \\ y_{Si} \end{vmatrix} = \begin{vmatrix} x_{T_0} \\ y_{T_0} \end{vmatrix} + \begin{vmatrix} \xi_2 \\ \eta_2 \end{vmatrix} + \begin{vmatrix} \cos \beta, -\sin \beta \\ \sin \beta, \cos \beta \end{vmatrix} \begin{vmatrix} x_{soi} - x_{T_0} \\ y_{soi} - y_{T_0} \end{vmatrix}$$

$$\begin{vmatrix} x_{Pi} \\ y_{Pi} \end{vmatrix} = \begin{vmatrix} x_{T_0} \\ y_{T_0} \end{vmatrix} + \begin{vmatrix} \xi_2 \\ \eta_2 \end{vmatrix} + \begin{vmatrix} \cos \beta, -\sin \beta \\ \sin \beta, \cos \beta \end{vmatrix} \begin{vmatrix} x_{poi} - x_{T_0} \\ y_{poi} - y_{T_0} \end{vmatrix} \quad (4.3,2)$$

Reprezentativní body se posunou z polohy $[x_{soi}, y_{soi}]$ do polohy $[x_{Si}, y_{Si}]$ resp. z polohy $[x_{poi}, y_{poi}]$ do polohy $[x_{Pi}, y_{Pi}]$.

Abychom přisoudili diskrétním elementům umístěným mezi dosedací plochu polštářů a jejich nosnou kostru spojenou se souřadním systémem Oxy , horní základny pružicího mechanizmu, musíme deformační sílu elementu rozložit do normálové složky (kolmé k ploše) a do složky v tečné rovině plochy. Pro tu ovšem obecně nemáme definované místo působiště reakce, která je potom zachycena čalouněním a určitou tvarovou pevností celého polštáře.

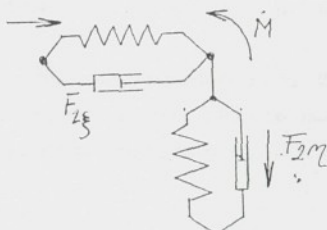


Obr. 4.11

Zatímco body S_{in} , P_{in} mohou sloužit jako působiště reakce normálové složky, body S_{ir} , P_{in} obecně tuto možnost nemají. To je, vedle problému statické nerčitosti nahradby, hlavně nedostatek separovaného modelu. Z uvedeného modelu se jeví smysluplné se dále tímto modelem nezabývat.

4.4 Integrovaný model

Naznačené potíže při identifikaci jednotlivých diskrétních vibroizolačních elementů se pokusíme odstranit následujícím modelem: kontinuální pružné uložení v sedáku a opěráku nahradíme třemi fiktivními elementy a sice:



Obr. 4.12

První je ve směru osy γ_1 a předepojatý v klidu tím dynamické zátěže, druhý ve směru osy ξ_1 , předepojatý spinacím pásem opěráku a třetí - torzní nepředepojatý.

Z empirických poznatků vyplývá, že těža zátěže a jí příslušná výchylka ve směru γ_1 bude ovlivňovat pružící a tlumící vlastnosti pěny polstářů nejen ve směru γ_1 ale i ve směru ξ_1 případně i v úhlu β .

Oddělíme nejprve v každém směru direkční a tlumící složky

$$F_{2\xi} = F_{2\xi D} + F_{2\xi T}, \quad F_{2\gamma} = F_{2\gamma D} + F_{2\gamma T}, \quad M_{2\beta} = M_{2\beta D} + M_{2\beta T} \quad (4.4.1)$$

a podle výše uvedeného předpokládáme, že direkční složky jsou nelineárními funkcemi deformací v příslušných směrech s respektováním předpokladu o závislosti na γ_1 :

$$F_{2\xi D} = \sum_{j=1}^{m_1} k_j \gamma_1^j \quad (4.4.2)$$

$$F_{2\xi D} = \sum_{i=1}^{m_\xi} \sum_{j=0}^{N_\xi} k_{\xi ij} \xi^i \eta_2^j, \quad M_{2BD} = \sum_{i=1}^{m_B} \sum_{j=0}^{N_B} k_{Bij} B^i \eta_2^j \quad (4.4,3)$$

stejně tak předpokládáme, že pro tlumící složky můžeme psát

$$F_{2\xi T} = \sum_{i=0}^{M_\xi} \sum_{j=0}^{N_\xi} \sum_{k=1}^{L_\xi} k_{\xi ijk} \xi^i \eta_2^j \xi^k, \quad F_{2\gamma T} = \sum_{j=0}^{N_\gamma} \sum_{k=1}^{L_\gamma} \eta_2^j \eta_2^k b_{qik} \quad (4.4,4)$$

$$M_{2BT} = \sum_{i=0}^{M_B} \sum_{j=0}^{N_B} \sum_{k=1}^{L_B} k_{Bijk} B^i \eta_2^j B^k$$

Identifikace takto pojatého nelineárního Kelvinova modelu bude příliš náročná na rozsah a přesnost příslušných experimentů.

Omezíme-li se proto na předpoklad, že relativní odchylky ξ_2 jsou v průběhu pracovního režimu malé vzhledem k stacionární hodnotě ξ_{2S} dané statickým zatížením, obdržíme místo (4.4,3) a (4.4,4)

$$F_{2\xi D} = \sum_{i=1}^{m_\xi} k_{\xi i} (\xi_{2S}) \xi^i, \quad M_{2BD} = \sum_{i=1}^{m_B} k_{Bii} (\eta_{2S}) B^i \quad (4.4,5)$$

$$F_{2\xi T} = \sum_{i=0}^{M_\xi} \sum_{k=1}^{L_\xi} k_{\xi i} (\xi_{2S}) \xi^i \xi^k, \quad F_{2\gamma T} = \sum_{k=1}^{L_\gamma} b_{qk} (\eta_{2S}) \eta_2^k, \quad (4.4,6)$$

$$M_{2BD} = \sum_{i=0}^{M_B} \sum_{k=1}^{L_B} k_{Bik} (\eta_{2S}) B^i B^k$$

Toto zjednodušeného způsobu se přidržíme; v [5]: naznačeno, že koeficienty jsou funkce statického předpětí, uvedená approximace je možná jen v případech, kdy nedochází ke značnému přetížení nebo naopak značnému odlehčení druhého vibroizolačního stupně.

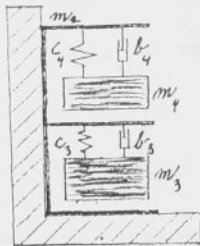
Řešením rovnice

$$F_{2\eta D} = \sum_{i=1}^{m_\eta} k_{\eta i} \eta_2^i = \sum_{j=2}^4 m_j g \quad (4.4,7)$$

vyjadřující statické zatížení sedáku, obdržíme hledanou hodnotu γ_{IS} která je parametrem koeficientů approximačních polynomů (4.4,5) a (4.4,6).

4.5 Poznámka k realizaci dynamické zátěže

Návod vychází z doporučené normy ISO/DIS 5982 z r.1979; norma charakterizuje impedanci těla standardního řidiče a stanovuje hmotnosti m_3, m'_3 , tuhosti lineárních pružin c_3, c_4 , útlumové konstanty symetrických lineárních tlumičů b_3, b_4 , počítá ovšem z nehmotným rámem; rovněž požadavek nulových pasivních odporek je nereálný.



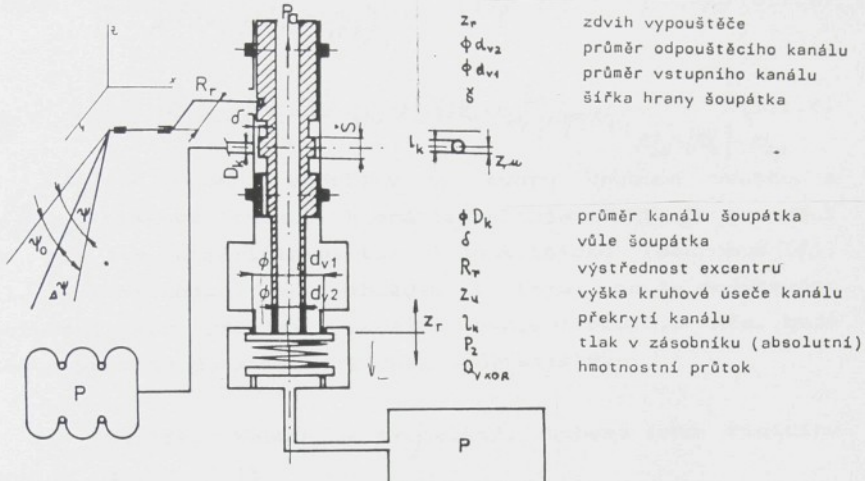
Obr. 4.13

Při konstrukčním návrhu bylo nutné minimalizovat hmotnost rámu m'_1 a dodržet jeho vysokou tuhost a anatomické tvary dotykových ploch (podrobně viz [5]).

5.0 REGULACE PRVNÍHO VIBROIZOLAČNÍHO STUPNĚ

5.1 Polohový regulátor a některé jeho typy

A. U regulátoru ATESO (viz obr. 5.1)



Obr. 5.1a.

je trojcestný a zdvih řoupátka je mechanicky řízen relativním zdvihem nûžkového mechanizmu. Funkce je podrobně popsána na př. [1], [9]. Označíme-li ψ úhel ramínka regulátoru a $\bar{\psi}$ jeho nulovou polohu, platí při správném nastavení pro zdvih řoupátka χ_n

$$\chi_n = R_n \sin(\psi - \bar{\psi}) \quad (5.1,1)$$

Vstup do regulačního obvodu je opatřen dvojitým zpětným ventilem, jehož dynamické vlastnosti nerespektujeme.

Funkce tohoto ventilu je podrobně popsána v [1], zde uvedeme nejpodstatnější vlastnosti. První stupeň řízení je realizován v oblasti velmi malých zdvihů řoupátka a je dán překrytím jeho řídicí hrany, tento průtok budeme považovat za lineární; v oblasti $|\chi_n| \leq \chi_{xp}$

je

$$G_{hol} = \begin{cases} R_L(p_a - p) \\ R_L(p_b - p) \end{cases} \quad (5.1,2)$$

kde R_L je pneumatický odpor daný překrytím řoupátka. Pak se otvírá kruhový otvor, průtok považujeme za turbulentní.

$$\left[\frac{2}{R_p T} \cdot p_2 (p_2 - p_{kp}) \right]^{\frac{1}{2}}, p_2 < 2p$$

$$|\kappa_v| > \kappa_{kp}; f(p, p_a, p_2) = \begin{cases} \left(\frac{1}{2R_p T} \cdot p_2 \right)^{\frac{1}{2}}, & p_2 > 2p \\ \left(\frac{1}{2R_p T} \cdot p \right)^{\frac{1}{2}}, & p > 2p_a \end{cases}$$

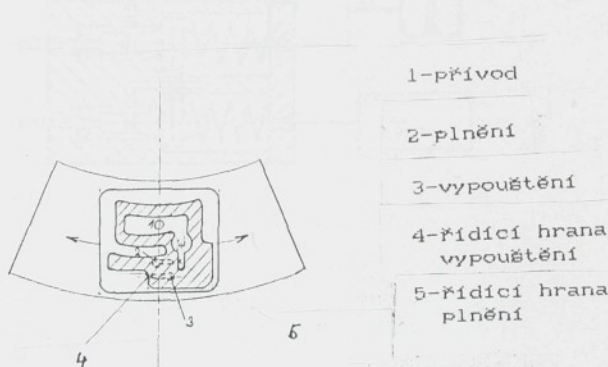
$$G = \mu S(\kappa_v) f(p, p_a, p_2), \quad (5.1, 3)$$

$$S(\kappa_w) = \left[R_k^2 \arccos \left(\frac{R_k - \kappa_w}{R_k} \right) - (R_k - \kappa_w) \left(2R_k - \kappa_w \right)^{\frac{1}{2}} \right] \operatorname{sign}(\kappa_v), \quad (5.1, 4)$$

$$\kappa_w = |\kappa_v| - \kappa_{kp}$$

kde $S(\kappa_v)$ je plocha štěrbiny ve tvaru kruhové výseče a $f(p, p_a, p_2)$ tlaková funkce, která respektuje fakt, že proudění může být jak nadkritické, tak i podkritické (podrobně [1], [8]). Poznamenejme, že vzhledem k tomu, že je dodržováno doporučení, aby přetlak v pružině neklesl pod 0,2 MPa, bude výtok z pružiny do atmosféry vždy nadkritický.

B. Regulátor WABCO je trocestný, schema jeho řídícího členu je na obr. 5.1b.



Obr. 5.1b

Hnací rameno je spojeno se segmentem, který pokrývá při vychýlení z neutrální polohy tvarované kanálky. Regulátor má do určité výchylky ψ_m pásmo necitlivosti (viz obr. 5.1d):

$$|\psi| \leq \bar{\psi}_m \quad S_\xi(\psi) = 0 \quad (5.1, 4)$$

Pro

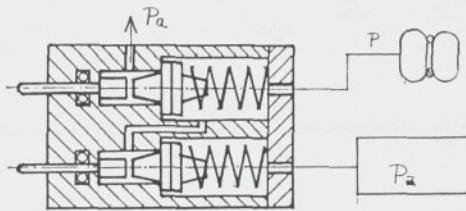
$$\bar{\psi}_n < |\psi| < \psi_1 \quad (5.1,5)$$

- první regulační stupeň (kanálek konstantního průřezu) a pro

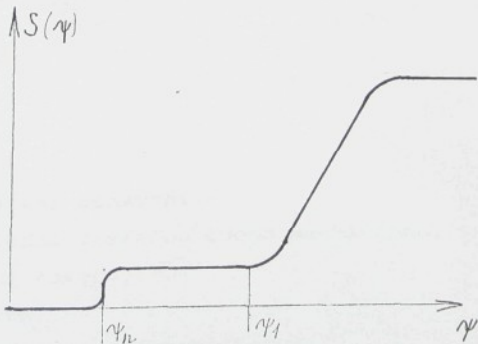
$$|\psi| > \psi_1 \quad (5.1,6)$$

- druhý regulační stupeň ve tvaru kruhové úseče s proměnnou výškou.

C. Regulátor ISRI (viz obr. 5.1c) je konstrukčně proveden jako dvojice dvojcestných ventilů, přičemž každý z ventilů má reléovou charakteristiku. Pásma necitlivosti v oblasti nulové polohy je vytvořeno dvojvačkou zabírající do stlačovacích dřírek ventilů s malou úhlovou výškou mezi vačkami.



Obr. 5.1c

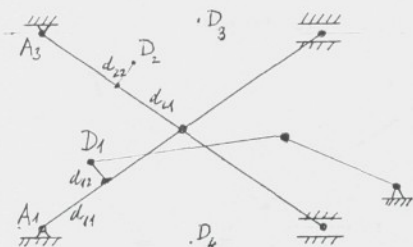


Obr. 5.1d

5.2 Náhon polohového regulátoru

I. Nejčastějším typem náhonu je čtyřkloubový mechanizmus; regulátor je upevněn obvykle na dolní nebo horní základně pružícího podstavce a hnací kloub je na některém z ramen nůžkového mechanizmu.

Označíme-li (analogicky odst. resp. odst.) souřadnice kloubů vzhledem k bodům A_1, A_3 resp. k rameni (1) a (2) d_{ij} ; $i = 1, 2$ ramena, $i = 3$ horní, $i = 4$ spodní — základna viz obr. (5.2)



Obr. 5.2

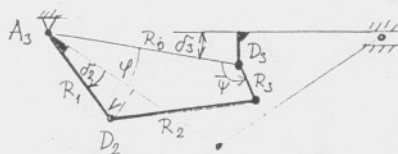
Platí pro souřadnice v základním souřadném systému spojeném s dolní základnou.

$$\begin{aligned}
 D_1 & [d_{11} \cos \alpha - d_{12} \sin \alpha, d_{11} \sin \alpha + d_{12} \cos \alpha], \\
 D_2 & [R \cos \alpha - d_{21} \cos \alpha + d_{22} \sin \alpha, d_{21} \sin \alpha + d_{22} \cos \alpha], \\
 D_3 & [d_{31}, R \sin \alpha + d_{32}], \\
 D_4 & [d_{41}, d_{42}].
 \end{aligned} \tag{5.2,1}$$

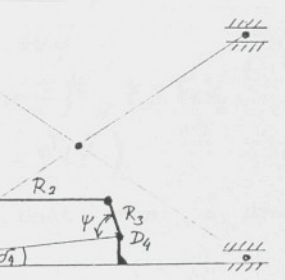
Zavedeme standardní označení:

- R_0 — základna čtyřkloubového mechanizmu,
- R_1 — hnací rameno,
- R_2 — ojnice,
- R_3 — hnané rameno (regulátoru).

Na obr. (5.3a) a (5.3b) jsou obvyklá schémata zapojení



Obr. 5.3a



Obr. 5.3b

Abychom mohli převést úlohu na známé řešení čtyřklobového mechanizmu je třeba zavést pomocné úhly:

$$\delta_2 = \arctg [d_{22} (R - d_{21})^{-1}] , \quad \delta_3 = \arctg [d_{32} \cdot d_{31}^{-1}] , \quad (5.2, 2a)$$

$$\delta_1 = \arctg (d_{12} \cdot d_{11}^{-1}) , \quad \delta_4 = \arctg (d_{42} \cdot d_{41}^{-1}) , \quad (5.2, 2b)$$

takže pro hnací úhel $\bar{\varphi}$ a hnany úhel $\bar{\psi}$ platí

$$a) \quad \alpha - \delta_3 = \bar{\varphi} - \delta_2 \quad , \quad \bar{\psi} = \psi - (90^\circ - \delta_3) \quad (5.2, 3a)$$

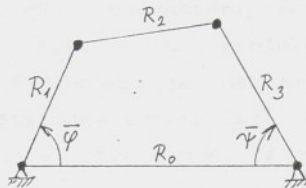
$$R_0 = (d_{31}^2 + d_{21}^2)^{\frac{1}{2}} \quad , \quad R_1 = [(R - d_1)^2 + d_{21}^2]^{\frac{1}{2}},$$

$$b) \quad \alpha - \delta_4 = \bar{\varphi} - \delta_1 \quad , \quad \bar{\psi} = \psi + (90^\circ - \delta_4) \quad (5.2, 3b)$$

$$R_0 = (d_{41}^2 + d_{21}^2)^{\frac{1}{2}} \quad , \quad R_1 = (d_{11}^2 + d_{21}^2)^{\frac{1}{2}}$$

V obou případech je délka ramenka regulátoru R_3 .

Kinematické řešení mechanizmu je známé na př. [28]:



Obr. 5.4

$$U = R_1 \sin \bar{\varphi}, \quad V_1 = R_0 - R_1 \cos \bar{\varphi}, \quad U = V_1 V_2^{-1} \quad (5.2,4)$$

$$V_1 = R_0^2 - R_2^2 + R_0^2 - R_1^2 - 2R_0 R_1 \cos \bar{\varphi}$$

$$V_2 = 2R_3(R_0^2 + R_1^2 - 2R_0 R_1 \cos \bar{\varphi})^{1/2}, \quad V = V_1 V_2^{-1}$$

$$\bar{\psi} = \arctg U + \arccos V = \bar{\varphi}(\bar{\varphi}) \quad (5.2,5)$$

Vedle toho potřebujeme znát první a druhou derivaci této závislosti

$$\frac{dU_1}{d\bar{\varphi}} = R \cos \bar{\varphi}, \quad \frac{dV_2}{d\bar{\varphi}} = R \sin \bar{\varphi} \quad (5.2,7)$$

$$\frac{dV_1}{d\bar{\varphi}} = 2R_0 R_1 \sin \bar{\varphi}, \quad \frac{dV_2}{d\bar{\varphi}} = (R_0^2 + R_1^2 - 2R_0 R_1 \cos \bar{\varphi})^{-1} R_0 R_1 \sin \bar{\varphi}$$

$$\frac{dU}{d\bar{\varphi}} = V_2^{-2} \left(\frac{dV_1}{d\bar{\varphi}} V_2 - \frac{dV_2}{d\bar{\varphi}} V_1 \right)$$

$$\frac{d\bar{\psi}}{dU} = (1 + V^2)^{-1}, \quad \frac{d\bar{\psi}}{dV} = (1 - V^2)^{-1/2} \quad (5.2,7)$$

$$\frac{d\bar{\psi}}{d\bar{\varphi}} = \frac{\partial \bar{\psi}}{\partial U} \frac{dU}{d\bar{\varphi}} + \frac{\partial \bar{\psi}}{\partial V} \frac{dV}{d\bar{\varphi}}$$

Vzhledem k platnosti (5.2,3a) a (5.2,3b) je

$$\frac{d\bar{\psi}}{dU} = \frac{d\bar{\psi}}{d\bar{\varphi}} \quad (5.2,8)$$

Průběh převodu

$$\frac{d\psi}{dx} = \frac{d\psi}{d\varphi}(x) \quad (5.2,9)$$

je důležitou závislostí, charakteristickou pro určitý typ regulátoru, kterou musí mít projektant na zřeteli. Poznamenejme dále, že někdy je důležité znát i derivaci převodu, t.j. $\frac{d^2\psi}{dx^2}$, příslušné vztahy jsou odvozeny na př. v [5]

Při určité hodnotě úhlu $\psi = \bar{\psi}$ je regulátor nastaven do nulové polohy.

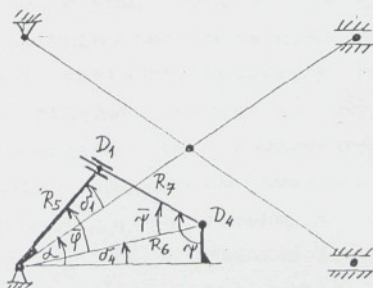
Výškové přestavení se realizuje několika způsoby:

- změnou délky ojnice R_1 ,
- posunem regulátoru t.j. změnou souřadnice bodu D_4 ,
- otočením základny regulátoru o určitý úhel.

V každém z těchto případů dojde při přestavení k porušení rovnovážné polohy, t.j. změně úhlu ψ_0 , kterému odpovídá přestavený úhel nážek ϑ_0 . V tomto případě je možné řešit i inversní úlohu: záměnou R_1 za R_2 a $\bar{\psi}$ za $\bar{\varphi}$ - řešit při použití stejných vztahů závislosti

$$\bar{\varphi} = \bar{\varphi}(\bar{\psi}) \quad \text{resp.} \quad \frac{d\bar{\varphi}}{d\bar{\psi}} = \frac{d\bar{\varphi}}{d\psi}(\bar{\psi}) \quad (5.2,10)$$

II. Můžeme použít i tříkloubového mechanizmu s jednou obecnou kinematickou dvojicí - viz obr. 5.5
(náhon prototypu PIKAZ 1989)



Obr. (5.5)

S využitím příslušných platných vztahů (5.2,2) pro d_1 a d_4 je

$$\begin{aligned} \varphi &= \alpha + d_1 - d_4 \\ R_5 &= (d_{11}^2 + d_{12}^2)^{\frac{1}{2}} \\ R_4 &= (R_5^2 + R_6^2 - 2R_5 R_6 \cos \bar{\varphi})^{\frac{1}{2}}, \end{aligned} \quad \begin{aligned} \bar{\varphi} &= \varphi - 90^\circ + d_4 \\ R_6 &= (d_{41}^2 + d_{42}^2)^{\frac{1}{2}}, \end{aligned} \quad (5.2,11)$$

$$\frac{\sin \bar{\varphi}}{\sin \varphi} = \frac{R_5}{R_4}, \quad W = \frac{R_5 \sin \bar{\varphi}}{(R_5^2 + R_6^2 - 2R_5 R_6 \cos \bar{\varphi})^{\frac{1}{2}}}, \quad (5.2,12)$$

$$\bar{\varphi} = \arcsin W,$$

$$\frac{d\bar{\varphi}}{d\varphi} = \frac{dW}{d\bar{\varphi}} \cdot (1-W^2)^{\frac{1}{2}}, \quad \frac{dV}{d\bar{\varphi}} = (R_5 R_6 \cos \bar{\varphi} - \frac{1}{2} R_4^{-1} R_6 R_5^2 \sin^2 \bar{\varphi}) \cdot R_4^{-2} \quad (5.2,13)$$

Aby měla závislost (5.2,13) symetrický průběh na $\bar{\varphi}$, je třeba dodržet pro $\bar{\varphi} = 0$

$$W(0) = 0, \quad R_4(0) = R_6 - R_5, \quad (5.2,14)$$

$$\left. \frac{dW}{d\bar{\varphi}} \right|_{\bar{\varphi}=0} = \frac{R_5}{R_6 - R_5}. \quad (5.2,15)$$

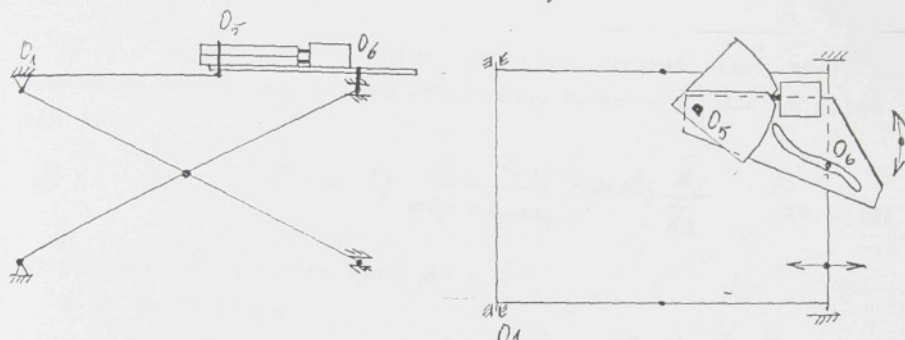
III. Na rozdíl od předcházejících náhonů, využívajících ramene nůžek jako hnacího člena, využívá náhon posledního modelu sedačky Isring relativního horizontálního posuvu čepu nůžek. v drážce vůči horní základně. Speciální mechanizmus má dvě kruhové vačky se šikmými zářezy a vůlí, takže vytváří V závislosti na odchylce od rovnovážné polohy reléovou charakteristikou zdvihu regulačního dvojventilu (viz obr. 5.8) čepu trojúhelníkového ramene s vodicí drážkou je s vůlí. Čep trojúhelníkového ramene s vodicí drážkou je rovnoběžný s osou φ a jeho souřadnice jsou

$$O_5 [e_{5x}, R_{51x}, e_{52x}], \quad e_{5x1} e_{5x2} = konst$$

souřadnice vodicí kuličky na vodorovné ose procházející čepem

$$O_6 [R_{61x}, R_{62x}, l_{6x}], \quad l_{6x} = konst.$$

Nastavení výšky sedačky se realizuje natočením trojúhelníkového segmentu kolem bodu O_5 .

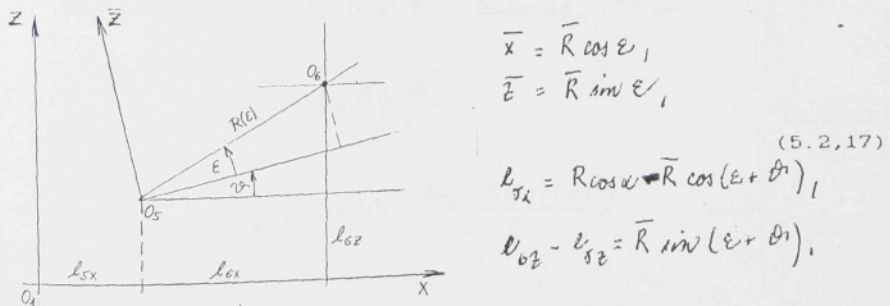


Obr. 5.8

Pro analytické řešení převodových poměrů zavedeme souřadný systém $O_5\bar{x}\bar{z}$ se středem v bodě O_5 a pootočený o úhel ϑ_1 vzhledem k O_x i nahradíme křivku drážky kulového čepu regresním polynomem

$$\bar{x} = P(\bar{r}) = \sum_{i=0}^n a_i \bar{r}^i, \quad \bar{R} = (\bar{x}^2 + \bar{z}^2)^{\frac{1}{2}} \quad (5.2.16)$$

n -tého stupně (při odměření 10 bodů plně vyhovovalo $n = 5$). Zde poznáme nejprve, že parametrizace křivky polárními souřadnicemi a její nahrazení regresním polynomem vedla na rozdíl vysoký stupeň polynomu a tím i počet změřených bodů). Platí



Přitom je nutné řešit obě následující úlohy:

- a) Dán úhel α_S , určit úhel ϑ_1 :

$$\bar{x}^2 + \bar{v}^2 = \bar{x}^2 + \left(\sum_{i=0}^n a_i \bar{x}^i \right)^2 = (\ell_{5x} - R \cos \alpha_s)^\nu + (\ell_{5z} - \ell_{5x})^\nu \quad (5.2,18)$$

Z kořenů této rovnice je nutné vybrat ten, který má fyzikální smysl: \bar{x}_s a jemu příslušnou hodnotu \bar{v}_s dle (5.2,16). Pak je

$$\vartheta_1 = \arctg \frac{\ell_{5z} - \ell_{5x}}{\ell_{5x} + R \cos \alpha_s} - \arctg \frac{\bar{v}_s}{\bar{x}_s} \quad (5.2,19)$$

b) Dán úhel ϑ_1 , určit úhel α :

Z (5.2,17) plyne

$$\varepsilon + \vartheta_1 = \arccos \frac{\ell_{5z} - \ell_{5x}}{R} \quad (5.2,20)$$

K funkční závislosti

$$\vartheta_1 = \arccos \frac{\ell_{5z} - \ell_{5x}}{[\bar{x}^2 + P(\bar{x})^\nu]^{\frac{1}{2}}} - \arctg \frac{P(\bar{x})}{\bar{x}} = Q(\bar{x}) \quad (5.2,21)$$

je nutné najít inverzní a nahradit ji regresním polynomem

$$\bar{x} = \tilde{Q}(\vartheta_1) \quad (5.2,22)$$

Z dané hodnoty ϑ_1 určíme z (5.2,22) příslušné \bar{x} , pak z (5.2,16) příslušné $P(\bar{x})$ a R . Dále je

$$\varepsilon = \arctg \frac{R}{\bar{x}} \quad (5.2,23)$$

$$\alpha = \arccos \frac{\ell_{5x} - R \cos(\varepsilon + \vartheta_1)}{R} \quad (5.2,24)$$

Z podaného řešení vyplývá, že obě uvedené úlohy $\alpha = \alpha(\vartheta_1)$ a $\vartheta_1 = \vartheta_1(\alpha)$ stejně jako vyjádření převodů

$$\frac{dx}{dt}(\vartheta) + \frac{d\vartheta}{dx}(x) \quad (5.2,25)$$

je možné řešit numericky, nikoliv analyticky.

5.3 Regulace pneumatické pružiny

Při odvození rovnice pro rovnováhu proudů vycházíme ze stavové rovnice plynutí pneumatické pružině

$$(p + p_a)V = mRT_f \quad (5.3,1)$$

jejíž derivací při předpokládaném izotermickém ději obdržíme

$$\frac{dV}{dt} V + (p + p_a)\frac{dV}{dt} = R_f T \frac{dm}{dt}. \quad (5.3,2)$$

Vyjádříme-li objem pneumatické pružiny dle odst. 3

$$V(l, p) = V_0(p) + \int_{l_0}^l S(p, x) dx \quad (5.3,3)$$

máme pro její časovou derivaci

$$\begin{aligned} \frac{dV(l, p)}{dt} &= \frac{dV_0(p)}{dp} \cdot \frac{dp}{dt} + \frac{\partial}{\partial l} \left(\int_{l_0}^l S(p, x) dx \right) \cdot \frac{dl}{dt} + \frac{\partial}{\partial p} \left(\int_{l_0}^l S(p, x) dx \right) \frac{dp}{dt} \\ &= \left(\frac{dV_0(p)}{dp} + \int_{l_0}^l \frac{\partial S}{\partial p}(p, x) dx \right) \frac{dp}{dt} + S(p, l) \frac{dl}{dt} \end{aligned} \quad (5.3,4)$$

a po dosazení do (5.3,2) obdržíme

$$\left[\left(\frac{dV_0}{dp} + \int_{l_0}^l \frac{\partial S}{\partial p}(p, x) dx \right) (p + p_a) + V \right] \frac{dp}{dt} + (p + p_a) S(p, l) \frac{dl}{dt} = R_f T \frac{dm}{dt} \quad (5.3,5)$$

Poznamenáváme, že rovnice (5.3,5) můžeme upravit dvěma způsoby:

a) podčleněním (RT) na rozdíl hmotnostního proudu, při čemž uvážíme, že hustota ρ je vyjádřena vztahem

$$\frac{(p_0 + p_a)}{R_f T} = \frac{m}{V} = \rho \quad (5.3,6)$$

$$\left[\rho \left(\frac{dV_0}{dp} + \int_{l_0}^l \frac{\partial S}{\partial p}(p, x) dx + \frac{V}{R_f T} \right) \frac{dp}{dt} + \rho S(p, l) \frac{dl}{dt} \right] \frac{dm}{dt} = G \quad (5.3,5a)$$

b) podčleněním ($p + p_a$) na rozdíl objemového proudu

$$\left[\left(\frac{dV}{dp} + \int_{p_0}^p \frac{\partial S}{\partial p} (p, x) dx \right) + \frac{V}{p + p_a} \right] \frac{dp}{dt} + S(p, l) \frac{dl}{dt} = \frac{1}{g} \frac{dm}{dt} = Q. \quad (5.3,5b)$$

Ve shodě s terminologií, zavedenou v hydraulice resp. hydro-pneumatici, můžeme nazvat výraz

$$C(p, l) = \left[\frac{dV_0}{dp} + \int_{p_0}^p \frac{\partial S}{\partial p} (p, x) dx + \frac{V(p, l)}{(p + p_a)} \right] \quad (5.3,7)$$

kapacitou obecné pneumatické pružiny a jestliž nazveme výraz

$$\bar{V}(p, l) = C(p, l)(p + p_a) \quad (5.3,8)$$

eфективním objemem pneumatické pružiny, můžeme rovnici přepsat do tvaru

$$\bar{V} \frac{dp}{dt} + (p + p_a) S(p, l) \frac{dl}{dt} = R_p G_{hor}(\psi, p) \quad (5.3,9)$$

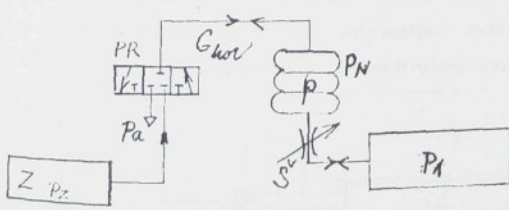
Odvozená rovnice (5.3,9) je diferenciální rovnice 1. řádu v p a vyjadřuje rovnováhu hmotnostních proudů v pneumatické pružině. Výraz pro korekční proud, je odvozen v odst. 5.1 a závislost úhlu regulátoru ψ na úhlu α v odst. 5.2. Abychom rovnici (5.3,9) mohli uzavřít mechanický systém, je třeba vyjádřit

$$l = l(x) \quad , \quad \frac{dl}{dt} = \frac{dl}{dx} \dot{x} \quad (5.3,10)$$

ve kterém délku l a převod $\frac{dl}{dx}$ vyjádříme dle odst. 3.3

5.4 Škrťicí ventil

Tento prvek aplikujeme mezi pneumatickou pružinu a přidavný objem (viz obr. 5.9)



- P_0 příd. objem
- Z tlakový zásobník
- P_N pneumat. pružina
- PR polohový regulátor
- S škrťicí ventil
- p_2 přetlak v zásobníku
- p_a atmosférický tlak
- p přetlak v pneum. pružině
- p_f přetlak v příd. objemu

Obr. 5.9

a podle své konstrukce může představovat buď laminární nebo turbulentní odpor. Zdůrazněme, že tlak v pneumatické pružině se neliší významně od tlaku v zásobníku - proto předpokládáme, že proudění je podkritické.

A. Turbulentní odpor

je obvykle vytvořen kuželovým nebo kuličkovým ventilem



Obr. 5.10

Pro závislost škrťicí plochy $S_g(h)$ na zdvihu h platí

$$S_g(h) = \pi d h \ln \alpha (h + h' \ln \alpha \cos \alpha) \quad (5.4.1)$$

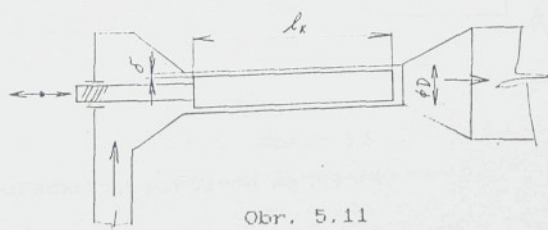
kde horní znaménko platí pro kuželový, dolní pro kuličkový ventil. Označíme-li dále μ_s součinitel průtoku, závislý na geometrickém a konstrukčním provedení funkční partie ventilu, platí

$$G_g = \mu S_g(h) / \ell g |p_1 - p| \cdot \operatorname{sign}(p_1 - p) \quad (5.4.2)$$

(proudů, tekoucím do pružiny dáváme kladné znaménko).

B Laminární odpor

Realizace regulovatelného laminárního odporu je obtížnější než v případě odporu turbulentního, pro mezi-kruhovou kapiláru s proměnnou délkou



Obr. 5.11

platí pro případ nestlačené vzdušiny (pro malé tlakové spády) viz [5], [18]

$$G_s = \frac{\pi D^3 l}{12 V_1 \ell} (p_1 - p) \quad (5.4,3)$$

Pro větší tlakové spády (větší než je hodnota absolutního tlaku) je nutno považovat vzdušinu za stlačitelnou; závislost G na p_1 a p je kvadratická, zde ovšem tento případ zřejmě nepřichází v úvahu.

5.5 Regulace pneumatické pružiny s přídavným objemem

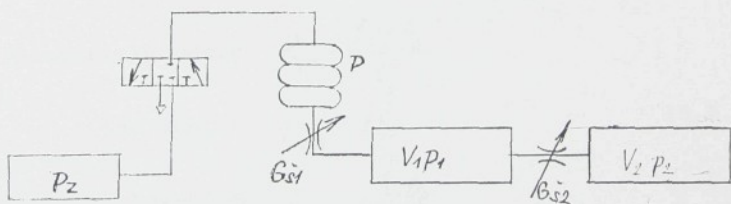
Principiální teze vibroizolace s pneumatickou pružinou se řízeným výtokem do přídavného objemu, publikované v [7] předpokládají krátké spojení obou objemů; pokud se můžeme držet tohoto předpokladu, máme namísto rovnice (5.3,9) pro systém znázorněný na obr. 5.9

$$\bar{V} \frac{dp_1}{dt} + (p + p_a) S(p, \ell) \frac{dl}{dx} \cdot \frac{dx}{dt} = R_p T [G_{kor} + G_s] \quad (5.5,1)$$

$$V_1 \frac{dp_1}{dt} = - R_p T G_s$$

kde jsme označili V_1 velikost přídavného objemu.

V určitém konstrukčním uspořádání je možné použít dvou přídavných objemů, viz obr. 5.12



Obr. 5.12

Toto uspořádání popisujeme systémem:

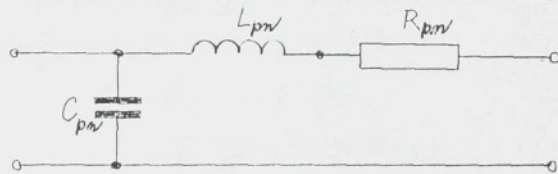
$$\bar{V} \frac{dp}{dt} + (p + p_0) S(p, L) \frac{dl}{dx} \cdot \frac{dx}{dt} = R_p T (G_{kvv} + G_{sv})$$

$$V_1 \frac{dp_1}{dt} = - R_p T (G_{sv} - G_{sz})$$

(5.5,2)

$$V_2 \frac{dp_2}{dt} = - R_p T G_{sz}$$

Škrticí ventil (turbulentní resp. laminární) je obvykle přímo napojen na tlakovou nádobu přídavného objemu. Pokud z konstrukčních důvodů nemůže být realizováno krátké spojení škrticího ventila s pneumatickou pružinou, je třeba jej v příslušném modelu uážit. (Zde poznamenejme, že bylo experimentálně ověřeno, že délka a průměr potrubí mají zásadní vliv na dynamické vlastnosti tohoto systému.) Potrubí mezi pneumatickou pružinou a škrticím ventilem budeme modelovat ve shodě s elektrohydraulickými analogiemi (viz [5], [40]) s článkem.



Obr. 5.13

Označíme-li ℓ_p délku potrubí, C_v rychlosť akustické vlny, ν viskozitu, S_p plochu průřezu potrubí a charakteristické veličiny

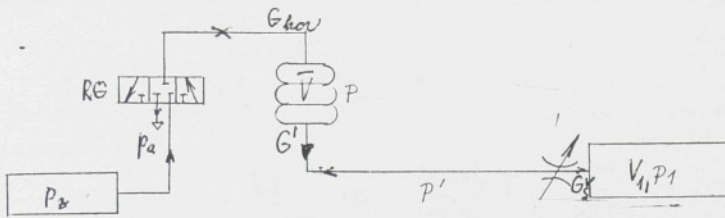
$$\text{pneumatický odpor } R_{pnv} = \frac{8 \nu \rho \ell_p}{S_p}$$

$$\text{a indukčnost } L_{pov} = \frac{\rho \ell_p}{S_p} \quad (5.5,3)$$

$$\text{kapacita } C_{pnv} = \frac{S_p \ell_p}{\rho C_v}$$

Pro popis sloupce tekutiny v potrubí mezi pneumatickou pružinou a škrticím ventilem volíme další proměnné: tlak P' , a proud G' , jakožto výstupní proud z pneumatické pružiny a

platí pro uspořádání na obr. 5.14



Obr. 5.14

za předpokladu, že je splněna podmínka pro popis potrubí soustředěnými parametry (λ_a je délka akustické vlny)

$$\ell_p < \frac{\lambda_a}{4} \quad (5.5,4)$$

$$\bar{V} \frac{dp_1}{dt} + (p + p_a) S(p_1, t) \frac{dV}{dx} \cdot \frac{dx}{dt} = R_p T (G_{krov} - G') \quad (5.5,5)$$

$$L \frac{dG'}{dt} + R_h G' = g(p - p')$$

$$G' - G_y = g L \frac{dp'}{dt}$$

$$V_1 \frac{dp_1}{dt} = G_y (p_1, p_1) \frac{1}{R_p T}$$

Při čemž G_y je funkce tlakového spádu $(p - p_1)$, danou vztahem (5.4,2) resp. (5.4,3). Vzhledem k systému (5.5,1) přestupují tedy dvě další rovnice 1. řádu pro proud G' a tlak v potrubí p' .

5.6 Poznámka k charakteru škrticího proudu v rovnovážné poloze

V rovnovážné poloze se zvějme vyrovnává tlak v pružině s pružinou (ve všech případech provedení tohoto tlaku v závislosti (ve všech případech provedení tohoto systému, popsaných v předešlých odstavcích) a škrticí proud

$$G_y(p_1, p) \text{ resp. } G_y(p_1, p') \quad (5.6,1)$$

nabývá nulové hodnoty. Při řešení stability v rovnovážné poloze, které bude věnována příští kapitola, půjde o vyjádření parciálních derivací

$$\left. \frac{\partial G_f}{\partial p_1} \right|_{p=p_1} + \left. \frac{\partial G_f}{\partial p_1} \right|_{p=p_2} \quad (5.6,2)$$

A. V případě laminárního průtoku nestlačitelné kapaliny vycházíme ze vztahu (5.4,3) a je tedy

$$\left. \frac{\partial G_f}{\partial p_1} \right|_{p=p_1} = \frac{\pi D \rho^3}{12 \nu l_p} = - \frac{\partial G_f}{\partial p} \quad (5.6,3)$$

B. Pro případ laminárního průtoku stlačitelné kapaliny vycházíme ze vztahu (5.4,4) a je

$$\left. \frac{\partial G_f}{\partial p_1} \right|_{p=p} = \frac{\pi D \rho^3}{24 \nu l_p} \cdot 2p_1 = \frac{\pi D \rho^3}{12 \nu l_p} p_1 = - \frac{\partial G_f}{\partial p} \quad (5.6,4)$$

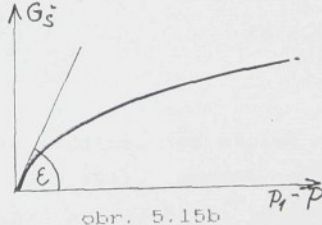
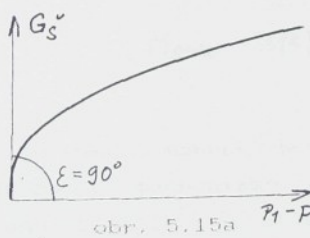
C. Pro případ turbulentního průtoku je

$$\lim_{p \rightarrow p_1} \frac{\partial G_f}{\partial p_1} = \lim_{p \rightarrow p} \mu_s \frac{G_f}{2 F p - p_1} = \pm \infty \quad (5.6,5)$$

což by znamenalo, že analyticky nelze řešení stability provést. Tento zdánlivý rozpor vysvětlíme tak, že vztah (5.4,2) platí striktně až pro větší Reynoldsova čísla Re ; při malých tlakových spádech dochází ke změně charakteru proudění jež je charakterizováno proměnným součinitelem průtoku, závislým na Re

$$\mu_r = \mu_r(\text{Re}) \quad , \quad \text{Re} = \frac{G_f}{\mu \pi D \ln \alpha} \quad (5.6,6)$$

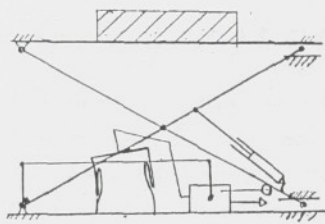
Po zavedení těchto vztahů byvom zřejmě dospěli k závěru, že $\frac{\partial G_f}{\partial p_1}$ nabývá při $p=p_1$ vlastních hodnot a že tedy G_f závisí na $(p-p_1)$ tak jak je znázorněno na obr. 5.15b a nikoliv na obr. 5.15a.



6.0 ZKRÁCENÝ SYSTÉM

6.1 Pohybové rovnice zkráceného systému bez třetího vibroizolačního stupně

Model zkráceného systému bez horizontální vibroizolace (viz obr. 6.1)



Obr. 6.1

je popsaný následovnou

$$[J_0 + J_1(\alpha)]\ddot{\alpha} + \frac{dJ_1(\alpha)}{d\alpha}\dot{\alpha}^2 = M_{grav} + M_{pnu} + M_{\alpha} + M_{pas} + M_{der} + M_{budi}(t), \quad (6.1.1)$$

$$\bar{V}(\alpha, p)\dot{p} + (p_0 + p_a)S(p, \ell)\frac{dl}{d\alpha}\dot{\alpha} = RTG_{tor}(\alpha, p),$$

při čemž je

$$M_{grav} = -mgR \cos \alpha, \quad (6.1.2)$$

kde

$$m = \frac{m_m}{2} + \sum_{i=1}^4 m_i, \quad (6.1.3)$$

$$M_{pnu} = \kappa(\alpha)p \cdot S(p, \ell), \quad (6.1.4)$$

kde $\kappa(\alpha)$ je rameno momentu pneumatické pružiny, jež závisí na jejím závěsu v mechanismu (vztah (3.3.11)), moment síly hydraulického tlumiče vztahem (3.6.2) a (3.5.1); a pro zbyvající dva momenty platí

$$M_{pas} = -E_T I g \omega \dot{\alpha} \quad (6.1.5)$$

$$M_{der} = -m R \cos \alpha \cdot \ddot{\alpha}(t) \quad (6.1.6)$$

a je zvoleno označení

$$J_0 = J_{\infty} + \frac{m_{\infty}}{4} R^2 \quad , \quad J_i(\alpha) = \sum_{i=1}^4 m_i R^2 \cos^2 \alpha. \quad (6.1.7)$$

6.2 Rovnovážná poloha

U nebuzeného systému ($\ddot{\alpha} = 0$) se vyrovná, (pomínejme-li pasivní odpory) při nastavené výšce (je voleno $\bar{\alpha}_0$) moment tříhy s momentem pneumatické pružiny. Tuto rovnováhu umožňuje nastavený polohový regulátor.

$$n(\alpha_0) \cdot p \cdot S(p_0, l(\alpha_0)) = mgR \cos \alpha_0 \quad (6.2.1)$$

Pokud je $S(p, l)$ polynomem n -tého stupně v p , vede (6.2.1) na určení kořenu polynomu ($n+1$) stupně, označme ~~jej~~ \bar{p}_0

Poznamenejme, že jak u hadicové pružiny TU Liberec, tak i u hadicové pružiny Continental plně výhovovalo $m = 1$, $n = 2$.
Tedy

$$S(p, l) = \sum_{i=0}^1 \sum_{j=0}^2 S_{ij} l^i p^j \quad (6.2.2)$$

a \bar{p}_0 bylo řešením rovnice

$$\sum_{j=0}^3 A_j \bar{p}^j = 0 \quad (6.2.3)$$

kde

$$\begin{aligned} A_3 &= S_{11} l_0 + S_{02} \\ A_2 &= S_{11} l_0 + S_{01} \\ A_1 &= S_{00} l_0 + S_{00} \\ A_0 &= -\frac{mgR}{n(\alpha_0)} \cdot \cos \alpha_0 \end{aligned} \quad (6.2.4)$$

6.3 Stabilita rovnovážné polohy nekorigovaného systému

Po zavedení potruch α , p

$$\alpha = \alpha_0 + \delta \alpha \quad , \quad p = p_0 + \delta p \quad (6.3.1)$$

t_j zavedení (6.3.1) do (6.1.1), úpravách a linearizací obdržíme linearizovaný potrubní systém

$$[J_0 + J_i(\alpha_0)] \ddot{\delta \alpha} = \left(\frac{\partial M_{pnuv}}{\partial \alpha} + \frac{\partial M_{gvav}}{\partial \alpha} \right) \delta \alpha + \frac{\partial M_{pnuv}}{\partial p} - B(\alpha) \delta p \quad (6.3.2)$$

$$\bar{V}(x_0, p_0) \cdot \delta p + H \delta x = RT \left[\frac{\partial G_{\text{kor}}}{\partial x} \delta x + \frac{\partial G_{\text{kor}}}{\partial p} \delta p \right]$$

Při čemž je všechny parciální derivace jsou v bodě rovnováhy (x_0, p_0), a použili jsme následujícího označení

$$M_{\text{pnew}} = x(x) F(p, \ell) \\ F(p, \ell) = p S(p, \ell) = \sum_{i=0}^m \sum_{j=0}^n S_{ij} \ell^i p^j \quad (6.3,3)$$

kde $\ell(x)$ je rameno momentu (viz odst. 3.3) a zavedeme dále veličiny

$$H = (p_0 + p_a) \cdot S(p_0, \ell_0) \cdot \frac{dx}{dx} \quad (6.3,4)$$

$$\frac{\partial M_{\text{te}}}{\partial x} = -B(x_0) = \frac{1}{2} [b_i(1) + b_i(-1)] \left(\frac{dx}{dx} \right)^2 \quad (6.3,5)$$

kde jsem pro vyjádření použili vztahů (3.5,1) a (3.7,1)

Lze dále ukázat, že platí (viz [5] kap. 9)

$$\frac{\partial G}{\partial p} \Big|_{\substack{x=x_0 \\ p=p_0}} = 0 \quad (6.3,6)$$

a zavedeme veličinu A vztahem

$$A = -\frac{1}{2} RT \frac{\partial \psi}{\partial x} \left[\lim_{q \rightarrow 0^-} \frac{\partial G}{\partial q} + \lim_{q \rightarrow 0^+} \frac{\partial G}{\partial q} \right] \quad (6.3,7)$$

Poznamenejme, že obecně nemá $G(p, \psi)$ parc. derivaci $\frac{\partial G}{\partial \psi}$ pro $\psi = 0$, neboť tlaková funkce (viz [1], [34]) má v tomto bodě zlom (výtok do atmosféry má na tlakovém spádu jinou závislost než plnění ze zásobníku). Má-li polohový regulátor pásmo necitlivosti, je $A = 0$. Tento systém nazýváme nekorigovaným a charakteristická rovnice

$$\begin{vmatrix} J(x_0) \lambda^2 + B(x_0) \lambda - \frac{\partial}{\partial x} (M_{\text{pnew}} M_{\text{gnew}}) & -\frac{\partial M_{\text{pnew}}}{\partial p} \\ H \lambda & \bar{V} \lambda \end{vmatrix} = 0 \quad (6.3,8)$$

má v tomto případě nulový kořen; aby zbývající kořeny měly záporné reálné části, je nutné a stačí, aby

$$H \frac{\partial M_{\text{pnew}}}{\partial p} - \bar{V} \left(\frac{\partial M_{\text{pnew}}}{\partial x} + \frac{\partial M_{\text{gnew}}}{\partial x} \right) > 0 \quad (6.3,9)$$

Tuto podmínku stability můžeme dále rozepsat.

Plati

$$\frac{\partial M_{grav}}{\partial x} = +mgR \sin \alpha_0 > 0 \quad (6.3,10)$$

$$\frac{\partial M_{pnuv}}{\partial x} = \frac{dv}{dx} p S(p, l) + \kappa p \frac{\partial S}{\partial l} \cdot \frac{dl}{dx} \quad (6.3,11)$$

$$H \frac{\partial M_{pnuv}}{\partial p} = (p_0 + p) S \frac{dl}{dx} \cdot \kappa(x) \left(p \frac{\partial S}{\partial p} + S \right) = (p_0 + p) \left[\kappa(x) \frac{dl}{dx} S \frac{\partial S}{\partial p} + \kappa(x) \frac{dl}{dx} S^2 \right] \quad (6.3,12)$$

S využitím podmínky rovnováhy upravíme dále

$$\left(\frac{\partial M_{pnuv}}{\partial x} + \frac{\partial M_{grav}}{\partial x} \right) = \frac{dv}{dx} p S(p, l) + \kappa p \frac{\partial S}{\partial l} \cdot \frac{dl}{dx} + \kappa p S(p, l) \tan \alpha_0 \quad (6.3,13)$$

Po vyjádření V z (5.3,8) a všech předešlých vztahů a dosazení do (6.3,13) obdržíme podmínu stability v konečném tvaru:

$$-\sqrt{V} \left[p S(p, l) \left(\frac{dv}{dx} + \kappa \tan \alpha_0 \right) + \kappa p \frac{\partial S}{\partial l} \frac{dl}{dx} \right] + S \frac{dl}{dx} (p_0 + p) \cdot \kappa(x) \left(p \frac{\partial S}{\partial p} + S \right) > 0 \quad (6.3,14)$$

6.4 Analýza podmínky stability ve zvláštních případech

Ve specifických případech se obecná podmínka (6.3,14) z jednoduší a bude možné provést její analytický rozbor.

A. Pneumatický válec kloubově uložený mezi rameno a základ.

Plati: $\frac{\partial S}{\partial p} = \frac{\partial S}{\partial l} = 0$, $S = S_0$, $V = S_0 l$, $\kappa(x) = \frac{dl}{dx}$

$$\frac{\partial M_{pnuv}}{\partial p} = \kappa(x_0) S_0, \quad \frac{\partial M_{pnuv}}{\partial x} = \frac{dv}{dx} p S_0 \quad (6.4,1)$$

$$\frac{\partial M_{pnuv}}{\partial p} = \kappa(x_0) S_0, \quad \frac{\partial M_{pnuv}}{\partial x} = \frac{dv}{dx} p S_0$$

Podmínka (6.3,14) vede k nerovnosti

$$(p_0 + p) S_0^2 \kappa^2 - S_0 l_0 \left[\frac{dv}{dx} p S_0 + \kappa p S_0 \tan \alpha_0 \right] = \quad (6.4,2)$$

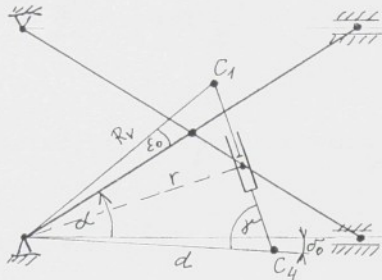
$$= p_0 S_0^2 \kappa^2 - p_0 S_0^2 l \frac{dv}{dx} + p_0 S_0^2 \kappa (\kappa - \tan \alpha_0) > 0$$

Je patrné, že budou-li splněny nerovnosti

$$\frac{dv}{dx} = \frac{d^2 l}{dx^2} < 0 \quad (6.4,3)$$

$$\mu > \operatorname{tg} \alpha_0 \quad (6.4.4)$$

bude splněna i (6.4.2)



Obr. 6.2

$$v \triangle O C_1 C_4 \text{ platí } O C_1 = R_1, O C_4 = d$$

$$\alpha' = \epsilon_0 + \alpha + \delta_0,$$

Derivováním platného vztahu $\kappa = d \sin \rho$ obdržíme

$$\frac{d\kappa}{dx} = d \cos \rho \frac{d\rho}{dx}. \quad (6.4.5)$$

Platí dále

$$\sin \rho = \frac{R_v \sin \alpha'}{l_v} = U(\alpha'), \quad \rho = \arcsin U(\alpha') \quad (6.4.6)$$

$$\frac{d\rho}{dx} = \frac{1}{\sqrt{1-U^2}} \cdot \frac{dU}{dx}, \quad (6.4.7)$$

$$\frac{dU}{dx} = \frac{R_v \cos \alpha' l_v - R_v \sin \alpha' \frac{dl_v}{dx}}{l_v^2} = \frac{R_v}{l_v^2} (\cos \alpha' - \kappa \sin \alpha') \quad (6.4.8)$$

Z (6.4.5), (6.4.6) a (6.4.7) je patrné, že

a) v intervalu $\rho < 90^\circ$ platí

$$\operatorname{sign} \frac{dU}{dx} = \operatorname{sign} \frac{d\rho}{dx} = \operatorname{sign} (\cos \alpha' - \kappa \sin \alpha') = \operatorname{sign} (\cot \alpha' - \frac{\kappa}{\ell})$$

a podmínky (6.4.3) a (6.4.4) je možno spojit:

$$\frac{\kappa}{\ell} > \operatorname{tg} \alpha' > \frac{\ell}{\kappa} \quad (6.4.9a)$$

b) v intervalu $\mu > 900$ platí

$$\operatorname{sign} \frac{d\psi}{dx} = -\operatorname{sign} \frac{d\mu}{dx} = -\operatorname{sign} (\cot \varphi' - \frac{\kappa}{\rho}) = 1, \quad (6.4, 9b)$$

$$\frac{\kappa}{\rho} > \cot \varphi'$$

a je patrné, že pro $\mu > 900$ nemůže být podmínka 6.4.3 splněna

B. Vlnovcová pružina

Efektivní plocha vlnovcové pneumatické pružiny je prakticky nezávislá na tlaku, zatímco závislost na zdvihu je markantní, proto se navádí (viz [14]) ukazatel efektivní plochy U , definovaný jako

$$U = \frac{dS}{dl} = \frac{dS}{dx} \quad (6.4, 10)$$

Plati dále

$$\frac{dS}{dp} = 0, \quad \bar{V} = V \quad (6.4, 11)$$

Dosazením do (6.3.14) obdržíme stabilitní podmítku ve tvaru

$$(p_0 + p_a) S^2 n \frac{dl}{dx} - \left[V_0 + \int_{l_0}^l S(x) dx \right] \left[p S \left(\frac{dx}{dl} + n \operatorname{tg} \varphi \right) + \kappa p \frac{dS}{dl} \frac{dl}{dx} \right] > 0 \quad (6.4, 12)$$

Protože v dostatečně velkém rozsahu platí

$$U = \frac{dS}{dl} < 0 \quad (6.4, 13)$$

bude podmínka (6.4.12) splněna při

$$\frac{dl}{dx} + n \operatorname{tg} \varphi < 0 \quad (6.4, 14)$$

C. Hadicová pružina s válcovým pistem

U některých hadicových pružin s válcovým pistem platí

$$\frac{dS}{dl} = 0 \quad (6.4, 15)$$

t.j., že efektivní plocha je nezávislá na zdvihu; podmínka

(6.3.14) se redukuje na

$$(P_0 + P_A) \nu \frac{d\zeta}{dx} S \left(\frac{dS}{dp\nu} \cdot p + S \right) - \bar{V} p S \left(\frac{d\nu}{dx} + \nu \operatorname{tg} \varphi \right) > 0 \quad (6.4.16)$$

6.5 Stabilita rovnovážné polohy korigovaného systému

Podmínka stability systému v polohovou korekci vedle na zajištění platnosti Hurwitzových podmínek pro charakteristickou rovnici, která je 3. stupně:

$$\sum_{n=0}^3 a_n \lambda^n = \begin{vmatrix} J(\zeta_0) \lambda^3 + B(\zeta_0) \lambda^2 - \frac{\partial}{\partial x} (M_{prv} + M_{prao}), & -\frac{\partial M_{prv}}{\partial p} \\ H \lambda + A, & \bar{V} \lambda \end{vmatrix} = 0 \quad (6.5.1)$$

kde

$$a_0 = J(\zeta_0) \cdot \bar{V}$$

$$a_1 = B(\zeta_0) \cdot \bar{V}$$

$$a_2 = \left[\frac{\partial M_{prv}}{\partial p}, H - \bar{V} \frac{\partial}{\partial x} (M_{prv} + M_{prao}) \right]$$

$$a_3 = A \frac{\partial M_{prv}}{\partial p}$$

Je zřejmé, že $a_0 > 0$, $a_1 > 0$. Podmínka

$$a_3 > 0 \quad (6.5.3)$$

zřejmě určuje správný smysl polohové korekce a podmínka

$$a_2 > 0 \quad (6.5.4)$$

je postačující podmínkou pro nekorigovaný systém. Hurwitzova podmínka

$$\Delta_3 = a_1 a_2 - a_0 a_3 > 0 \quad (6.5.5)$$

omezuje "ostrost" polohové regulace. Z (6.5.5) plyne totiž

$$A < \frac{B(\zeta_0) \left[\frac{\partial M_{prv}}{\partial p} \cdot H - \bar{V} \left(\frac{\partial M_{prv}}{\partial x} + \frac{\partial M_{prao}}{\partial x} \right) \right]}{J(\zeta_0) \frac{\partial M_{prv}}{\partial p}} \quad (6.5.6)$$

6.6 Stabilita rovnovážné polohy systému s přidavným objemem

Vycházíme ze systému 5.5.1, který popisuje uspořádání na obr. 5.9. Tomu přísluší linearizovaný poruchový systém, jehož charakteristická rovnice je

$$\sum_{i=0}^4 \alpha_i \lambda^{4-i} = \begin{vmatrix} J(\bar{x}_0) \dot{\lambda}^2 + B(\bar{x}_0) \lambda + C_1 & -E & 0 \\ H\lambda + A & \bar{V}\lambda + D_{11} & -D_1 \\ 0 & -D_1 & V_1\lambda + D_1 \end{vmatrix} = 0 \quad (6.6.1)$$

kde je

$$\alpha_0 = J\bar{V}V_1$$

$$\alpha_1 = B\bar{V}V_1 + JD_1(\bar{V} + V_1)$$

$$\alpha_2 = C\bar{V}V_1 + BD_1(\bar{V} + V_1) + EH V_1$$

$$\alpha_3 = CD_1(\bar{V} + V_1) + EAV_1 + EHD_1$$

$$\alpha_4 = EAD_1$$

a pro zkrácení zápisu jsme navedli

$$C = \left(-\frac{\partial M_{pnuw}}{\partial x} - \frac{\partial M_{grav}}{\partial x} \right) \Big|_{x=\bar{x}_0} \quad (6.6.3)$$

$$E = \frac{\partial M_{prv}}{\partial p} \Big|_{x=\bar{x}_0} \quad D_1 = \frac{\partial G_S}{\partial p} \Big|_{p=p_0=p_1}$$

Hurwitzovy podmínky jsou

$$\alpha_2 > 0, \quad \alpha_3 > 0 \quad (6.6.4)$$

$$\Delta_3 = \alpha_1 \alpha_2 - \alpha_0 \alpha_3 > 0, \quad \Delta_4 = \alpha_3 \Delta_3 - \alpha_4 \alpha_1^2 > 0$$

a vytvářejí určité omezující oblasti pro parametry A, D.

6.7 Stabilita rovnovážné polohy systému s více přidavnými objemy

Uspořádání systému se dvěma přidavnými objemy je na obr. 5.10 a jeho zobecnění na n přidavných objemů je zřejmé. Charakteristická rovnice je v takovém případě

$$\sum_{j=0}^{n+3} \alpha_j \lambda^{m+3-j} = \begin{vmatrix} J\lambda^2 + Bl + C, & -E, & 0, & 0, & 0, \\ H\lambda + A, & V\lambda + D_1, & -D_1, & 0, & 0, \\ 0, & -D_1, & V_1\lambda + D_1 + D_{21} - D_2, & 0, & 0, \\ & & & & -D_n \\ D_1, & & & & \\ & D_1, & & D_1, & 0, \\ & & & & -D_n, \\ & & & & V_n\lambda + D_n \end{vmatrix} = 0 \quad (6.7,1)$$

je $(n+3)$ stupňové označení

$$\Delta_{11} = J\lambda^2 + Bl + C$$

$$\Delta_{22} = \begin{vmatrix} \Delta_{11}, & -E \\ H\lambda + A, & V\lambda + D_1 \end{vmatrix}, \quad \Delta_{n+2} = \begin{vmatrix} \Delta_{22} & 0 \\ 0 & -D_1 \\ -D_1 & V_1\lambda + D_1 + D_{21} - D_2 \\ -D_n & V_n\lambda + D_n \end{vmatrix} \quad (6.7,2)$$

platí pro $b=1, \dots$ rekurentní formule

$$\Delta_{n+2,n+2} = \Delta_{n+1,n+1} (V_n\lambda + D_n + D_{n+1}) - \Delta_{n+1} D_{n+1}^2, \quad (6.7,3)$$

a pro $b=n$

$$\Delta_{n+2,n+2} = \Delta_{n+1,n+1} (V_n\lambda + D_n) - \Delta_{nn} D_n^2 \quad (6.7,4)$$

a z nich Hurwitzovy determinanty

$$\Delta_{2H} = \begin{vmatrix} a_{11}, & a_{01} \\ a_{31}, & a_{21} \end{vmatrix}, \quad \Delta_{3H} = \begin{vmatrix} a_{11}, & a_{01}, & 0 \\ a_{31}, & a_{21}, & a_{11} \\ a_{51}, & a_{41}, & a_{31} \end{vmatrix}$$

$$\Delta_{m+1} = \begin{vmatrix} a_{11} & a_{01} & 0 & 0 & \cdots & 0 \\ a_{21} & a_{22} & a_{11} & a_{01} & 0 & \cdots & 0 \\ \vdots & & & & & & \\ a_{(m+1)1} & a_{(m+1)2} & \cdots & \cdots & a_m \end{vmatrix} \quad \begin{array}{l} m=n+3 \\ a_i=0, \text{ když } i > m \end{array}$$

(6.7,5)

a příslušné podmínky stability

$$a_i > 0, \text{ pro } i=1 \dots m$$

$$\Delta_{iH} > 0, \quad i=1 \dots m-1$$

(6.7,6)

6.8 Stabilita rovnovážné polohy systému s přidavným objemem a dlouhým potrubím

Charakteristická rovnice systému (5.5,5) zobrazeného na obr. 5.14 je

$$\sum_{j=0}^6 A_{ij} \lambda^j = \begin{vmatrix} \sqrt{\lambda} + Bl + C_1 & -E & 0 & D & 0 \\ H\lambda + A & \bar{V}\lambda & R_p & 0 & 0 \\ 0 & \beta & L\lambda + R_H & 0 & 0 \\ 0 & 0 & 1 & Cl + D & -D \\ 0 & 0 & 0 & -D & V_H\lambda + D \end{vmatrix} = 0 \quad (6.8,1)$$

je 6-ho stupně. Hurwitzovy determinanty je možné určit postupem analogickým předcházejícímu odstavci.

7.0 OBECNÝ SYSTÉM

7.1 Matice hmotnosti a tlumení

Odvozený obecný systém v odst. 2.6 je lineární v druhých derivacích, je ovšem vůči nim nerozřešen; použití standartní integrační metody předpokládá transformaci takového systému na autonomní systém dvojnásobného počtu rovnic 1. řádu, tvaru

$$\frac{dy_i}{dt} = f(y_1, \dots, y_{n+1}, t) \quad n=4, 2+1=15 \quad (7.1,1)$$

A. Matice hmotnosti je symetrická, ze (7.1,2) je patrné obouznení řádků a sloupců

$$\|m_A\| = \begin{vmatrix} A_{11}, A_{12}, A_{13}, 0, & A_{15}, A_{16}, A_{17}, \\ A_{21}, A_{22}, 0, & A_{24}, A_{25}, A_{26}, A_{27}, \\ A_{31}, 0, & A_{33}, 0, & A_{35}, A_{36}, A_{37}, \\ 0, & A_{42}, 0, & A_{44}, A_{45}, A_{46}, A_{47}, \\ A_{51}, A_{52}, A_{53}, A_{54}, & A_{55}, A_{56}, A_{57}, \\ A_{61}, A_{62}, A_{63}, A_{64}, & A_{65}, A_{66}, 0, \\ A_{71}, A_{72}, A_{73}, A_{74}, & A_{75}, 0, & A_{77} \end{vmatrix} \quad (7.1,2)$$

a pro její jednotlivé prvky platí (odvodíme z odst. 2.3)

$$A_{11} = m_n + m_o + \sum_{j=1}^4 m_j \quad , \quad A_{62} = m_3 R \cos \alpha \cos \beta$$

$$A_{21} = -\frac{m_n}{2} R \sin \alpha \quad , \quad A_{42} = m_4 R \cos \alpha \cos \beta$$

$$A_{22} = J_m + \frac{m_n R^2}{4} + \sum_{j=1}^4 m_j R^2 \cos^2 \alpha \quad , \quad A_{64} = m_3 \cos \beta \quad (7.1,3)$$

$$A_{31} = A_{33} = \sum_{j=2}^4 m_j \quad , \quad A_{44} = m_4 \cos \beta$$

$$A_{42} = \sum_{j=2}^4 m_j R \cos \omega_1, \quad A_{61} = A_{63} = -m_3 \sin \beta_1,$$

$$A_{44} = \sum_{j=2}^4 m_j, \quad A_{41} = A_{43} = -m_4 \sin \beta_1,$$

$$A_{51} = A_{53} = -\sum_{j=3}^4 m_j (\gamma_j \sin \beta + \xi_j \cos \beta), \quad A_{66} = m_3 \gamma_1$$

$$A_{52} = -\sum_{j=3}^4 m_j R (\gamma_j \sin \beta - \xi_j \cos \beta) \cos \omega_1, \quad A_{44} = m_4 \gamma_1$$

$$A_{53} = -\sum_{j=3}^4 m_j (\xi_j \cos \beta + \gamma_j \sin \beta), \quad A_{65} = m_3 \xi_3$$

$$A_{54} = -\sum_{j=3}^4 m_j (\gamma_j \cos \beta - \xi_j \sin \beta); \quad A_{75} = m_4 \xi_4$$

$$A_{55} = J_2 + \sum_{j=3}^4 (J_j + m_j (\xi_j^2 + \gamma_j^2)),$$

- B. Matice tlumení vlastního mechanického systému je diagonální, přijmemme-li pro linearizaci momentu hydraulického tlumiče stejně zjednodušení jako u charakterovnice zkráceného systému; ze vztahu (4.46) odvodíme

$$\begin{aligned} B_{33} &= -k_{\xi_0}, \quad B_{44} = -k_{\gamma_0}, \quad B_{55} = -k_{\beta_0}, \\ B_{11} &= b_0, \quad B_{22} = \frac{1}{2} [b_1(-1) + b_1(+1)] \frac{d^2 u}{dx^2}, \quad B_{66} = b_3, \quad B_{44} = b_4 \end{aligned} \quad (7.1,4)$$

Rozšíříme-li systém o rovnici, popisující rovnováhu hmotnostních proudů vzduchu v pružině, pak považujeme-li matici tlumení za matici koeficientů u prvních derivací linearizovaného systému, bude symetrie narušena:

$$M_B = \left| \begin{array}{ccccccc} B_{11} & 0 & 0 & 0 & 0 & 0 & 0 \\ 0 & B_{22} & 0 & 0 & 0 & 0 & 0 \\ 0 & 0 & B_{33} & 0 & 0 & 0 & 0 \\ 0 & 0 & 0 & B_{44} & 0 & 0 & 0 \\ 0 & 0 & 0 & 0 & B_{55} & 0 & 0 \\ 0 & 0 & 0 & 0 & 0 & B_{66} & 0 \\ 0 & 0 & 0 & 0 & 0 & 0 & B_{44} \\ 0 & H & 0 & 0 & 0 & 0 & V \end{array} \right| \quad (7.1,5)$$

7.2 Poznámka k řešení a integraci pohybových rovnic

- A. Formální provedení systému (2.6,1) na systém (7.1,1) je možné; jelikož ovšem matice hmotnosti není konstantní (prvky - viz 7.1,3) jsou funkcemi proměnných α , β , γ_3 , γ_4 , bude nutné provést tuto transformaci, tj. rozřešení (2.6,1) podle druhých derivací v každém integračním kroku.
- B. U levých stran Lagrangeových rovnic převedeme na pravou stranu budící vektor

$$\begin{aligned} V_{\xi_0} &= - \left(m_{\text{m}} + \sum_{j=0}^4 m_j \right) \ddot{\omega}(t), \\ V_x &= - \left(\frac{m_{\text{m}}}{2} + \sum_{j=1}^4 m_j \right) R \cos \alpha \cdot \ddot{\omega}(t) - \frac{m_{\text{m}}}{2} R \sin \alpha \ddot{\omega}(t), \\ V_{\xi_2} &= - \sum_{j=2}^4 m_j \ddot{\omega}(t), \\ V_{\gamma_2} &= - \sum_{j=2}^4 m_j \dot{\omega}(t), \\ V_\beta &= \sum_{j=3}^4 m_j \gamma_j [\ddot{\omega}(t) \cos \beta + \dot{\omega}(t) \sin \beta], \\ V_{\gamma_3} &= - m_3 [-\ddot{\omega}(t) \sin \beta + \dot{\omega}(t) \cos \beta], \\ V_{\gamma_4} &= - m_4 [-\ddot{\omega}(t) \sin \beta + \dot{\omega}(t) \cos \beta]. \end{aligned} \quad (7.2,1)$$

Dále formálně vektor pasivních odporek $W_{\text{pas}}(\xi_1, \dot{\omega}, \xi_2, \gamma_2, \beta, \gamma_3, \gamma_4)$ s přihlédnutím, že druhý vibroizolační stupeň pasivní odpory nemá

$$\begin{aligned} W_{\text{pas}\xi_0} &= - \varepsilon_0 \operatorname{sign} \dot{\xi}_0, \\ W_{\text{pas}x} &= - \varepsilon_x \operatorname{sign} \dot{\omega}, \\ W_{\text{pas}\xi_2} &= W_{\text{pas}\gamma_2} = W_{\text{pas}\beta} = 0, \\ W_{\text{pas}\gamma_3} &= - \varepsilon_3 \operatorname{sign} \dot{\gamma}_3, \\ W_{\text{pas}\gamma_4} &= - \varepsilon_4 \operatorname{sign} \dot{\gamma}_4. \end{aligned} \quad (7.2,2)$$

Konstrukční a technologické provedení dynamické zátěže je takové, že můžeme položit

$$\varepsilon_3 = \varepsilon_4 = 0 \quad (7.2,3)$$

(a norma ISO, určující parametry zátěže rovněž nepočítá s pasivními odpory)

1. Buzení je jednosměrné ($\ddot{w}(t) = 0$; $\ddot{w}(t) \neq 0$ nejčastější případ vertikální buzení)

K vertikálnímu pohybu $\alpha = x(t)$ dojde až při překonání pasivního odporu

$$\left(\frac{m_w}{2} + \sum_{j=1}^4 m_j \right) R_{\text{max}} |\ddot{x}(t)| > \varepsilon_x \quad (7.2,5)$$

2. Buzení jednosměrné $\ddot{w}(t) \neq 0$; $\ddot{w}(t) = 0$.

K relativnímu pohybu $\xi_0 = \xi_0(t)$ dojde až při překonání pasivního odporu

$$\left(\frac{m_w}{2} + \sum_{j=0}^4 m_j \right) |\ddot{\xi}_0(t)| > \varepsilon_{\xi_0} \quad (7.2,5)$$

a k relativnímu pohybu $x = x(t)$, až při

$$\left(\frac{m_w}{2} R_{\text{max}} \right) |\ddot{x}(t)| > \varepsilon_x \quad (7.2,6)$$

Poznamenejme, že z poslední nerovnosti je patrné, že i nážkový pružící mechanizmus je v obecném případě horizontálně buzen (přes těžiště nážek, které koná kruhový pohyb).

3. Při dvojsměrném buzení bude korektní provést analýzu k překonání pasivních odporů na počátku pohybu až po rozřešení pohybových rovnic podle druhých derivací.

Poznamenejme na závěr, že bez uvážení pasivních odporů a určení okamžiku řešení, kdy jsou překonány, nedojdeme ani ke kvalitativní shodě s experimentem. To je zvláště patrné při kvaziharmonickém buzení v podrezonanční oblasti, kdy přenosová funkce mezi absolutním zdvihem mechanizmu a budicím zdvihem se "odlepuje" od jedničky při větší amplitudě buzení na nižší frekvenci. Do překonání pasivních odporů nedojde k relativnímu pohybu (a tím ani k vibroizolačnímu efektu).

7.3 Rovnovážná poloha systému

Pomineme-li pasivní odpory, pak při nulovém buzení ($\ddot{w}(t) = 0$; $\ddot{w}(t) \neq 0$) se ustálí systém v rovnovážné poloze mezi silami mechanických pružin a silami tíhy resp. momentem pneumatické pružiny a momentem tíhy všech hmot, které podepírá.

Dále předpokládáme, že u druhého vibroizolačního stupně je předpříti popruhů voleno tak, aby osa pohybu hmot dynamické zátěže byla v rovnovážné poloze svislá, tj.

$$\beta_0 = 0. \quad (7.3,1)$$

U třetího vibroizolačního stupně se vyrovnaní síly předepřijatých pružin na nulové výchylce

$$\xi_0 = 0 \quad (7.3,2)$$

Při zvoleném nastavení výšky mechanizmu

$$x = x_0 \quad (7.3,3)$$

výrovná polohový regulátor tlak na základě vyrovnání výše uvedených momentů

$$M_{pnau} + M_{geov} = 0 \quad (7.3,4)$$

$$\kappa(x_0) p_0 \cdot S(p_0, \ell(x_0)) = \left(\frac{m_2}{2} + \sum_{i=1}^4 m_i \right) R g \cos \alpha_0$$

Stejně jako u zkráceného systému vede tato podmínka na řešení rovnice $(n+1)$ stupně, pokud je efektivní plocha vyjádřena polynomem n -tého stupně v β .

U druhého vibroizolačního stupně určíme rovnovážnou výchylku γ_{20} (viz 4.4,2) ze vztahu

$$\sum_{i=1}^{m_2} k_{ii} \gamma_{2i} - \sum_{i=1}^4 m_i g = 0 \quad (7.3,5)$$

Zde obecně bude třeba určitého ošetření při výběru příslušného kořenu s reálným smyslem; zvláště v případech když by průběh $F_{\gamma_{20}}$ nebyl monotónní.

Přitažení k opěráku silou F_{op} tak, aby byla splněna podmínka (7.3,1), realizujeme splněním vztahu

$$\sum_{i=1}^{m_2} k_{ii} (\gamma_{20}) \xi_i - F_{op} = 0 \quad (7.3,6)$$

z něhož opět určíme ξ_{20} jakožto kořen polynomu m_2 -tého stupně.

Konečně stacionární hodnoty výchylek hmot dynamické zátěže určíme ze vztahu

$$\gamma_{30} = \frac{m_3 g}{c_3} \quad \gamma_{40} = \frac{m_4 g}{c_4} \quad (7.3,7)$$

7.4 Stabilita rovnovážné polohy

Zavedeme poruchy závisle proměnných v rovnovážné poloze vztahy

$$\begin{aligned} \xi_0 &= \delta \xi_0 & \xi_2 &= \xi_{20} + \delta \xi_2 & \eta_3 &= \eta_{30} + \delta \eta_3 \\ x &= x_0 + \delta x, & \eta_2 &= \eta_{20} + \delta \eta_2 & \eta_4 &= \eta_{40} + \delta \eta_4 \\ p &= p_0 + \delta p & A &= \sqrt{B} & & \end{aligned} \quad (7.4,1)$$

Po dosazení (7.4,1) do (2.6,1) a linearizaci obdržíme poruchový systém ve tvaru

$$\left[\begin{array}{c} \delta \ddot{\xi}_0 \\ \delta \ddot{x}_0 \\ \delta \ddot{\xi}_2 \\ \delta \ddot{\eta}_2 \\ \delta \ddot{A} \\ \delta \ddot{\eta}_3 \\ \delta \ddot{\eta}_4 \\ \delta \ddot{p} \end{array} \right] + \left[\begin{array}{c} M_A \\ M_B \\ M_C \end{array} \right] = 0 \quad (7.4,2)$$

kde jsme zavedli matici tuhosti $\|M_i\|$, jejíž prvky jsou definovány následujícími vztahy

$$\begin{aligned} C_{11} &= C_0 & C_{18} &= 0 \\ C_{22} &= -\frac{\partial M_{\text{pneu}}}{\partial x} + \frac{\partial^2 U}{\partial x^2} & C_{28} &= -\frac{\partial M_{\text{pneu}}}{\partial p} \\ C_{33} &= k_{\xi_1} & C_{36} &= \frac{\partial^2 U}{\partial \eta_3 \partial A} \\ C_{44} &= k_{\eta_1} & C_{44} &= C_{45} = \frac{\partial^2 U}{\partial \eta_4 \partial A} \\ C_{55} &= k_{\delta A} + \frac{\partial^2 U}{\partial A^2} & C_{12} &= RT \frac{\partial G_{\text{pneu}}}{\partial \varphi} \cdot \frac{d\varphi}{dU} = A \\ C_{66} &= C_3 & & \end{aligned} \quad (7.4,3)$$

$$C_{74} = C_4$$

Symetrie matice tuhosti narušuje rozdílnost členů C_{44} a C_{11} . Poznamenejme, že pružky matice hmotnosti, tuhosti i tlumení jsou počítány v bodě rovnováhy

$$[D_1x_0, \xi_{20}, \gamma_{20}, 0, \gamma_{30}, \gamma_{40}, P_0] \quad (7.4.4)$$

Charakteristická rovnice, příslušející homogenímu systému
(7.4.2)

$$|m_A\lambda^2 + m_B\lambda + m_C| = 0 \quad (7.4.5)$$

je 15. stupně a to v nejjednodušším případě pneumatického obvodu na prvním vibroizolačním stupni. Při komplikovanějším obvodu se bude stupeň charakteristické rovnice zvyšovat stejně jako u zkráceného systému, popsaného v kap. 6.0.

Na závěr kapitoly poznamenejme, že při analýze stability rovnovážné polohy jsme se omezili na oblast zdvihu tj. počátečních hodnot λ_0 , při kterých nebyly v záběru dorazové pružící a tlumící členy; proto příslušné momenty nebyly do výpočtu zahrnuty.

Pokud bude mít charakteristická rovnice (7.4.5) nulový kořen, příp. pár ryze imaginárních, dochází z hlediska Ljapunovské stability ke kritickému případu a je nutné zahrnout do vyšetření nelineární členy.

8.0 Závěr

První, teoretická, část práce obsahuje odvození dynamických systémů - obecného a zkráceného, modelujících mechanickou náhradu těla řidiče na sedačce s pružicím mechanizmem a semiaktivně řízenou vibroizolací.

Úplné naplnění obecného simulačního modelu vyžaduje provedení experimentů, na něž zatím není laboratoř SVÚSS vybavena (na př. realizace předepsaného obecného rovinného pohybu rámu zátěže na druhém vibroizolačním stupni). Byly sledovány trendy kvalitativního zlepšení prvního vibroizolačního stupně a vypracovány modely aplikující přídavné objemy (jeden a více) k pneumatické pružině. S tím souviselo i vypracování modelu libovolného závěsu pružiny a tlumiče v nůžkovém mechanizmu. Rovněž je naznačeno rozšíření dynamického systému nůžkového mechanizmu o indikační páku, která umožnuje oddělit propérování (řízené polohovou regulací) od výškového přestavění.

Oba modely - obecný i zkrácený jsou dovedeny až ke vztahům, umožňujícím numerickou simulaci, případně jsou uvedeny příslušné odkazy.

První část práce tedy neobsahuje konkrétní závěry, neboť vzhledem k vysokému počtu stupňů volnosti bylo možné dojít k výsledkům analytickou cestou jen vyjímečně - také o srovnání a použitelnosti obecného a zkráceného modelu rozhodnou výsledky numerické simulace a především experimenty.

Předkládaná práce vznikla v rámci řešení grantového úkolu 313/93/1254 6A ČR "Snižení účinku vibrací na tělo řidiče - operátora."

Literatura

- (1) Šklíba, Barbora : Analýza dynamického systému sedačky. Zpráva SVÚSS 86-03007
- (2) Barbora, Šklíba : Analýza regulace tlumení sedačky řidiče. Zpráva SVÚSS 86-03003
- (3) Barbora, Šklíba : Analogová simulace rozšířeného modelu sedačky a analýza polohového regulátoru. Zpráva SVÚSS 87-03037
- (4) Šklíba : Teoretický a experimentální výzkum tlumičů sedaček. Zpráva SVÚSS 84-03137
- (5) Šklíba, Barbora : Oživení a optimalizace prototypu sedačky. Zpráva SVÚSS 90-03005
- (6) Obrazcov : Problemy pročnosti v biomechanice. (Moskva, Vyšaja škola, 1988)
- (7) Harris, Crede : Shock and Vibration Handbook I, II Mc Graw Hill 1961, New York
- (8) Mevald : Teorie kmitů sedačky na pneumatické pružině VŠST Liberec 1977
- (9) Kejdana : Polohová regulace sedačky řidiče (diplomová práce FSI ČVUT Praha 1988)
- (10) Vavřík : Pružicí podstavec sedadla řidiče (diplomová práce VŠST Liberec 1988)
- (11) Barbora : Metodický postup pro stanovení konstrukčních parametrů sedačky řidiče. Záznam SVÚSS 86-03151
- (12) Kohne : Vibrace těla na zemních strojích. Rýnské hnědouhelné doly, Koln/R. 1981
- (13) Krejčíř : Výsledky experiment. výzkumu hadicových pružin. VŠST Liberec
- (14) Krejčíř : Pneumatické pružiny. (habilitační práce VŠST Liberec 1970)
- (15) Krejčíř, Stránský : Sedadlo řidiče s regulovatelným pérováním. III. konference o teorii strojů, Liberec 1980
- (16) Stránský : Odpérované sedadlo pro řidiče vozidel. (kandidátská práce, VŠST Liberec 1981)
- (17) Svačina : Modelování a identifikace viskoelastických elementů. SVÚSS 82-03010, 1982

- (18) Zalmanson : Protočnyje elementy prevmatičeskich priborov. Izdatelstvo akademii nauk, 1961
- (19) Dmitrijev, Gradeckij : Osnovy pneumavtomatiki, Moskva Mašinostrojenije, 1973
- (20) Kolektiv : Dinamičeskie svojstva Ninejnych vibrozaščitnykh sistem, Nauka, Moskva 1982
- (21) Kočetov, Safranov, Siňov, Solovjev : Issledovaniye pneuatičeskoj sistemy vibrozaščity čelověka - operatora pri slučajnom stacionernom vozdějstviji, IMAŠ
- (22) Pugačev, : Teoriya slučejnych funkcií. Gostechteorizdat 1957
- (23) Kazakov : Statističeskaja dinamika nelinejnych avtomatičeskikh sestřem, Fizmatgiz 1962
- (24) Kočetov, Safronov, Siňov, Solovjev : Metodika rasčota nelinejnyj pnevmatičeskij sistemy čelověka-operatora, IMAŠ
- (25) Griganov, Sergejev, Siňov, Čerňjavskij : Metodika rasčota nelinejnoj problematičeskoj sestřy vibroizolacij servoupravljeniem, Nauka 1973
- (26) Balakšin, Siňov : Issledovaniye i rasčot pnevmatičeskikh vibroopor, Naučnyje trudy Instituta mašinovedenija, Moskva
- (27) Voronina, Stěpcenov : K roščotu kolebanij na sideniji voditelja, Měžvuzovskij sbornik naučnych trudov, Moskva 1983
- (28) Šrejtr : Technická mechanika II, SNTL 1954
- (29) Tondl : Náhradní dynamický model systému s viskoelaстickou silou, Strojnický časopis 19880
- (30) Šklíba, : Aplikace řízeného tlumiče Karnopp-Margolisovým algoritmem v pružicím podstavci sedačky, V. konference o teorii strojů a mechanizmů, Liberec 1987
- (31) Šklíba, : O možnosti aplikace pneumatické pružiny s přídavným objemem v dynamickém systému sedačky a vyšetření oblasti stability. Vědecká konference ke 40. výročí založení FSE VŠB, Ostrava, 1990

- (32) Šklíba, : Identifikace inerciální složky výsledné
sily jednopláštového tlumiče,
Konference VUT Brno "Dynamika strojů
a pohonů", Žďár nad Sázavou, 1992
- (33) Šklíba, : Možnosti aplikace dorazového tlumiče
Barbora v dynamickém systému sedačky řidiče.
VI. konference o teorii strojů a mechanismů,
s mezinárodní účastí,
VŠST Liberec, 1992
- (34) Šklíba, : K problému stability sedačky s indikační
Fuřák pákou,
Hakl Kolokvium "Dynamika strojů 94",
Ústav termomechaniky AV ČR, Praha 1994
- (35) Šklíba, : Some remarks to the position control of
Stejskal, a spring seat,
Vampola "Euromech 31P - Stability and Vibrations of
Mechatronic Systems",
Institut of Thermomechanics, Praha 1994
- (36) Šklíba : O vlivu umístění pneumatické pružiny
v pružícím podstavci sedačky na jeho
stabilitu, "Inženýrská mechanika 95"
národní konference s mezinárodní účastí,
Švratka 1995
- (37) Lada : Pružné uložení strojů
Výzkumná zpráva SVÚSS 1954
- (38) Fuřák : Měření silenbloků sedaček
Škoda Technický záznam SVÚSS 1994
Šklíba

RNDr. Jan ŠKLÍBA, CSc.
docentská habil. práce - 2. díl

červen 1995

UNIVERZITNÍ KNIHOVNA
TECHNICKÉ UNIVERZITY V LIBERCI



3146071367

EXPERIMENTÁLNÍ
VÝSLEDKY

UNIVERZITNÍ KNIHOVNA
TECHNICKÉ UNIVERZITY U LIBERCI



3146071434

1. Popis experimentu a měřicího řetězce

Obecný popis zkušebního zařízení

Zkušební zařízení slouží k identifikaci vlastností odpružených sedaček ve zvolených režimech kinematického buzení spodní základny sedačky. Budící signály mohou být jak determinované tak i stochastické.

Jako determinovaný signál může být užit:

- 1) kvaziharmonický s konstantní amplitudou a pomalu se měnící frekvencí.
- 2) obdélníkový skok se stavitevnou frekvencí 0.2Hz.

Jako stochastický může být užit:

- 1) syntetický (bílý a růžový šum).
- 2) skutečný - naměřený na podlaze užitkového vozu.

Při měření se mohou snimat tyto hodnoty

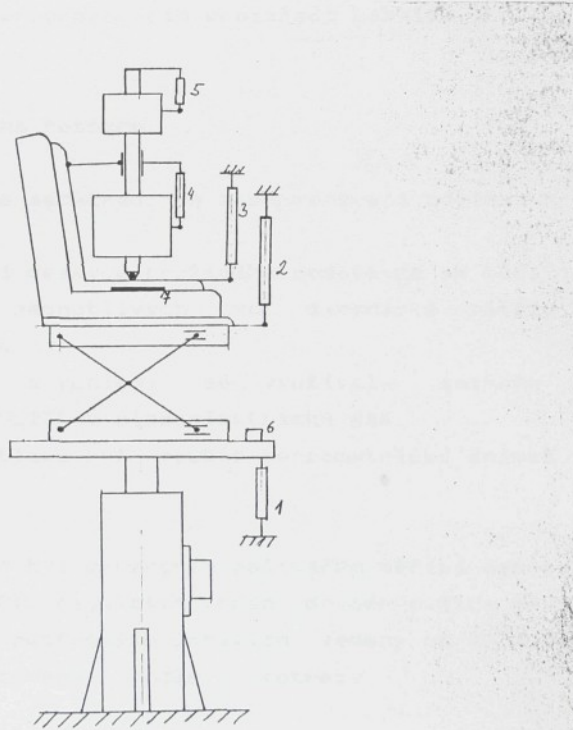
zdvih budící desky (podlahy)
zdvih na pružicím mechanizmu
zdvih na sedáku sedačky
zrychlení na budící desce
zrychlení na pružicím mechanizmu
zrychlení na sedáku sedačky
tlak v pneumatické pružině

Při použití dynamické zátěže, dále

zdvih velké hmoty zátěže
zdvih malé hmoty zátěže

Zkušební zařízení je na obr. 1.

Snímače 1, 2, 3 snímají absolutní zdvih, t.j. jsou připojeny k tuhému rámu, pevě spojenému se základnou pulzátoru. Snímače 4, 5 snímají relativní zdvih odpružených hmot vůči rámu dynamické zátěže.



1 - PD 200 snímač zdvihu; součást servovalce

2 - PD 200 snímač zdvihu

3 - PD 200 snímač zdvihu

4 - deskový snímač zrychlení

4 - RC 100 snímač zdvihu

5 - RC 50 snímač zdvihu

6 - snímač zrychlení B & K

Popis hydraulické a řídící části

Hydraulická část se skládá z hydraulického agregátu HA 250 (provozní tlak 250 bar a průtok 250 dm³/min) a dále z hydromotoru SAVAD 100-200. Řídící část tvoří měřicí ústředna a PID regulátor. Měřicí ústředna umožňuje vysílat řídící signál a dále snimat a vyhodnocovat 16 kanálů. Měřicí a vyhodnocovací programy jsou vytvořeny v programovacím prostředí LabView.

Popis měřicího řetězce

Při experimentu se sedačkou se zaznamenávají zdvíhy, zrychlení a tlak.

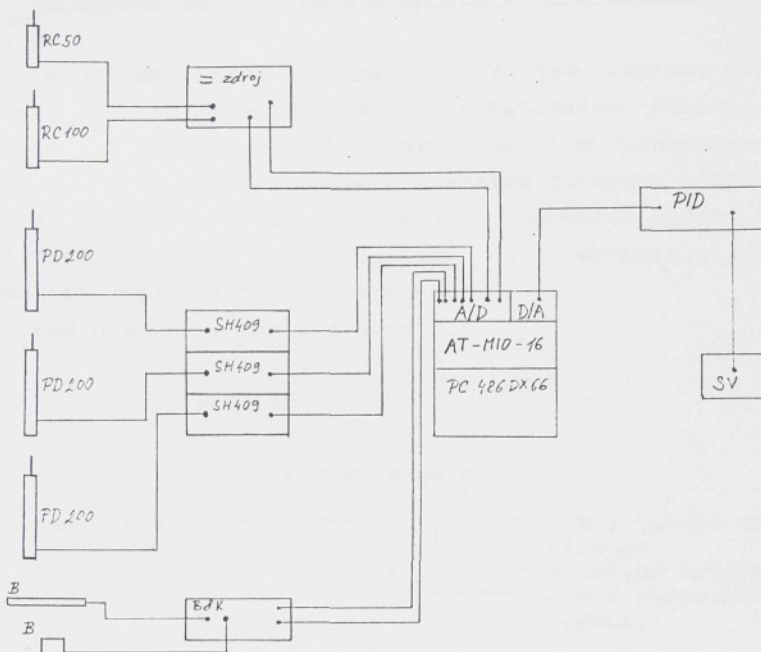
Zdvíhy budící desky a pružicího podstavce se měří indukčními snímači, zdvíhy jednotlivých hmot dynamické zátěže se měří odporovými snímači.

Pro měření zrychlení se využívaly snímače zrychlení piezorezistivní KULITE a piezoelektrické B&K.

Pro snímání tlaku byl použit tenzometrický snímač tlaku ZPA Jinonice.

Budící signál byl generován počítačem měřicí ústředny a přes D/A převodník a PID regulátor veden do servoválce SAVAD. Měřené veličiny byly po potřebných úpravách vedeny na A/D převodník a počítačově zpracovány podle potřeby.

Zapojení snímačů je na obr. 2.



obr. 2

Použité snímače a přístroje

PD 200 - součást SAVADu 100-200, měření polohy měřící desky
PD 200 M028986 - měření polohy pružicího mech. sedačky
PD 200 M028985 - měření polohy na sedáku sedačky
RC 50 - měření zdvihu malé hmotnosti dyn. zátěže
RC 100 - měření zdvihu velké hmotnosti dyn. zátěže
B&K 4326 - měření zrychlení na desce pulzátoru
B&K 4322 - měření zrychlení na sedáku sedačky
GAD 813 2x - měření zrychlení
tenzometrický snímač tlaku

elektronika SH 409

stabilizovaný zdroj

můstek M 1000

8 kanálový nábojový zesilovač B&K 5969

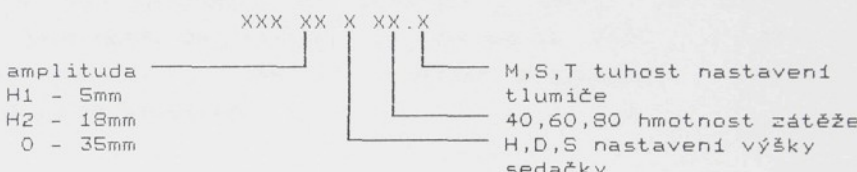
PID regulátor

2. Měření sedačky Karosa buzené determinovaným signálem

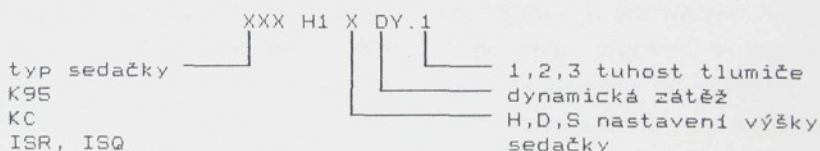
Na následujících přílozích (1-38) jsou záznamy vyhodnoceného měření při různých režimech kinematického buzení. Na horním obrázku je časový průběh obálky kmitů s vyhodnocenou střední výchylkou vynesen silnou čarou a obálka časového průběhu budícího signálu slabou čarou. Na dolním obrázku každé přílohy je amplitudový přenos v závislosti na frekvenci, jež odpovídá okamžitému času na horním obrázku.

Kód uvedený v záhlaví označuje

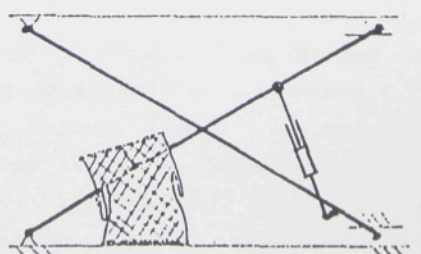
Při statické zátěži



Při dynamické zátěži



Pružici podstavec sedačky Karosa (prototyp 93) je realizován nůžkovým mechanizmem a zavěšení pneumatické pružiny a regulovatelného hydraulického tlumiče je patrné z následujícího obrázku:



Nakonec uvedeme, že pokud je vyhodnocen jiný průběh, než absl. výchylka kmitů horní základny sedačky resp. její přenos, znamená

Z buzení

Y_1 absol. výchylka horní základny

Y_2 absol. výchylka rámu dynamické zátěže

Y_3 absol. výchylka větší hmoty dyn. zátěže

Y_4 absol. výchylka menší hmoty dyn. zátěže

Na přílohách 1 - 5 jsou porovnány výsledky měření pro kvaziharmonické buzení s amplitudou $H_2 = 18$ mm se třemi velikostmi statické zátěže 40, 60, 80 kg, při různých nastaveních výšky sedačky a tvrdosti tlumiče. Z porovnání s přílohami 5a,b,c a 6a,b,c pak můžeme vidět rozdíly v přenosu, když je zkoušená sedačka opatřena statickou či dynamickou zátěží se stejnou výslednou hmotností. Je patrné, že dynamická zátěž - zvláště z porovnání (5b,7b) a (5c,7c) - vykazuje příznivější průběhy přenosu než zátěž statická.

Na dalších přílohách můžeme sledovat vliv pěny druhého vibroizolačního stupně. Přílohy 7 a 8 se týkají přenosu mezi horní základnou sedačky a budícím zdvihem; přílohy 9 a 10 přenosu mezi rámem dynamické zátěže a budícím zdvihem; na přílohách 11 a 12 je vynesen průběh přenosu mezi rámem dyn. zátěže a horní základnou sedačky. Je patrné, že přenos s rostoucí frekvencí v oblasti [0..4Hz] monotónně roste a negativně ovlivňuje vibroizolaci.

Kvaziharmonické buzení s amplitudou $H_2=18\text{mm}$ se týká oblasti [0,4 - 4 Hz]; frekvence se zvyšuje v intervalu [0 - 40 s] a lze připustit, že budící signál je kvazistacionární. Anomální průběhy odezvy (viz.1c) jsou způsobeny elektr. poruchami budícího signálu.

Kvaziharmonické buzení s amplitudou $H_1=5\text{mm}$ se týká oblasti [0,4 - 8 Hz]; frekvence se zvyšuje v intervalu [0 - 80 s] a lze rovněž připustit, že budící signál je kvaziharmonický. Malá amplituda buzení způsobuje, že k relativnímu pohybu pružícího podstavce dochází později (teoreticky při $1,9\times$ vyšší frekvenci). Obálka rozvinutých kmitů je v rezonanční i částečně

v rezonanční oblasti doprovázena stejnosměrnou složkou. To je zapříčiněno zejména pásmem necitlivosti korekčního systému. Přílohy 13 - 18 se týkají statické zátěže (kód je analogický předešlému); bylo aplikováno měkké a střední nastavení tvrdosti tlumiče.

Opět z porovnání příloh (17a,b,c)(18a,b,c)a (19a,b,c)(20a,b,c) lze posoudit rozdíl statické a dynamické zátěže při jejich stejné hmotnosti 80 kg. Je stejný jako v předešlém případě buzení větší amplitudou: zejména v nadrezonanční oblasti dává experiment s dynamickou zátěží příznivější průběhy přenosu mezi zdvihem horní a dolní základny pružicího podstavce.

Na přílohách 21 a 22, je zaznamenána obálka kmitů rámu dynamické zátěže a přenos amplitud těchto kmitů vůči budící amplitudě; porovnáme-li tyto výsledky s výsledky měřené na přílohách 19 a 20 můžeme odvodit vliv pěny: v nadrezonanční oblasti (do 8Hz) zvyšuje amplitudy vybuzených kmitů. Je to stejný závěr jako v případě buzení velkou amplitudou (i když bychom rádi očekávali spíše opačný výsledek).

Na dalších přílohách je sledován přenos jednotlivých hmot dynamické zátěže. Příloha 23b znázorňuje přenos menší hmoty m_4 pro střední nastavení tlumiče (.2) a střední výšce (S). V porovnání s tím (23a resp. 23c) znázorňují případy měkkého (23a) a tvrdého (23c) nastavení tlumiče; na druhé straně z porovnání (23b) a příloh (24a) a (24b) je patrný vliv výškového přestavení při středním nastavení tlumiče.

Analogicky tomu znázorňují varianty (25a,b,c) přenos kmitů větší hmoty m_3 při měkkém nastavení tlumiče, (26a,b,c) při středním nastavení tlumiče, (27a,b,c) při tvrdém nastavení tlumiče. Přitom je vždy: a - dolní nastavení výšky, b - střední a c - horní nastavení výšky.

Na přílohách 28, 29, 30 jsou časové průběhy relativních zdvihů větší a menší hmoty při standardním harmonickém buzení s amplitudou 18 mm; (tři různé nastavení výšky a tři různé nastavení tlumiče). Horní časový průběh se týká malé hmoty (m_4),

spodní větší hmoty (m_3); vidíme, že k intenzivnímu relativnímu pohybu vůči rámu dynamické zátěže dochází až v nadrezonanční oblasti. Anomální průběh zdvihu na příloze 30a byl způsoben povolenou aretací sklápění sedačky.

Konečně na přílohách 31a,b,c a 32a,b jsou při různých výškách a různých nastavení tlumiče porovnány časové průběhy absolutního vertikálního zrychlení. Akcelerometr byl umístěn na rámu dynamické zátěže. Je patrné, jak negativní vliv má v nadrezonanční oblasti tvrdé nastavení tlumiče.

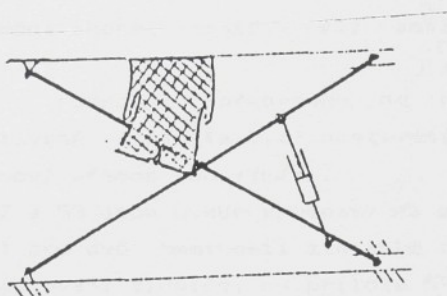
Přílohy 33a,b znázorňují odezvy sedačky se statickou zátěží při skokovém (obdélníkovém) budícím signálu při hmotě 40 kg; a měkkém a středním nastavení tlumiče; přílohy (34a,b) totéž při hmotnosti 80 kg. Z porovnání této přílohy s následující přílohou (35a,b) znázorňující odezvu sedačky na jednotkový skok s dynamickou zátěží můžeme registrovat podstatný rozdíl v reakci zejména u měkkého nastavení tlumiče.

Konečně na přílohách 36 až 38 (tři různé výšky, tři nastavení tlumiče) jsou znázorněny časové průběhy absolutních zdvihů horní základny pružicího podstavce (silná čára) a rámu sedačky (slabá čára) - je patrný nepodstatný vliv pěny při tomto typu buzení.

3. Měření sedačky Isring buzené determinovaným signálem

Na přílohách 39-69 jsou výsledky měření sedačky Isring (model 1993). Kód, uvedený v záhlaví jednotlivých příloh je stejný jako v předešlém případě.

Pružící podstavec sedačky Isring je realizován nážkovým mechanizmem a zavěšení pneumatické pružiny a regulovatelného hydraulického tlumiče je patrné z následujícího obrázku.



obr.4

Na přílohách 39 - 44 jsou výsledky simulace sedačky Isring (model 1993) pro kvaziharmonické buzení s amplitudou 5 mm alternované výškové přestavení (D,S,H) a tvrdost tlumiče (M,S). Anomální průběhy přenosů v oblasti (5 - 5.5Hz) viz např. přílohy (42c,44c), vysvětluje chybrou funkci tlumiče a jeho ztvrdnutím při určité pistové rychlosti, nikoliv vznikem subharmonické rezonance, jež potřebuje ke svému vzniku vždy velmi malé tlumení. Právě z tohoto důvodu nebyl ani tlumič nastavován na tvrdý režim (T).

Na přílohách 45 - 50 jsou výsledky simulace pro kvaziharmonické buzení s amplitudou do 18 mm, frekvence v rozmezí 40 s. zvýšila z 0.4 na 4 Hz. K výše zmíněné anomálii nedojde, i když tlumič dosáhne zřejmě vyšších pistových rychlostí, než v předchozím případě buzení amplitud 3,6 krát menší. Poznamenejme, že pro hmotnosti 40kg a 60kg se jeví vibroizolační systém podstavce jako přetlumený a při nastavení tlumiče na vyšší tvrdost by byl amplitudový přenos pravděpodobně roven jedné v celém frekvenčním rozsahu.

Výsledky měření na přílohách 51, 52 se týkají dynamické zátěže při stejné amplitudě buzení. Porovnáme-li jednotlivé varianty s variantami na přílohách 49, 50 (stejné hmotnosti statické a dynamické zátěže), je patrné, že statická zátěž dává vesměs vyšší hodnoty přenosu v nadrezonanční oblasti než zátěž dynamická.

Na příloze (53a,b,c,d) jsou porovnány přenosy absolutních výchylek horní základny sedačky (a), rámu dyn. zátěže (b), větší hmoty (c), malé hmoty (d). Zajímavé je porovnání (a) a (b), z něhož vyplývá, že pěna zhorší téměř v celé amplitudové oblasti přenos.

Tento závěr je podrobně předveden na přílohách 54 - 56 (alternativně nastavené výšky (a,b,c) nastavení tlumiče), kde je zobrazen amplitudový přenos pěny: Y_2/Y_1 .

Na přílohách 57 a 58 jsou uvedeny odezvy na obdélníkový skok (s amplitudou 35 mm) pro dvě hmotnosti statické zátěže 40 a 80 kg a měkké a střední nastavení tlumiče, na příloze 59 pro dynamickou zátěž. Ze srovnání (58a, 59a) a (58b, 59b) vidíme, že pružící podstavec s dynamickou zátěží je vůči statické relativně méně zatlumen a vykazuje větší rozkmity odezvy.

Přílohy 60 a 61 dokumentují prakticky shodné zvěti u horní základny nážek a rámu dynamické zátěže (60a,b,c - vliv nastavení tlumiče (61a, 60b, 61b) přestavení výšky.

Přílohy 62 a 63 dokumentují zvěti obou pružně uložených hmot dynamické zátěže při obdélníkovém skoku - (62a,b,c) vliv tlumiče a (63a, 62b a 63b) vliv přestavné výšky.

Přílohy 64 a 65 dokumentují časové průběhy zrychlení na rámu dynamické zátěže (64a,b,c + vliv tlumení; (65a, 64b, 65b) vliv přestavné výšky.

Konečně přílohy (66a,b,c) ukazují časové průběhy tlaku na místě vstupního otvoru do pneumatické pružiny. Kolísání tlaku nepřesahuje 2,5 baru.

Na přílohách 67, 68 jsou časové průběhy relativních zvěti obou hmot dynamické zátěže při kvaziharmonickém buzení; alternativy 67a,b,c - vliv tlumení 68a, 67b, 68b vliv přestavení výšky.

Příloha 69a,b dokumentuje časový průběh tlaku na vstupu do pneumatické pružiny a zrychlení na základně panáku.

4. Měření sedačky Karosa, buzené kinematickým stochastickým signálem

V tomto případě bylo využito nového přenosného měřicího systému SVÚSS a. s.

Toto špičkové zařízení se skládá s přenosného počítače typu notebook IBM ThinkPad 755Cs s procesorem 486DX2, měřicí karty PCL 818(A/D převodník), analogového filtru, baterií pro napájení systému a ze vstupní a výstupní jednotky pro 16 A/D vstupů a 2 D/A výstupy.

Tento počítač je vybaven programem HVLAB určeným pro měření, sběr a analýzu dat, který obsahuje řadu funkcí pro frekvenční analýzu, digitální filtraci a jiné operace s naměřenými daty. Program byl zhodoven v Institutu hlků a vibrací na univerzitě v Southamptonu v odboru výzkumu vlivu faktorů na člověka. Program HVLAB umožňuje analýzu vibrací dle Britských i mezinárodních hygienických norem.

Uvedený systém byl využit k vysílání analogového řídícího signálu do pulzátoru pro jeho pohyb a současně byl zaznamenáván průběh zrychlení desky pulzátoru, na němž byla připevněna sedačka (kinematické buzení) a také zrychlení sedačky(odezva). K měření zrychlení bylo užito tříosých snímačů zrychlení B&K typu 4326 a 4322.

Na příloze 70 je záznam čas. signálu zrychlení na podlaze nákl. automobilu, jedoucího přes železniční přejezd. Čas. průběh zrychlení, rychlosti(po 1.integraci) a výchylky(po 2.integraci) a vyhodnocení spektrální výkonové hustoty je na příloze 70. Zdvihový signál(posuv Z) sloužil jako vstupní signál pro kinematické buzení elektrohydraulického pulzátoru, na němž byla zkoušena sedačka Karosa a to

1) jako pružící podstavec se stat. zátěží 80kg(přílohy 71-73) vždy pro tři alternativy nastavení výšky a tři alternativy nastavení tlumiče

2) kompletní s dynamickou zátěží 80kg(přílohy 74-76) ve stejných alternativách

Ze srovnání je patrné: zrychlení na rámě dynamické zátěže vykazuje ve většině případů větší rozdíl špičkových hodnot než na statické zátěži, zatímco po dvojí integraci (rozdíl špiček hodnot u zdvihu) je větší u statické zátěže.

Pokud porovnáváme průběhy spektrální výkonové hustoty v oblasti (0,10Hz), vyznačují se všechny maximem 2,3-2,5Hz, odpovídající rezonanční frekvenci sedačky. Hodnota tohoto maxima roste se zvyšující se tvrdostí tlumiče pro všechny alternativy výškového přestavení. Hodnota maxima je u statických zátěží vyšší než u dynamických.

Na přílohách 70 až 79 jsou výsledky třetinoktávové analýzy snímaného zrychlení na sedačce. Ve frekvenční oblasti (0,20Hz) jsou v každém třetinoktávovém pásmu vyneseny efektivní hodnoty zrychlení pro statickou a dynamickou zátěž vedle sebe.

V pásmu (2,5-18,5Hz) jsou hodnoty efektivního zrychlení u statické zátěže vyšší než u dynamické. Tento závěr platí i pro frekvence 1,6 a 20Hz pro horní nastavení výšky ve velké většině případů a pro frekvence 1,0 až 1,6Hz pro dolní a střední polohu. Zvláště význačné rozdíly jsou v pásmech se střední frekvencí (8,10,12,5Hz).

5. Závěr

Ještě než přejdeme k závěrečnému hodnocení experimentu, je třeba si uvědomit, že vlastní frekvence pružně zavěšených hmot dynamické zátěže leží nad rezonanční frekvencí pružícího podstavce, takže při kvaziharmonickém buzení v podrezonanční oblasti 0 - 1.2 Hz nedochází k relativnímu pohybu žádné hmoty ani mechanizmu vůči kinematicky buzené spodní základně. V rezonanční oblasti (1.3 - 2.6 Hz) dochází k relativnímu pohybu mechanizmu pružícího podstavce, ale nikoliv k relativnímu pohybu hmot dynamické zátěže vůči horní základně pružícího podstavce. Nad první rezonancí (v oblasti vyšší než 2.6 Hz) se uplatňuje plně vibroizolační efekt: absolutní výchylka kmitání horní základny se ustaluje a amplitudový přenos postupně klesá k velmi malým hodnotám. V oblasti resonance větší hmoty (4 Hz) a menší hmoty (8 Hz) je buzení rámu dynamické zátěže tedy velmi malé, horní základna sedačky prakticky stojí a dochází jen k malým výchylkám obou hmot, jejichž pružné uložení je navíc opatřeno tlumiči.

Lze tedy očekávat, že rozdíly v experimentálních výsledcích budou jen v nadrezonanční oblasti a to nepříliš výrazné a při skokovém buzení jak determinovaném, tak stochastickém.

1. Tento odhadnutý závěr byl většinou při kvaziharmonickém buzení potvrzen. Systém s dynamickou zátěží se vzhledem k systému se statickou zátěží chová tak, jako by měl vhodněji nastavené měkčí tlumení: vykazuje menší hodnotu přenosu v nadrezonanční oblasti a o něco vyšší hodnotu přenosu v první rezonanci. Přitom je třeba přihlédnout k určité anomálii způsobené např. chybou funkci hydraulického tlumiče.

2. Podobně se chová systém s dynamickou zátěží při determinovaném skokovém buzení; zde vykazuje o něco větší hodnoty překmitu (opět jako by měl nižší nastavenou tuhost tlumiče). Poznamenejme, že při tomto buzení lze skutečně registrovat relativní výchylky obou hmot dynamické zátěže.

3. Z tohoto důvodu byl vybrán jako stochastický budící signál vzorek přejezdu přes železniční trať. Ale ukázalo se, že přesto, že efektivní hodnota zrychlení v nadrezonančních třetinoaktálových pásmech sledovaných hygienickou normou je nižší - špičky zrychlení při přejezdu u dynamické zátěže (hodnocen vzájemný maximální rozdíl v obou směrech) jsou vyšší než u

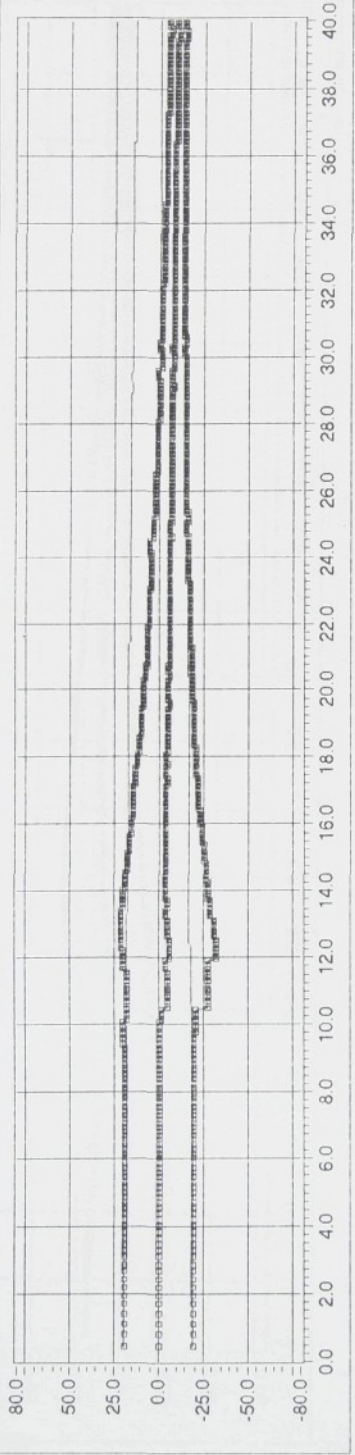
statické.

I když nejsou zde uvedená měření u dvou moderních sedaček plně vyčerpávající, lze učinit následující závěr:

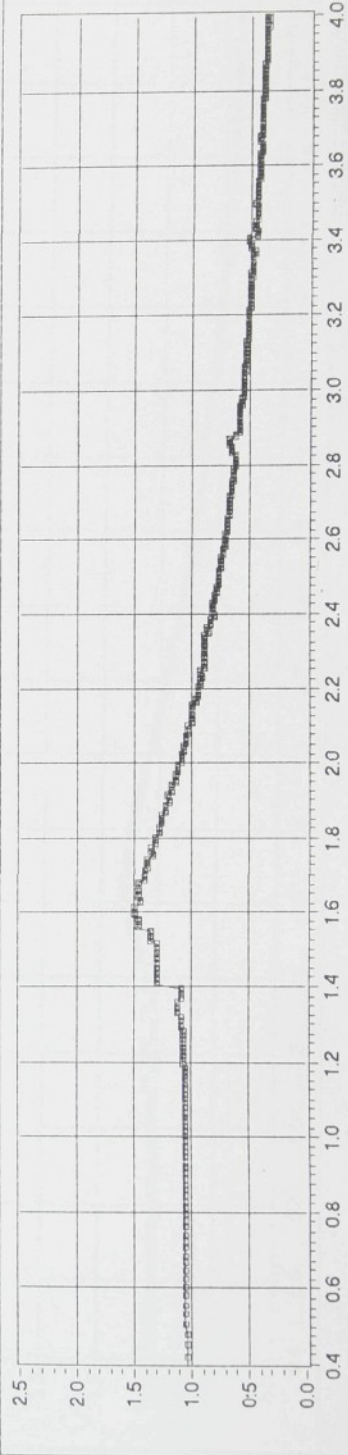
A. Pro základní vyladění systému při kvaziharmonickém buzení lze použít statické zátěže (dává horší výsledky v nadrezonanční oblasti).

B. Splnění hygienické normy je nutné kontrolovat experimentem s dynamickou zátěží, neboť třetinooktávová analýza nedává jednoznačné výsledky v celé frekvenční oblasti.

Y: buzeni [mm], odezva [mm]

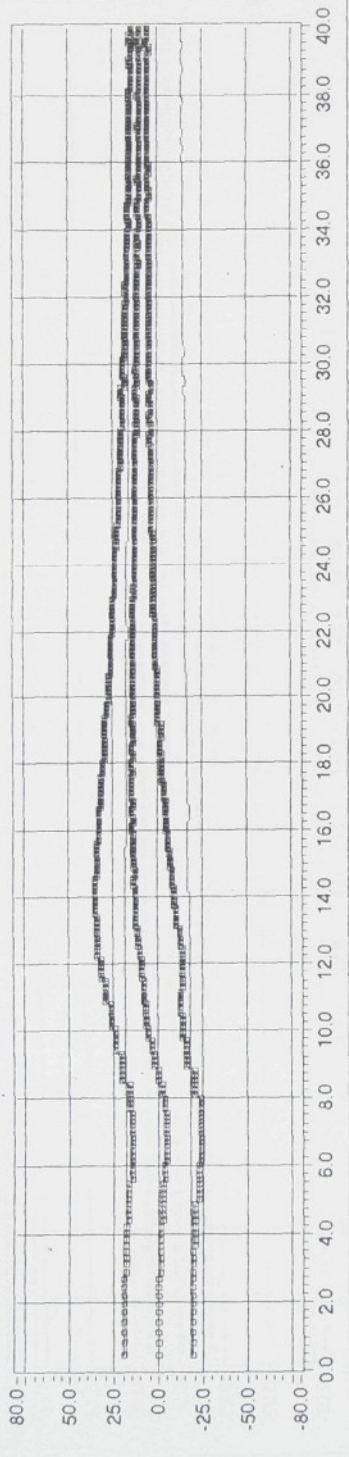


soubor: KCH2D40.M

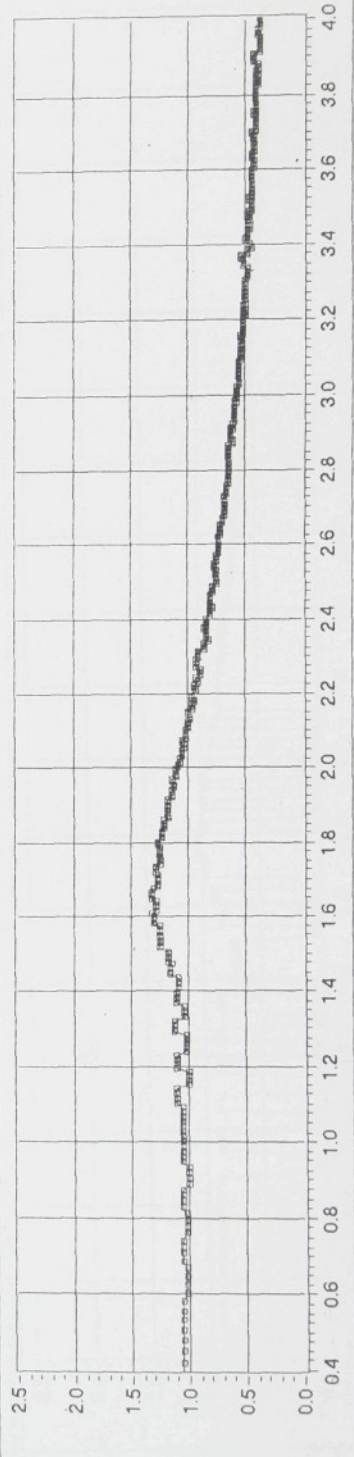
Y: prenos [1] Y_1/Z 

X: frekvence [Hz]

Y: buzenii [mm], odezva [mm]

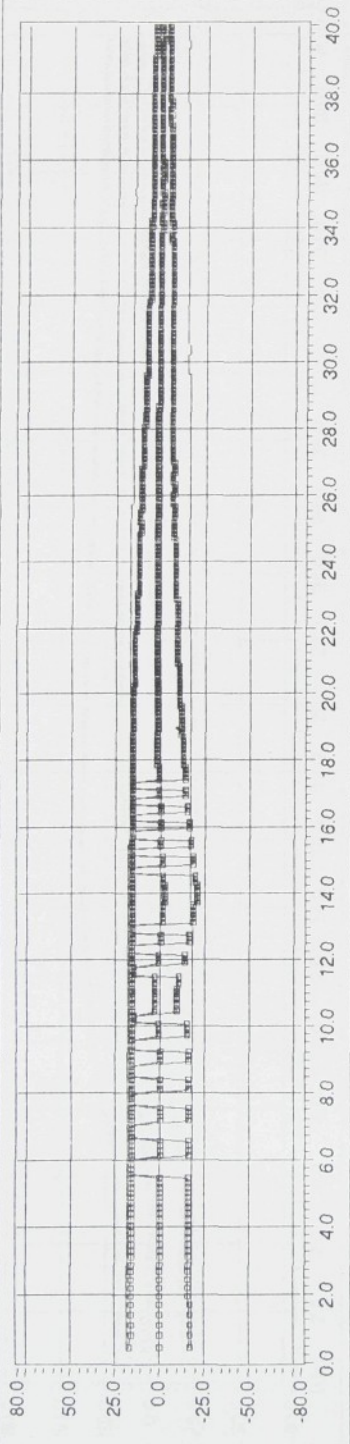


soubor: KCH2S40.M

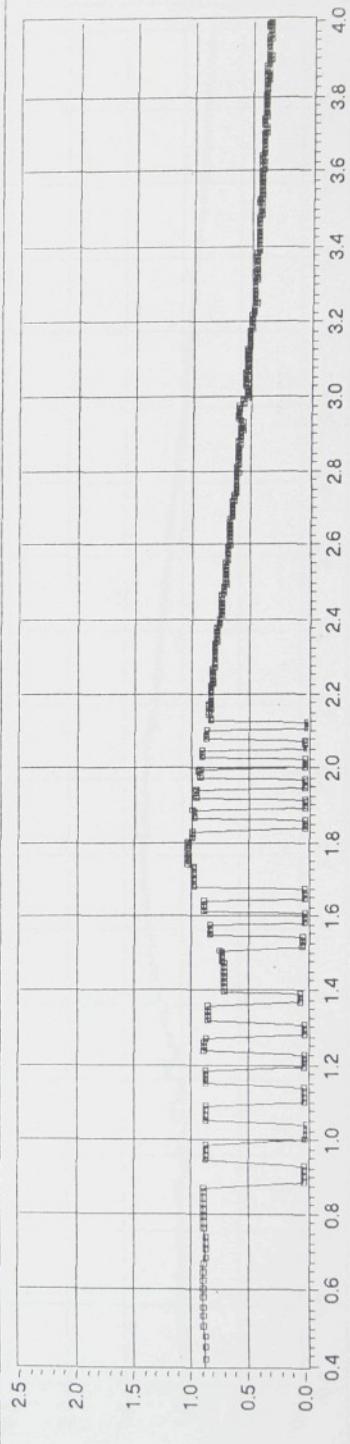
Y: prenos [1] Y_1/Z 

X: frekvence [Hz]

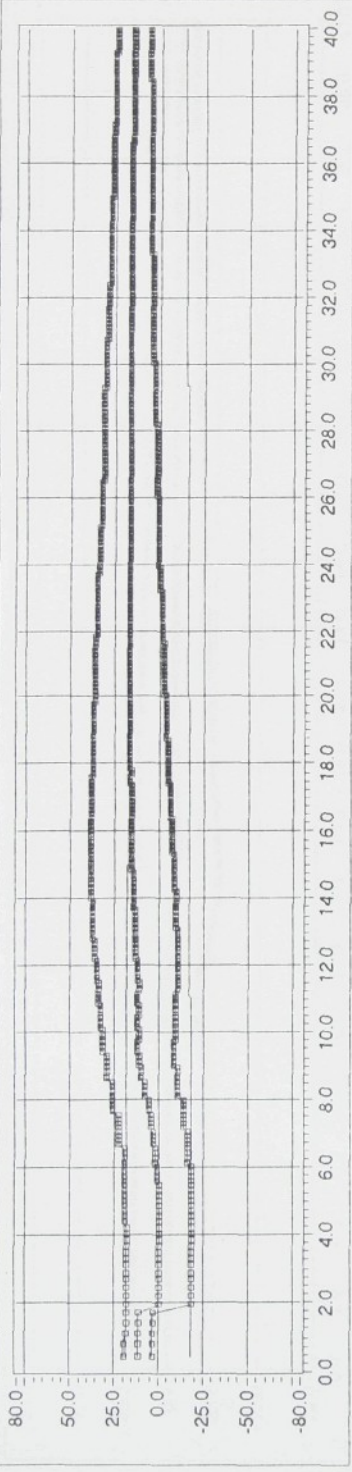
Y: buzení [mm], odzvva [mm]



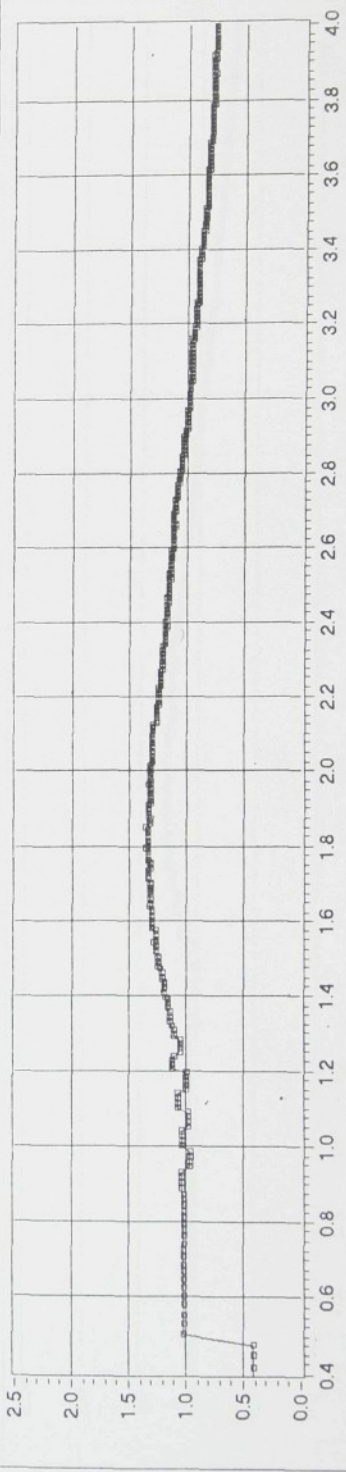
soubor: KCH2H40.M

Y prenos [1] Y_1/Z 

Y: buzení [mm], odezva [mm]



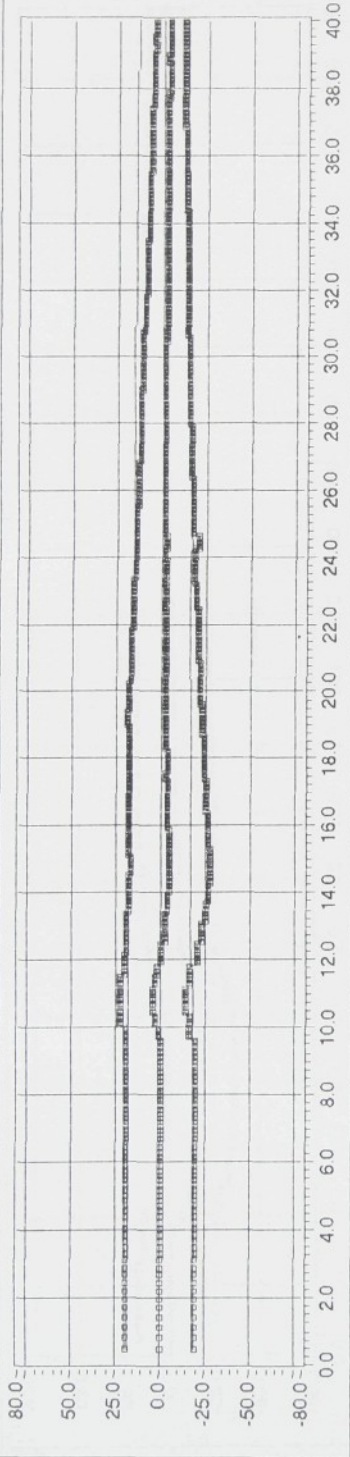
Y: prenos [1] Y_1/Z



X: frekvence [Hz]

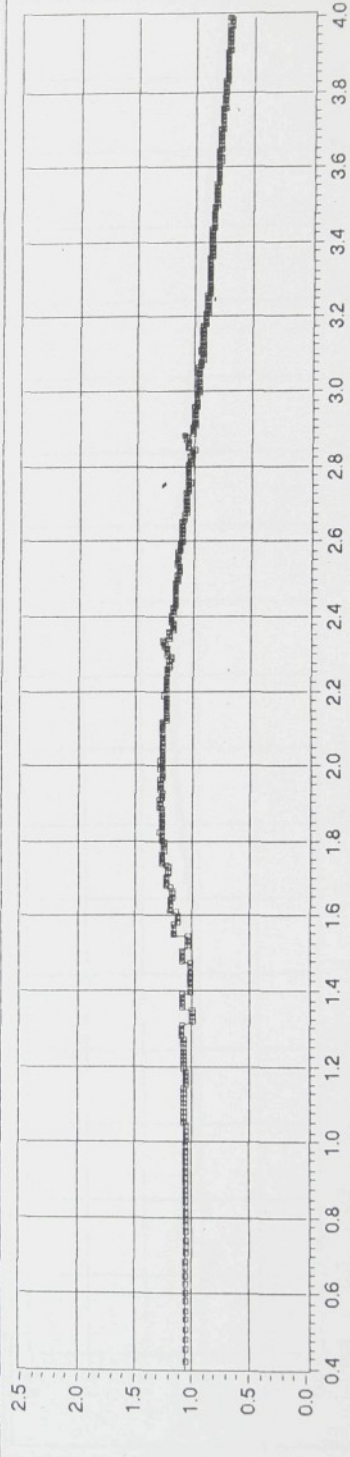
soubor: KCH2D40 S

Υ : buzení [mm], odzváva [mm]



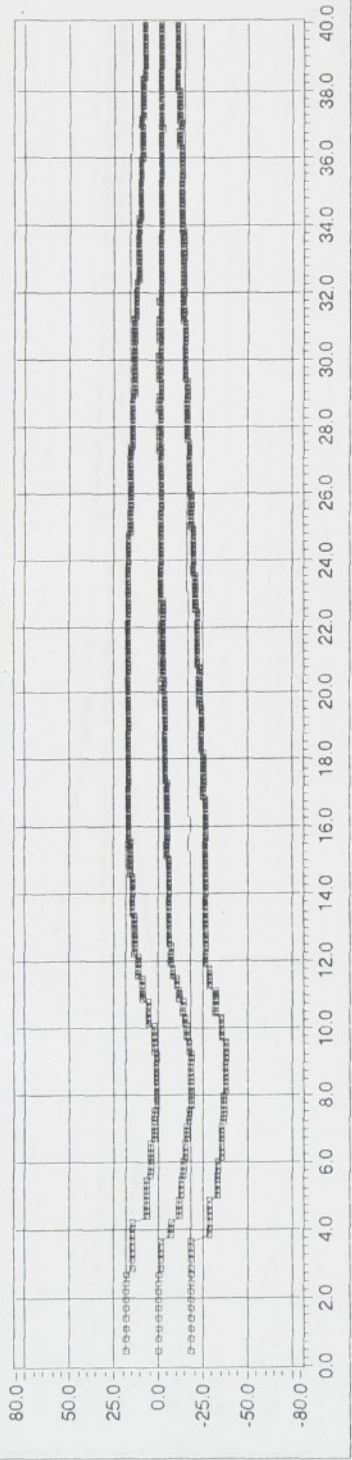
soubor: KCH2S40 S

Υ : prenos [1] Υ_1/Ξ

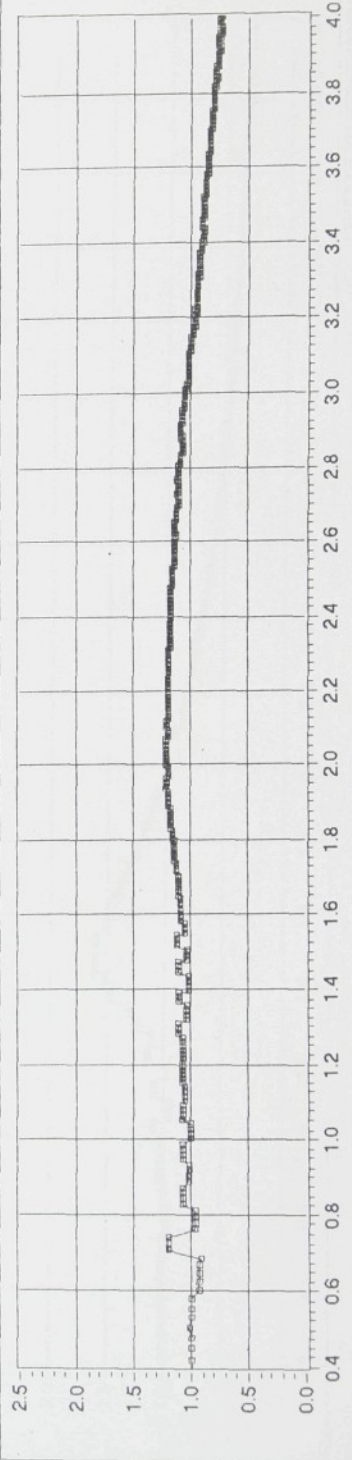


X: frekvence [Hz]

Y: buzení [mm], odezva [mm]

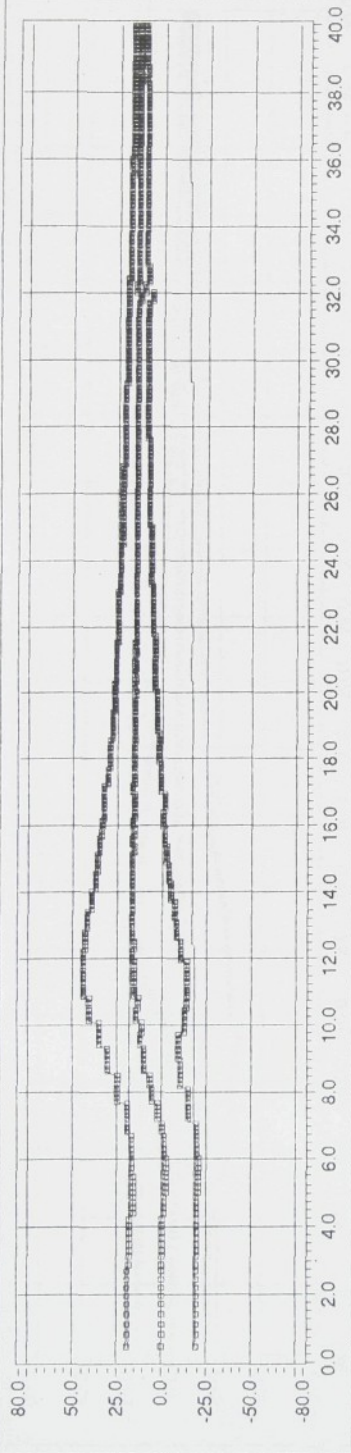
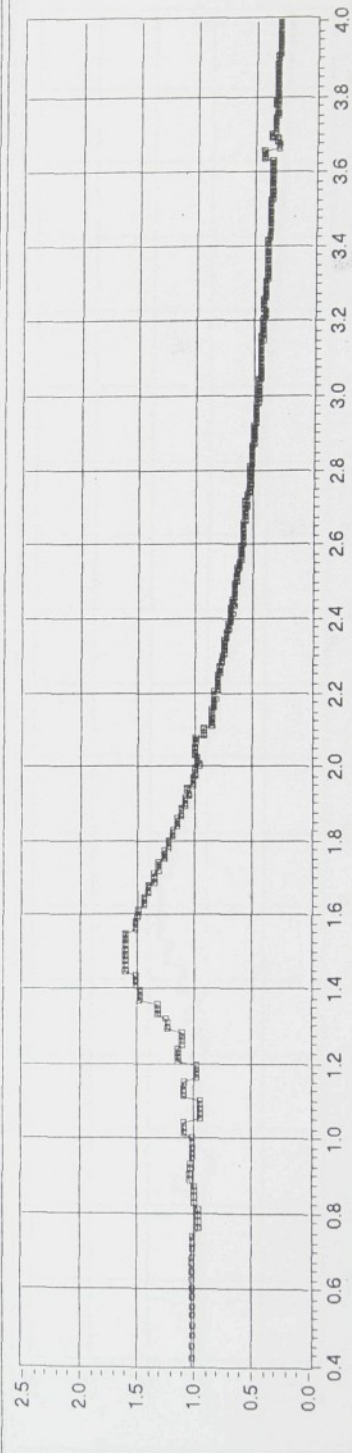


Y: prenoš [l] Y_1/Z

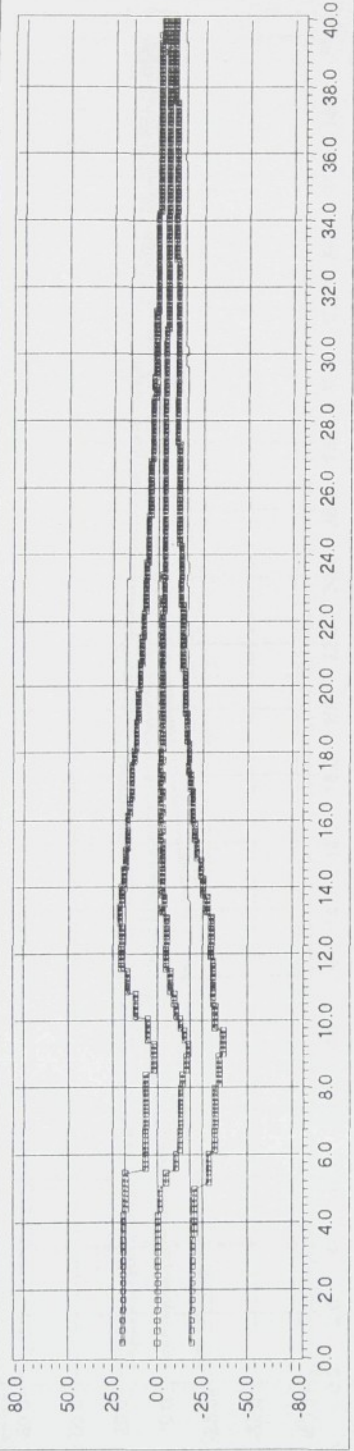


soubor: KCH2H40 S

Soubor KCH2D60.M

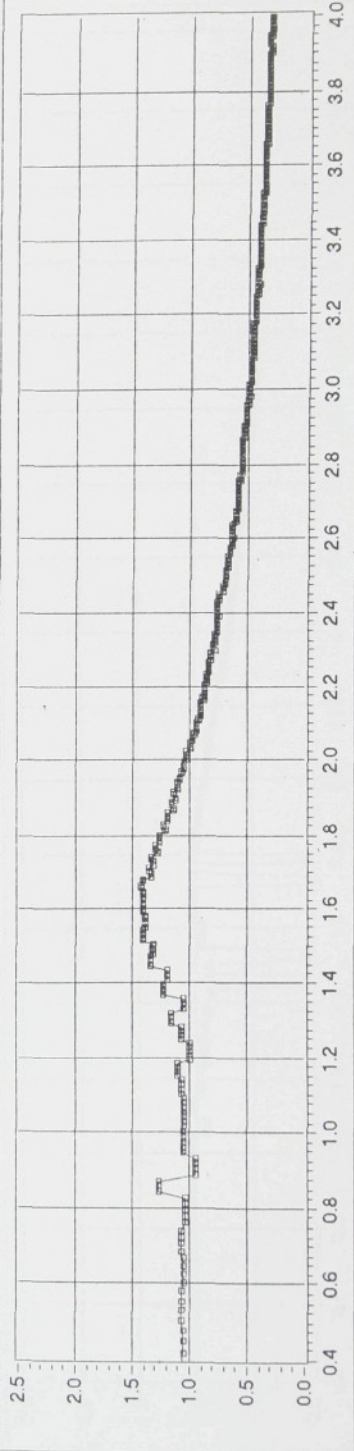
Y_prenos [1] Y_1/Z X_{frekvence} [Hz]

Y: buzení [mm], odezva [mm]



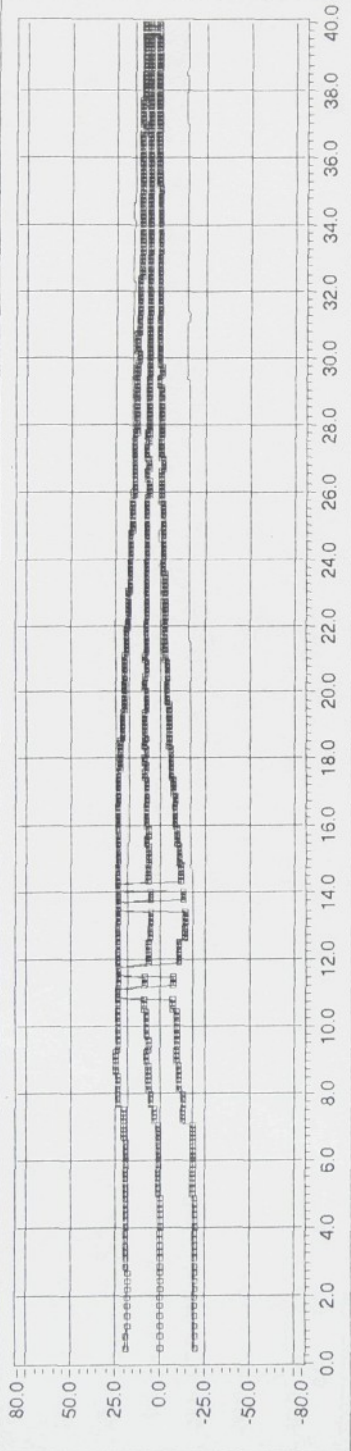
soubor: KCH2S60 M

Y: přenos [1] $\frac{Y_1}{Z}$

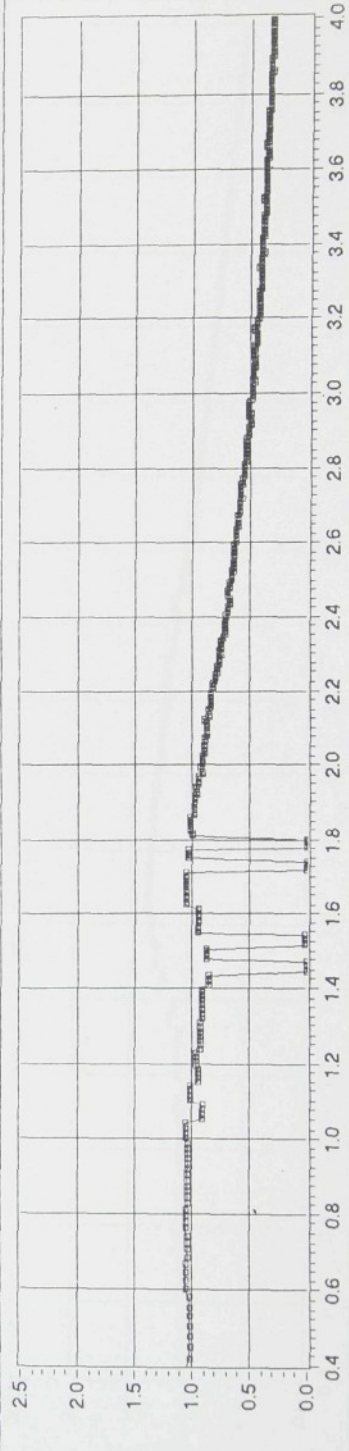


X: frekvence [Hz]

Y: buzení [mm], odezva [mm]

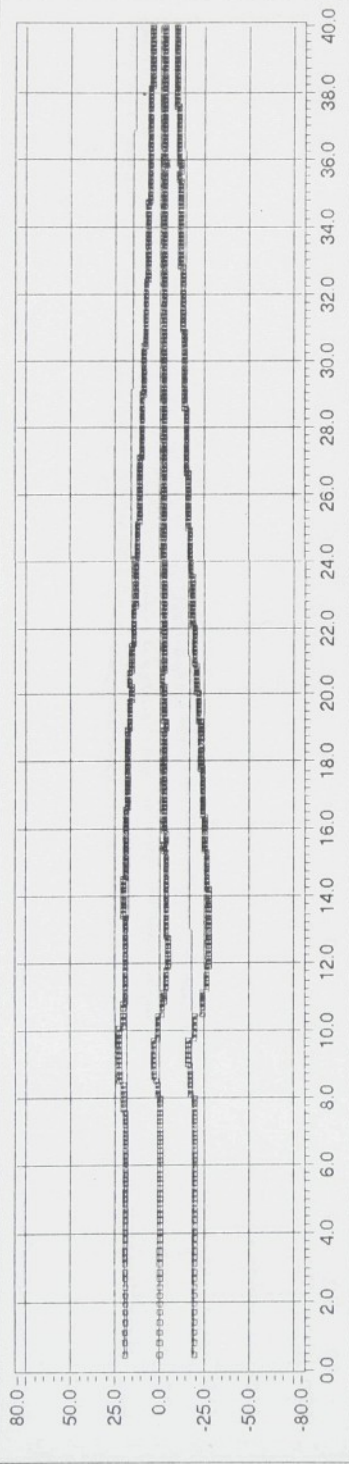


soubor: KCH2H60.M

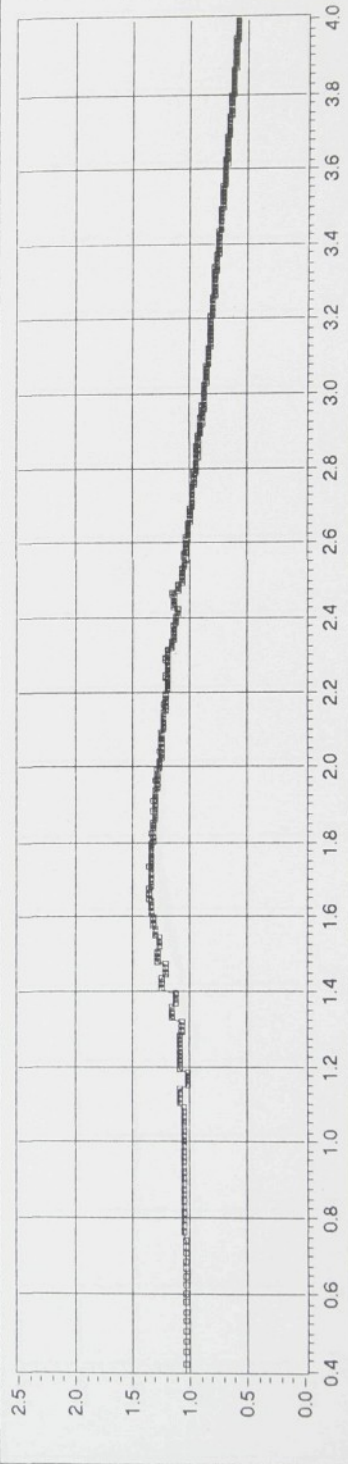
Y: prenos [1] Y_1/Z 

soubor: KCH2H60.M

Y: buzení [mm], odezva [mm]



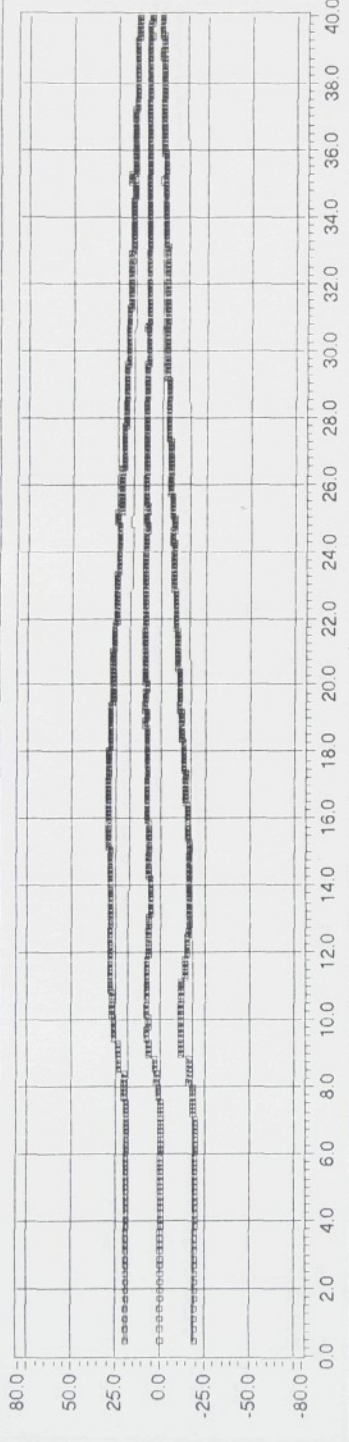
Soubor: KCH2D60 S

Y: přenos [1] Y_1/Z 

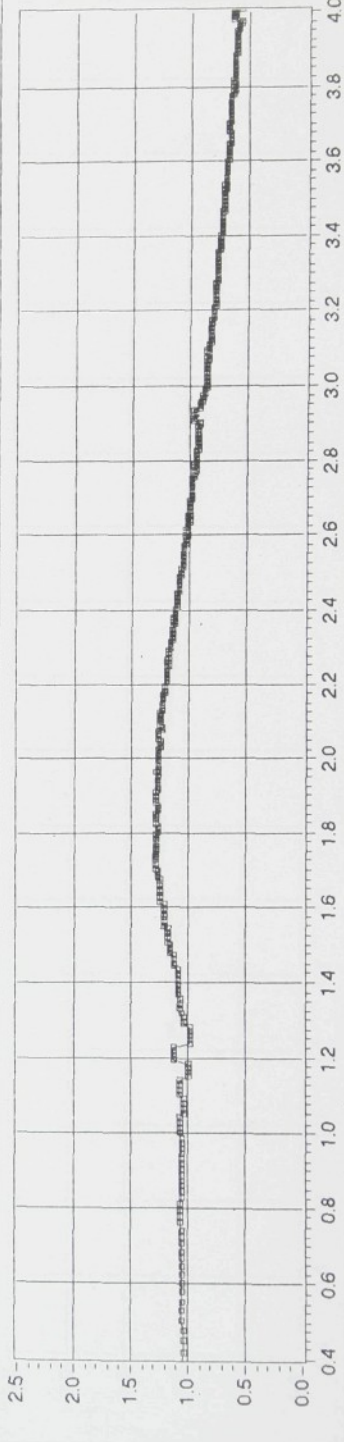
Soubor: KCH2D60 S

X: frekvence [Hz]

Y: buzení [mm], oddzva [mm]



Y: prenos [1] Y_1/Z



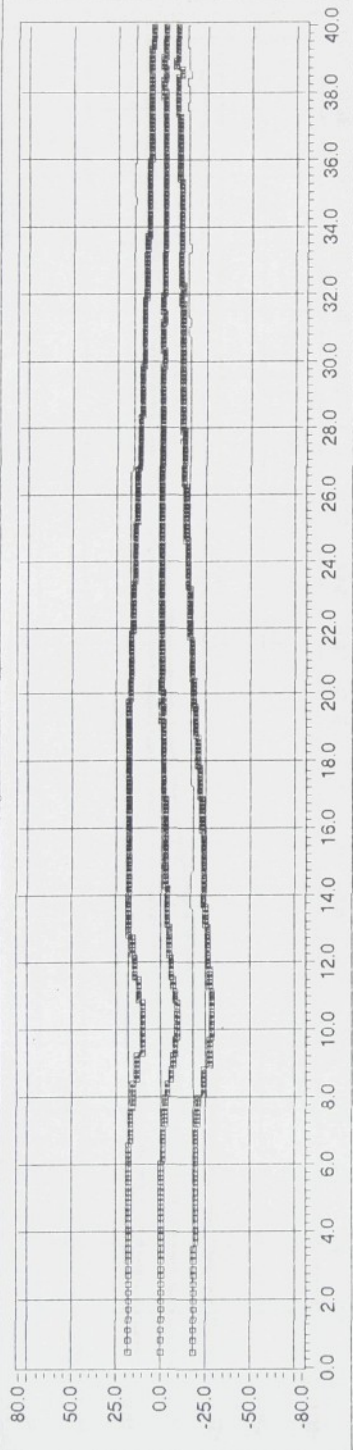
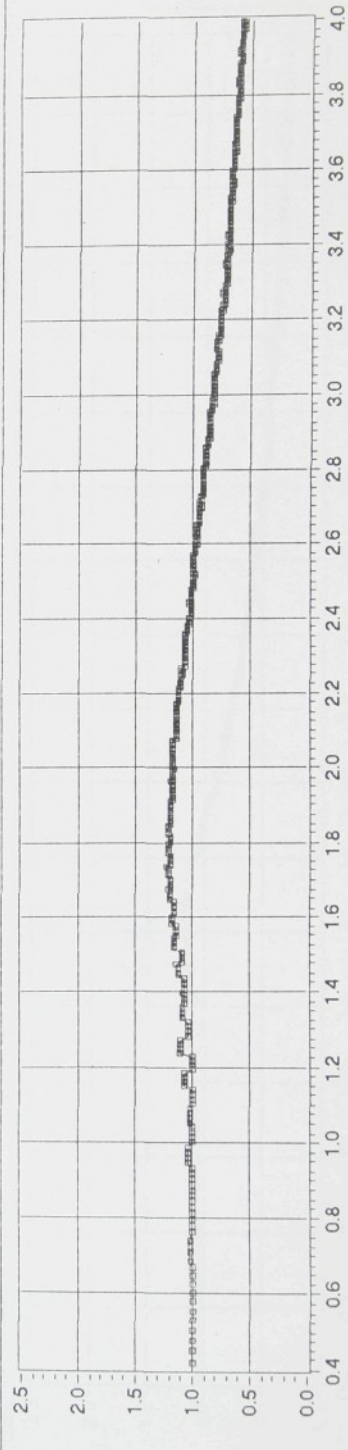
Soubor: KCH2S60 S

Soubor: KCH2S60 S

X: frekvence [Hz]

X: cas [s]

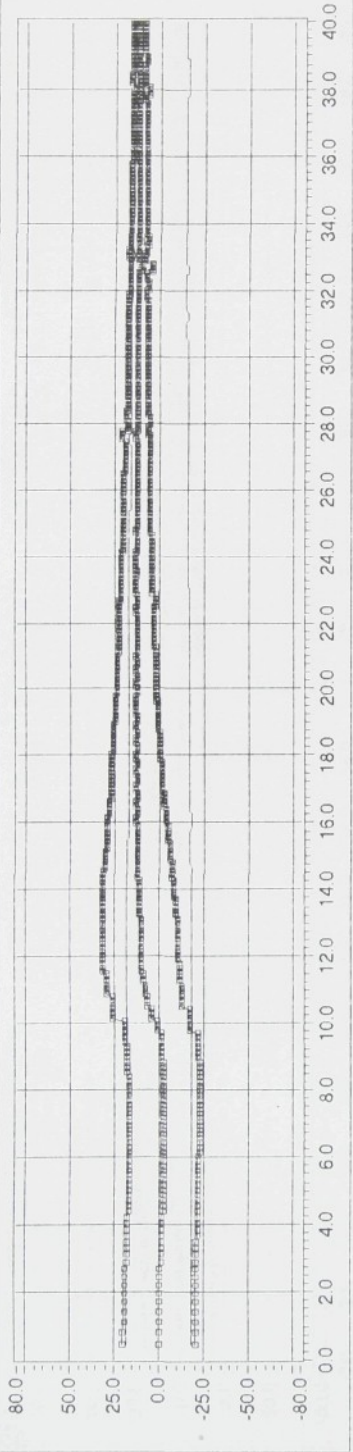
Y: buzení [mm], odzvá [mm]

Y: přenos [1] Y_1/Z 

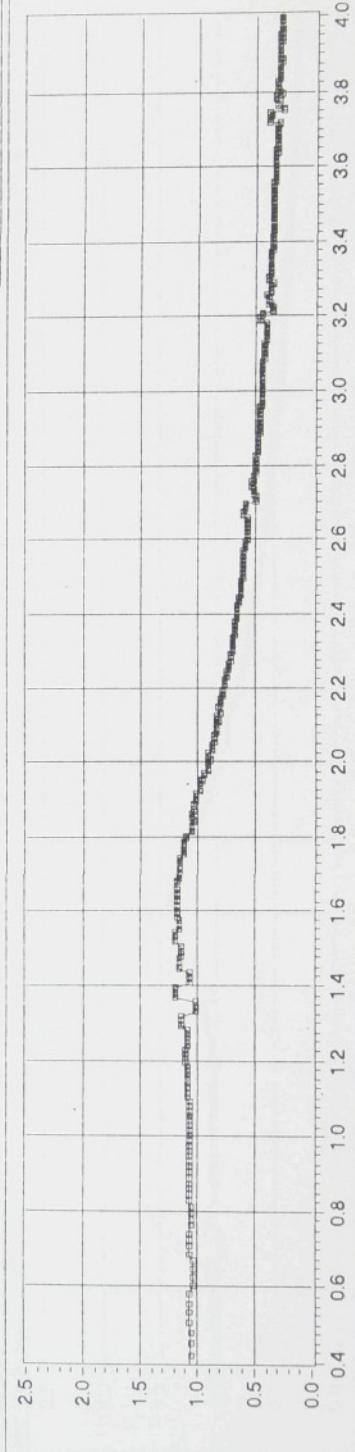
soubor: KOH2H60.S

X: cas [s]
Y: buzení [mm], odzvá [mm]X: frekvence [Hz]
Y: přenos [1] Y_1/Z

Y: buzení [mm], odezva [mm]

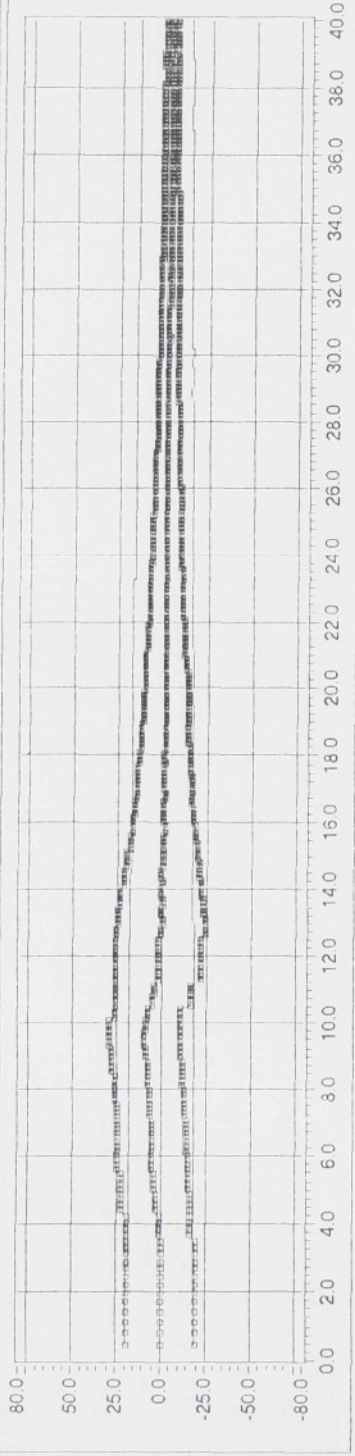


soubor: KCH2H80.M

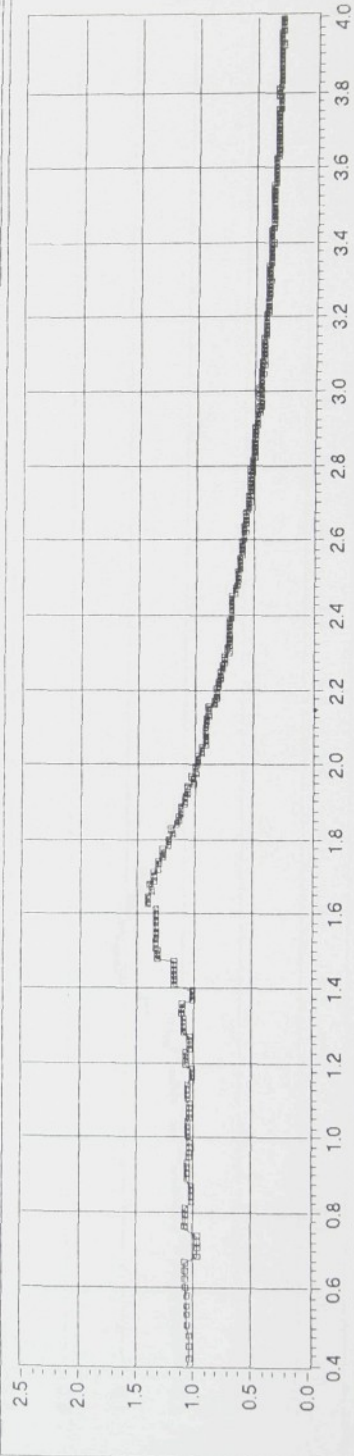
Y: prenos [1] $Y_1/3$ 

soubor: KCH2H80.M

Y: buzení [mm], odezva [mm]



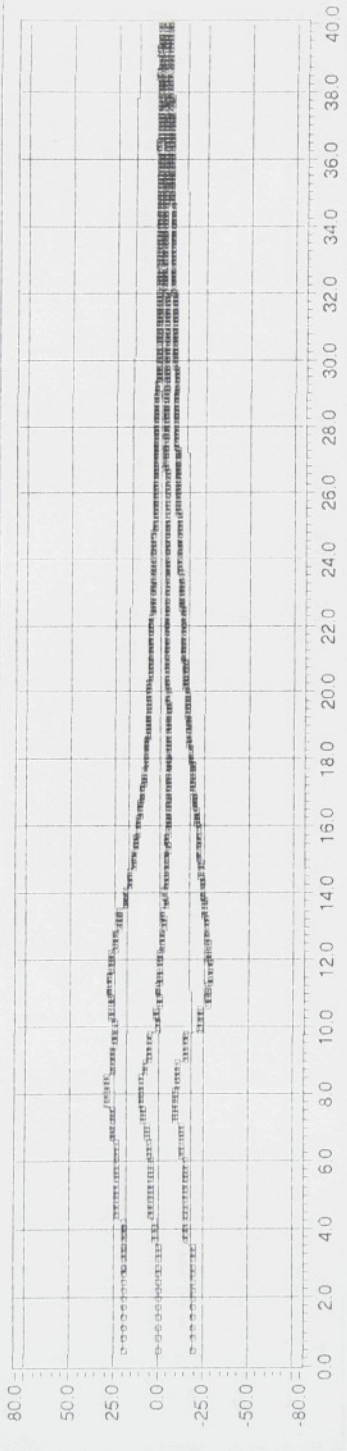
soubor: KCH2SB0.M

Y: přenos [1] Y_1/Z 

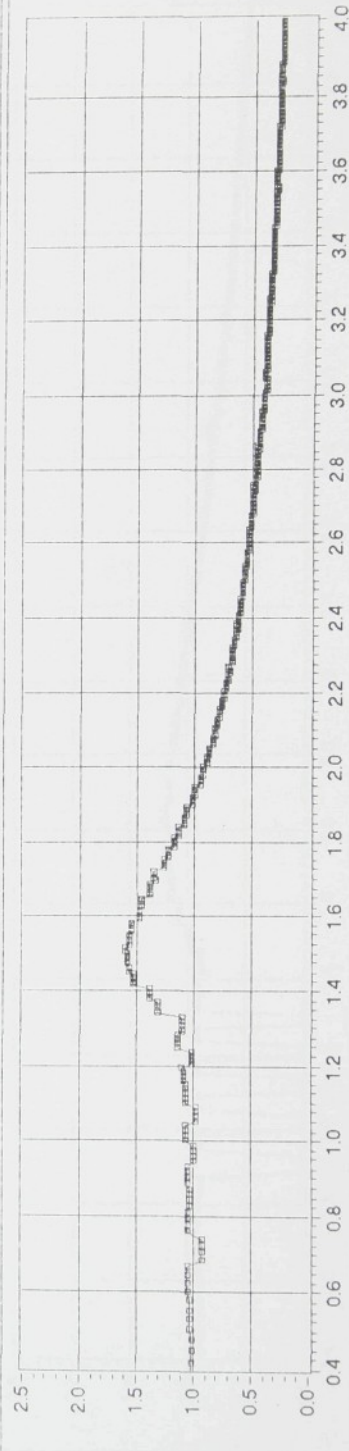
soubor: KCH2SB0.M

X: frekvence [Hz]

Y: buzení [mm], odezva [mm]

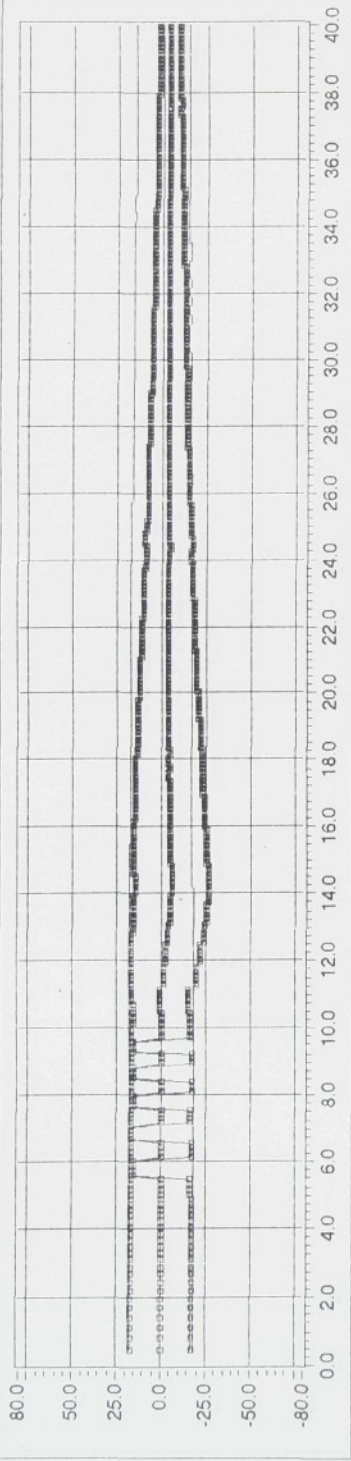


soubor: KCH2D80.M

Y: prenos [1] Y_1/Z 

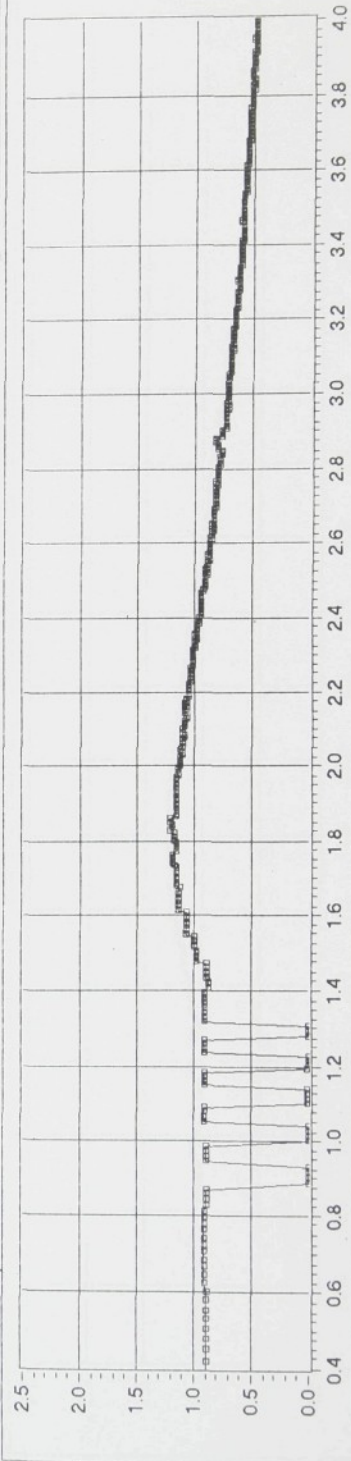
soubor: KCH2D80.M

Y: prenos [1] Y_1/Z

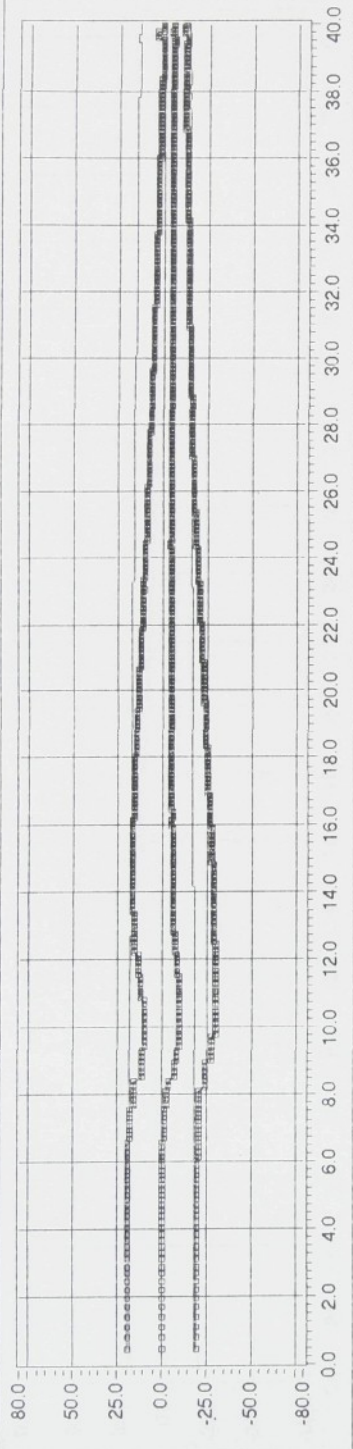


Soubor: KCH2H80 S

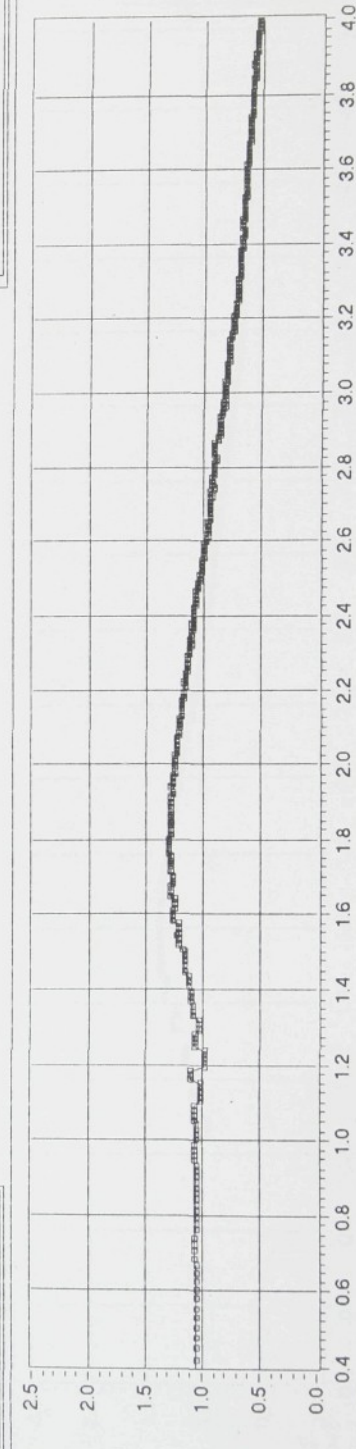
Y: buzeni [mm], odzvava [mm]



Y: buzení [mm], odzvza [mm]



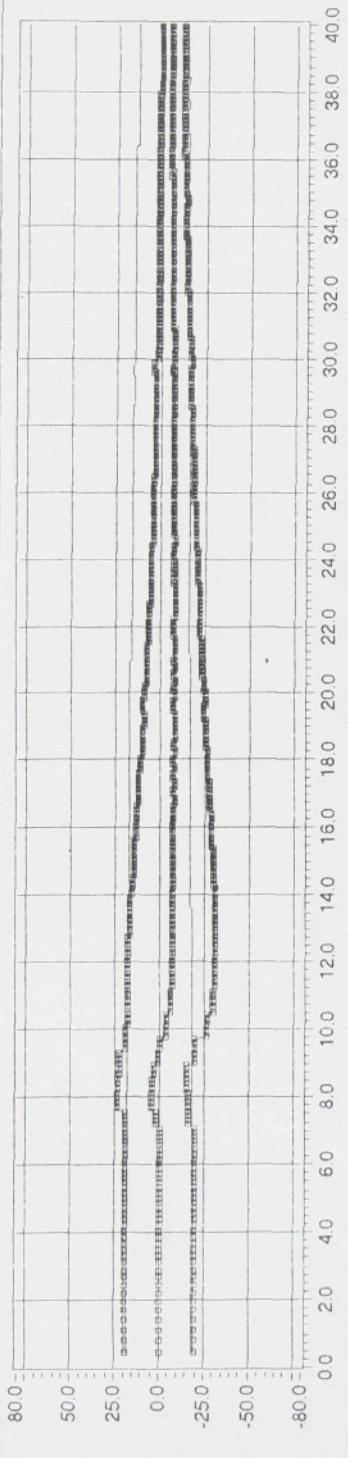
soubor: KCH2S80.S

Y: přenos [1] Y_1/Z 

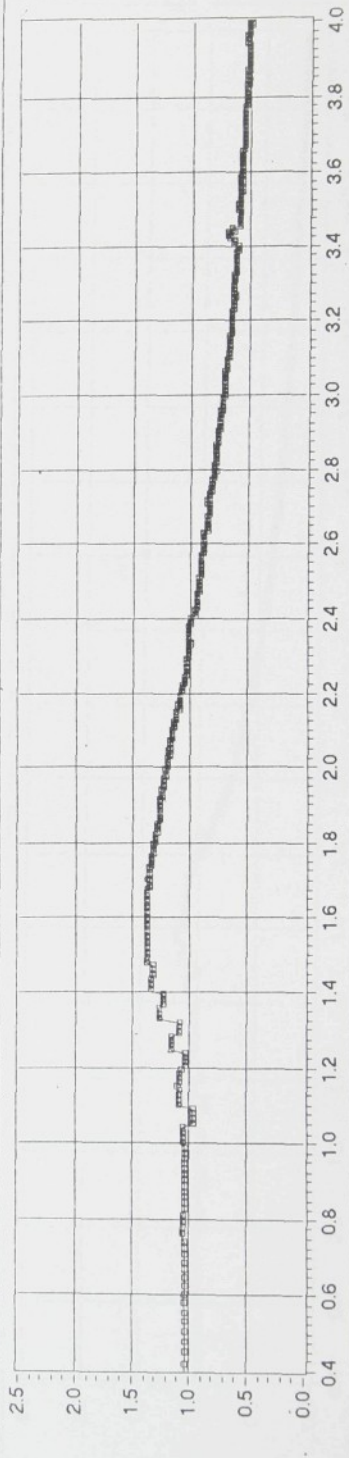
soubor: KCH2S80.S

X: frekvence [Hz]

Y: buzení [mm], odezva [mm]

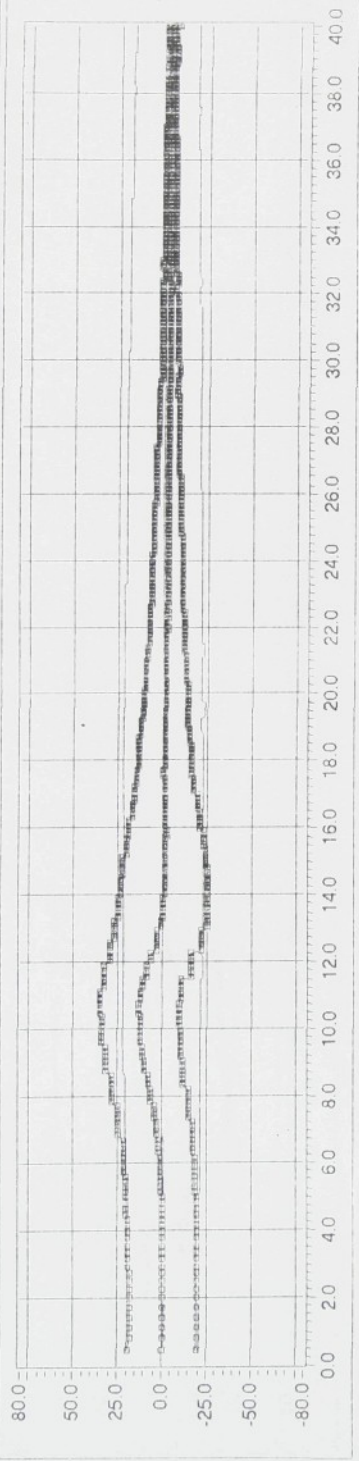


soubor: KCH2D80S

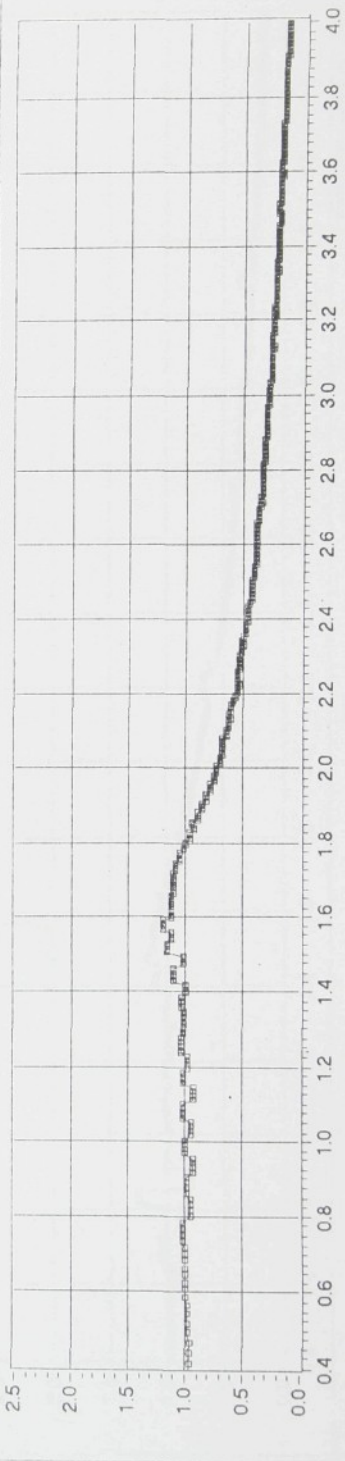
Y: prenoš [1] Y_1/Z 

X: frekvence [Hz]

Y. buzeni [mm], odoza [mm]

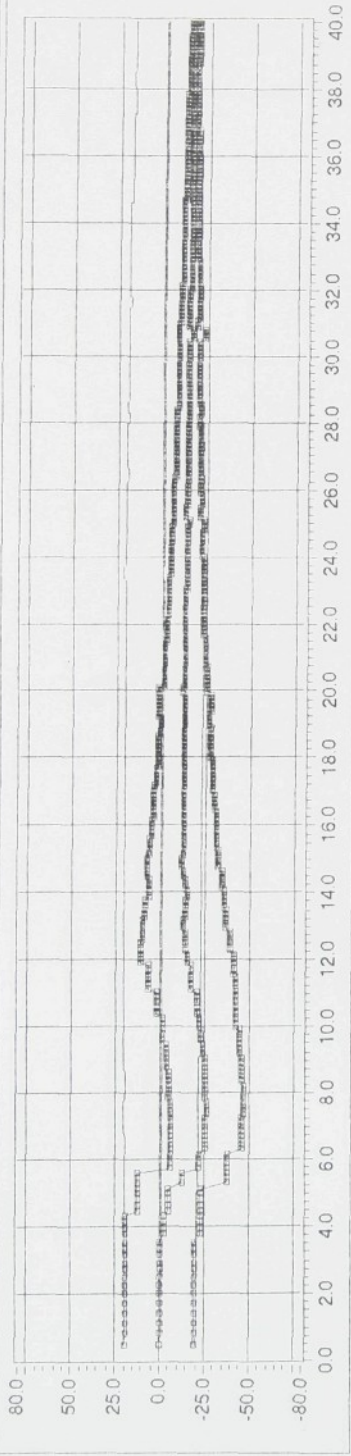


soubor K95H2HDY1

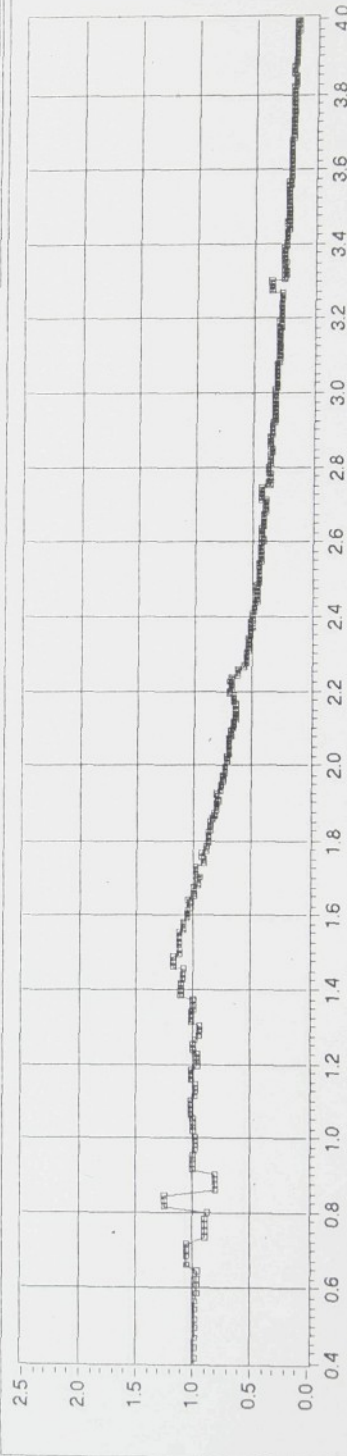
Y. pirenos [1] Y_1/Z 

X frekvence [Hz]

Y: buzeni [mm], odezva [mm]



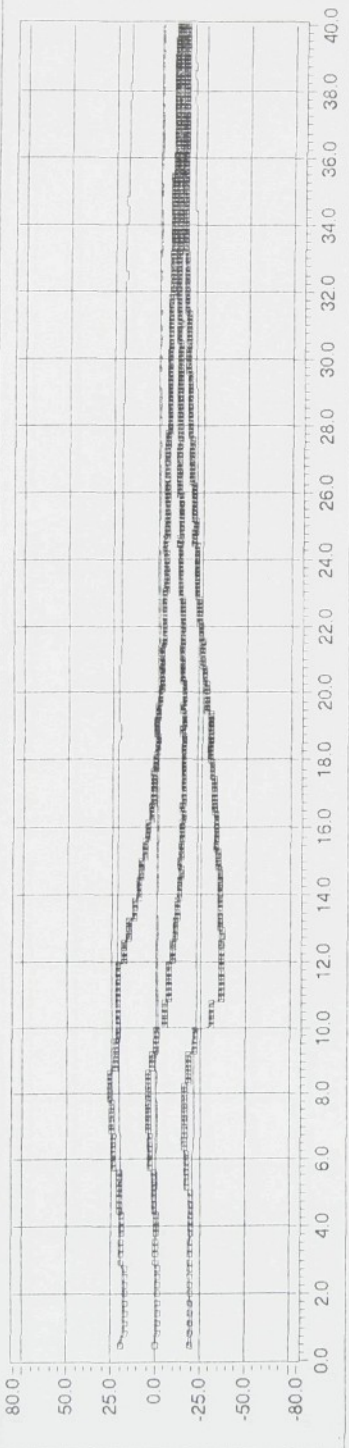
soubor: K95H2SDY1

Y: prenoš [!], Y_1/Z 

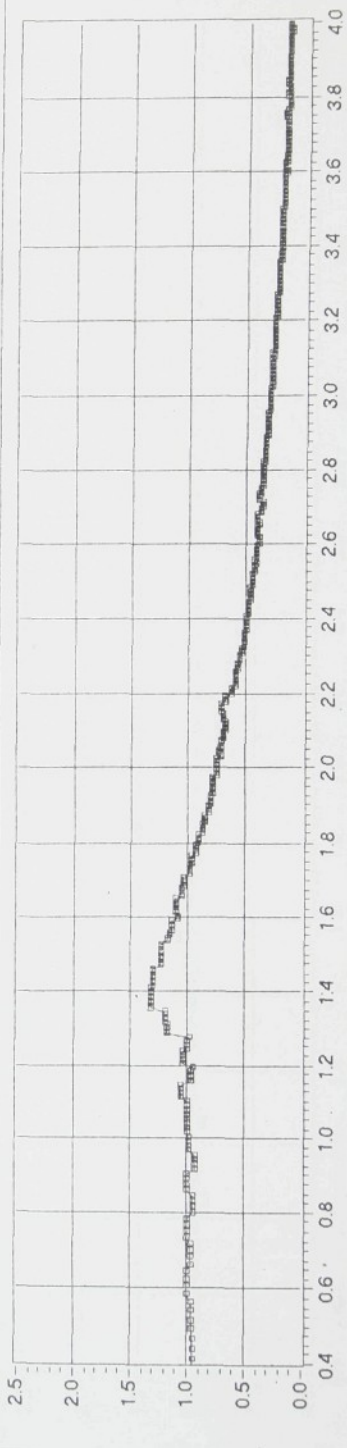
soubor: K95H2SDY1

X: frekvence [Hz]

Y: buzeni [mm], odeeza [mm]

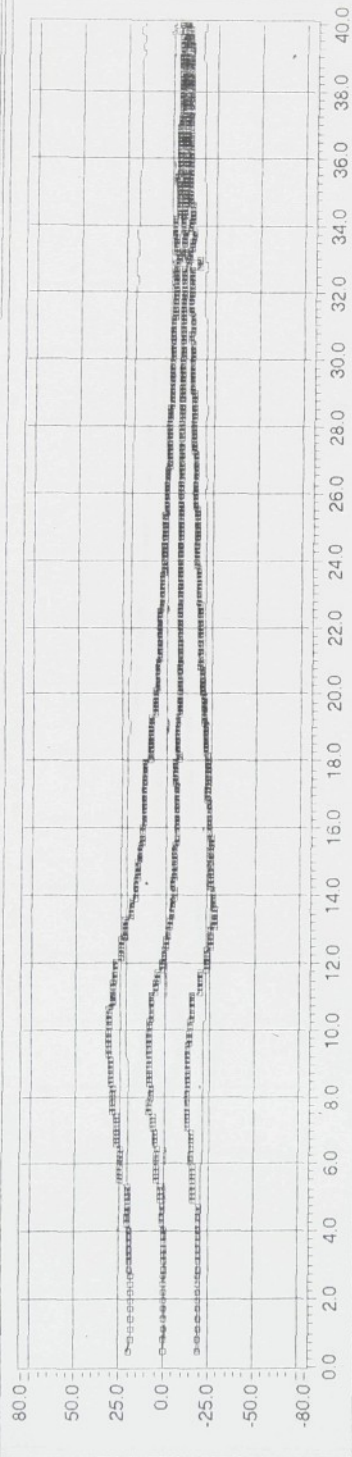


saibor: K95H2DDY.1

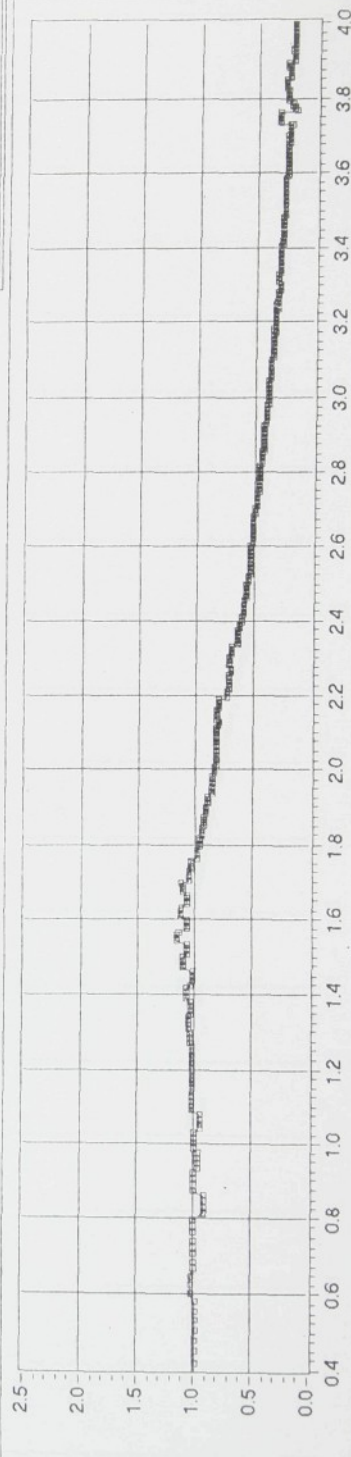
Y: prieenos [1] $\frac{Y_1}{Z}$ 

X: frekvencia [Hz]

Y: buzení [mm], odezva [mm]

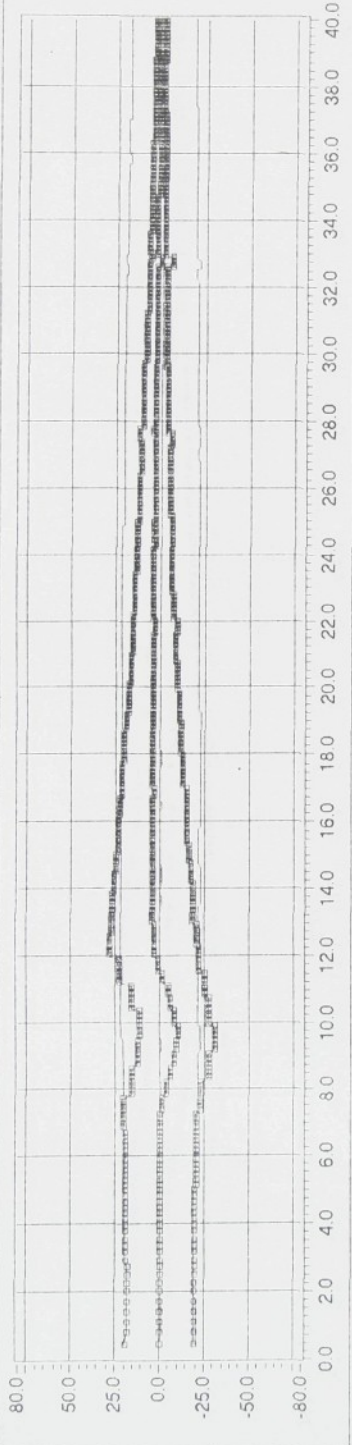


soubor: K95H2HDY2

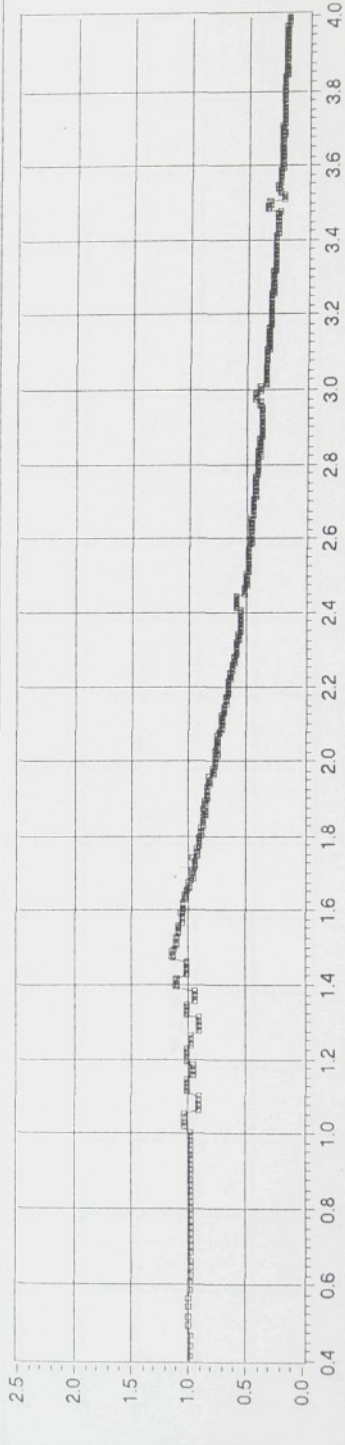
Y: prenos [1] Y_1/Z 

soubor: K95H2HDY2

Y: buzení [mm], odezva [mm]



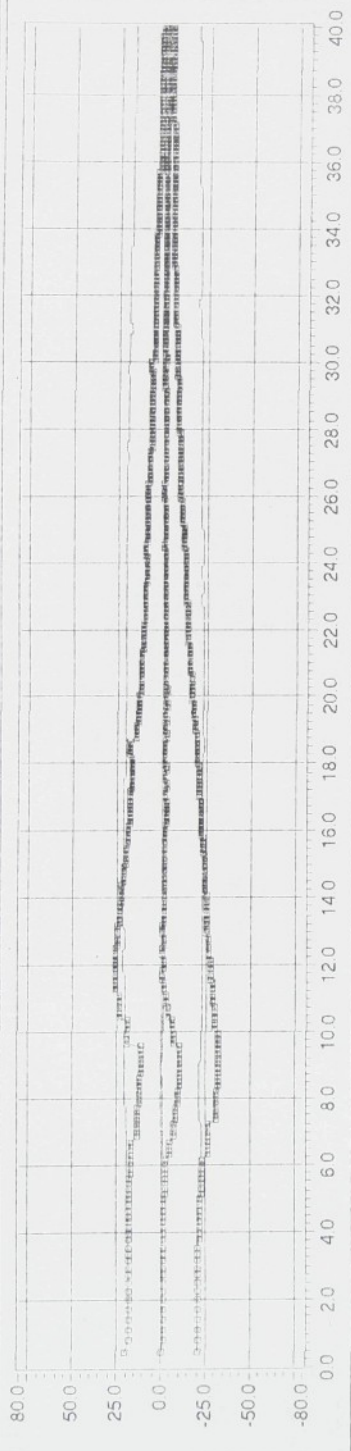
soubor: K95H2SDY2

Y: prenoš [1] Y_1/Z 

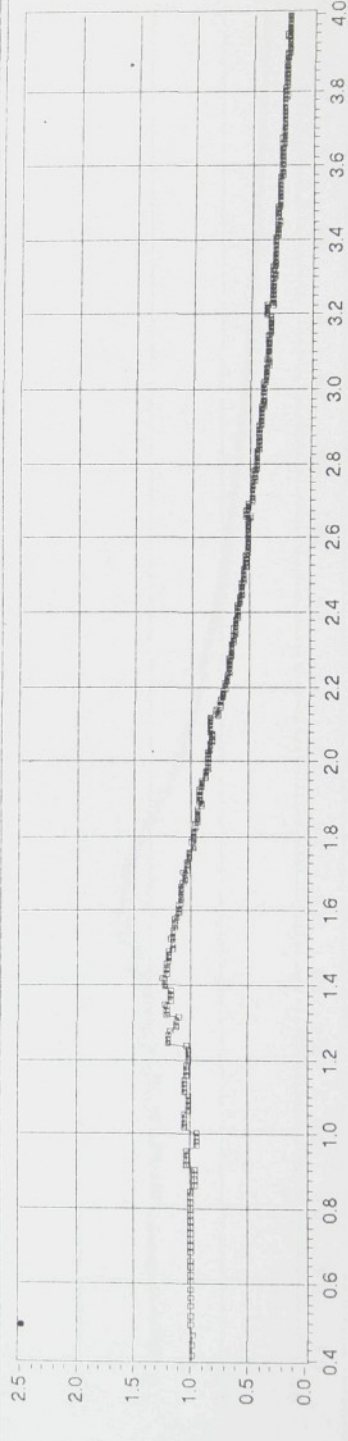
soubor: K95H2SDY2

X: frekvence [Hz]

Y: buzení [mm], odezva [mm]



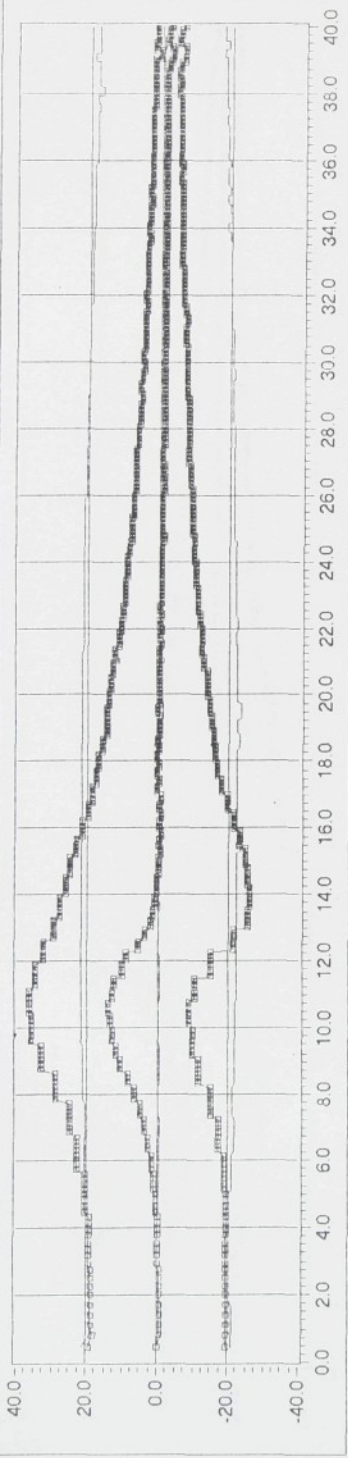
soubor K95H2DDY2

Y₁/Z

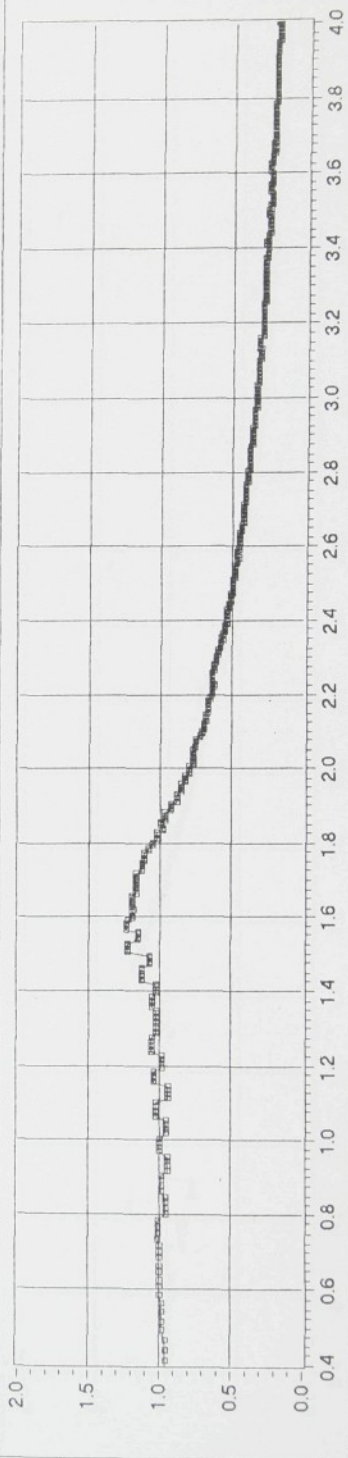
soubor K95H2DDY2

X: frekvence [Hz]

Y: buzeni [mm], odezva [mm]



soubor: K95H2HDY.1

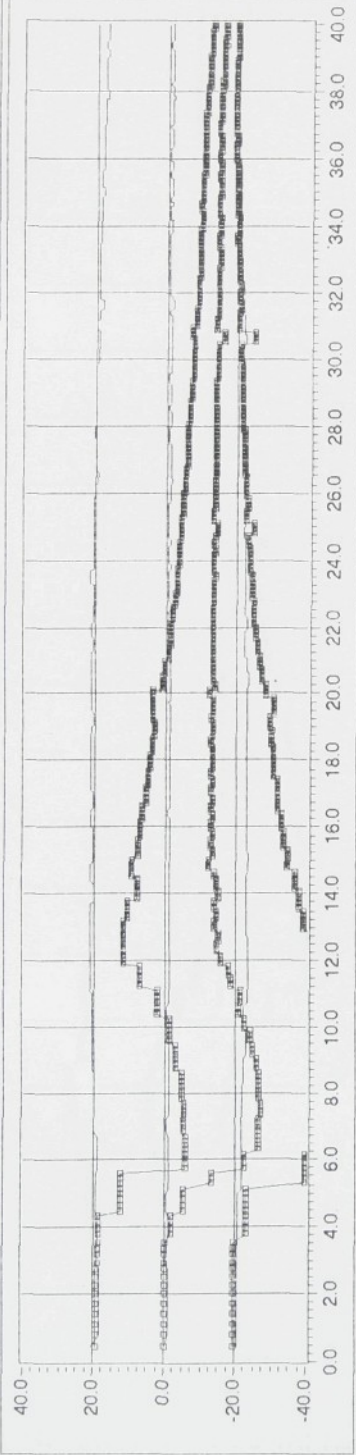
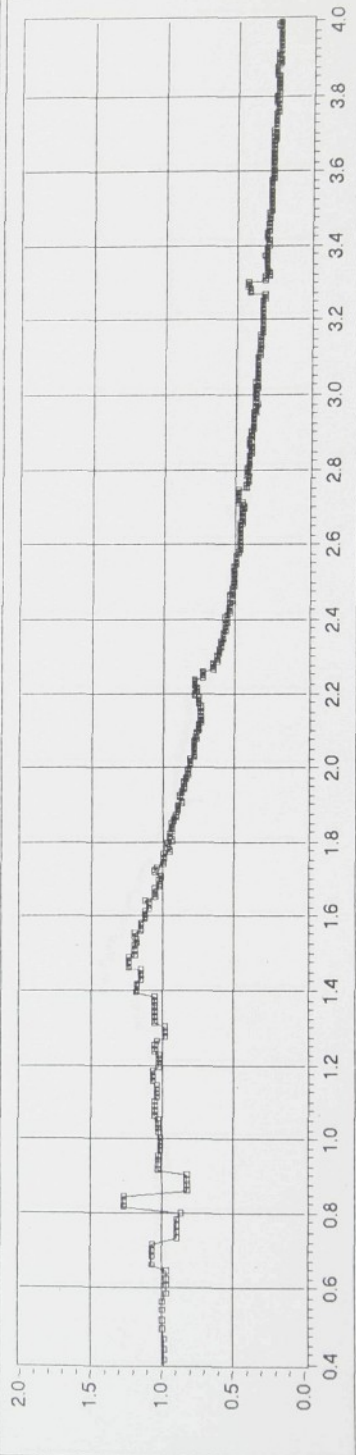
Y: prenos [1] Y_2/Z 

soubor: K95H2HDY.1

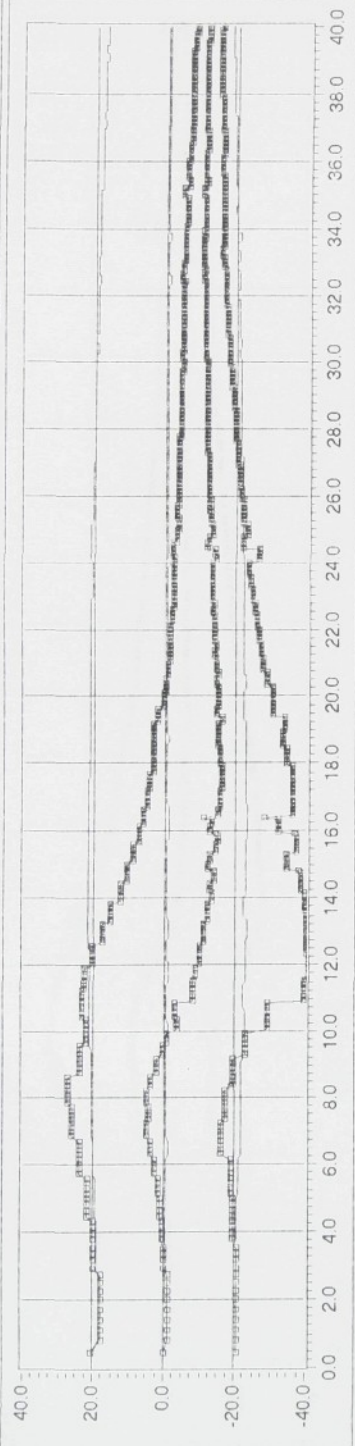
X: cas [s]

X: frekvence [Hz]

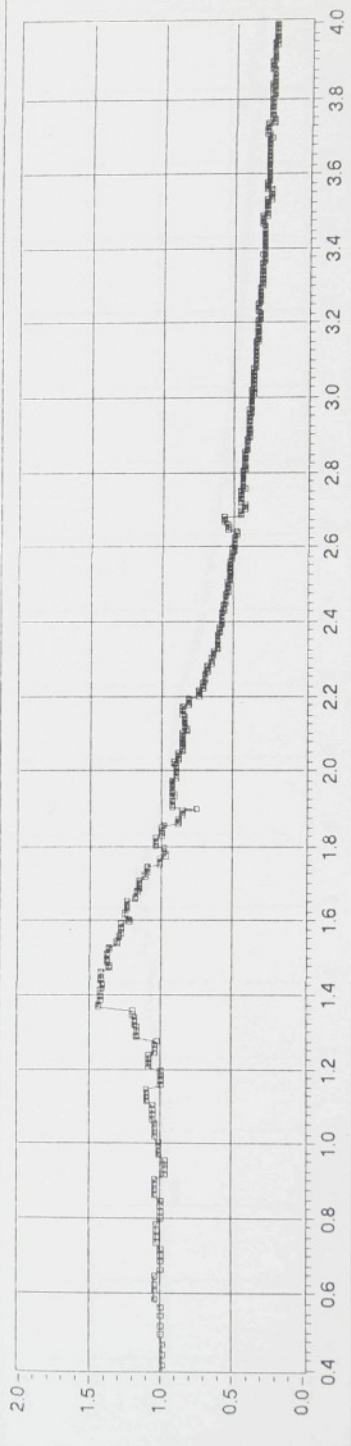
Y. buzenii [mm], odozva [mm]

Y. prenos [1] \dot{Y}_2/Z 

Y: buzení [mm], odezva [mm]

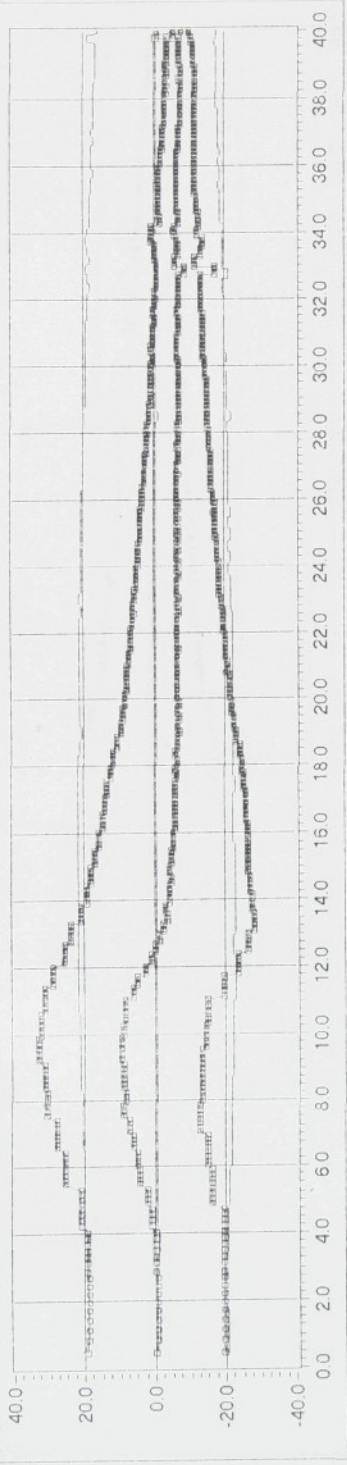
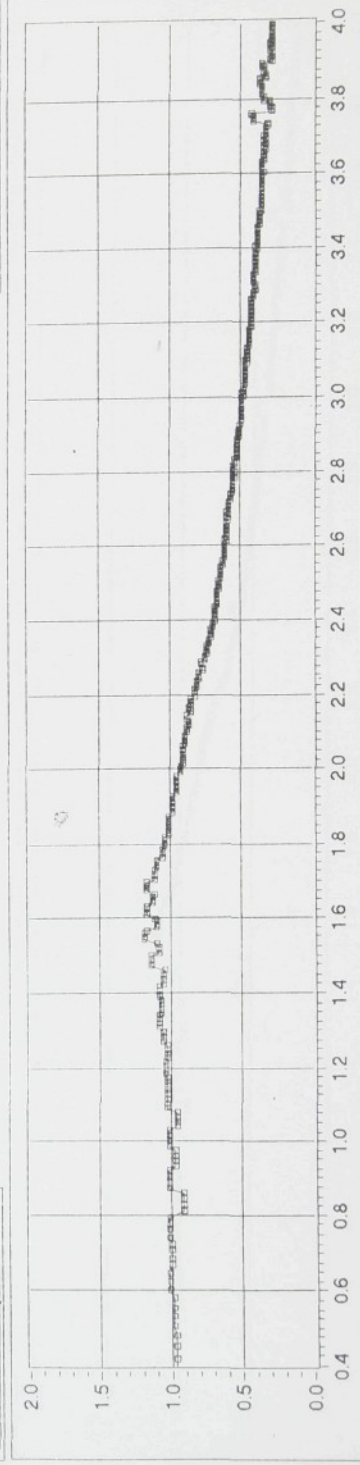


soubor K95H2DDY1

Y: prenos [1] Υ_2/Z 

X: frekvence [Hz]

Y. buzení [mm], odezva [mm]

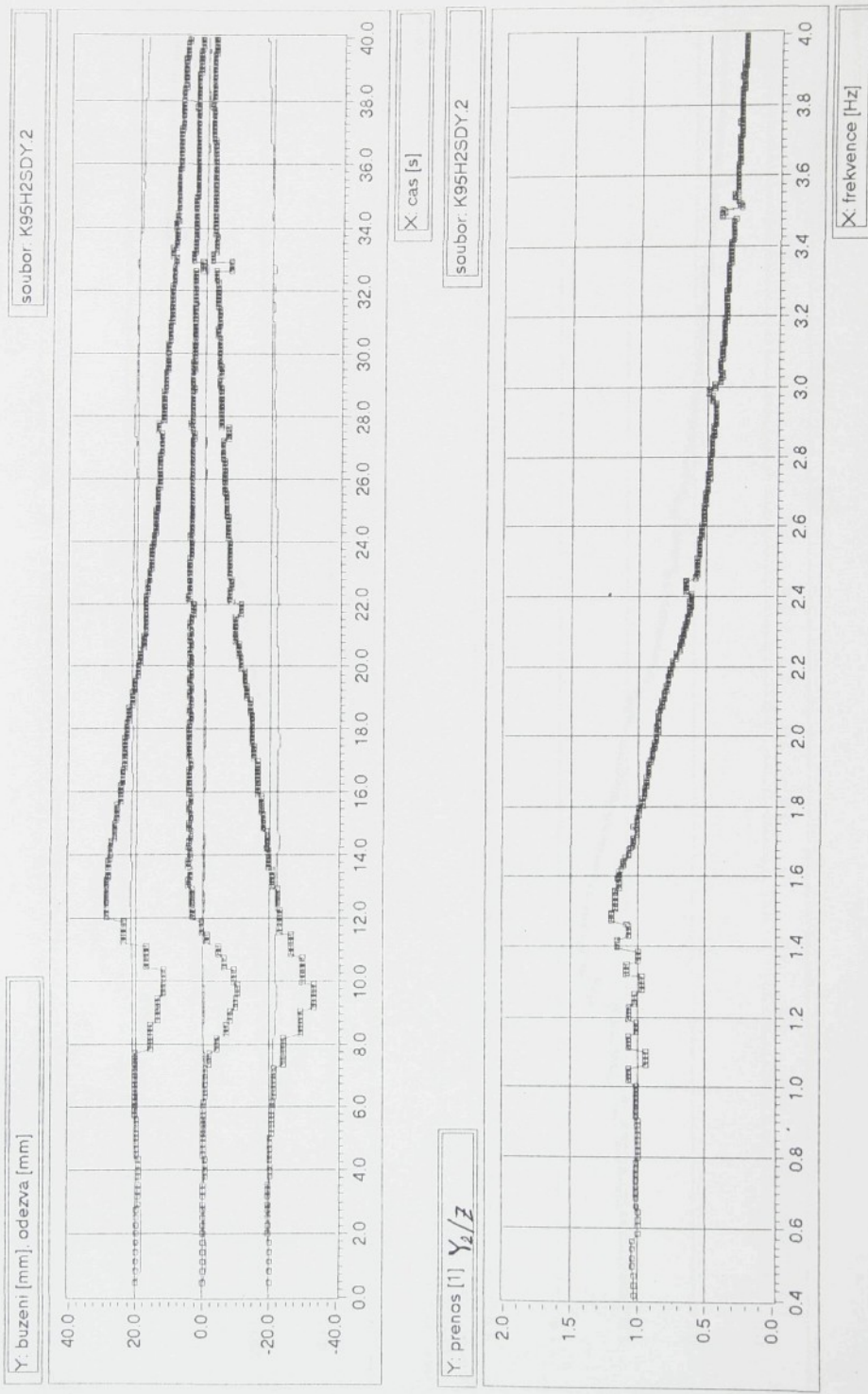
Y. prenos [1] \dot{Y}_2/Z 

súbor: K95H2HDY2

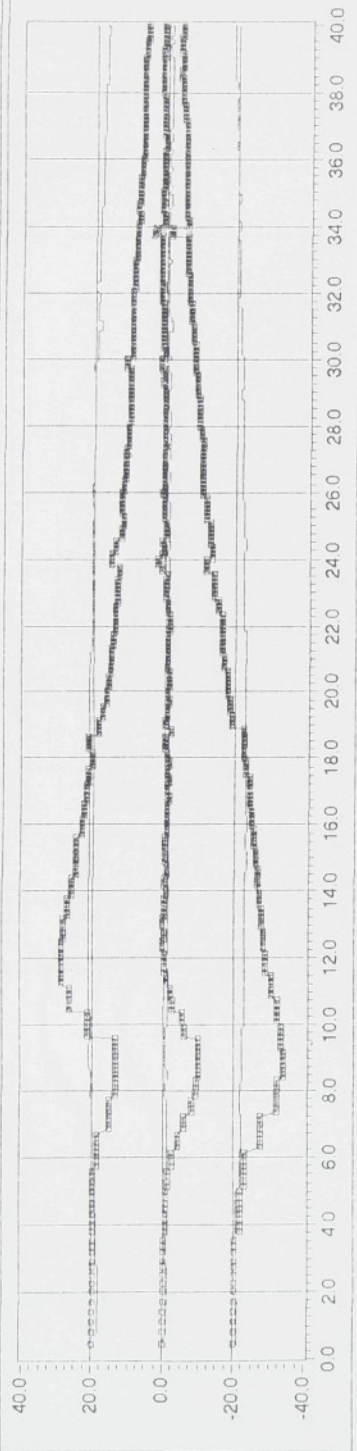
X cas [s]

súbor: K95H2HDY2

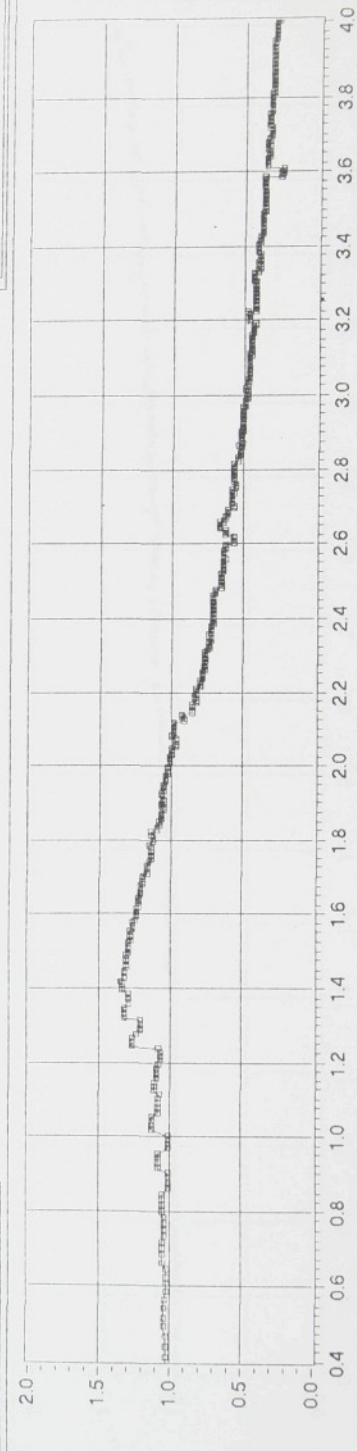
X frekvence [Hz]



soubor K95H2DDY2

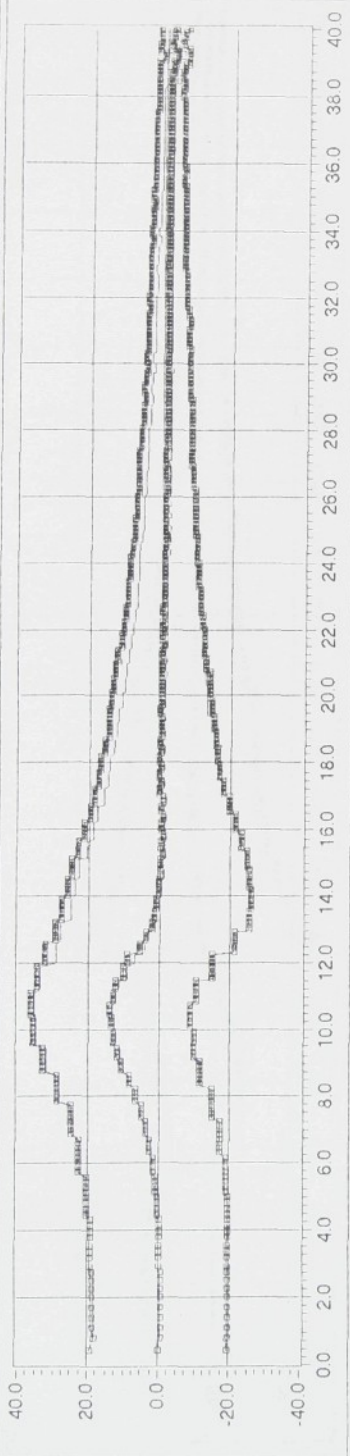


soubor K95H2DDY2

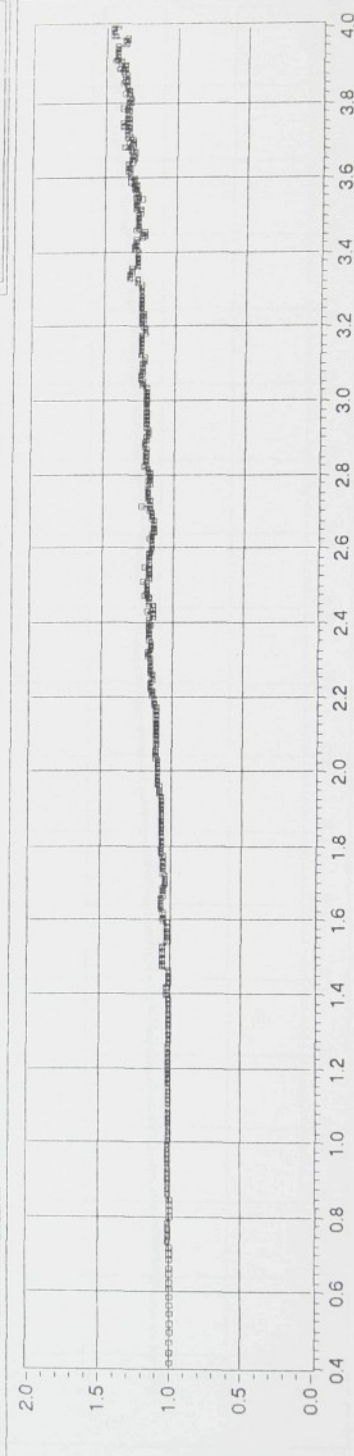


X_frekvence [Hz]

Y: buzení [mm], odevza [mm]



soubor: K95H2HDY 1

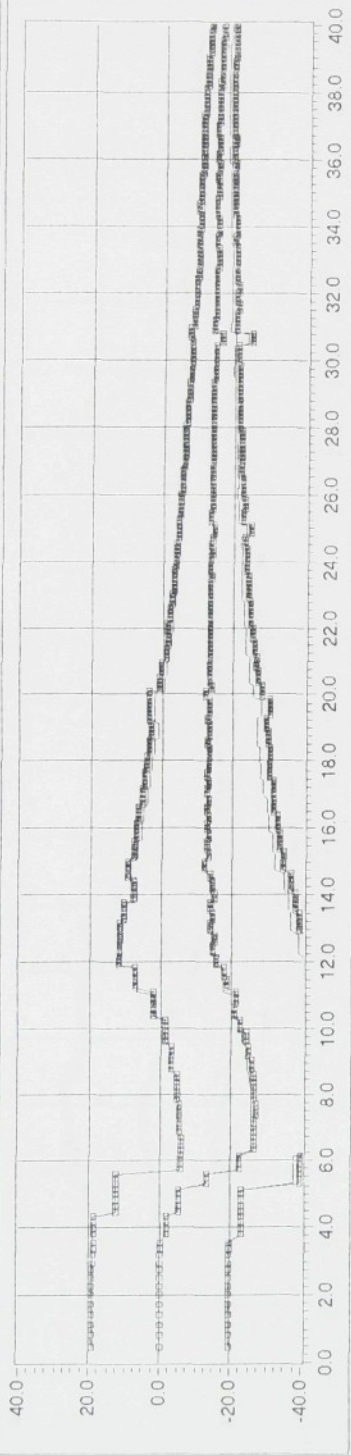
Y: prenoš [1] Y_2/Y_1 

soubor: K95H2HDY 1

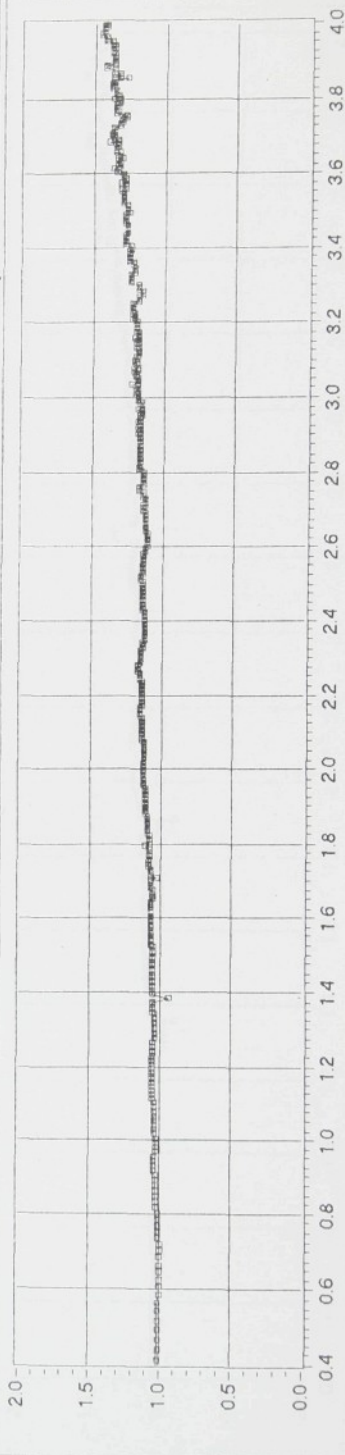
X: cas [s]

X: frekvence [Hz]

Y: buzení [mm], odezva [mm]



Soubor K95H2SDY.1

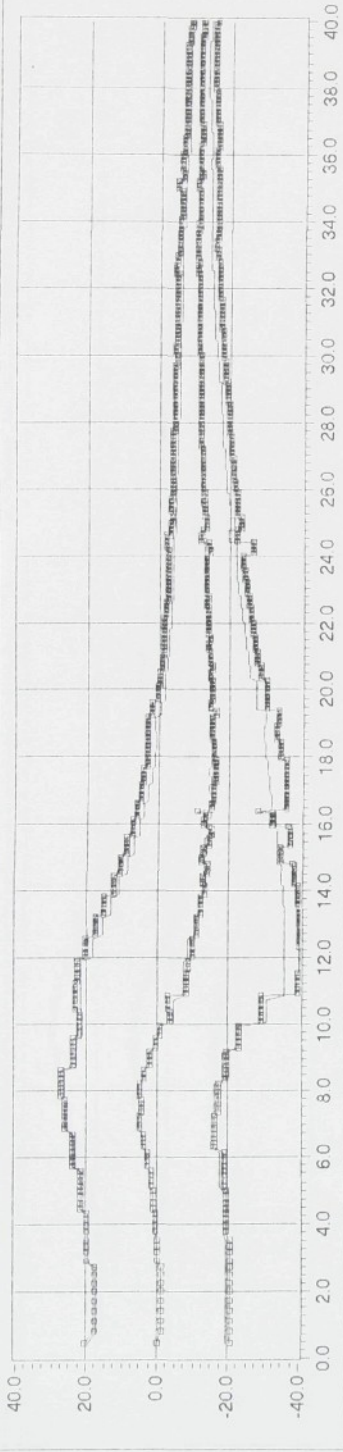
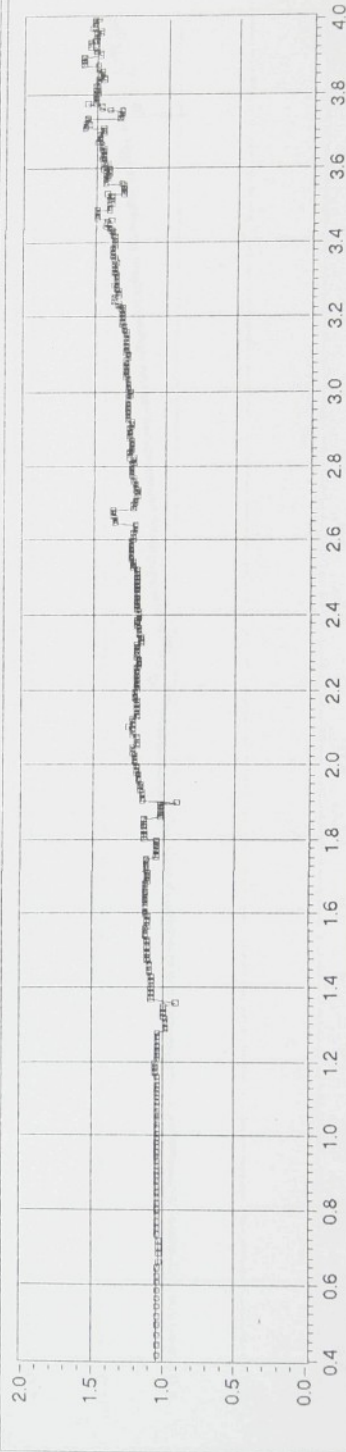
Y: prenos [1] Y_2/Y_1 

X: frekvence [Hz]

X: cas [s]

Soubor K95H2SDY.1

Y: bubení [mm], odezva [mm]

Y: prenos [1] Y₂/Y₁

soubor: K95H2DDY.1

X: frekvence [Hz]

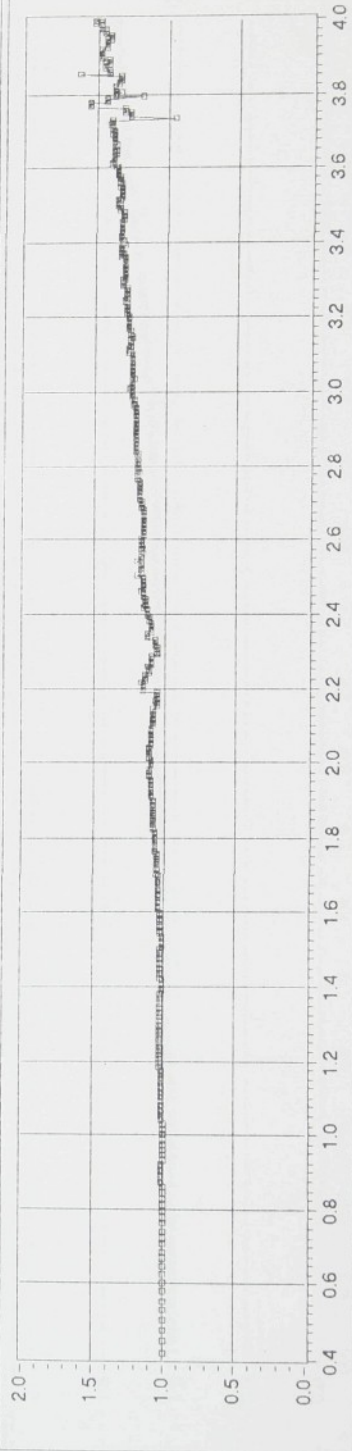
X: cas [s]

soubor: K95H2DDY.1

Y: buzení [mm] / odezva [mm]



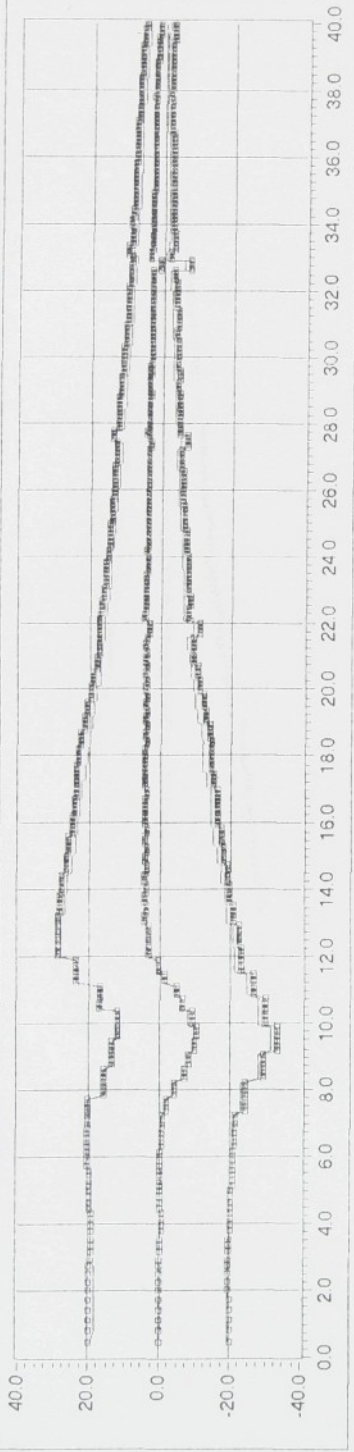
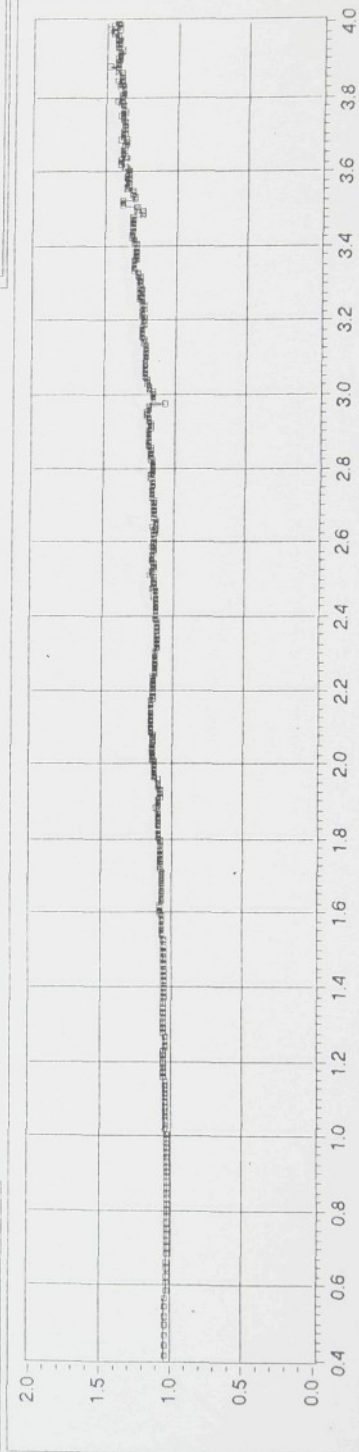
soubor K95H2HDY.2

Y: přenos [1] γ_2/γ_1 

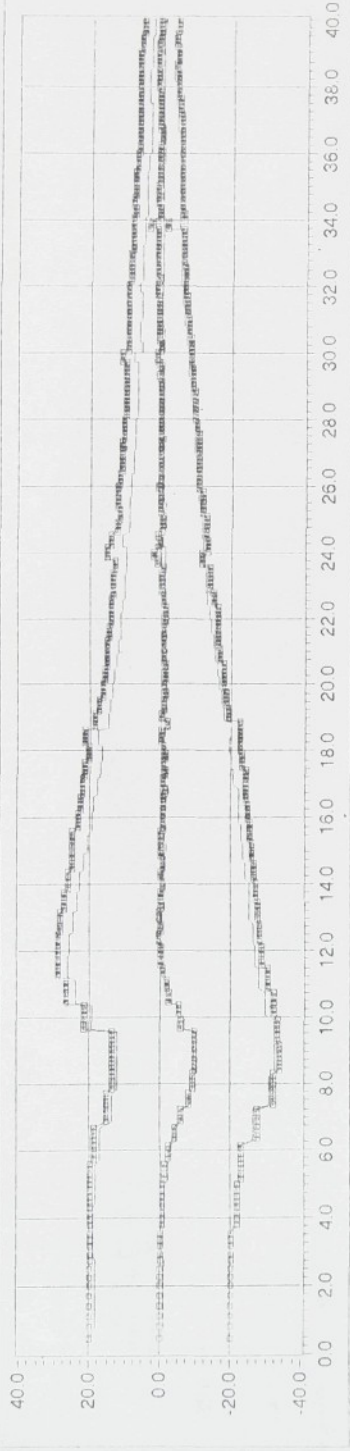
soubor K95H2HDY.2

X: frekvence [Hz]

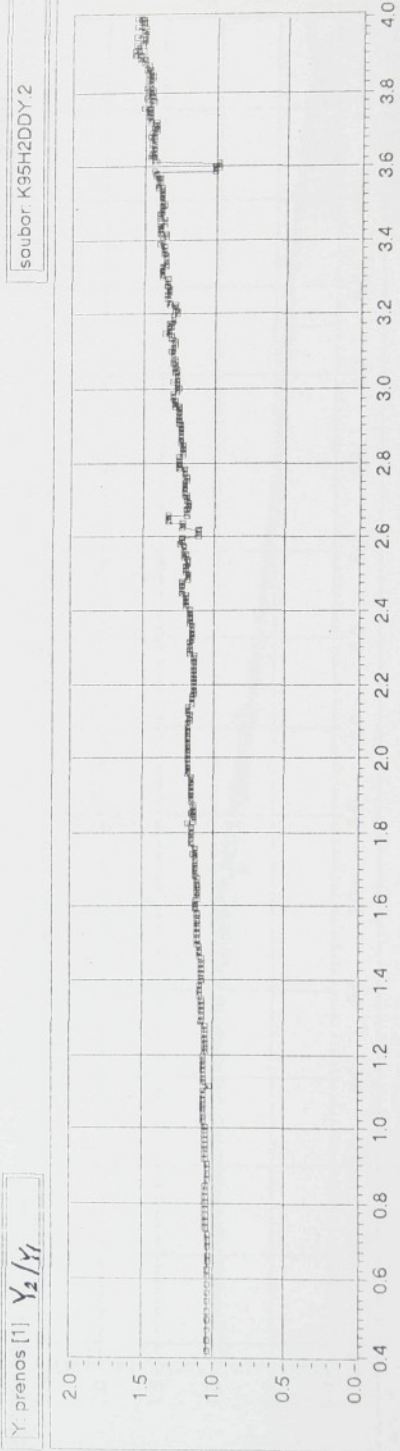
soubor K95H2SDY 2

Y_{prenos [1]} Y_2/Y_1 

soubor K95H2DDY2

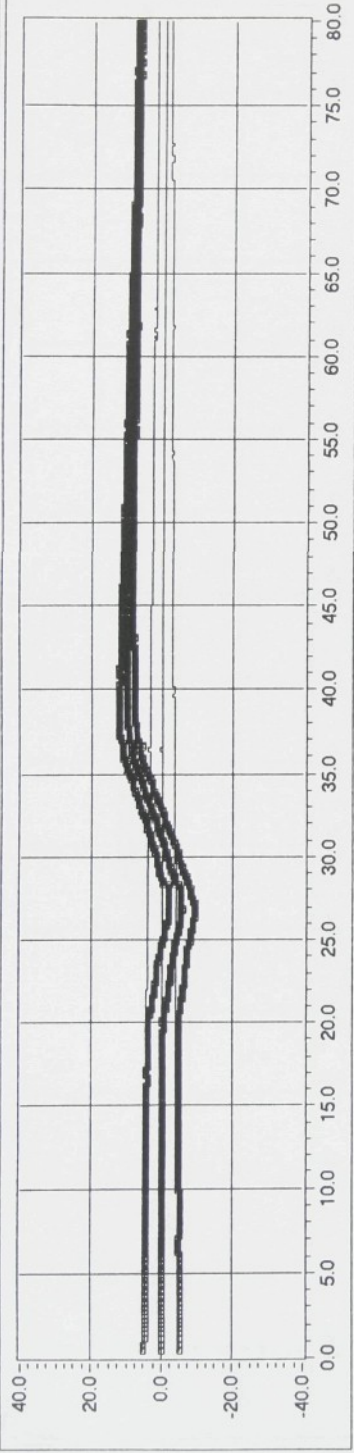


soubor K95H2DDY2

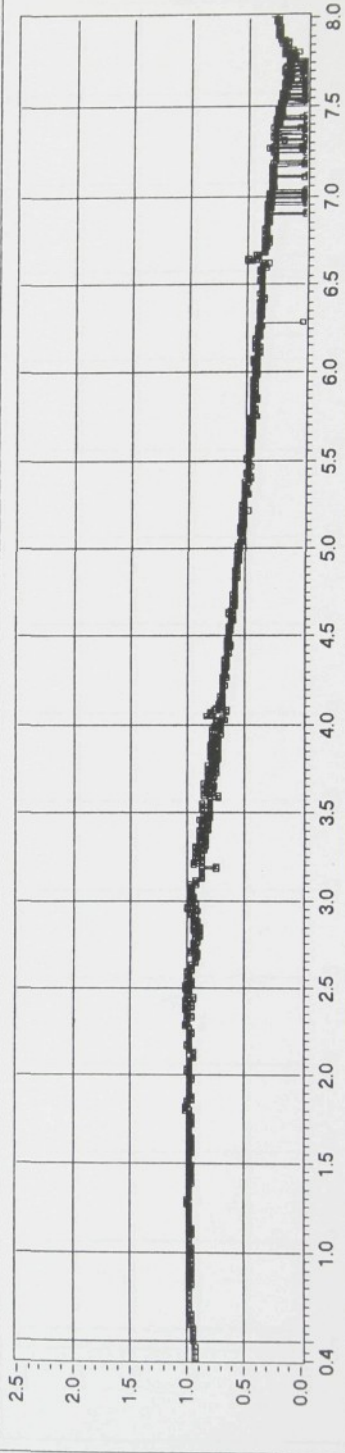


X: frekvence [Hz]

Y: buzení [mm], odězva [mm]



soubor: KCH1H40.M

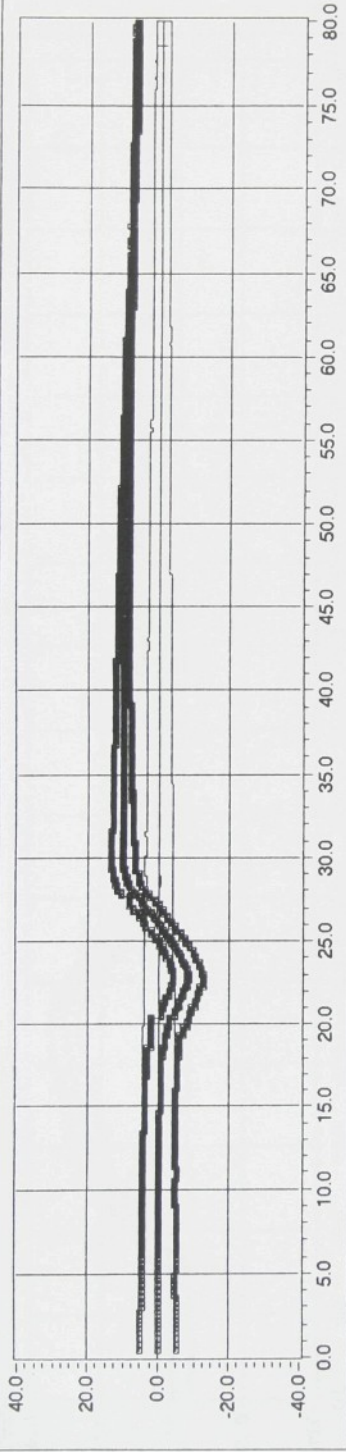
Y: přenos [1] Y_1/Z 

X: cas [s]

soubor: KCH1H40.M

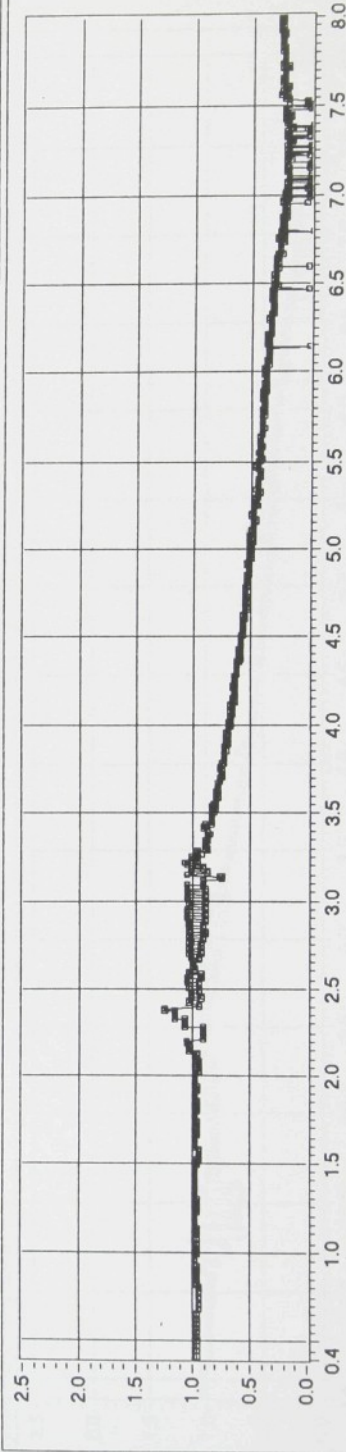
X: frekvence [Hz]

Y: buzení [mm], odzvá [mm]



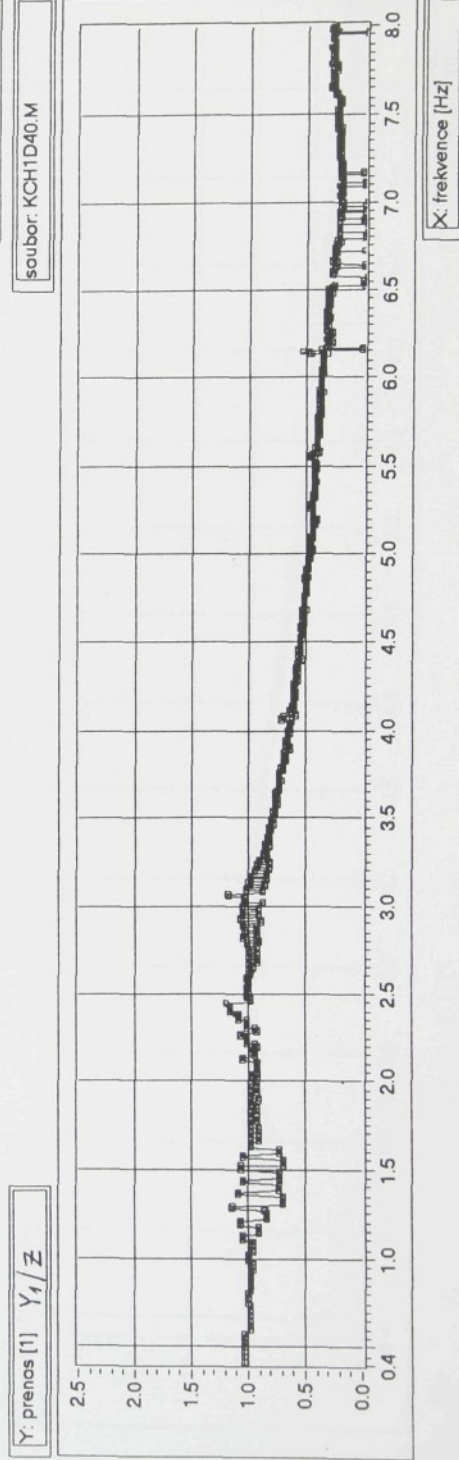
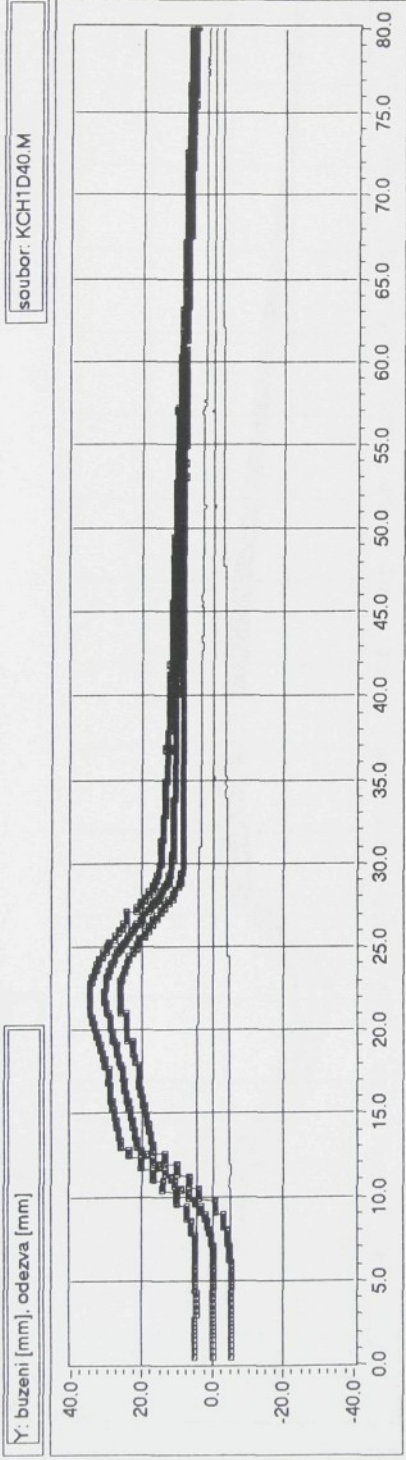
soubor: KCH1S40.M

Y: přenos [1] Y_1/Z

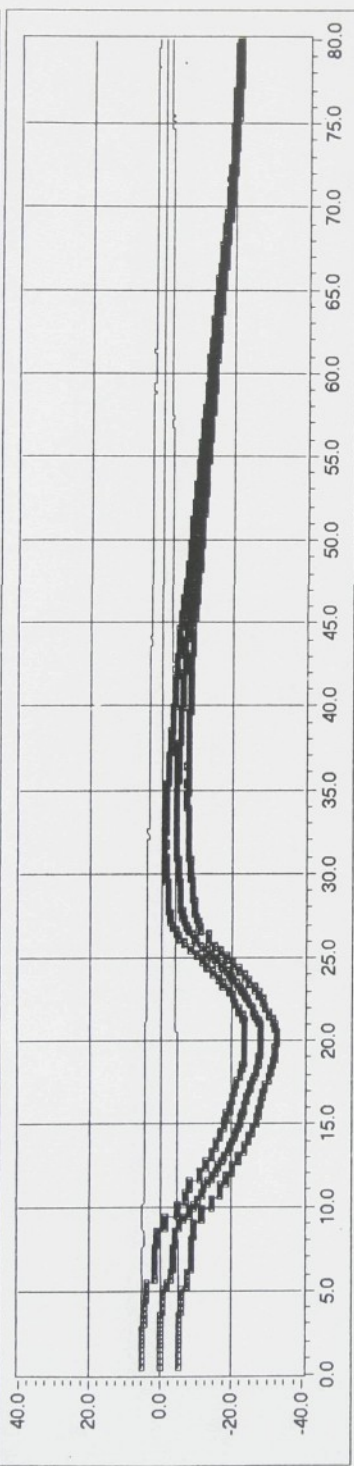


soubor: KCH1S40.M

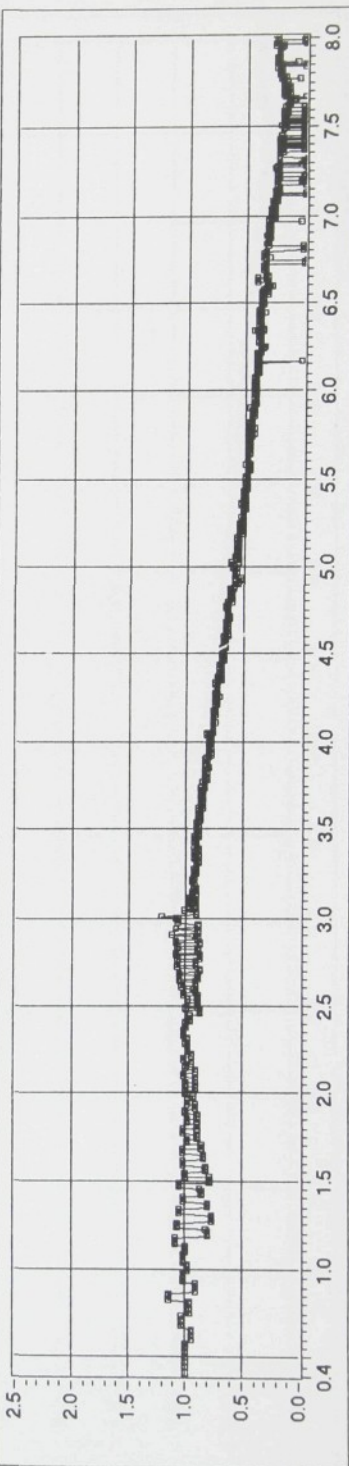
X: frekvence [Hz]



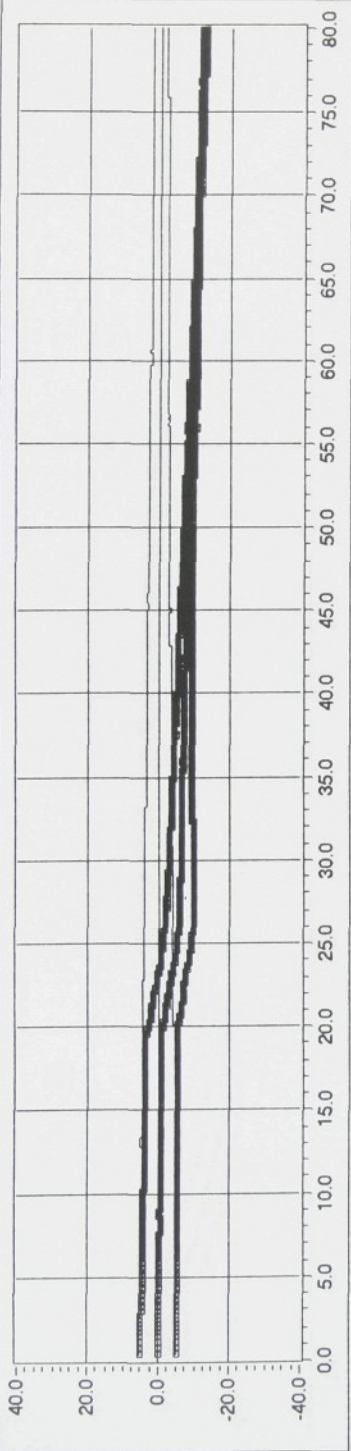
soubor: KCH1H40.S



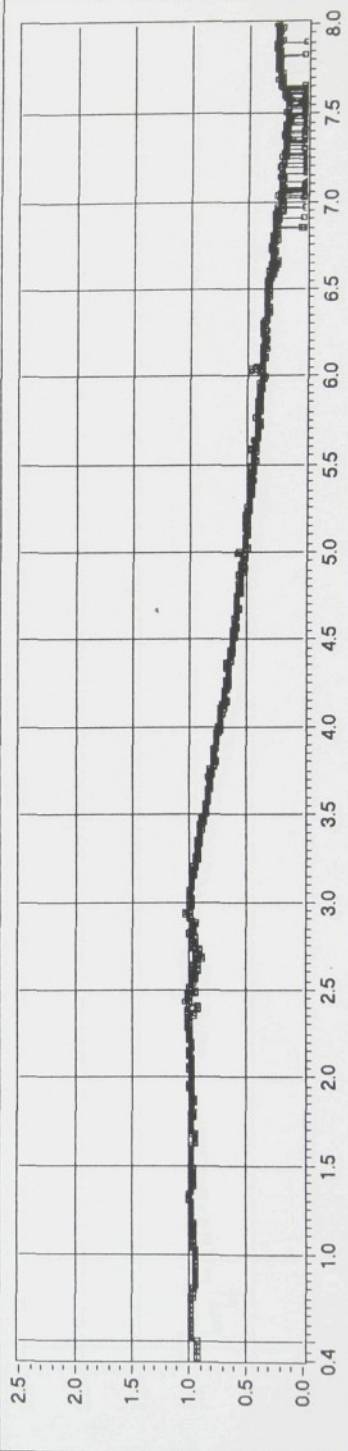
soubor: KCH1H40.S



Y: buzení [mm], odzvava [mm]

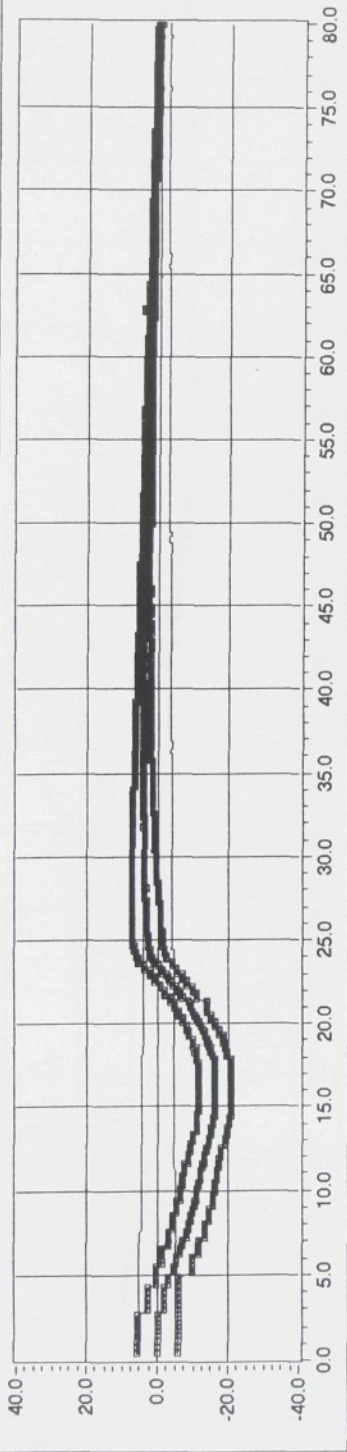


soubor: KCH1S40.S

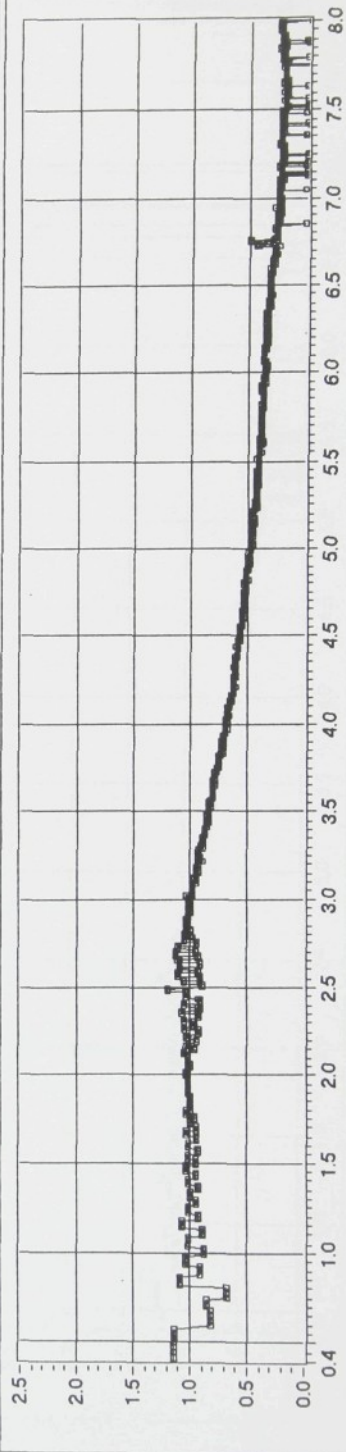
Y: prenos [1] \dot{Y}_1/\dot{Z} 

X: frekvence [Hz]

Y: buzeni [mm], odezva [mm]



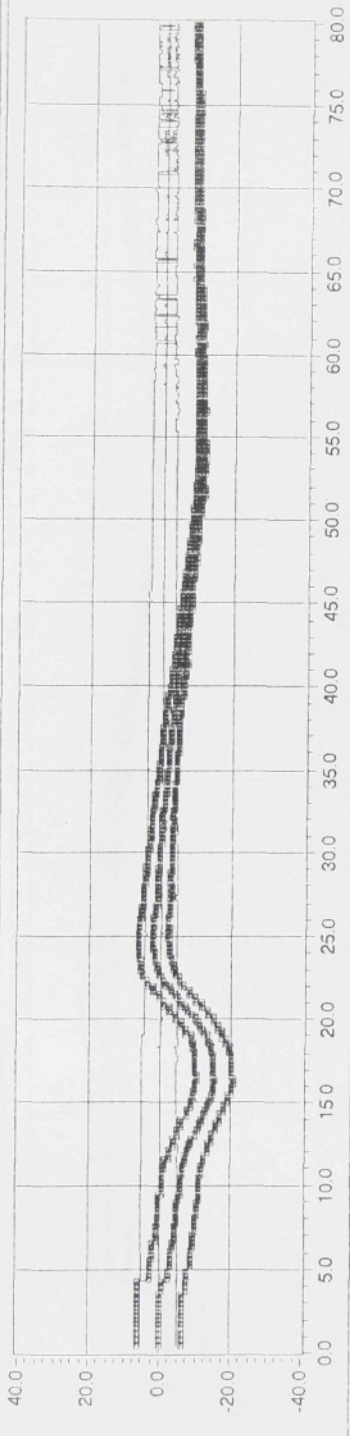
soubor: KCH1D40.S

Y: prenos [1] Y_1/Z 

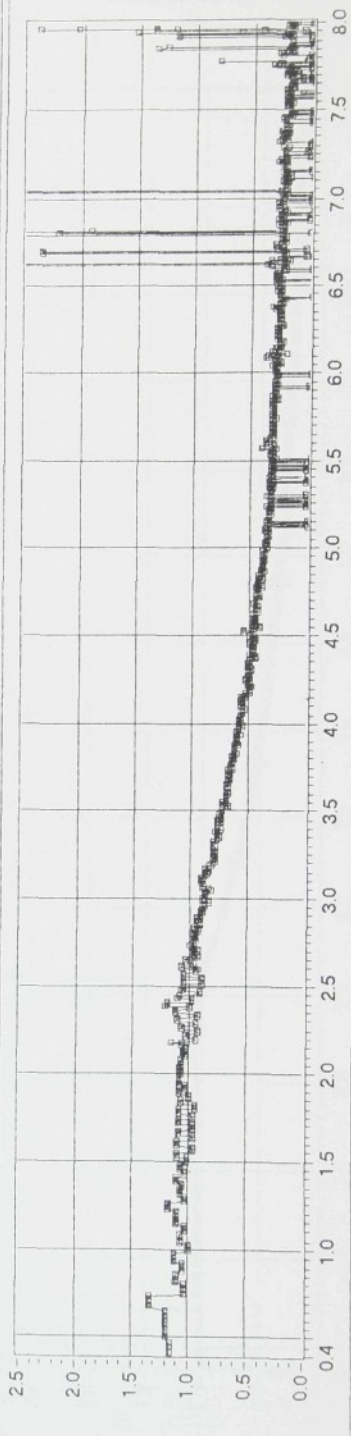
soubor: KCH1D40.S

X: frekvence [Hz]

Y: buzení [mm], odezva [mm]

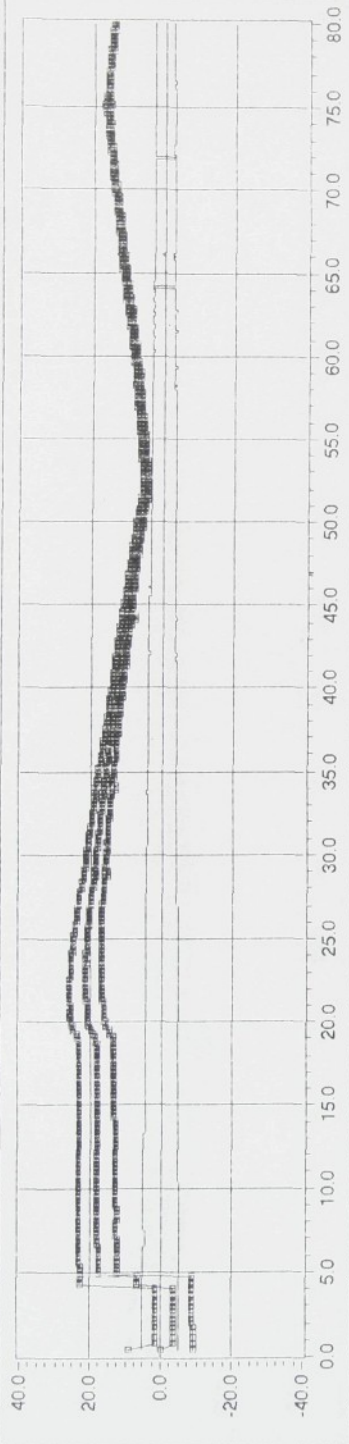


soubor KCH1H60.M

Y: prenos [1] Y_1/Z 

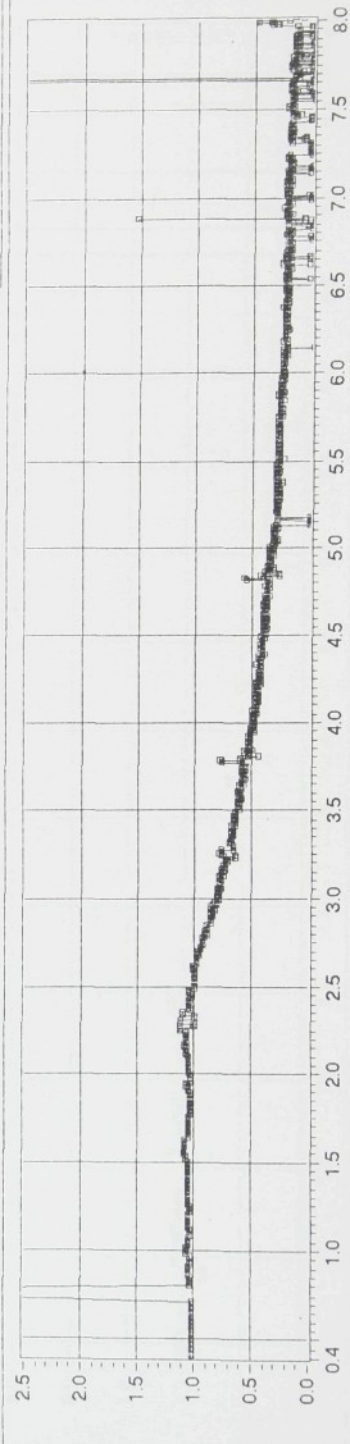
soubor KCH1H60.M

Y: prienos [1] Υ_1/\bar{z}



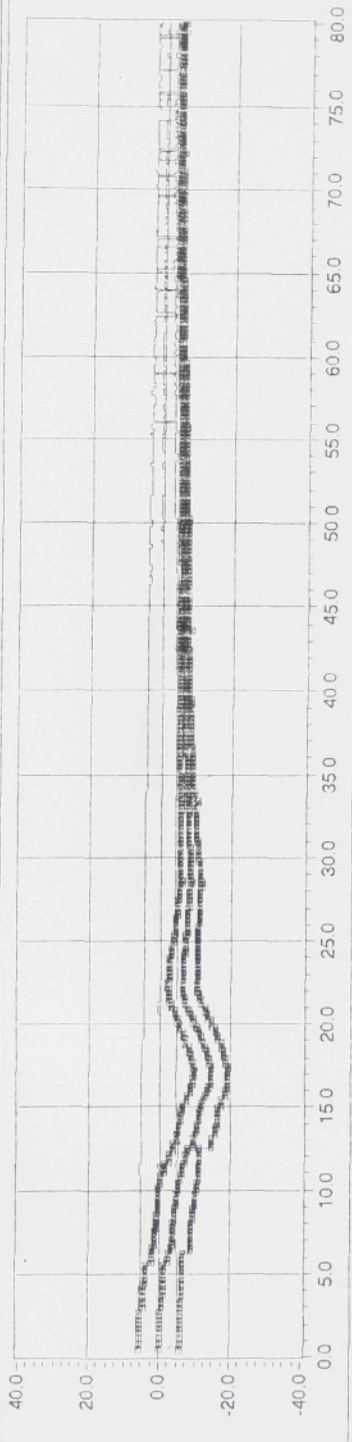
soubor KCH1S60.M

Y: prienos [1] Υ_1/\bar{z}

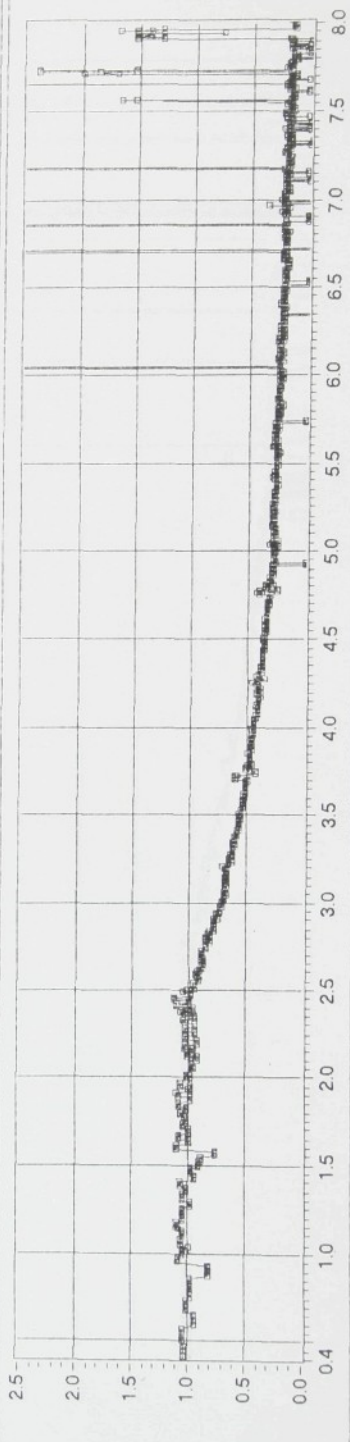


X: frekvence [Hz]

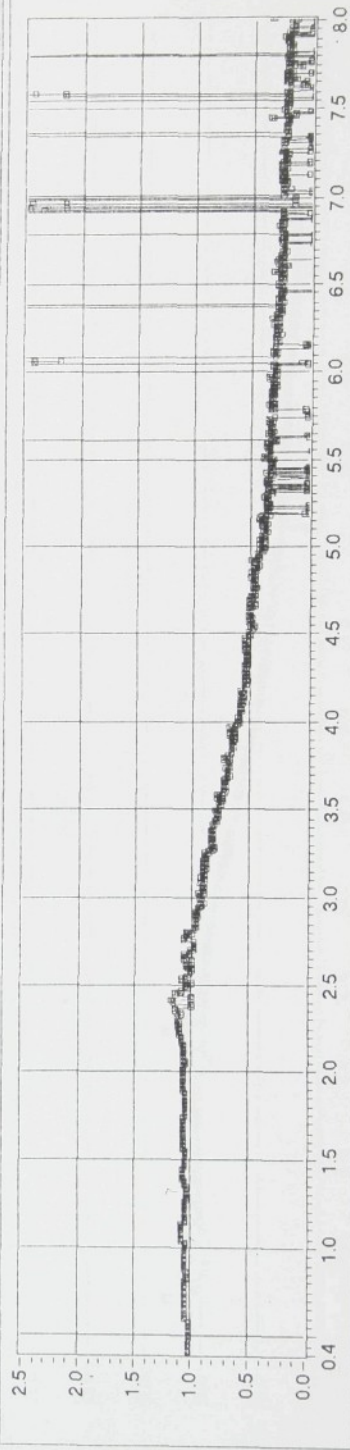
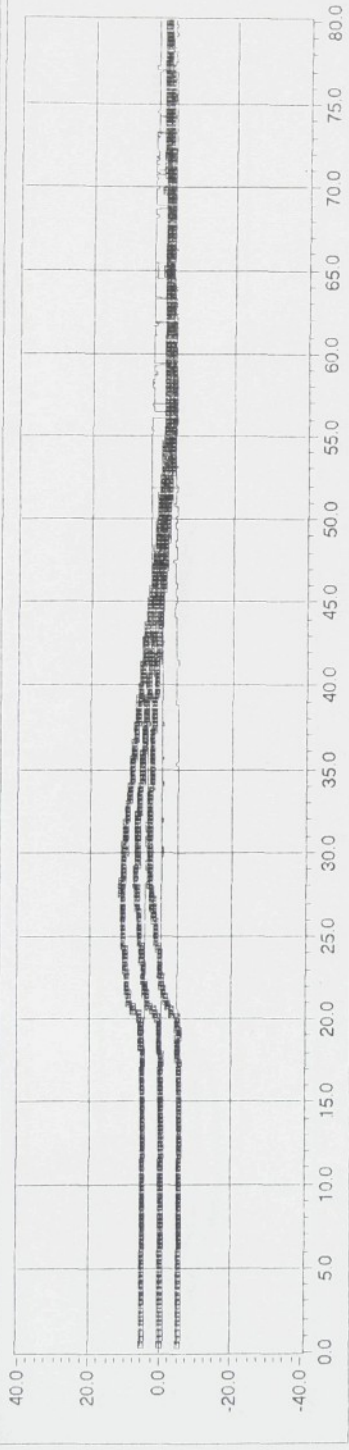
soubor: KCH1D60.M
Y: buzení [mm], odezva [mm]

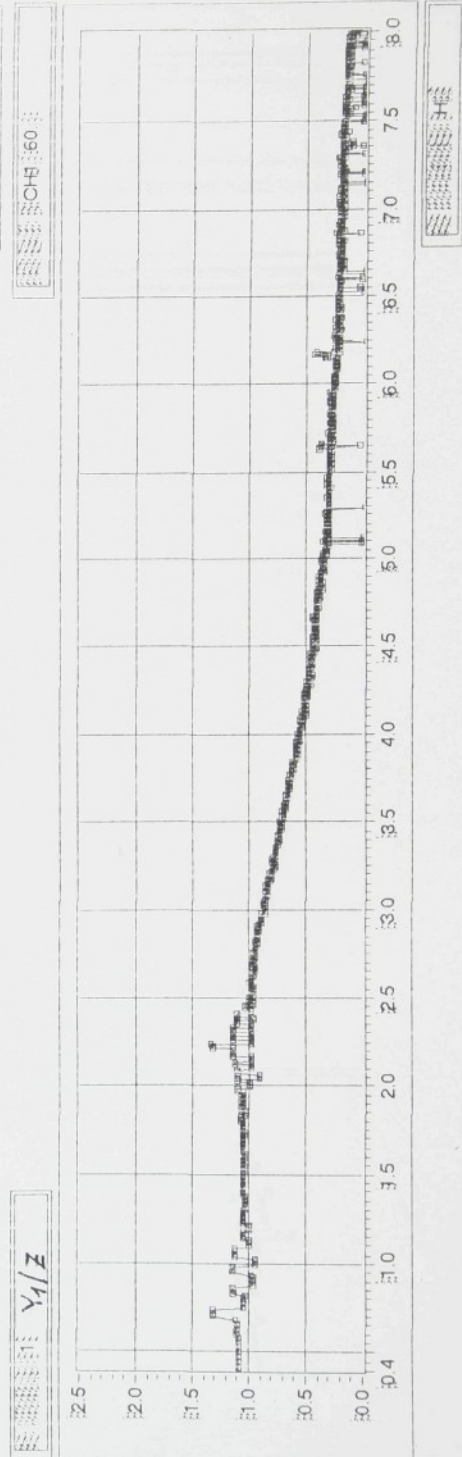
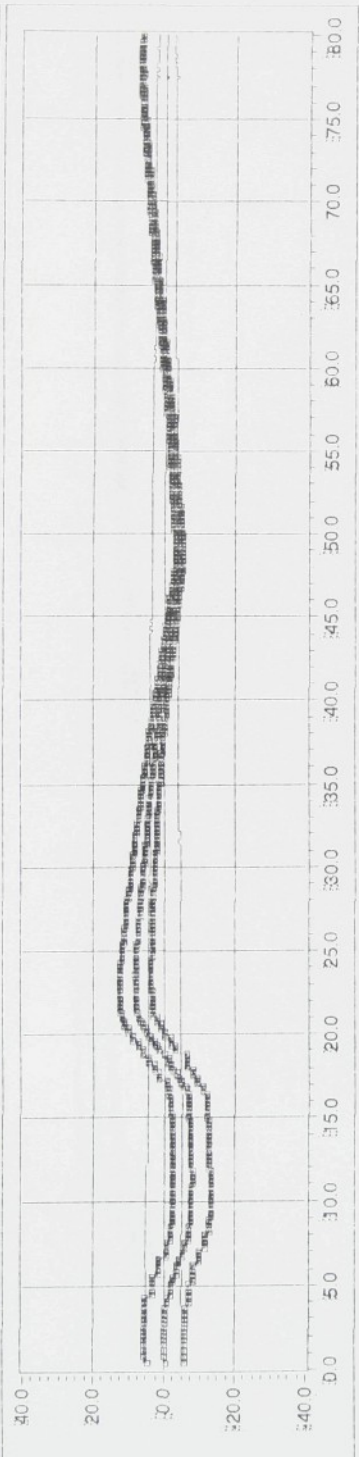


Y: pěnos [1] Y_1/Z

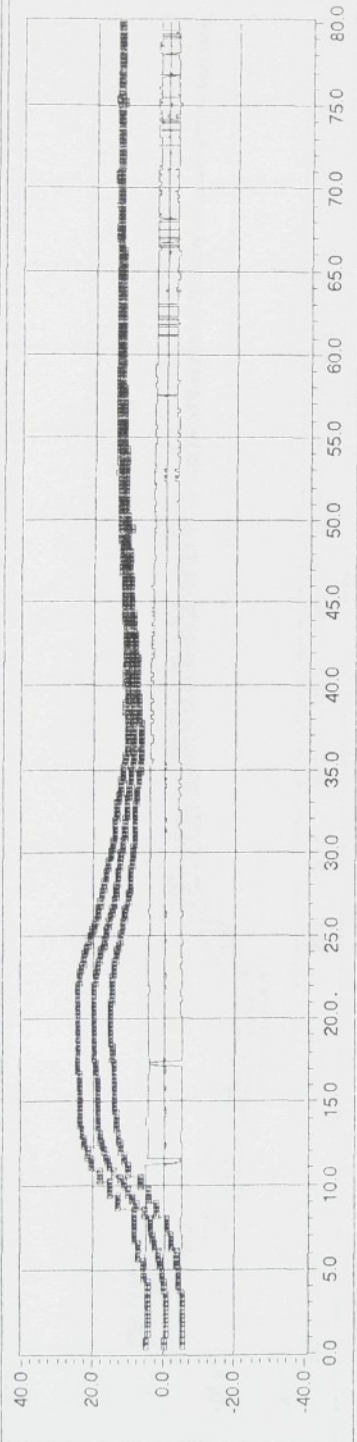


soubor: KCH1D60.M
X: frekvence [Hz]

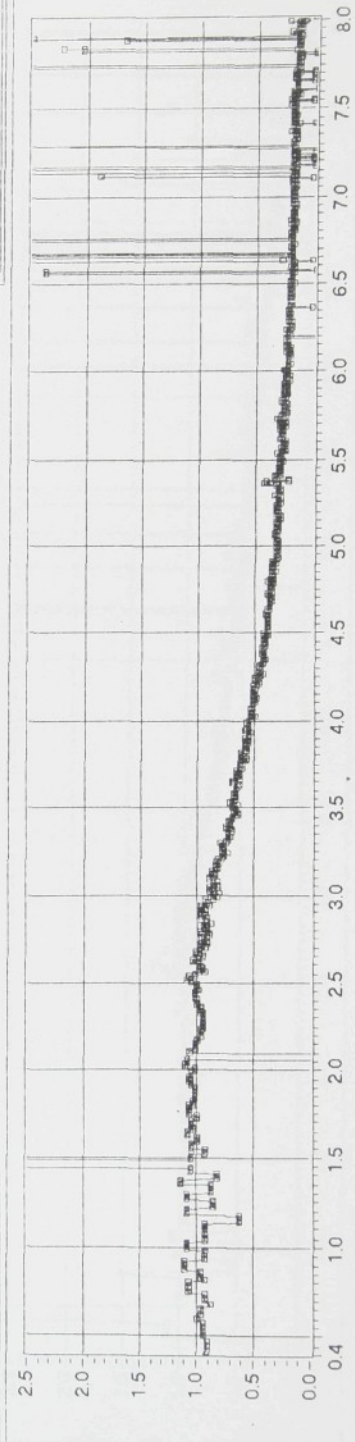




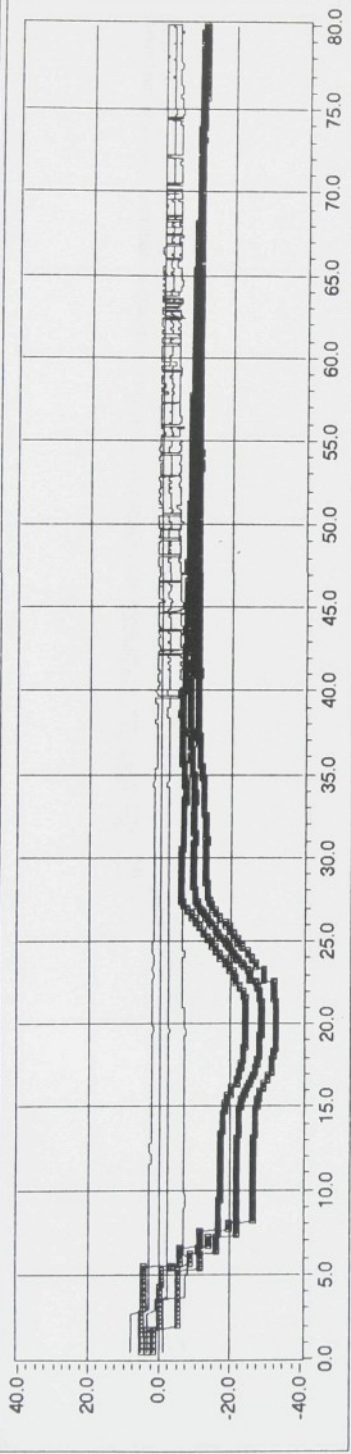
Soubor KCH1D60 S



Soubor KCH1D60 S

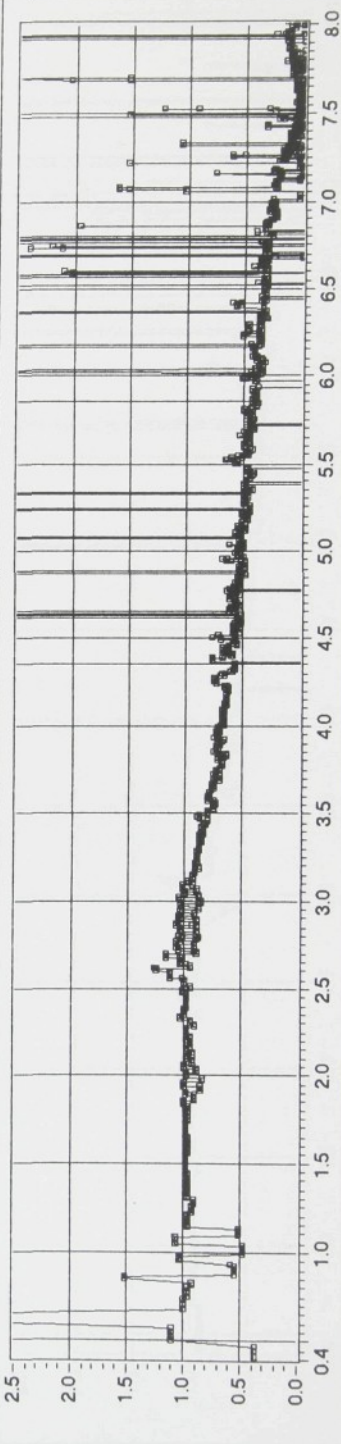
Y: prenos [1] Y_1 / Σ 

Y: buzeni [mm], odzvava [mm]



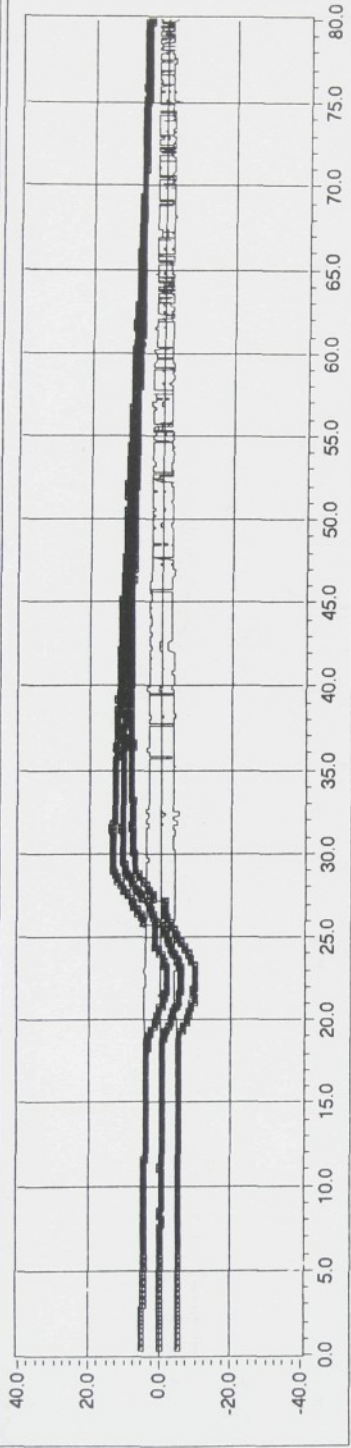
saubor: KCH1H80 M

Y: prenos [1] \dot{Y}_1 / Z



X: frekvence [Hz]

soubor: KCH1S80.M

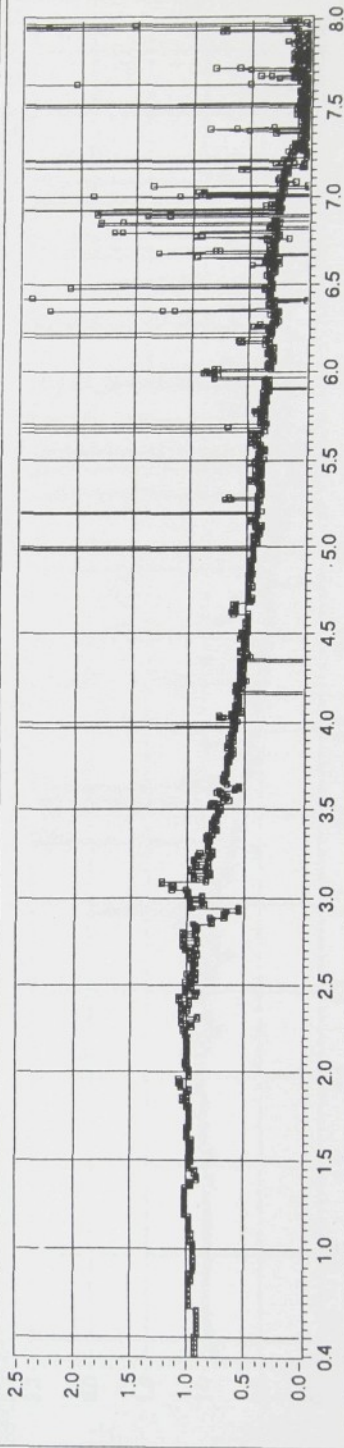


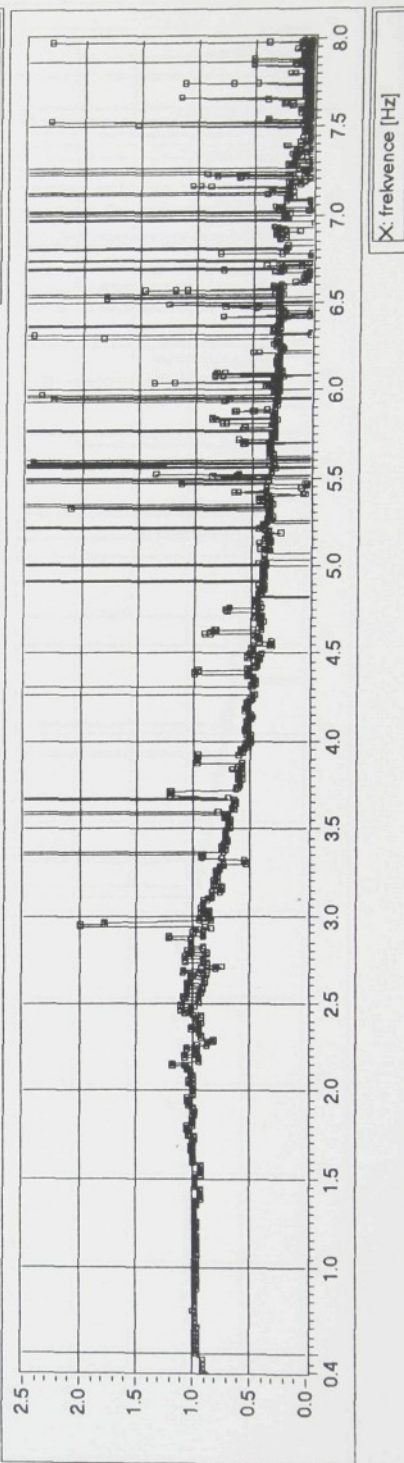
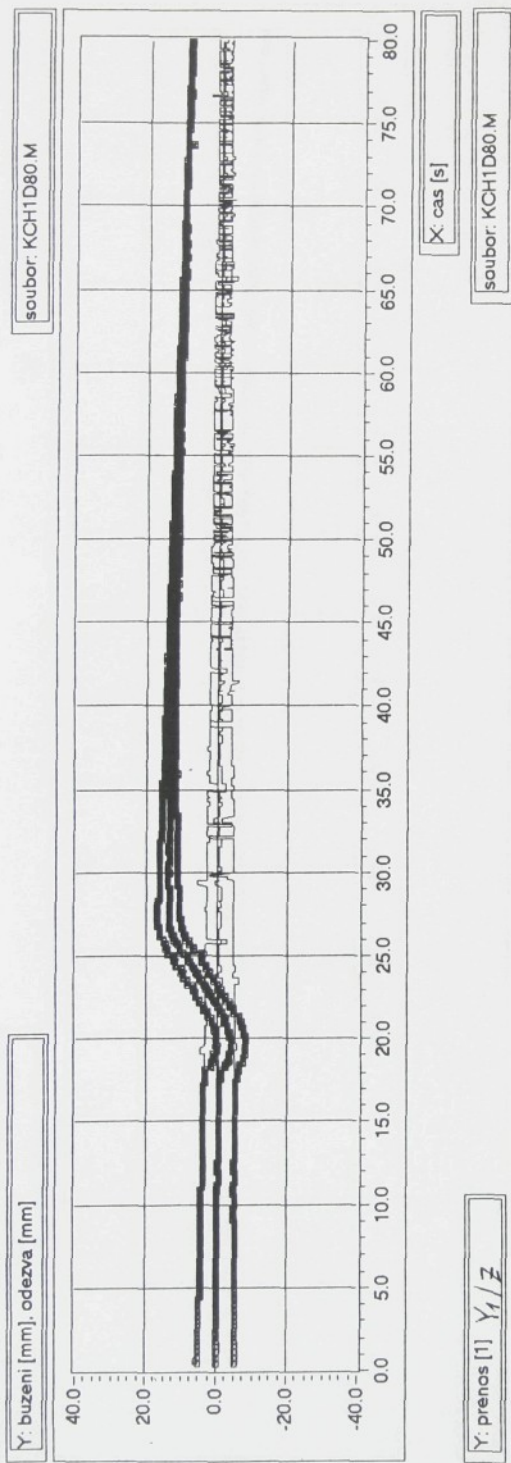
Y: přenos [1] Y_1/Z

X: cas [s]

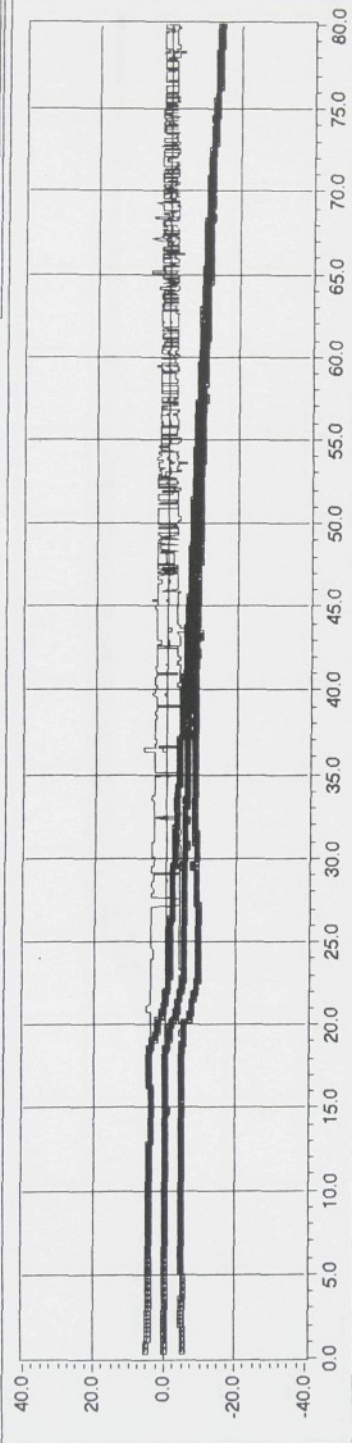
Y: přenos [1] Y_1/Z

X: frekvence [Hz]



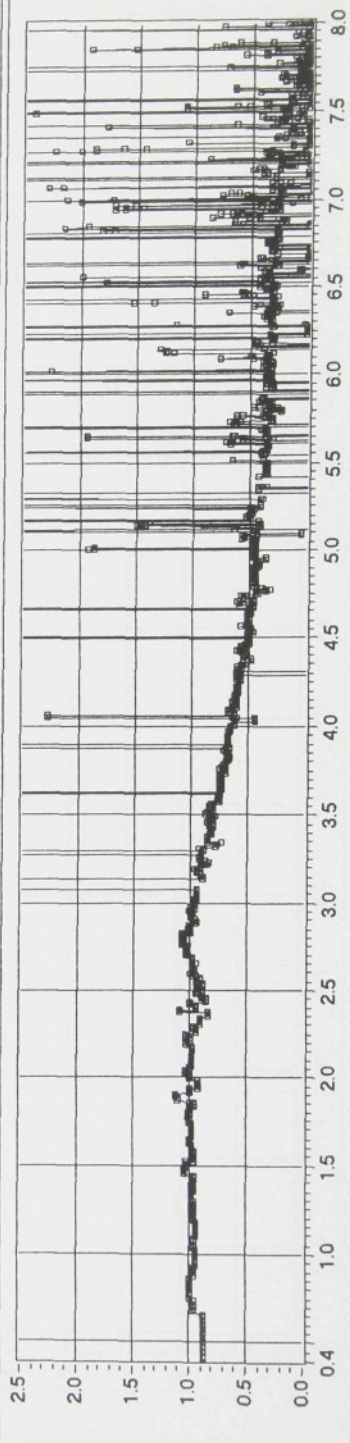


Y: buzení [mm], adezva [mm]



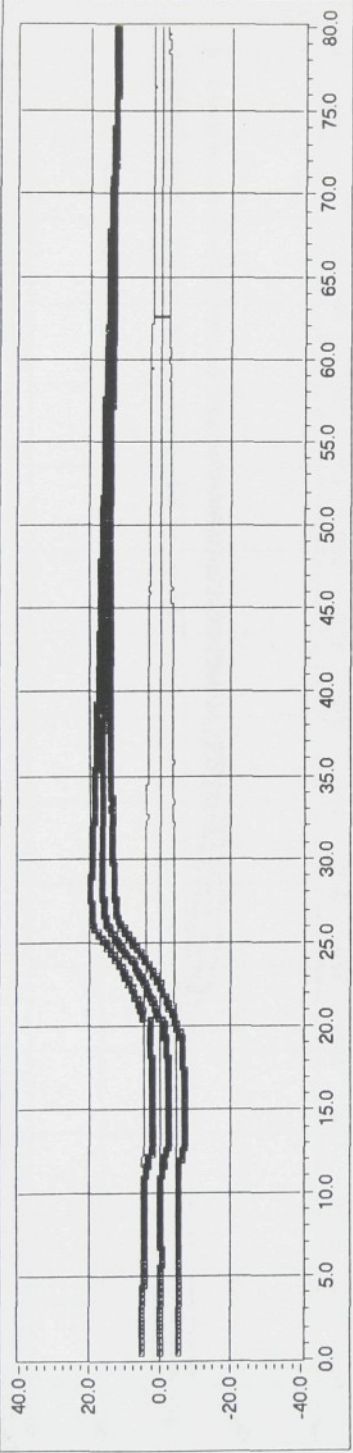
soubor: KCH1D80.S

Y: prenos [1] Y_1/Z

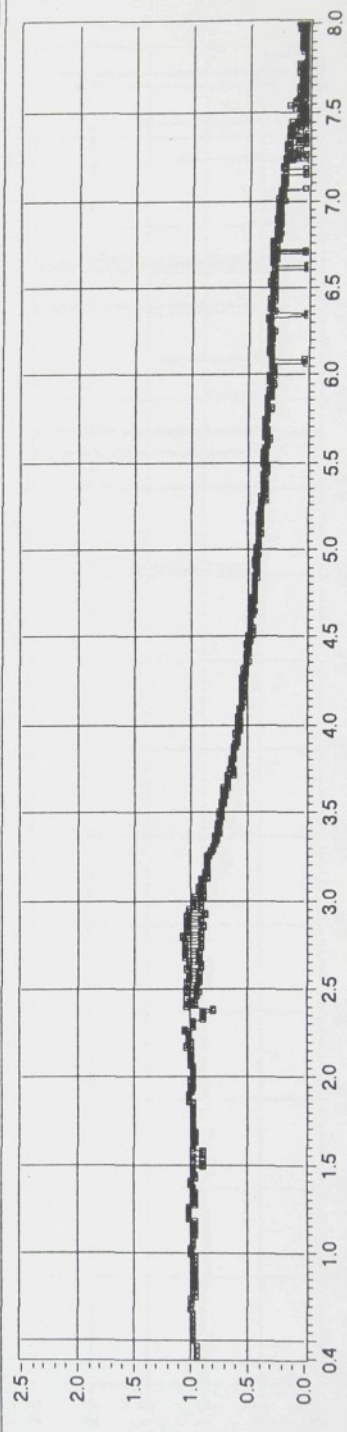


X: frekvence [Hz]

Y: buzení [mm], odězva [mm]

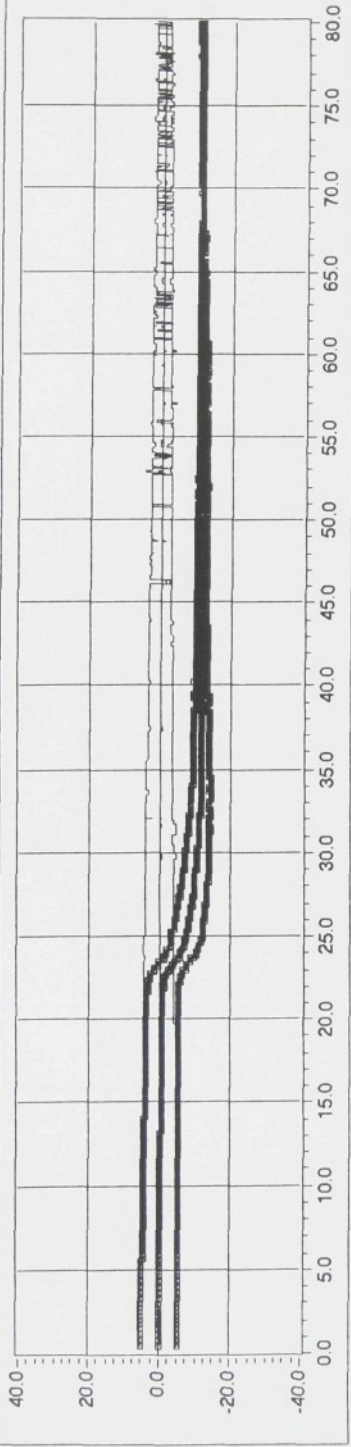


soubor: KCH1S80.S

Y: přenos [1] Y_1/Z 

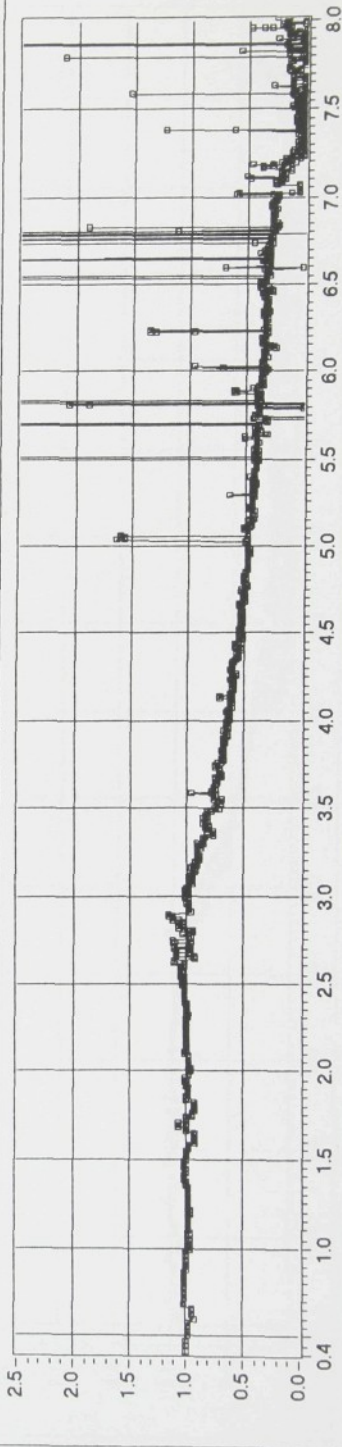
soubor: KCH1S80.S

soubor: KCH1H80.S
Y: buzení [mm], odezva [mm]



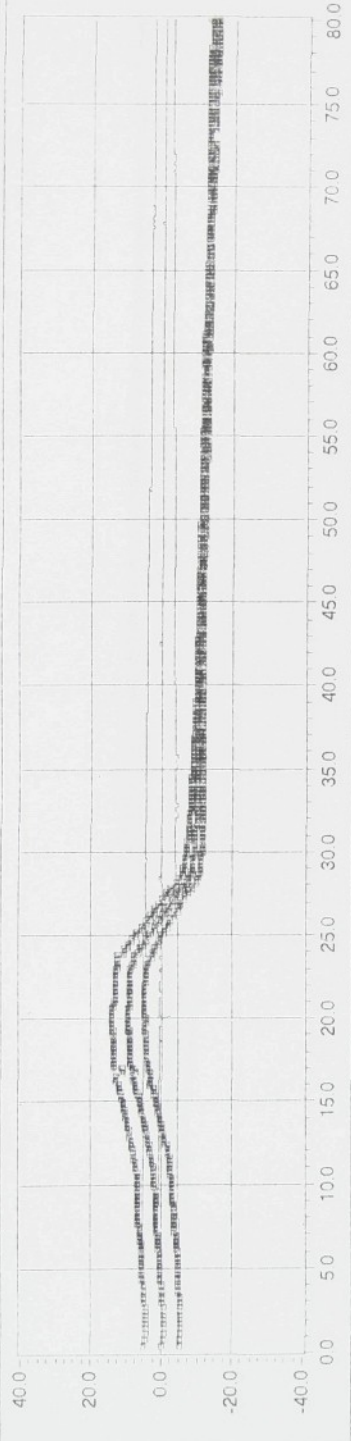
soubor: KCH1H80.S
X: cas [s]

Y: přenos [1] Y_1/Z

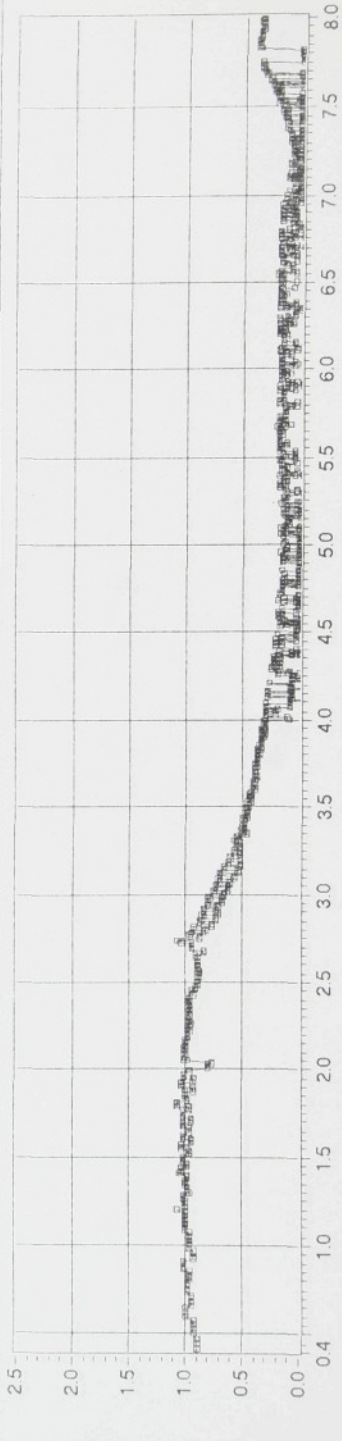


X: frekvence [Hz]

Y: bzuzení [mm] / odzvza [mm]

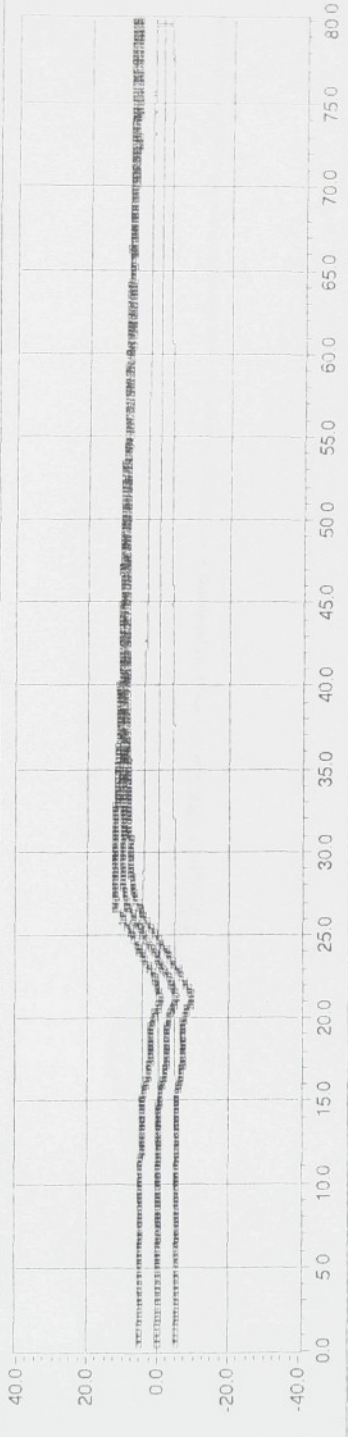


soubor K95H1HDY M

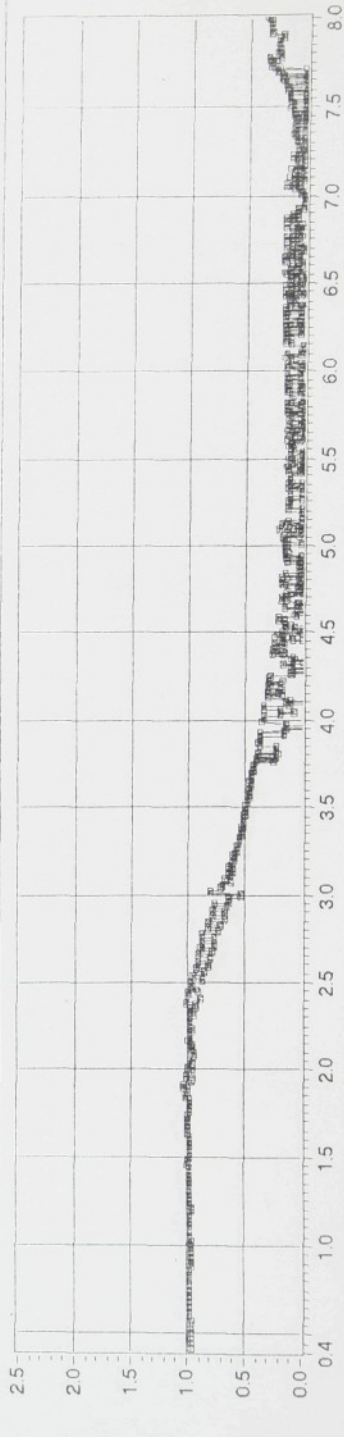
Y: prenos [1] $\frac{Y_1}{Z}$ 

soubor K95H1HDY M

Y: benz [mm] očeva [mm]



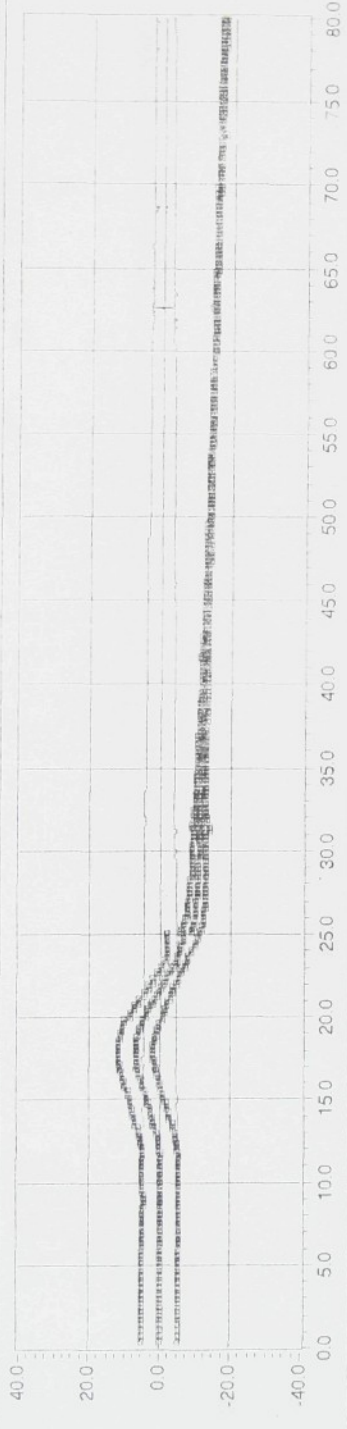
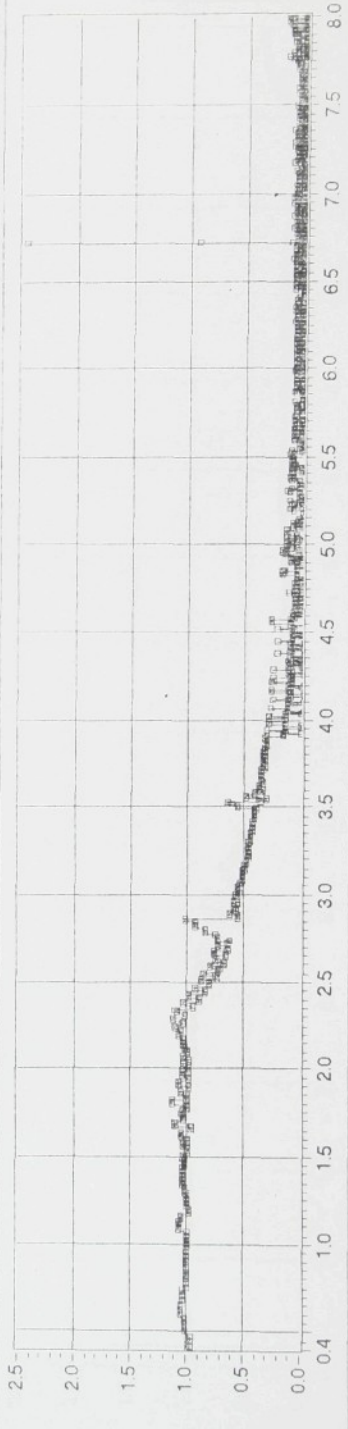
soubor: K95H1SDY.M

Y: přenos [1] Y_1/Z 

soubor: K95H1SDY.M

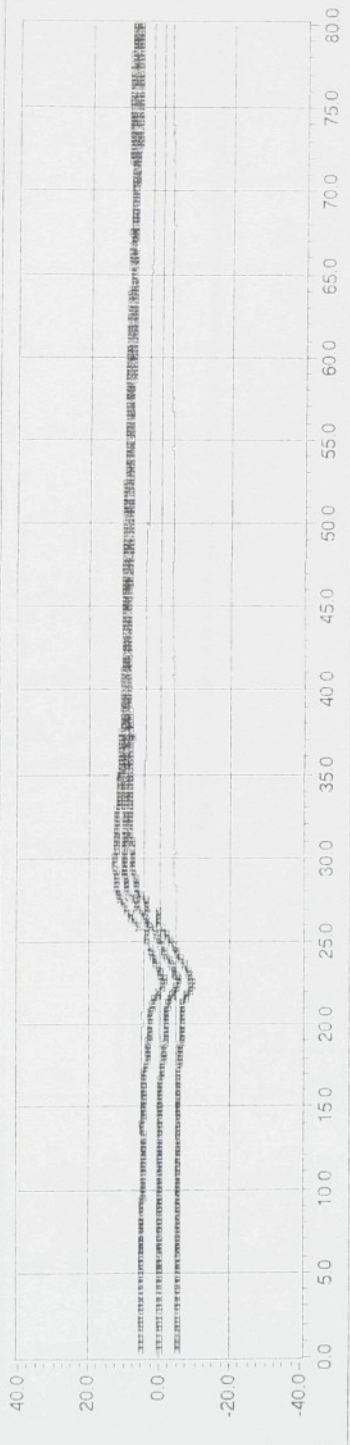
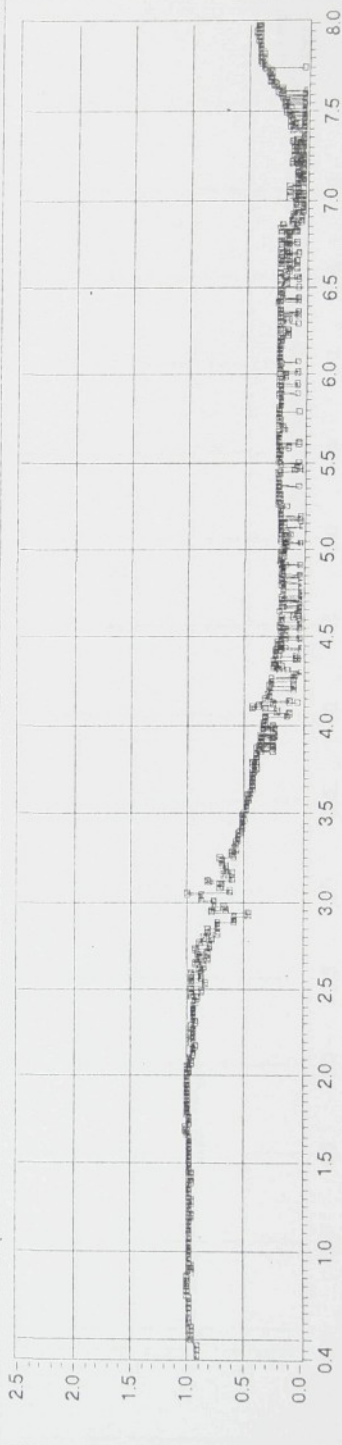
X: frekvence [Hz]

Y: buzení [mm], odezva [mm]

Y: přenos [1] Y_1/Z 

Soubor K95H1DDY.M

Y: buzení [mm], odzváva [mm]

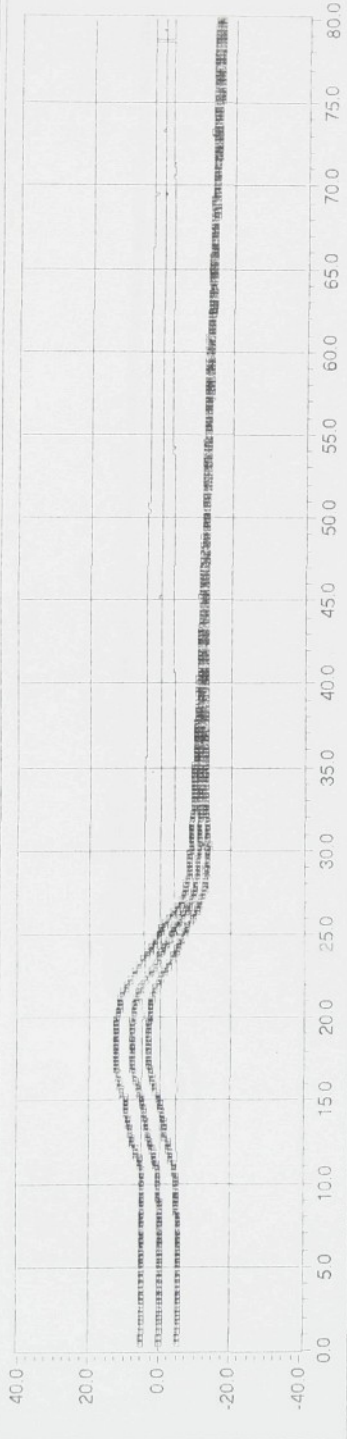
Y: prenos [1] Y_1/Z 

soubor K95H1HDYS

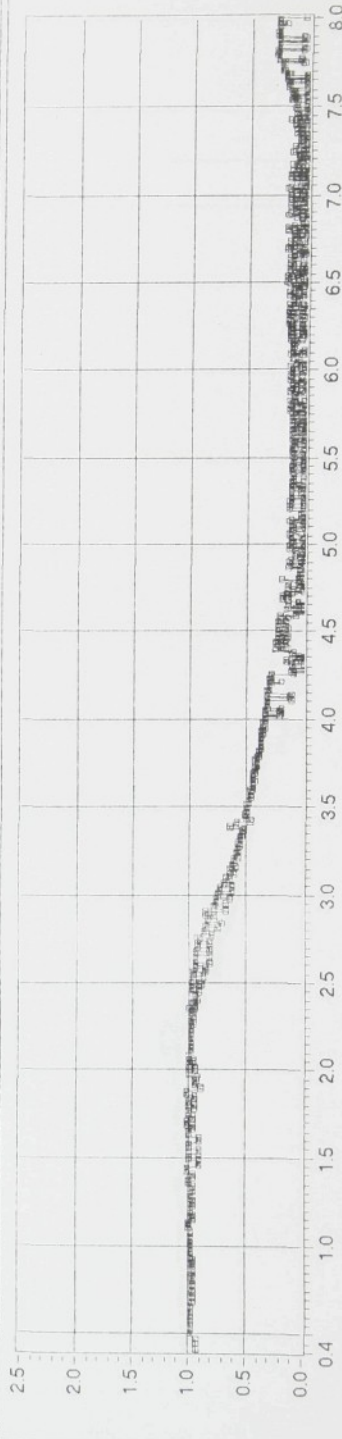
soubor K95H1HDYS

X: frekvence [Hz]

Y: buzení [mm], odczava [mm]

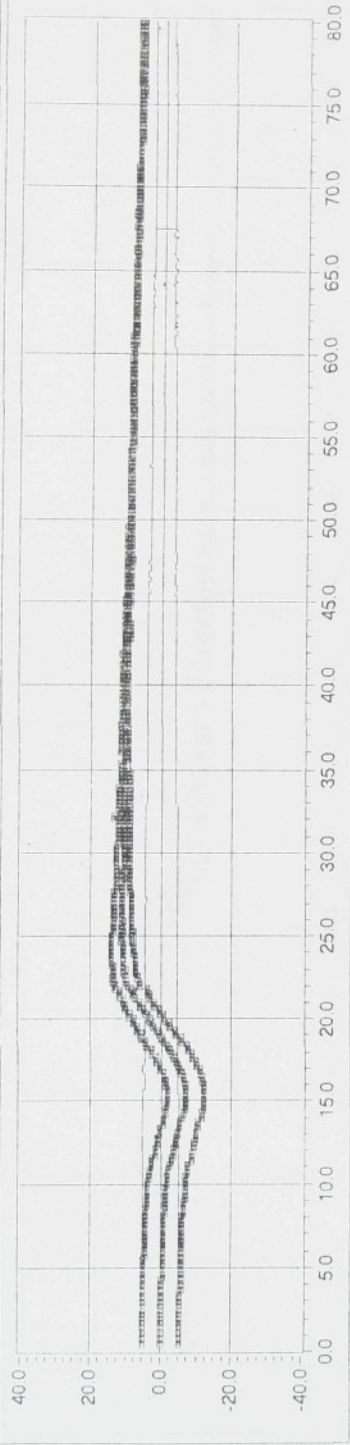
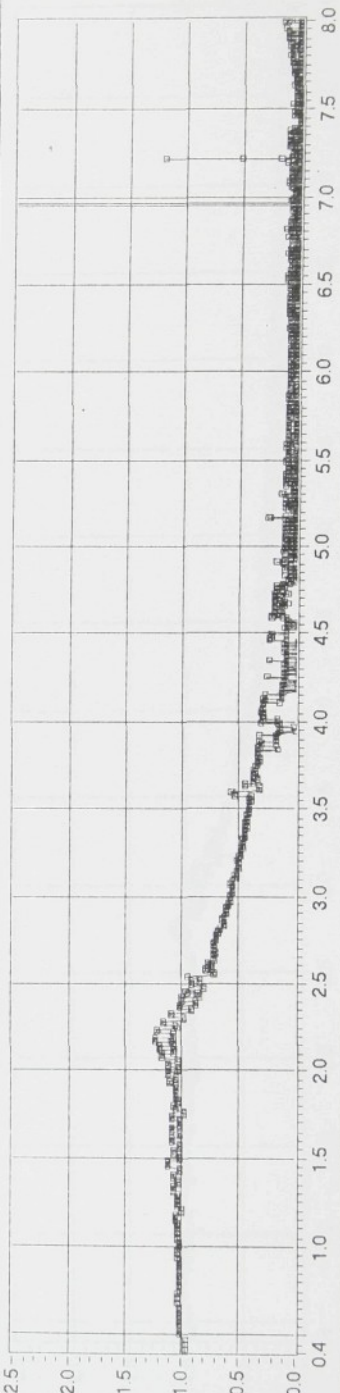


soubor K95H1SDY.S

Y: prenos [1] γ/ε 

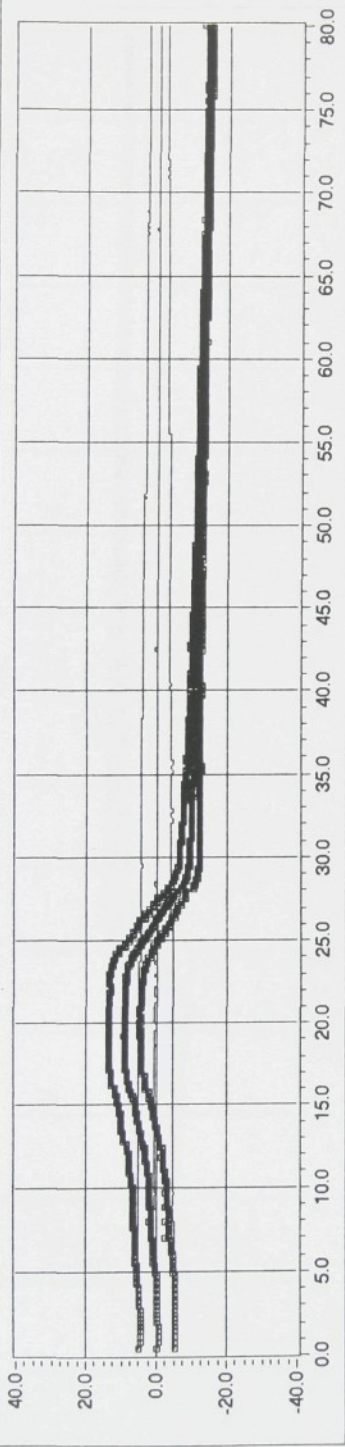
X: frekvence [Hz]

soubor K95H1DDY.S

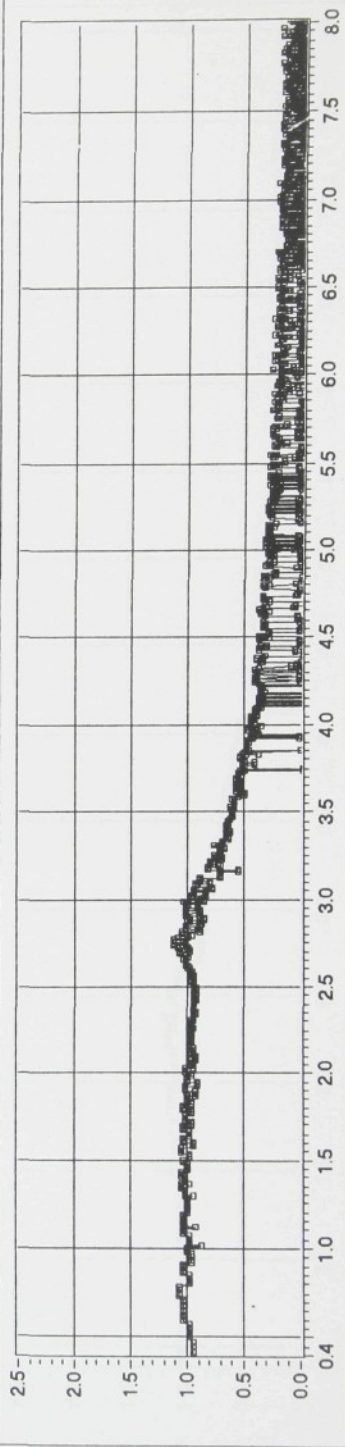
Y: prenos [1] Y_1/Z 

soubor K95H1DDY.S

Y: buzení [mm], odezva [mm]



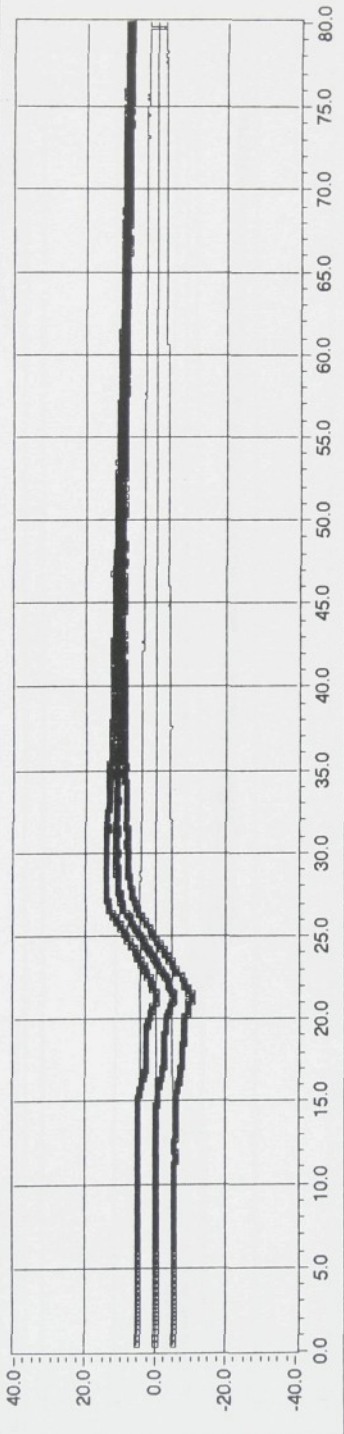
X: cas [s]

Y: prenos [1] γ_2/z 

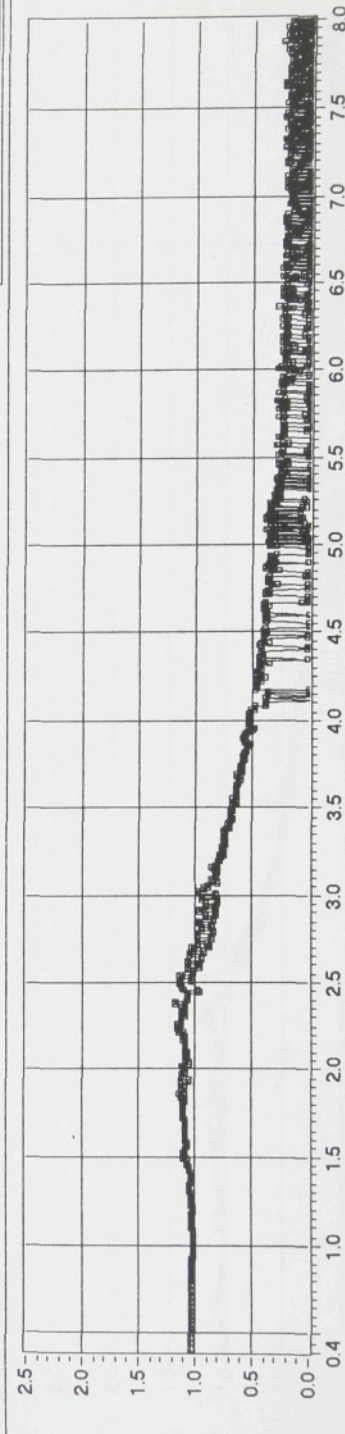
X: frekvence [Hz]

soubor: K95H1HDY.M

Y: buzení [mm], odězva [mm]

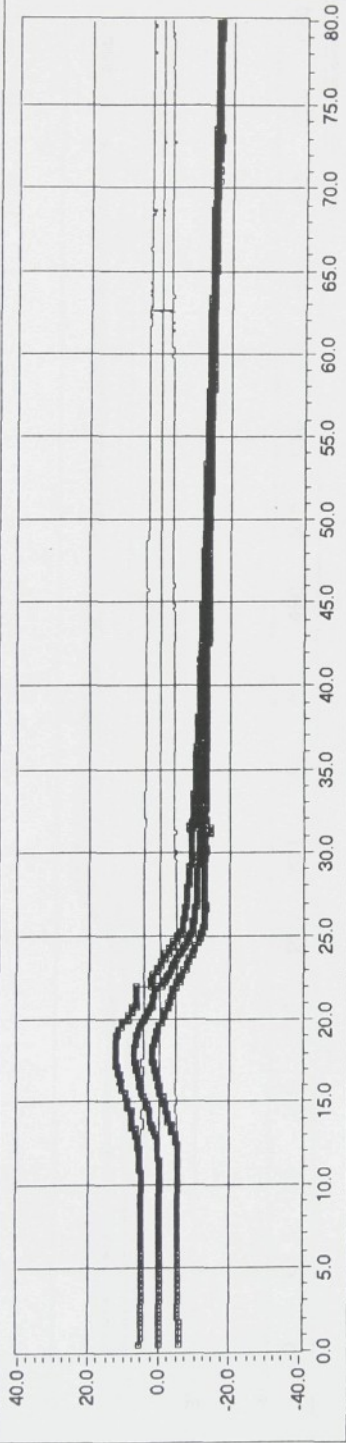


soubor: K95H1SDY.M

Y: přenos [1] Y_2/Z 

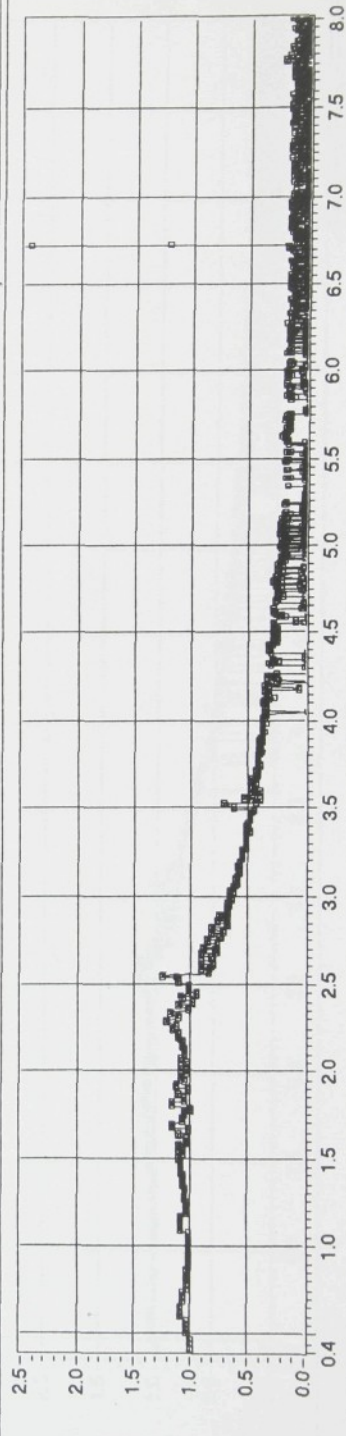
soubor: K95H1SDY.M

[Y: buzení [mm], odezva [mm]]



soubor: K95H1DDY.M

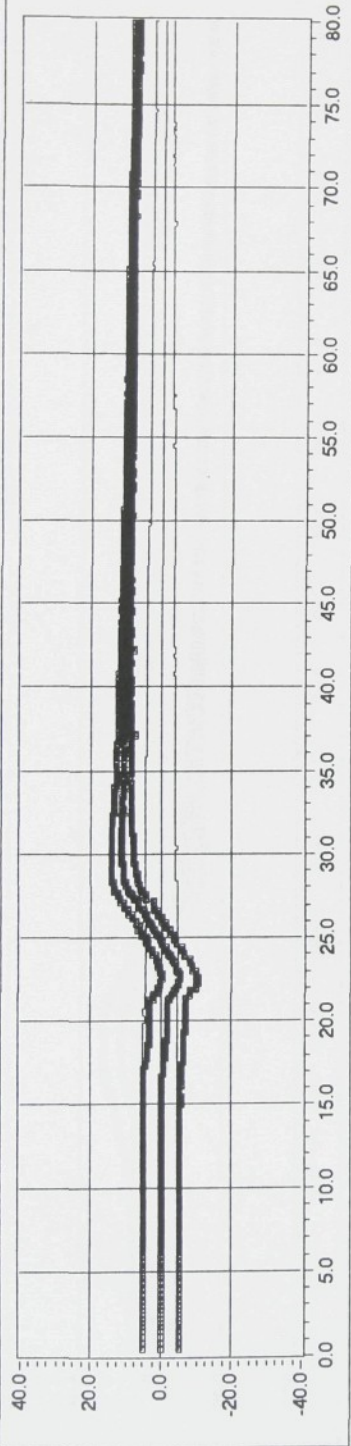
[Y: přenos [1] Y_1/Z]



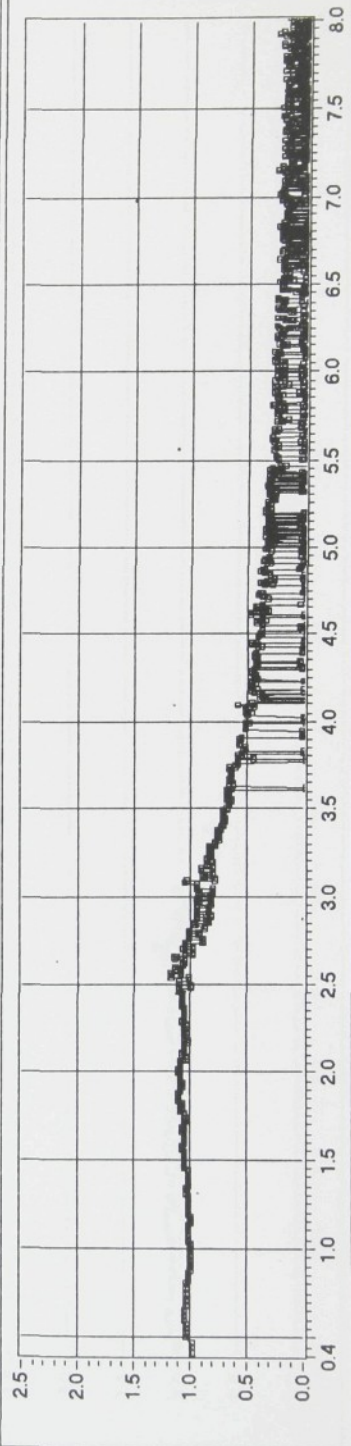
soubor: K95H1DDY.M

[X: frekvence [Hz]]

Y: buzení [mm], odezva [mm]

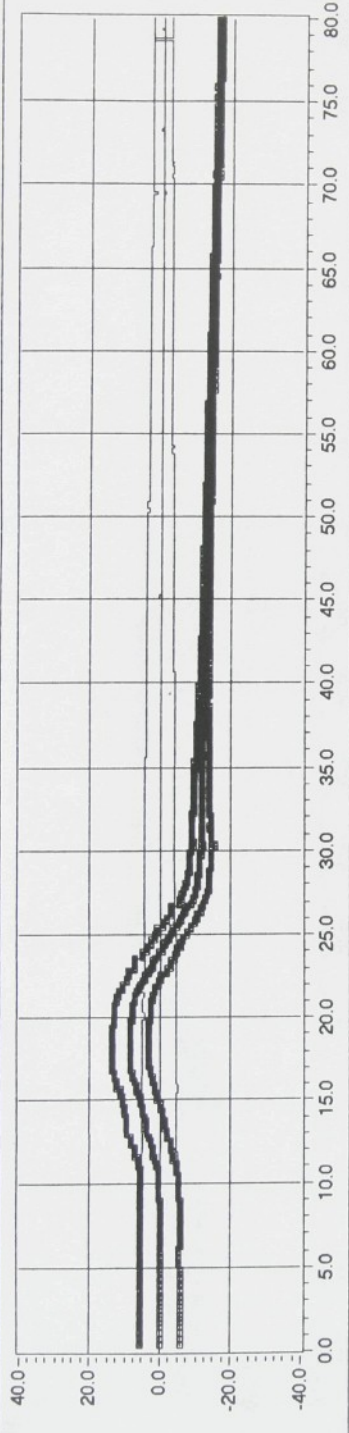


soubor: K95H1HDYS

Y: prenos [1] Υ_2/Z 

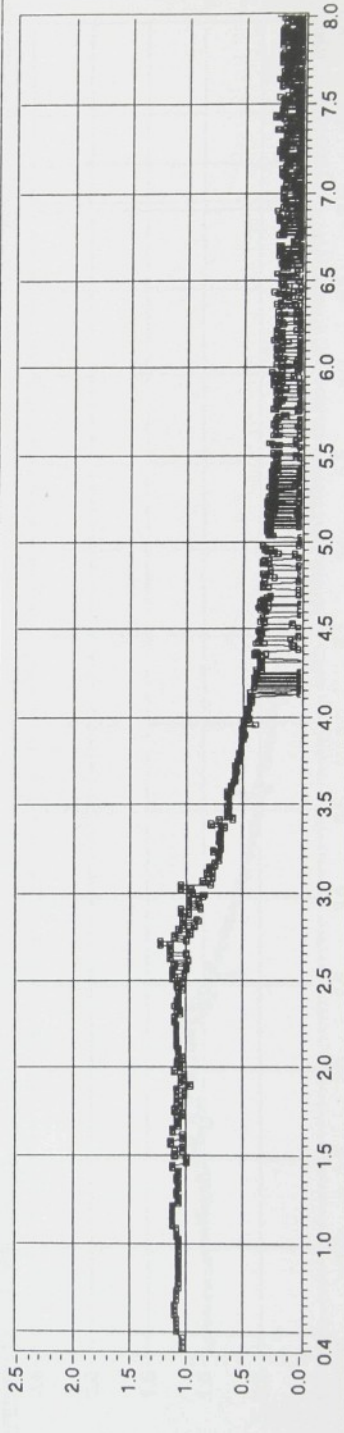
soubor: K95H1HDYS

Y: buzení [mm], odezva [mm]



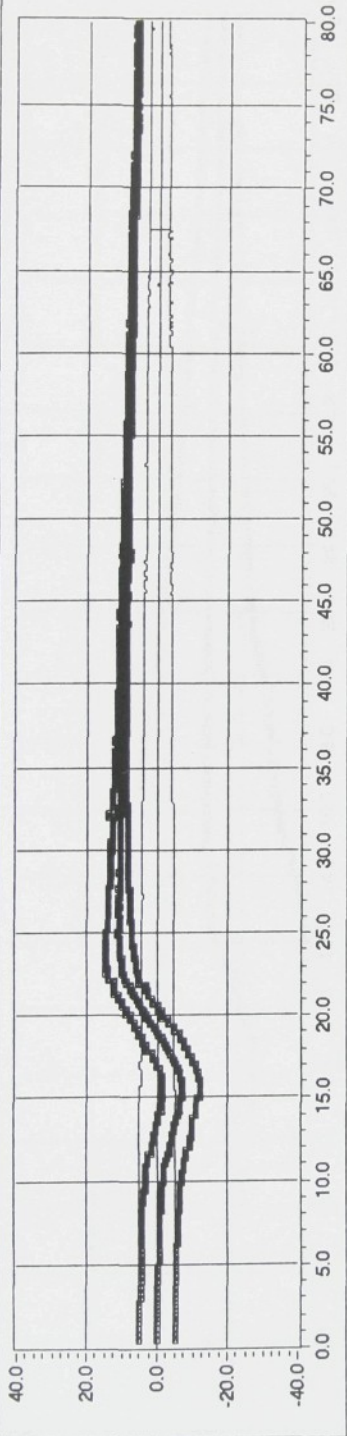
soubor: K95H1SDY.S

Y: prenos [1] Υ_2/Z

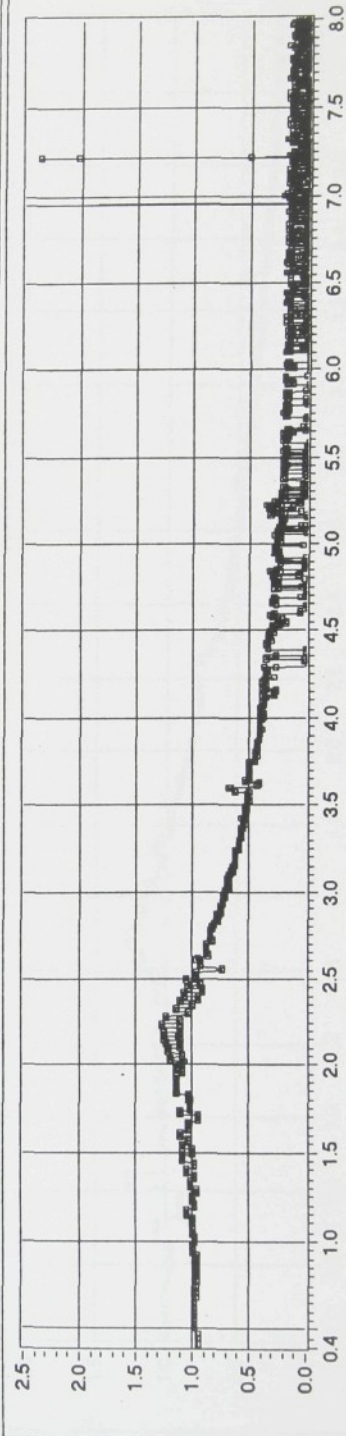


soubor: K95H1SDY.S

Y: buzení [mm], odezva [mm]



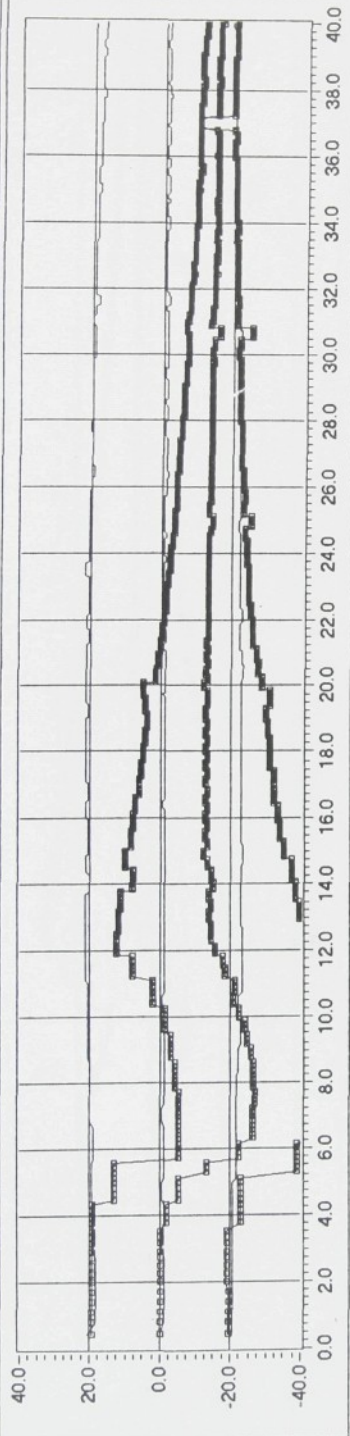
soubor: K95H1DDY.S

Y: prenos [1] γ_2/z 

soubor: K95H1DDY.S

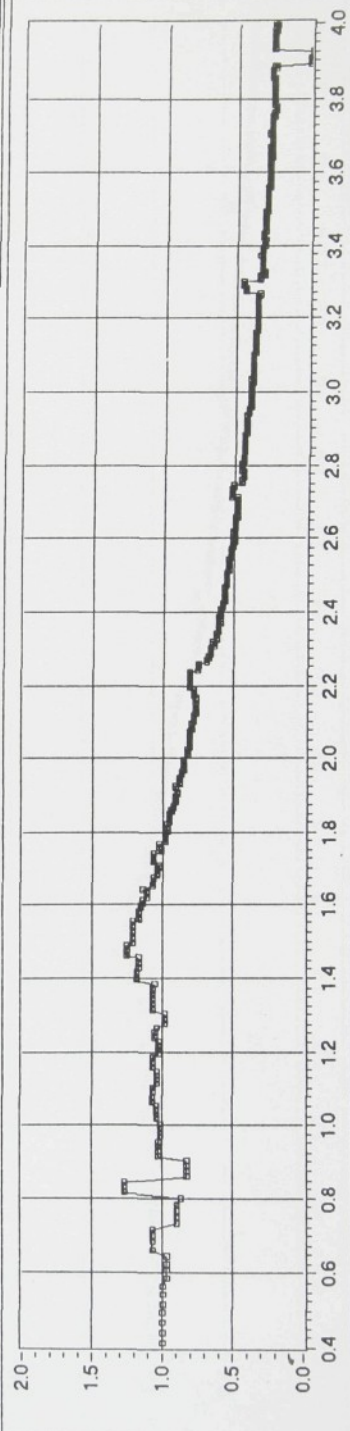
X: frekvence [Hz]

soubor: K95H2SDY.1



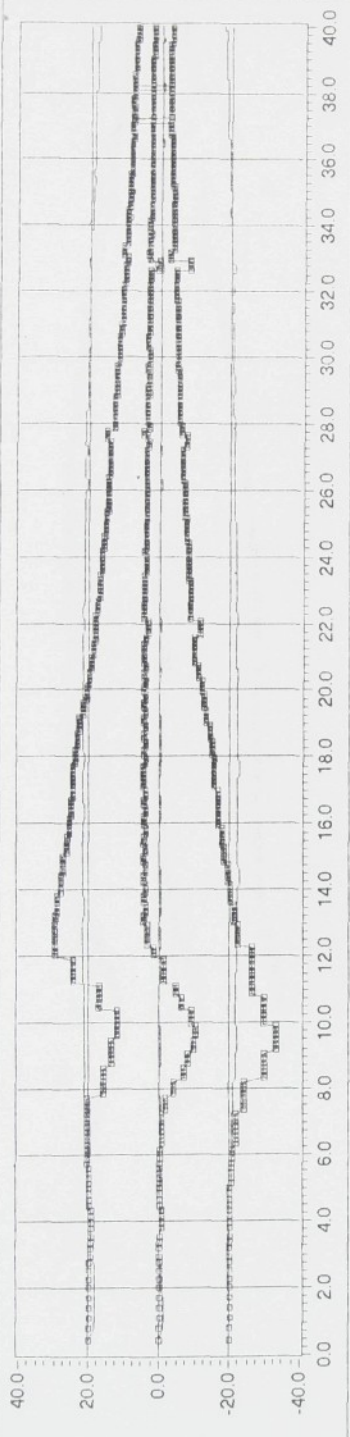
soubor: K95H2SDY.1

Y: prenos [1] \dot{Y}_4/Z

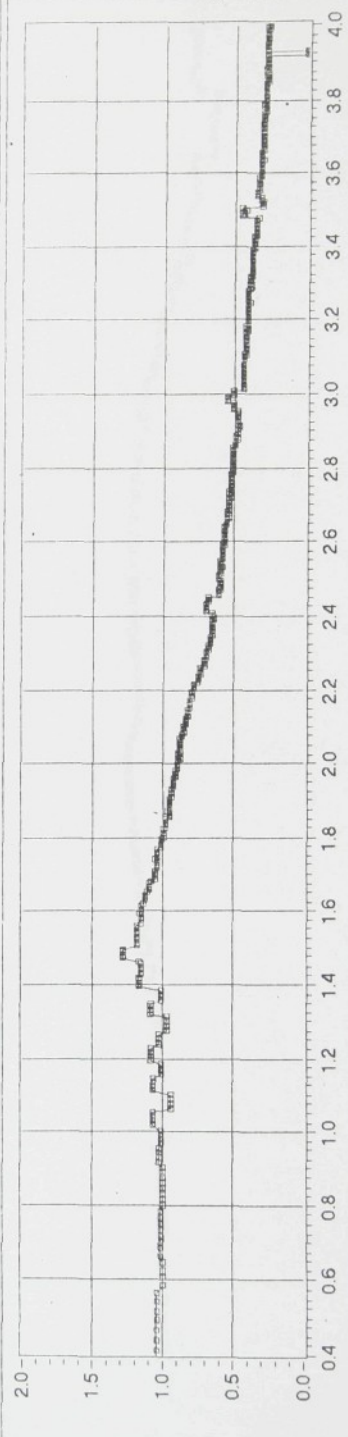


soubor: K95H2SDY.1

Y: buzení [mm], odleza v [mm]



Y: přenos [1] Y_4/Z

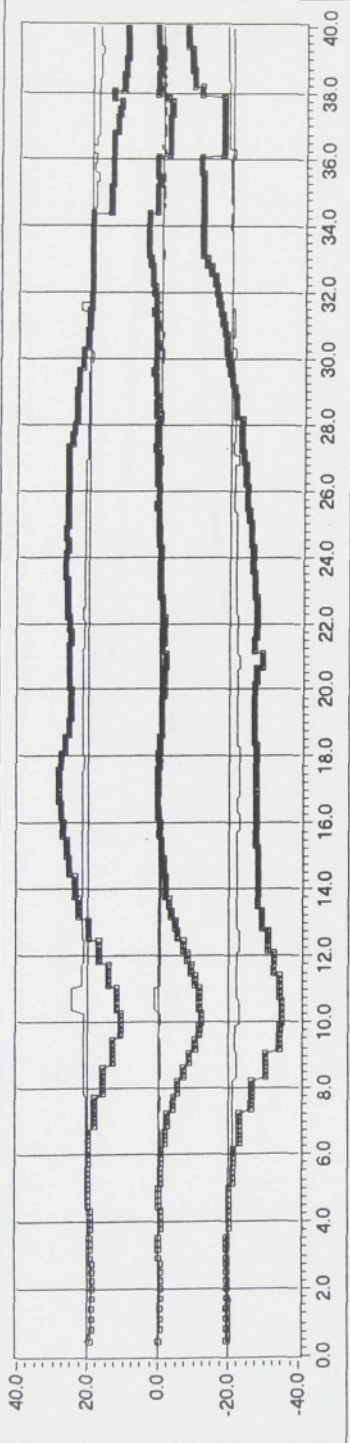


soubor K95H2SDY2

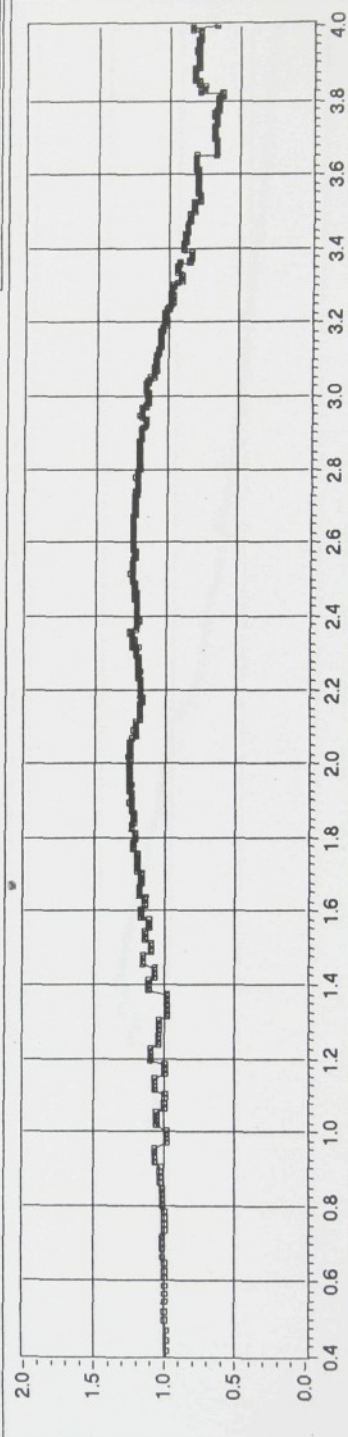
X: cas [s]

X: frekvence [Hz]

Y: buzení [mm], odezva [mm]

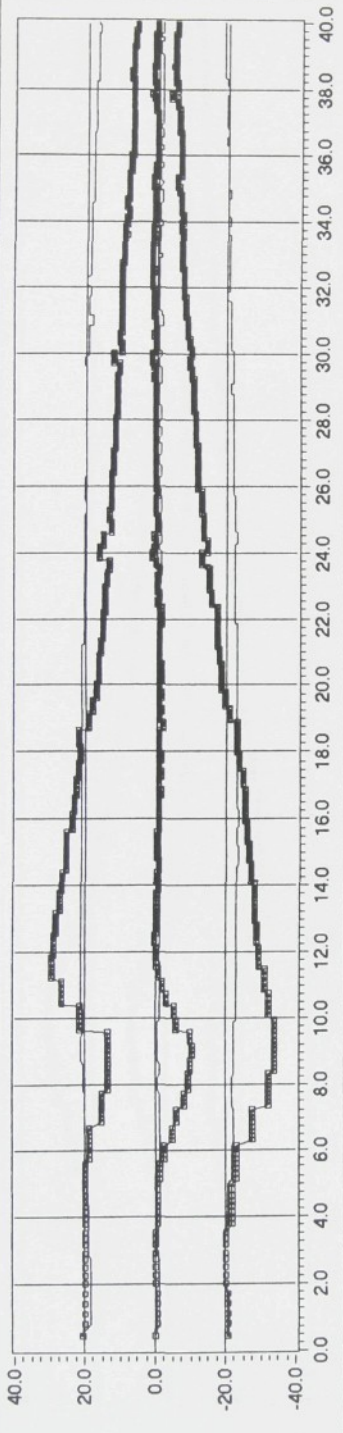


soubor: K95H2SDY3

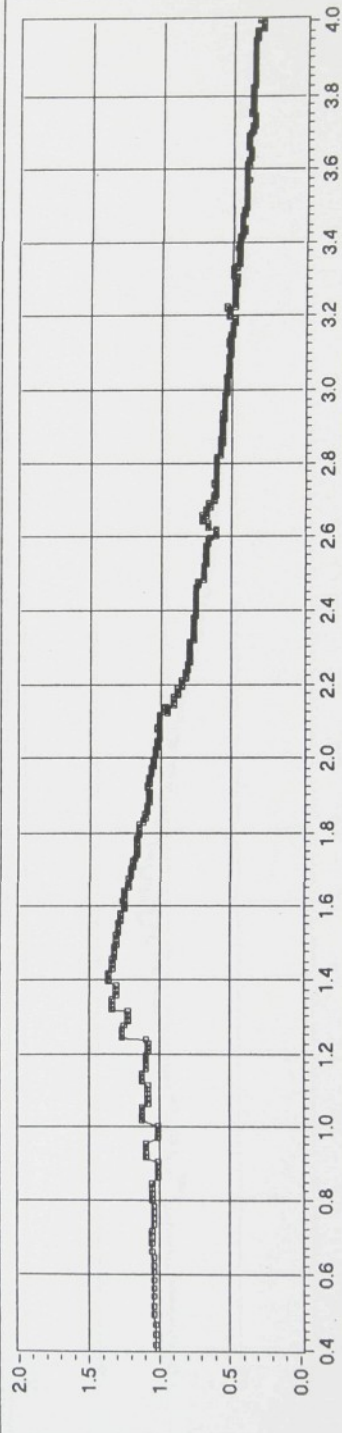
Y: přenos [I] Υ_4/Z 

soubor: K95H2SDY3

Y: buzení [mm], odezva [mm]

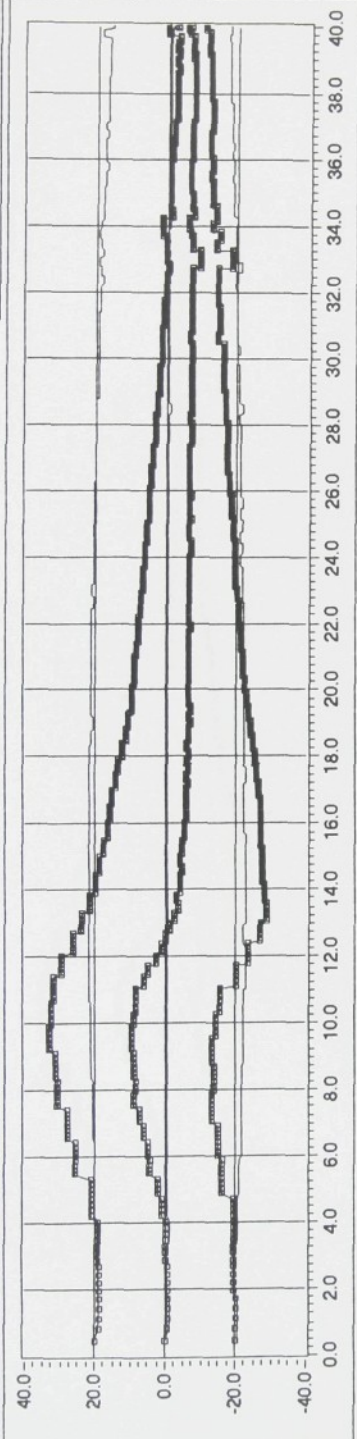


soubor: K95H2DDY.2

Y: prenos [1] Y_4/Z 

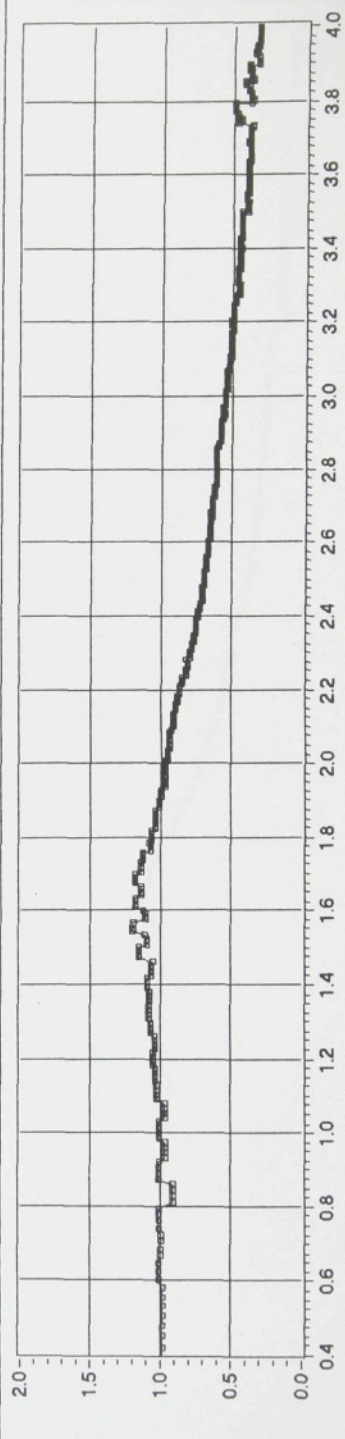
X: frekvence [Hz]

Y: buzeni [mm], odezva [mm]

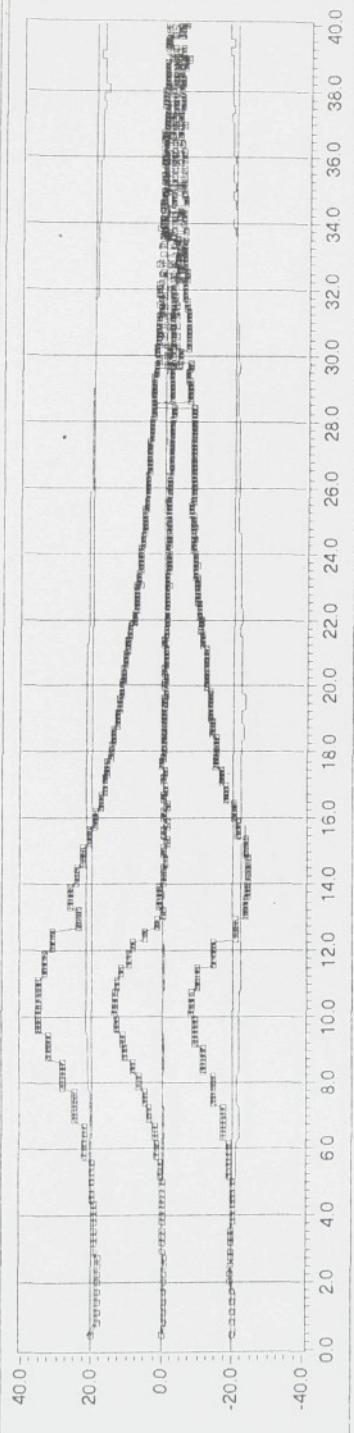


Y: buzeni [mm], odezva [mm]

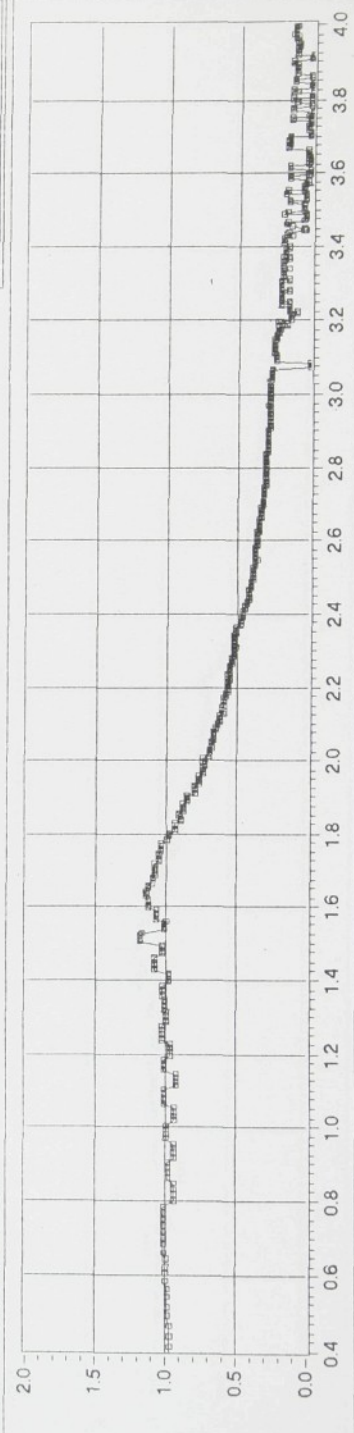
Y: prenoš [1] Y_4/Z



Y: buzení [mm], odezva [mm]

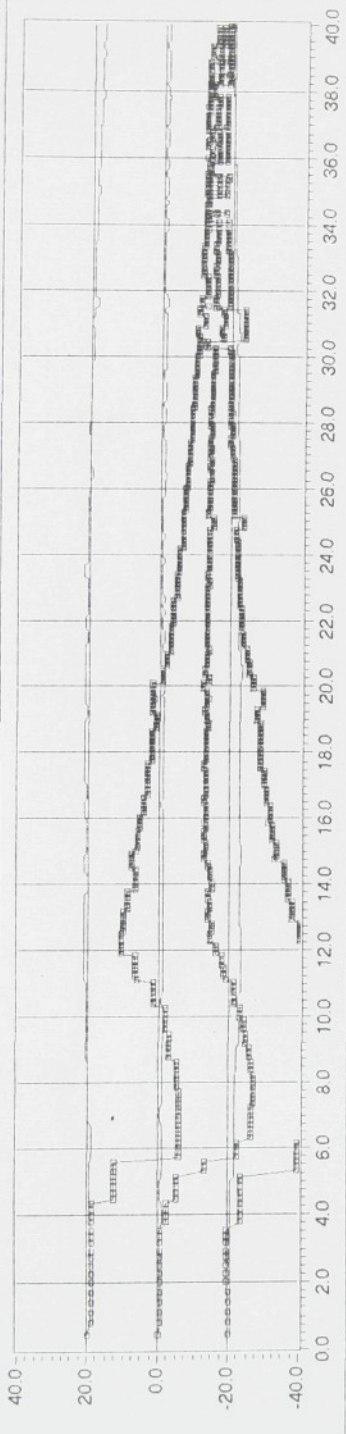


soubor: K95H2HDY.1

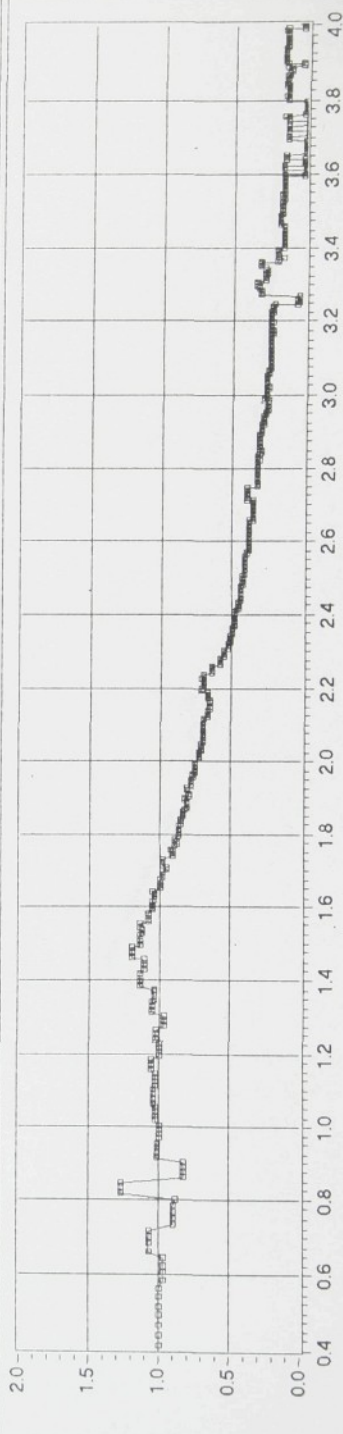
Y: prenos [1] Y_3/z 

X: frekvence [Hz]

Y: buzení [mm], odezva [mm]

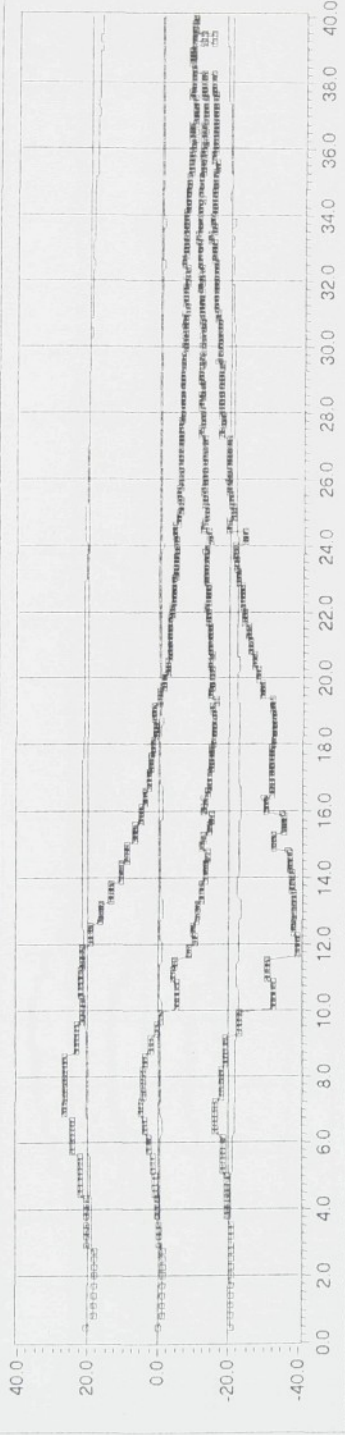
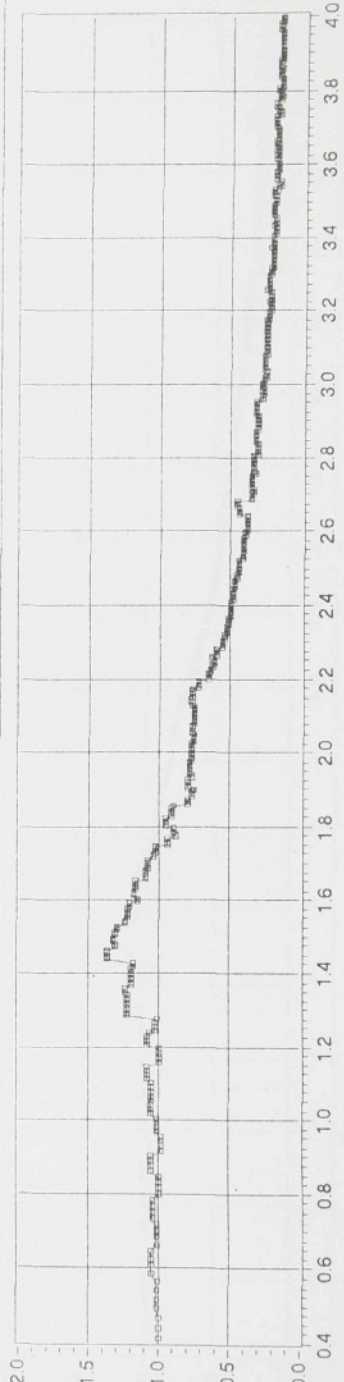


soubor K95H2SDY.1

Y: prenos [1] Υ_3/Z 

soubor K95H2SDY.1

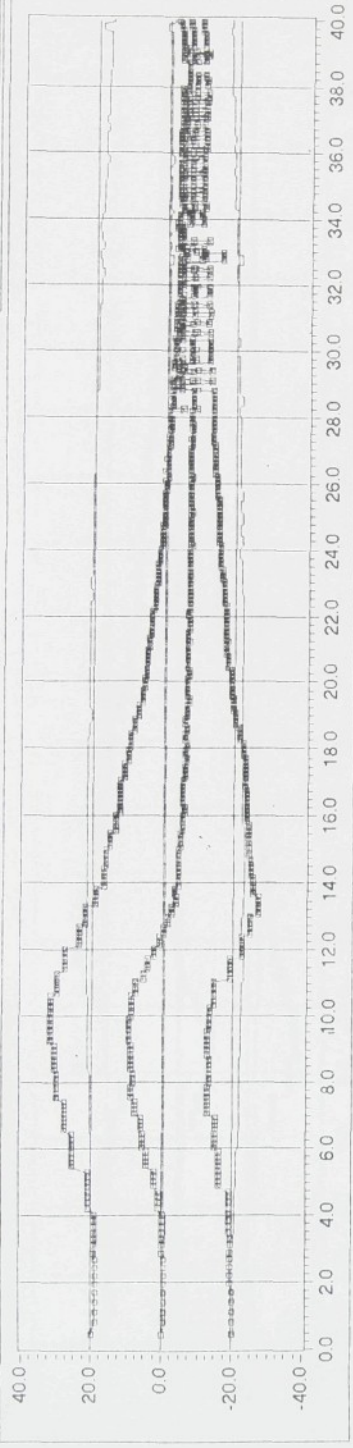
soubor K95H2DDY1

 γ prenos [1] γ_3/z 

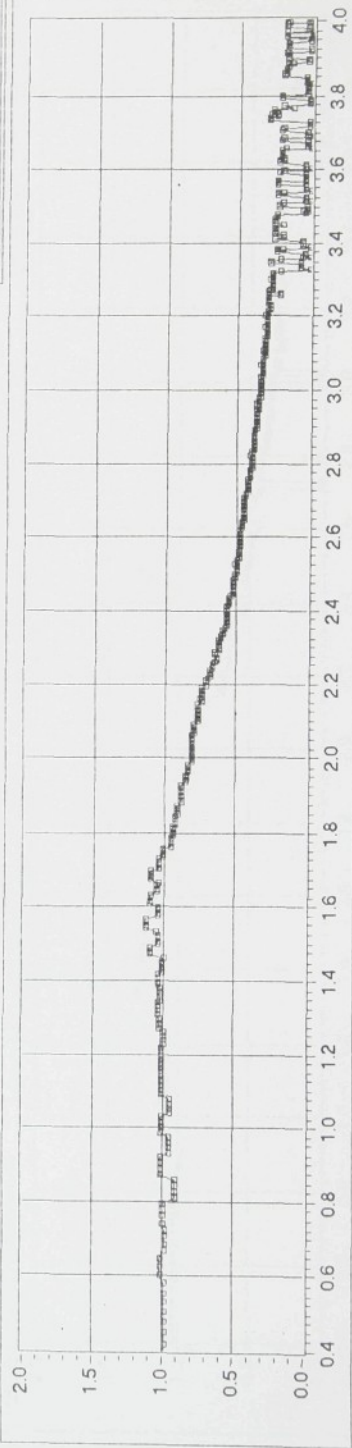
soubor K95H2DDY1

X: frekvence [Hz]

Y: buzeni [mm], odczva [mm]

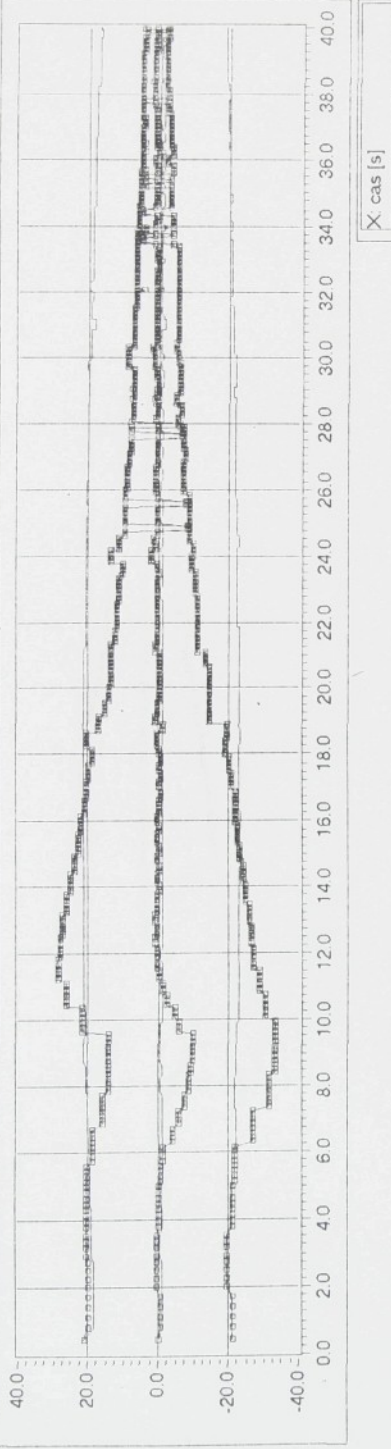
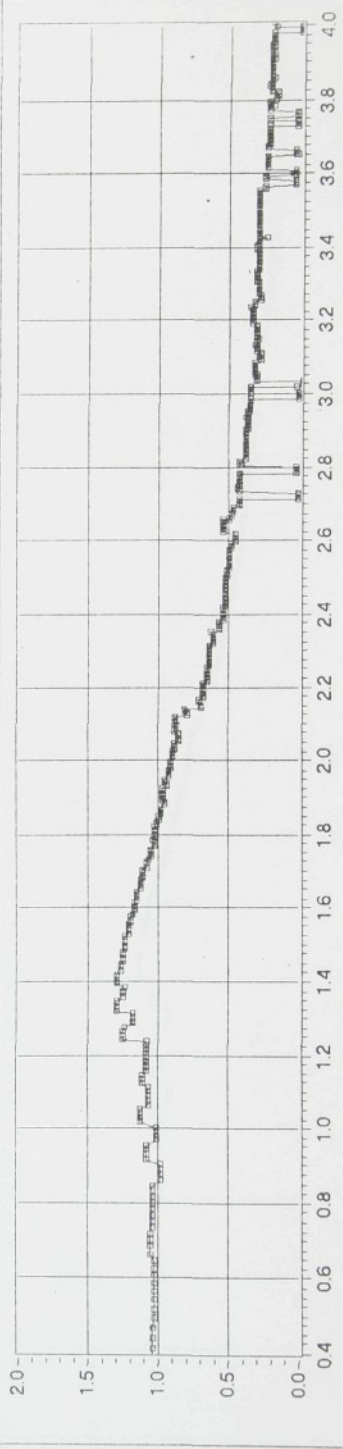


soubor K95H2HDY 2

Y: prenoš [1] Υ_3/Z 

X: frekvence [Hz]

Y: buzení [mm], odezva [mm]

Y: prenos [1] Y_3/Z 

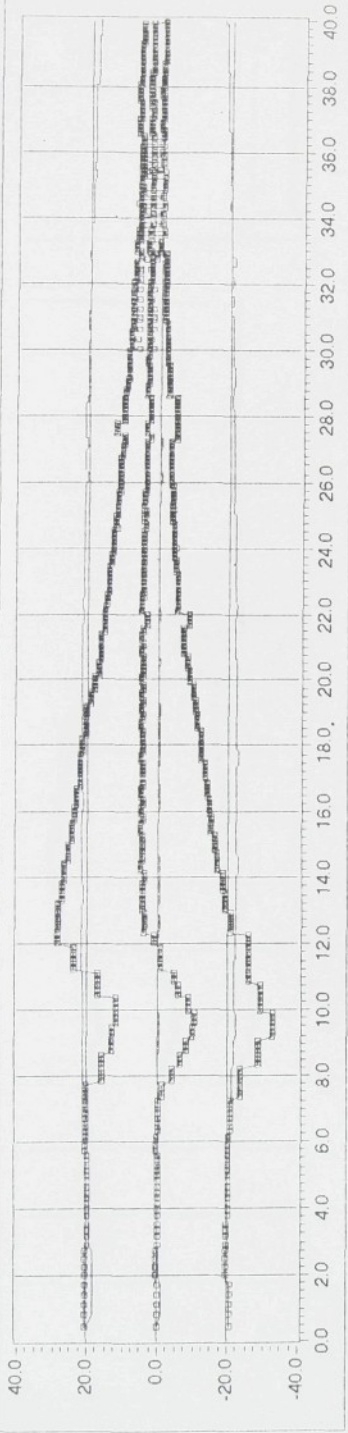
soubor K95H2DDY2

X: cas [s]

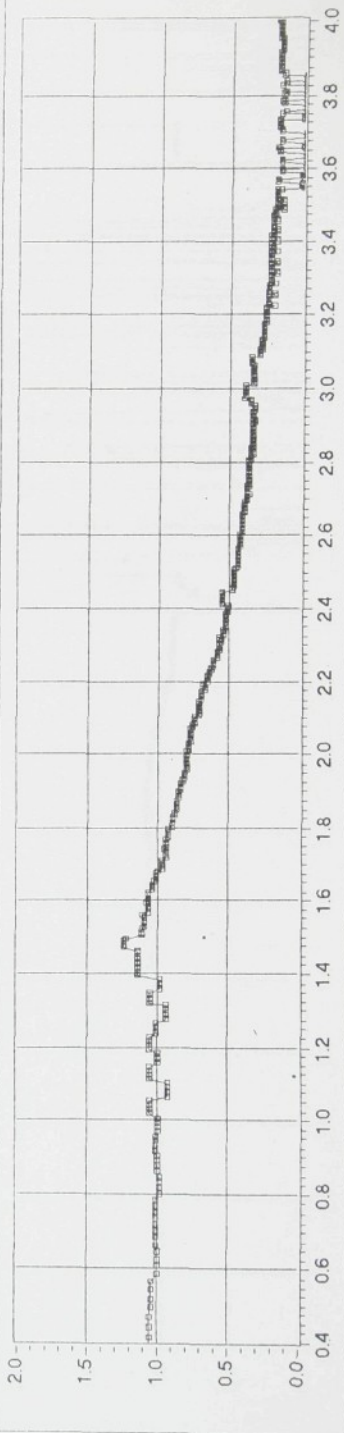
soubor K95H2DDY2

X: frekvence [Hz]

Y: buzení [mm], odezva [mm]

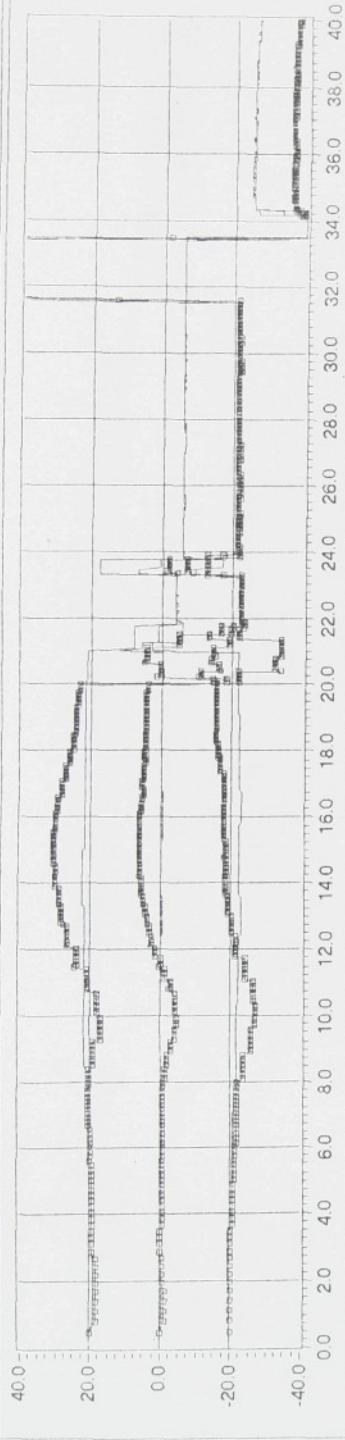


soubor K95H2SDY 2

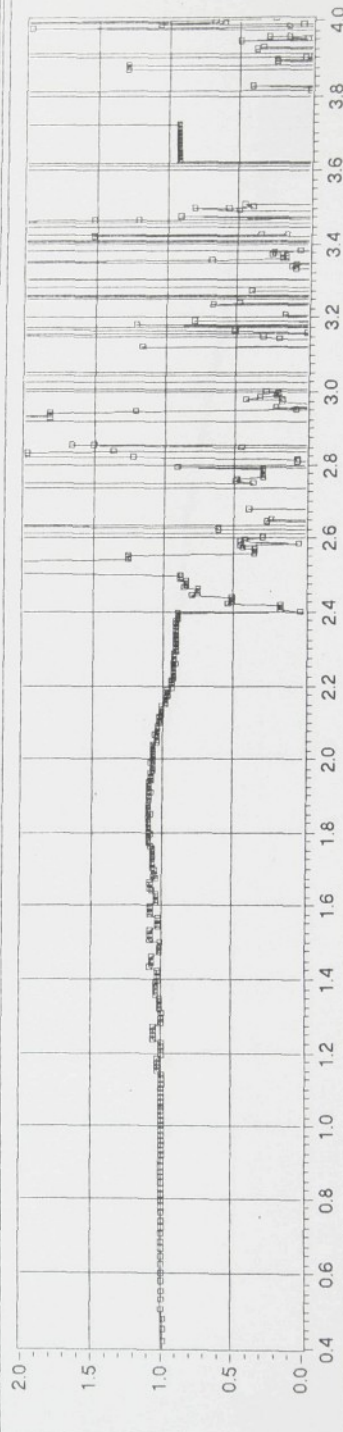
Y: přenos [1] Y_3/Z 

soubor K95H2SDY 2

Y. buzení [mm], odezva [mm]



soubor K95H2HDY3

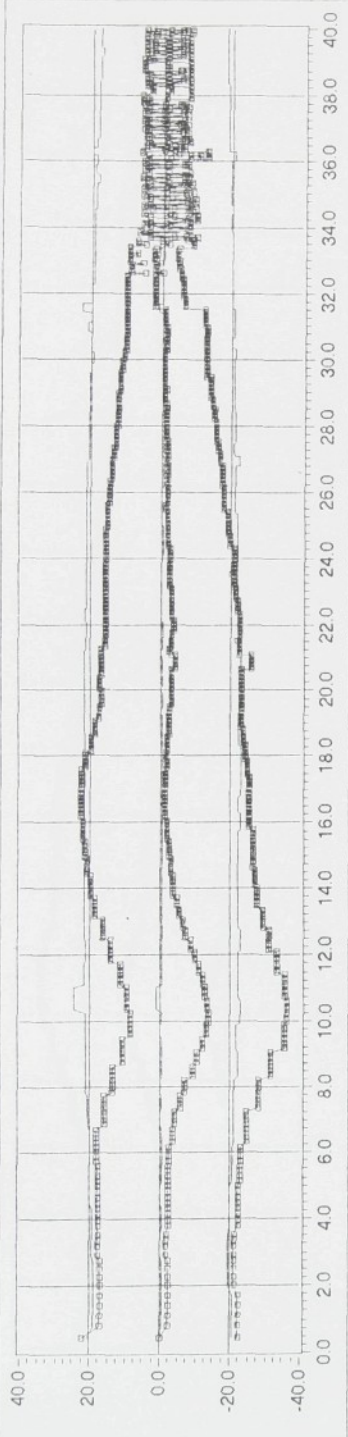
Y. prenos [1] Y_3/Z 

soubor K95H2HDY3

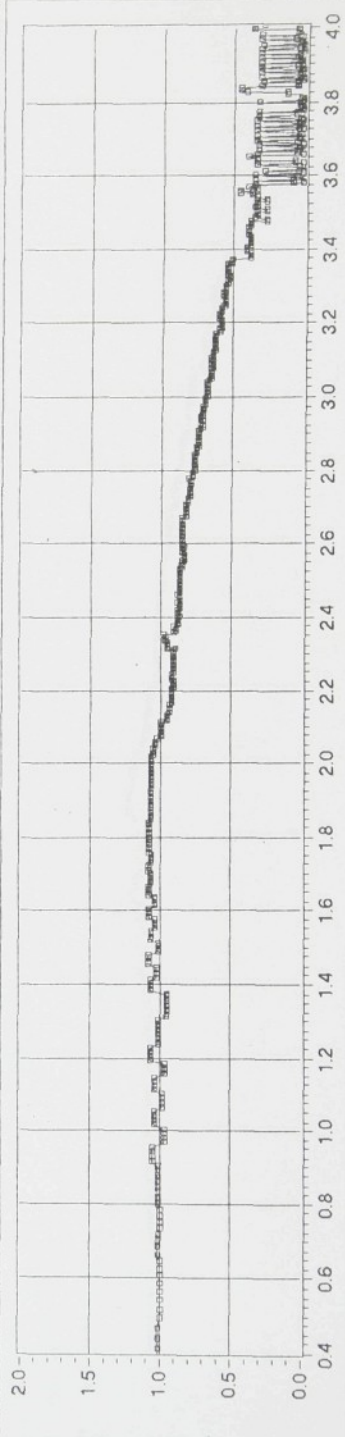
X cas [s]

X frekvence [Hz]

Y: buzení [mm], odezva [mm]

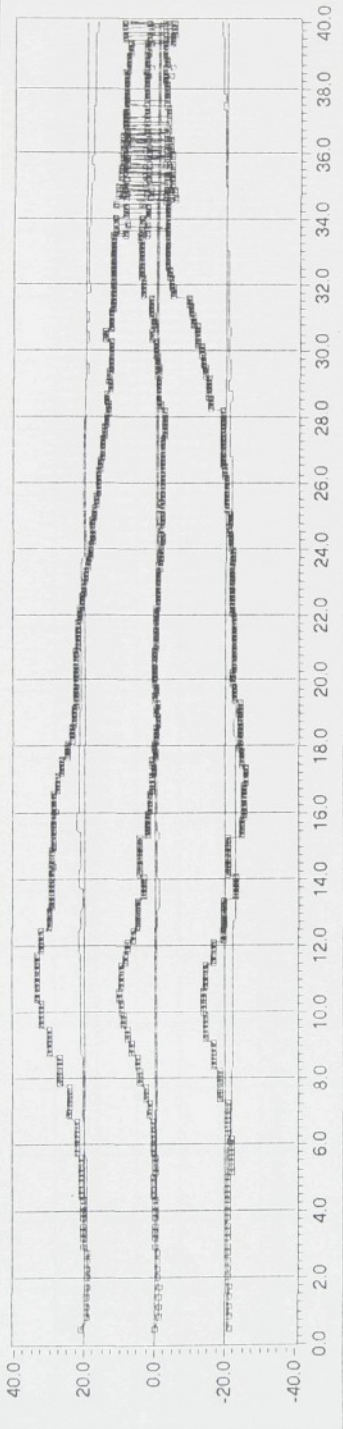


soubor K95H2SDY3

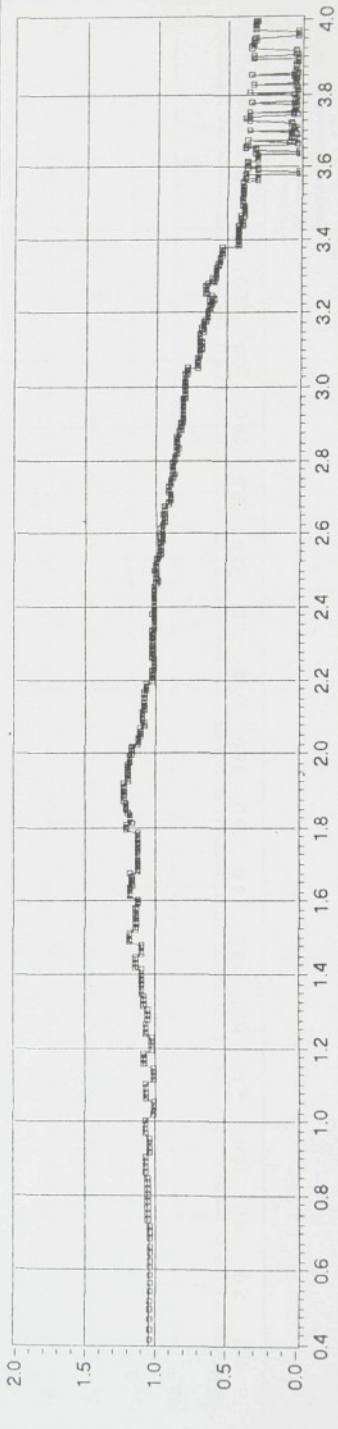
Y: prenos [1] \dot{Y}_3 / \dot{Z} 

X: frekvence [Hz]

Y: buzení [mm], odezva [mm]



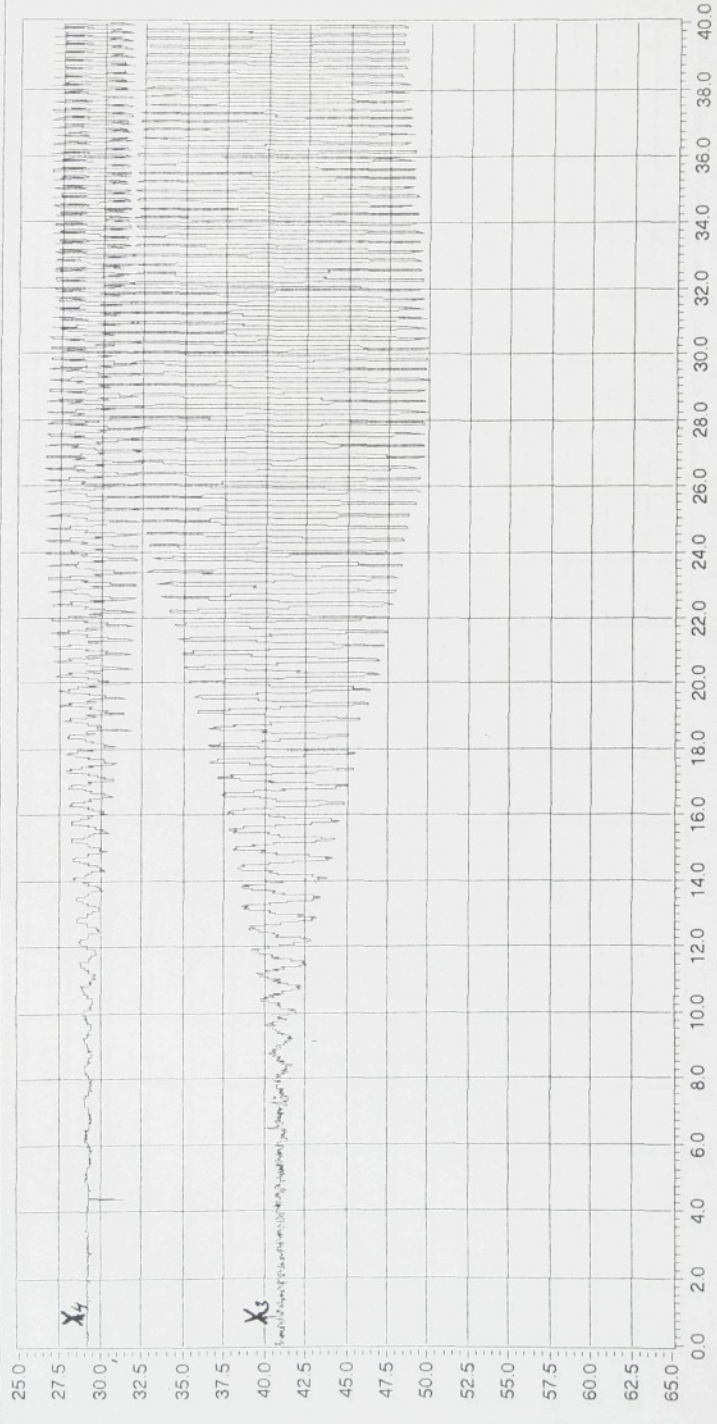
soubor K95H2DDY3

Y: přenos [1] Y_3/Z 

soubor K95H2DDY3

[Y: zdvih tela [mm], zdvih hlavy [mm]]

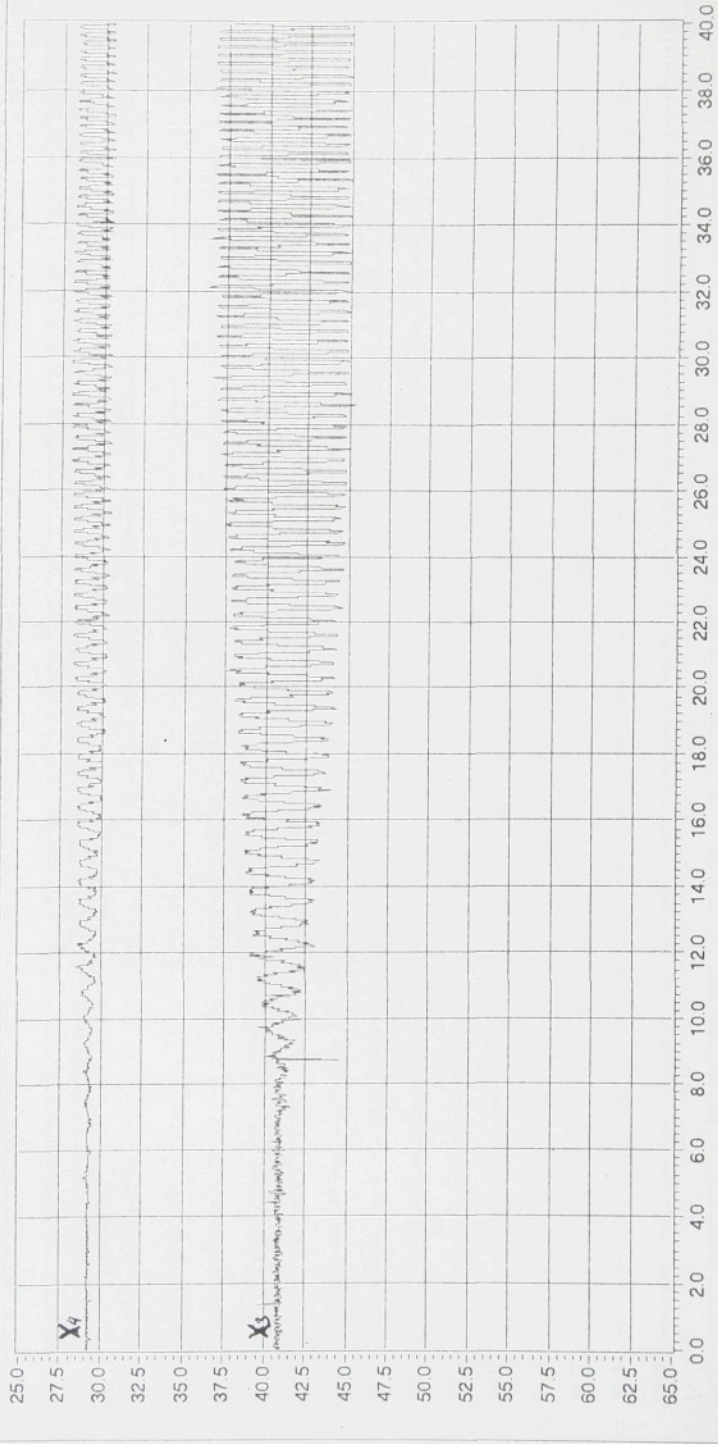
[soubor K9512DDY 3]



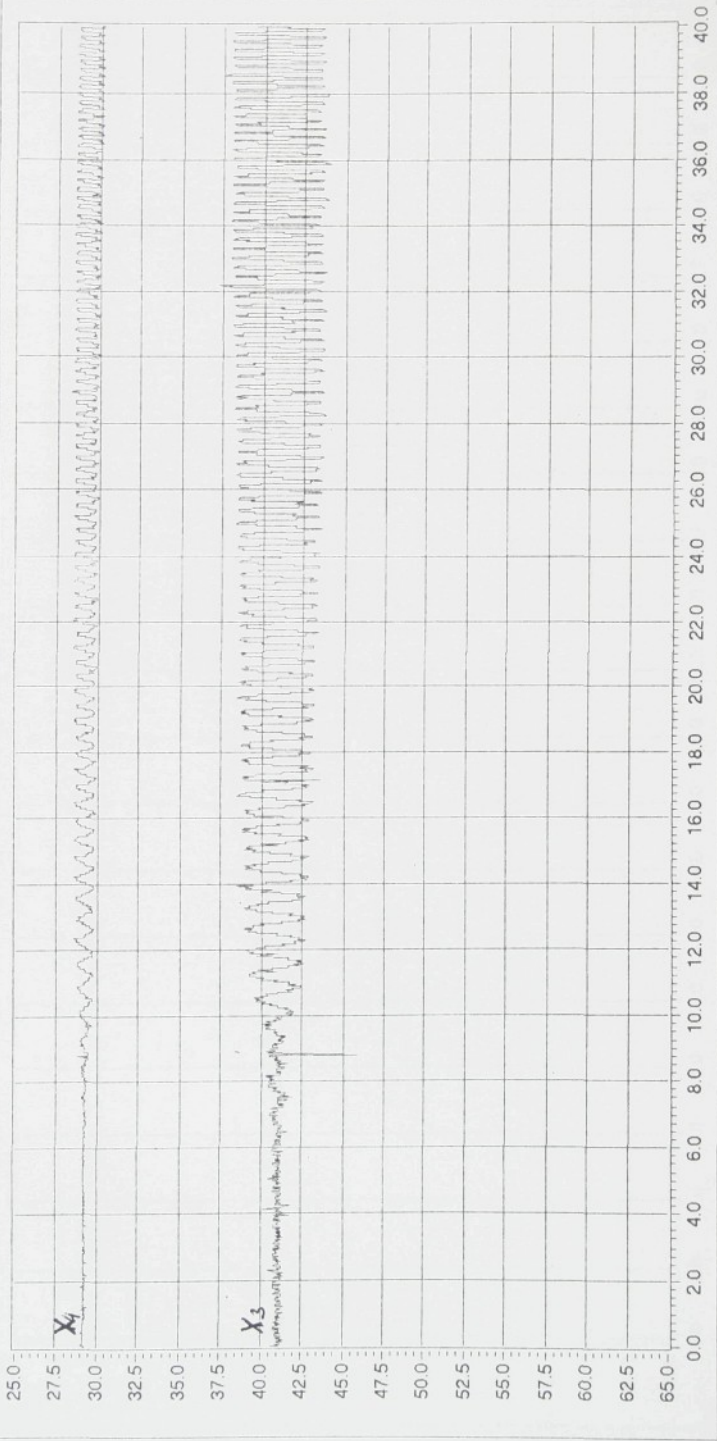
[X: cas [s]]

Y: zádív tela [mm], zádív hlavu [mm]

soubor K95H2DDY 2



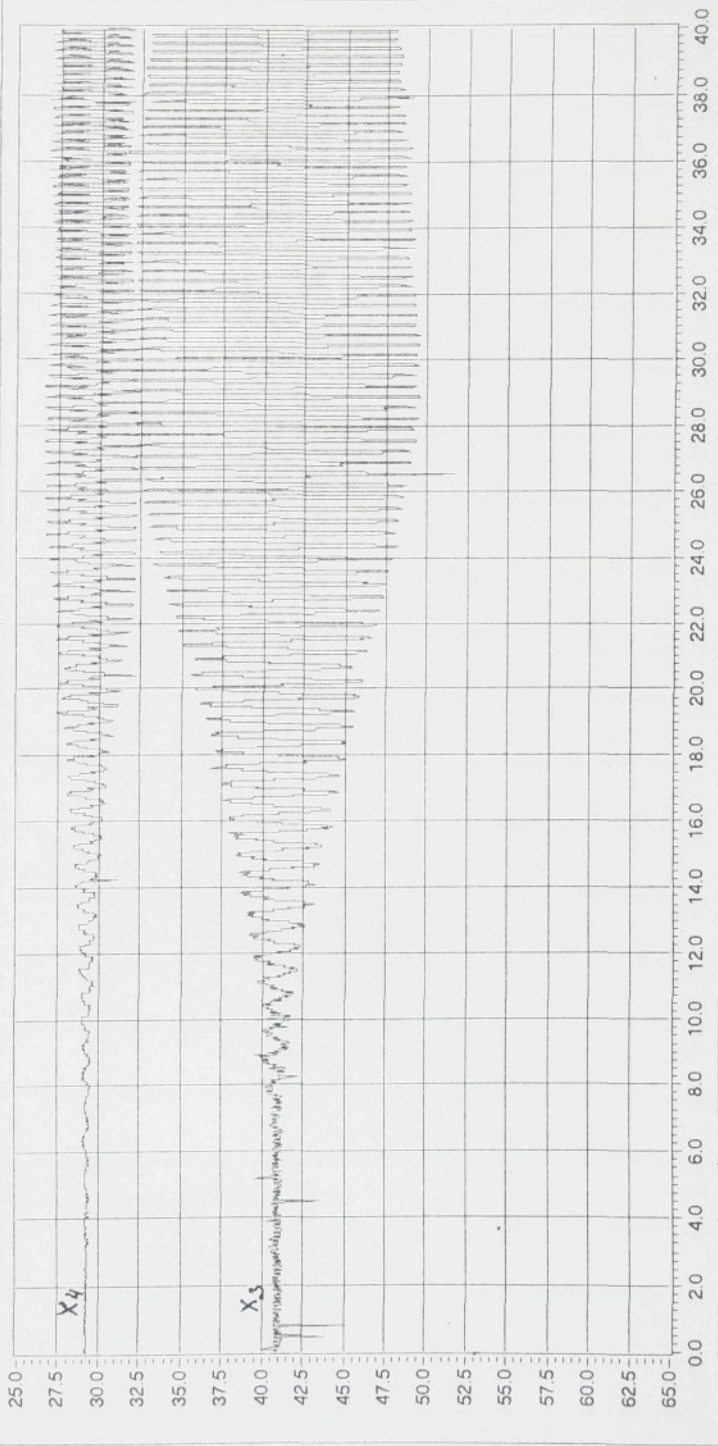
Y: zdvih telá [mm] zdvih hlavy [mm]



soubor K95H2DDY.1

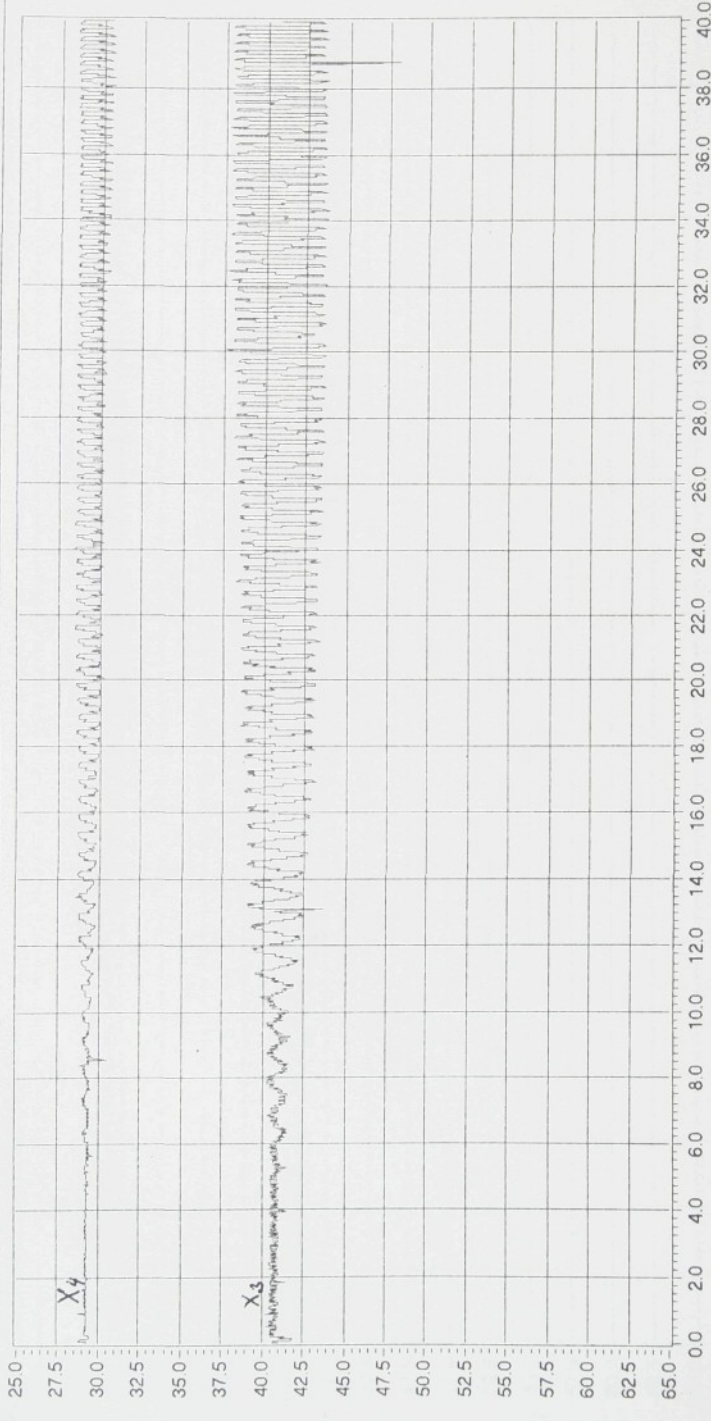
X cas [s]

soubor: K95H2SDY 3



Y: zdvih tela [mm], zdvih hlavy [mm]

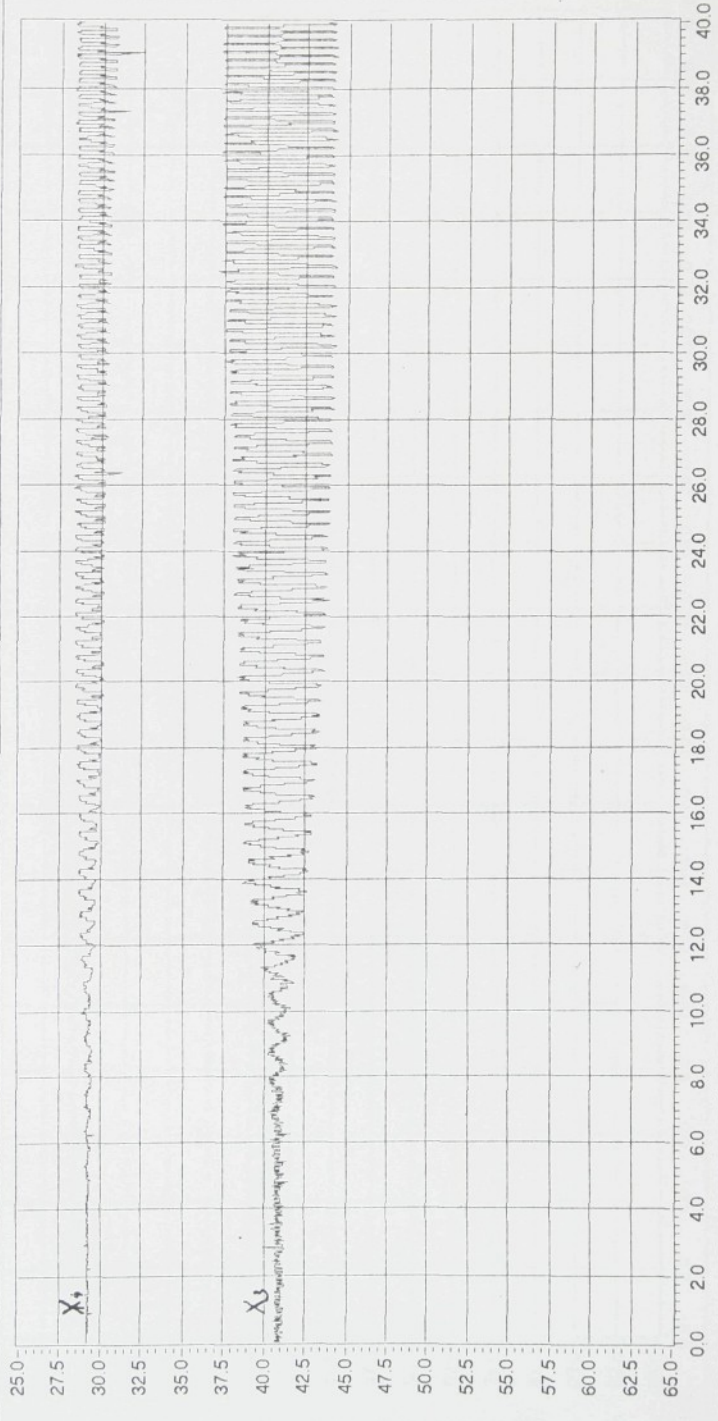
soubor K95H2SDY.1



X: čas [s]

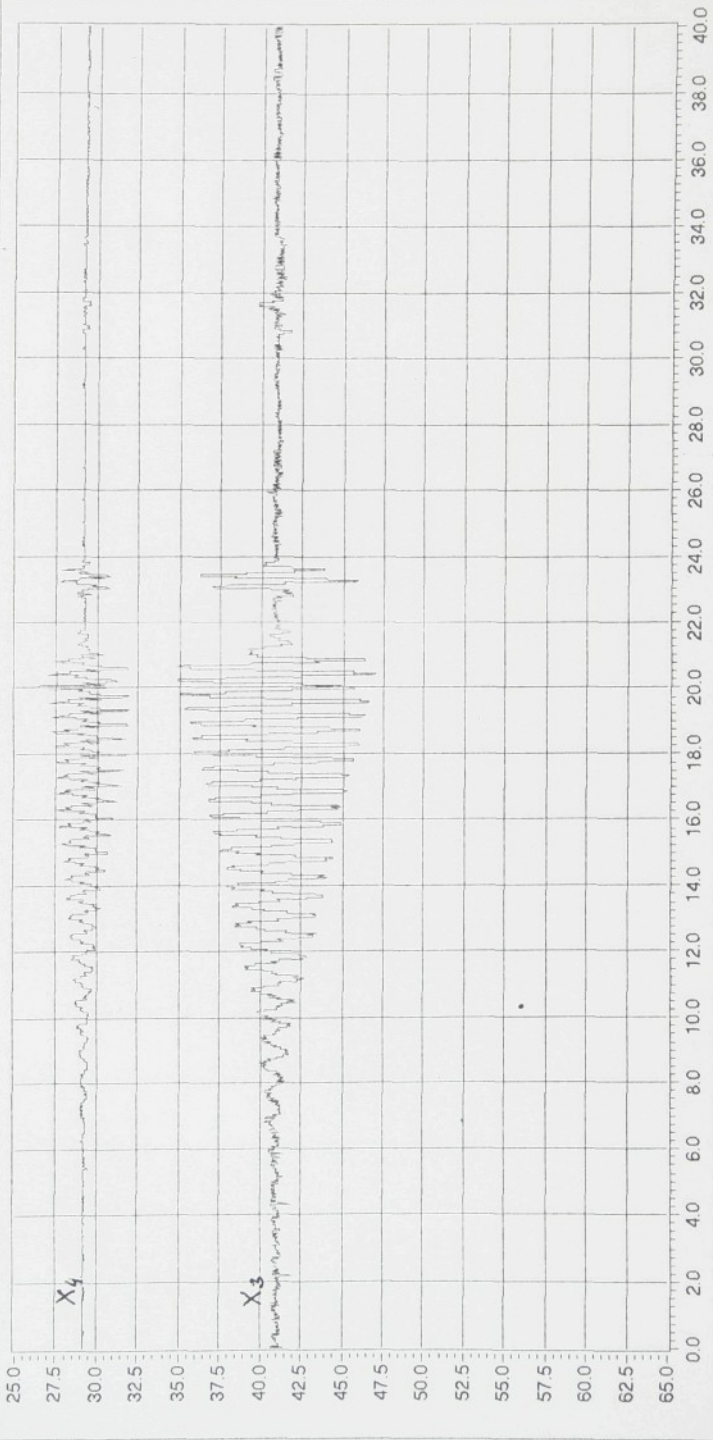
Y: zdvih tela [mm], zdvih hlavy [mm]

[saúbor K95H2SDY 2]



X: cas [s]

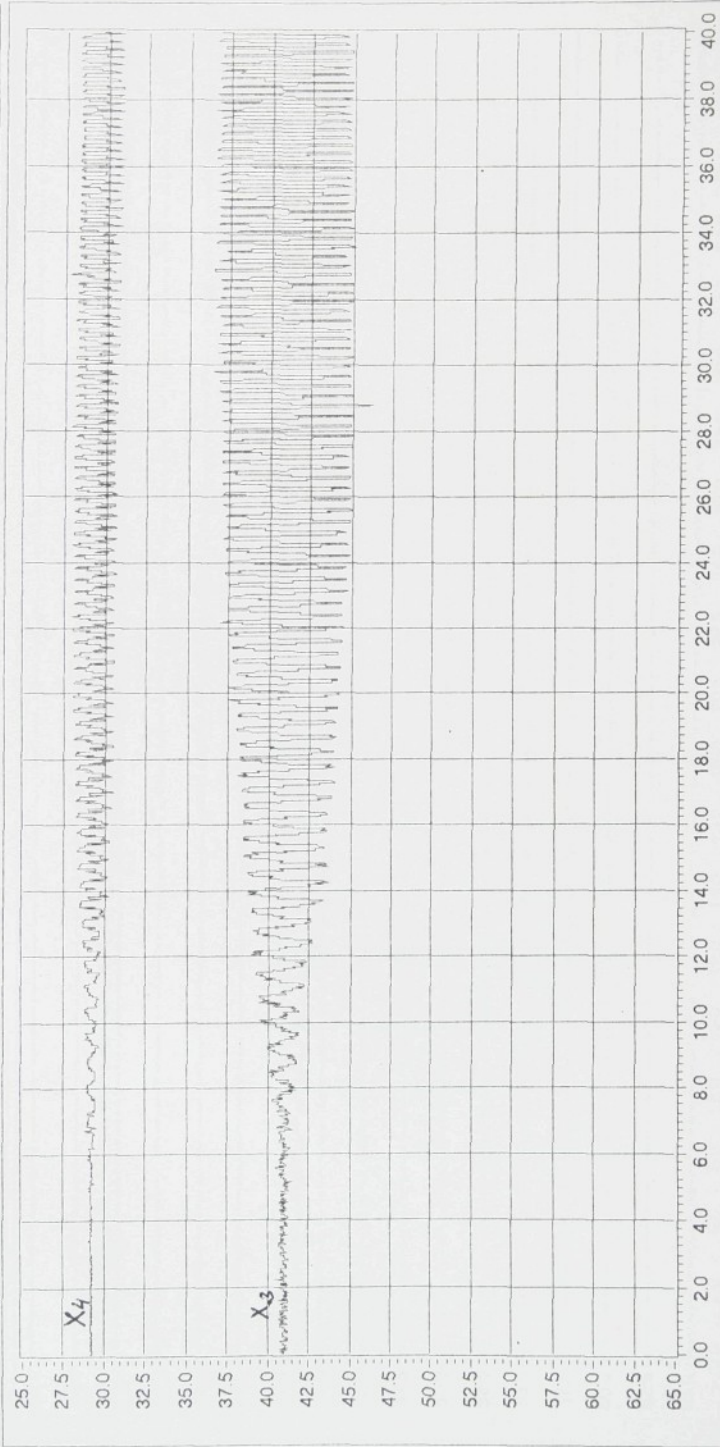
Y: zdvih tela [mm], zdvih hlavy [mm]



X: cas [s]

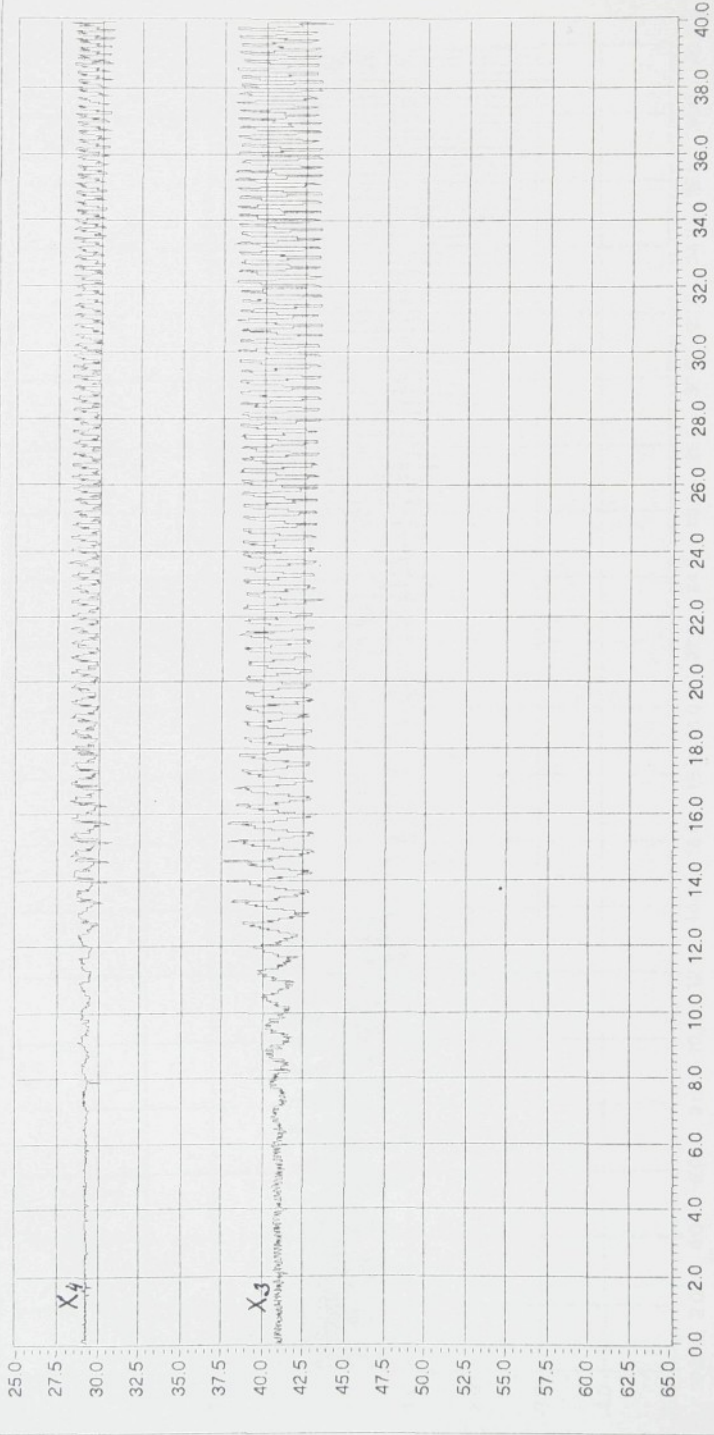
soubor K95H2HDY 2

Y: zdvih tela [mm], zdvih hlavy [mm]

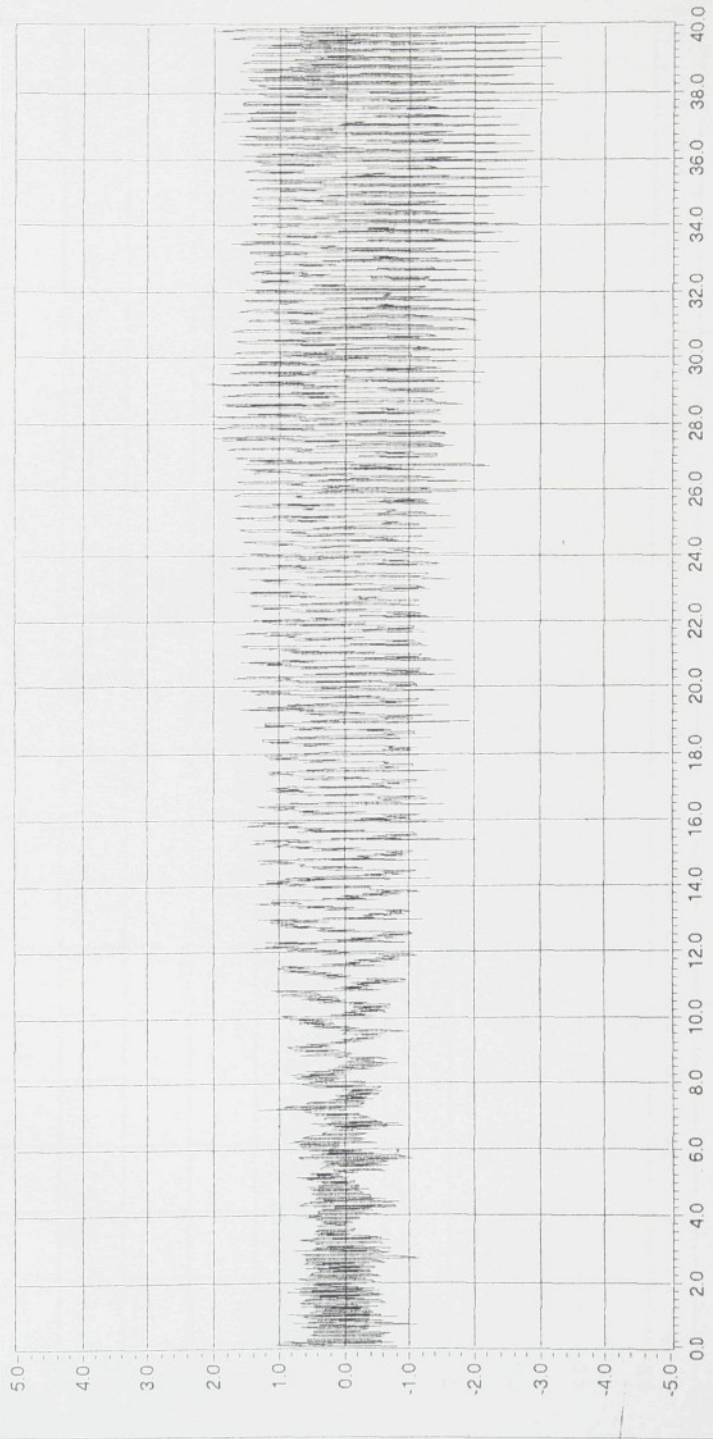


Y: zdvih tela [mm], zdvih hlavy [mm]

soubor K95H2HDY 1

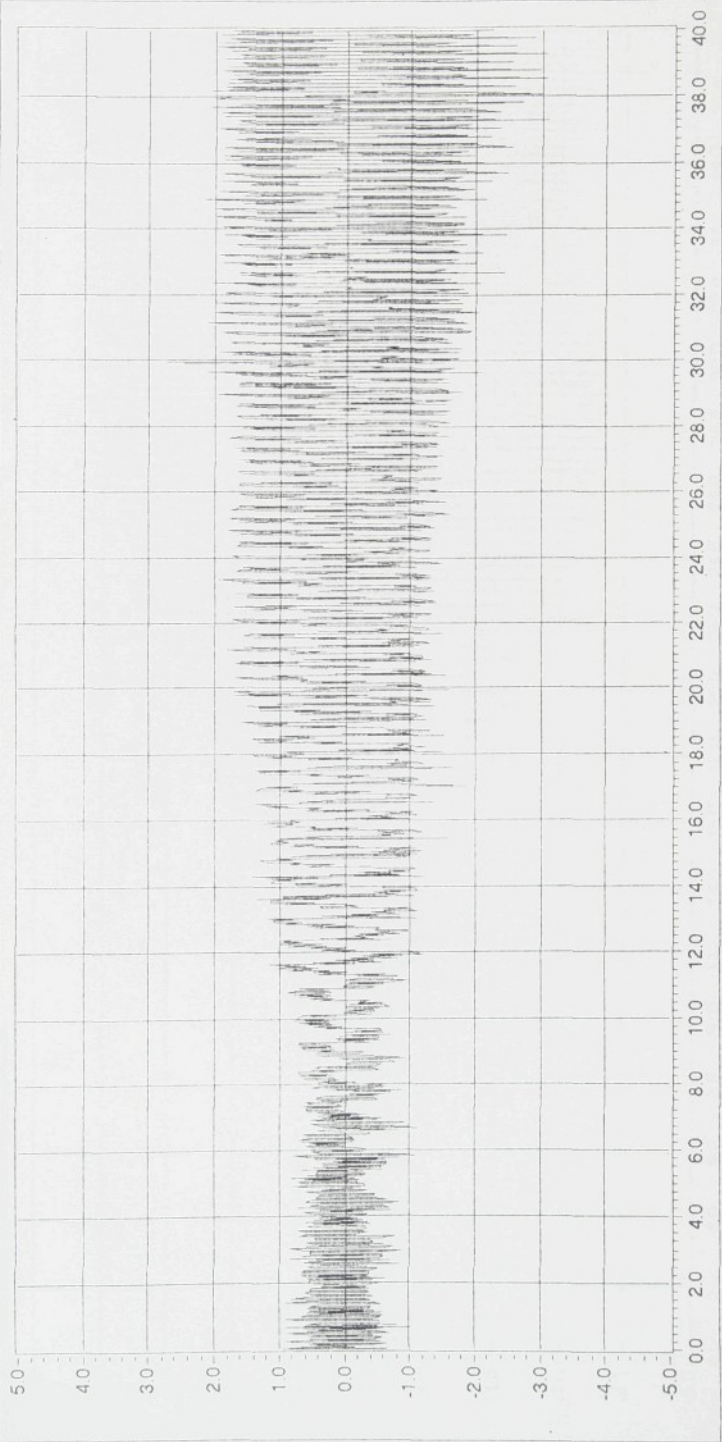


soubor K95H2SDY 1

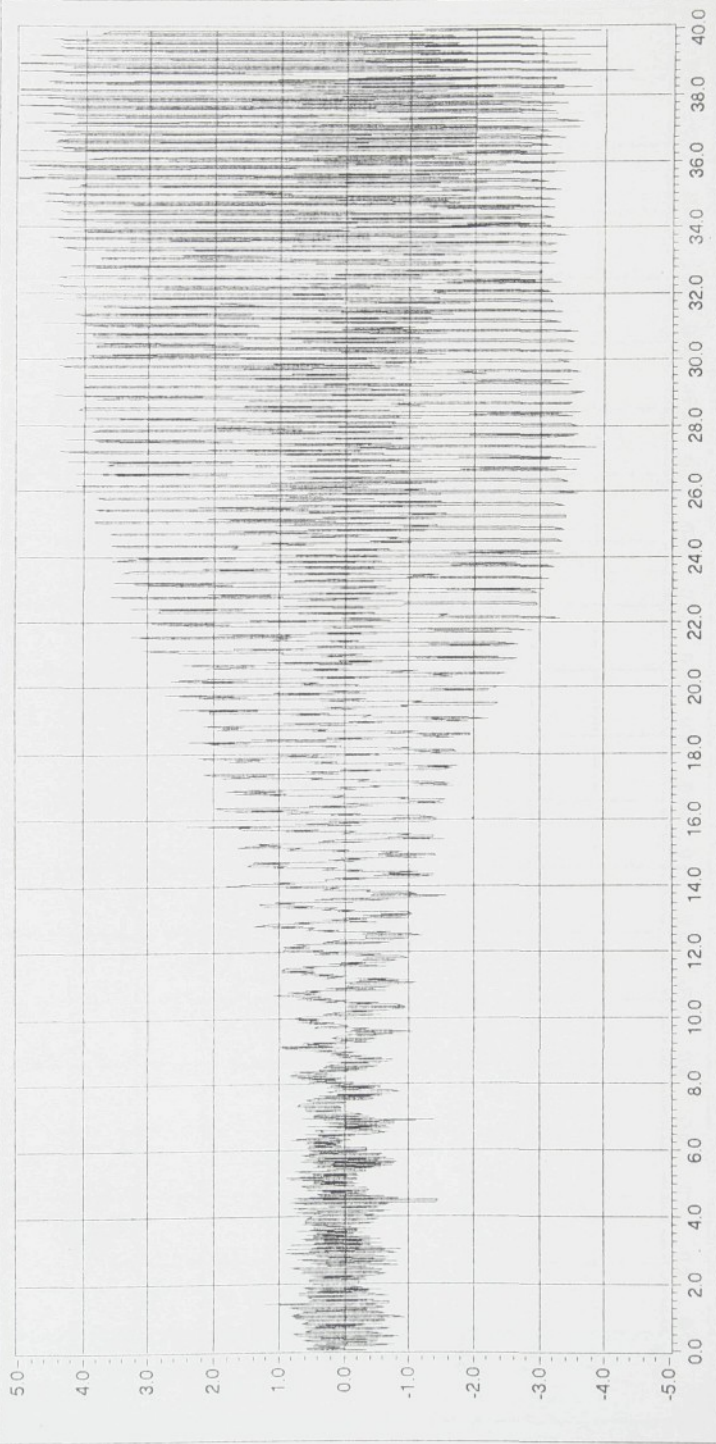
Y zrych panák [m/s²]

X cas [s]

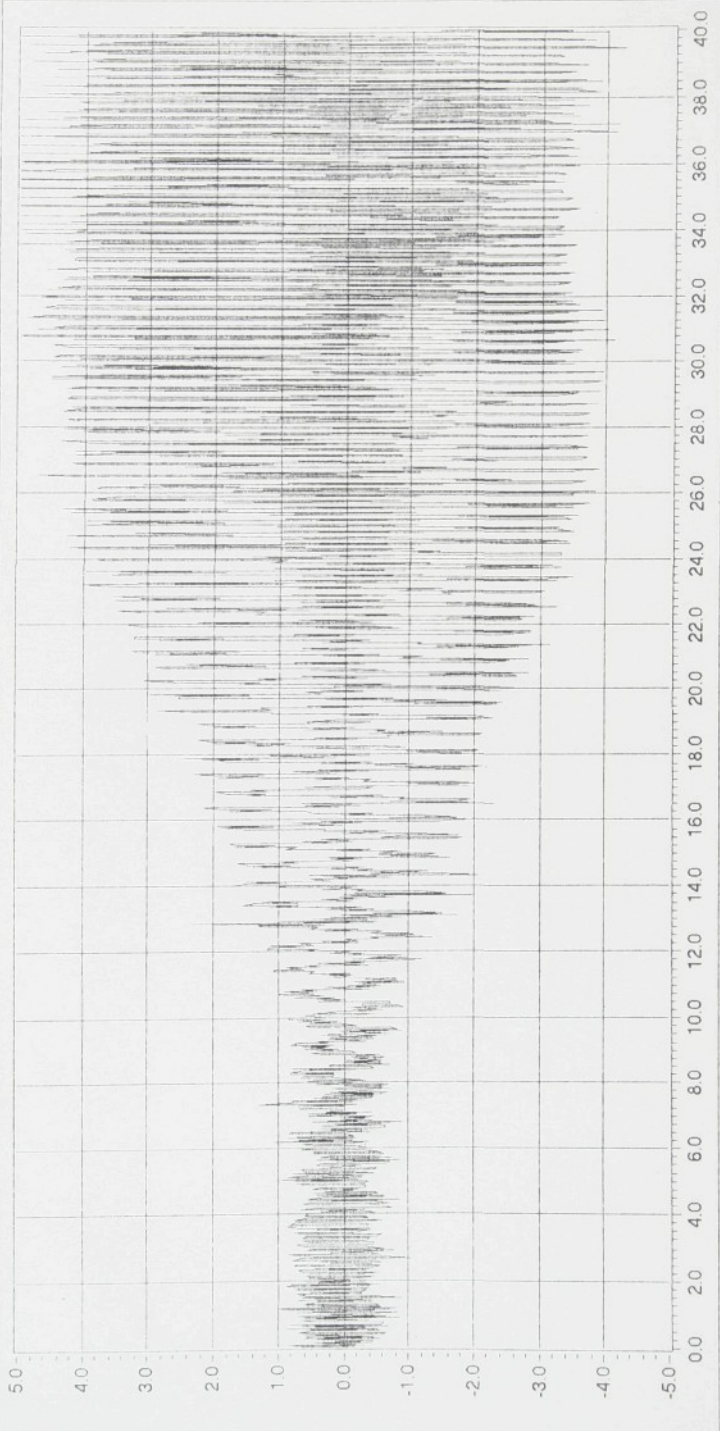
soubor K95H2SDY2



Soubor K95ti2SDY 3

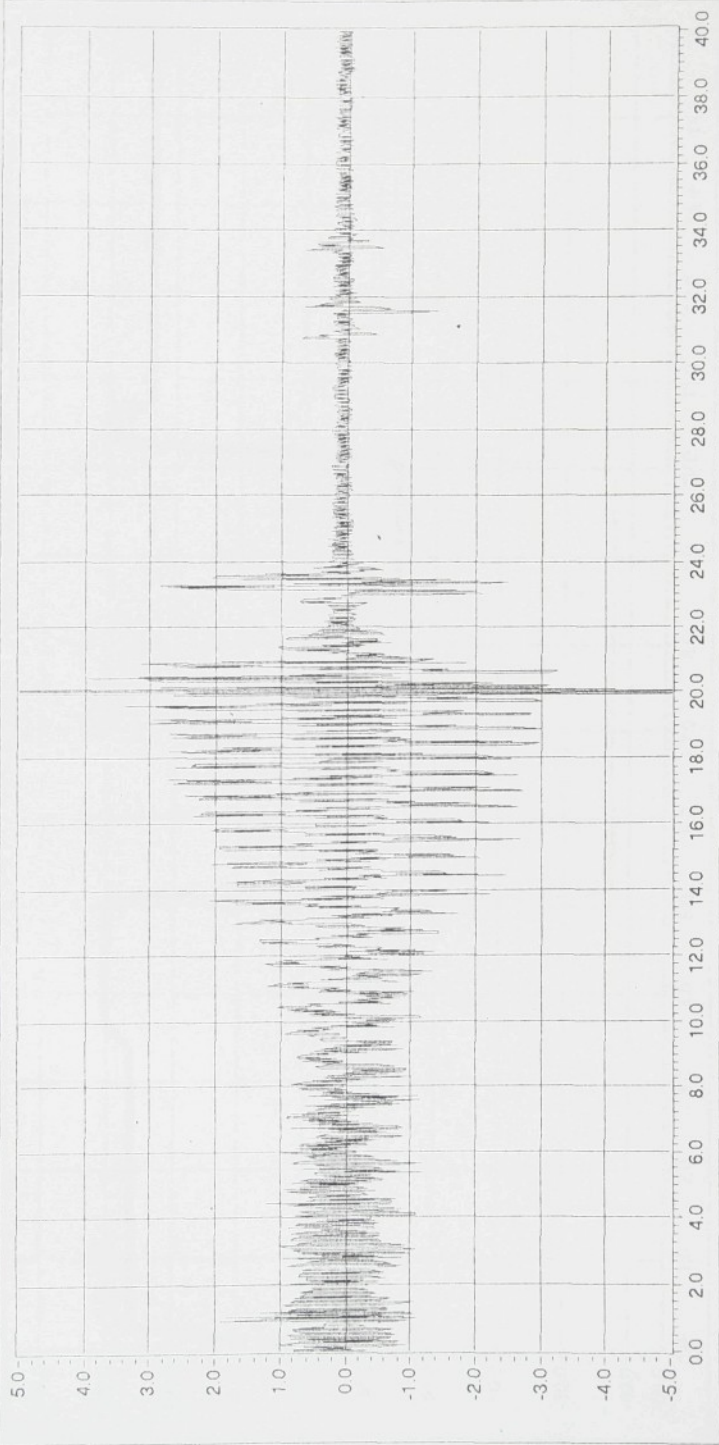
Y: zrych panák [m/s²]

X: čas [s]



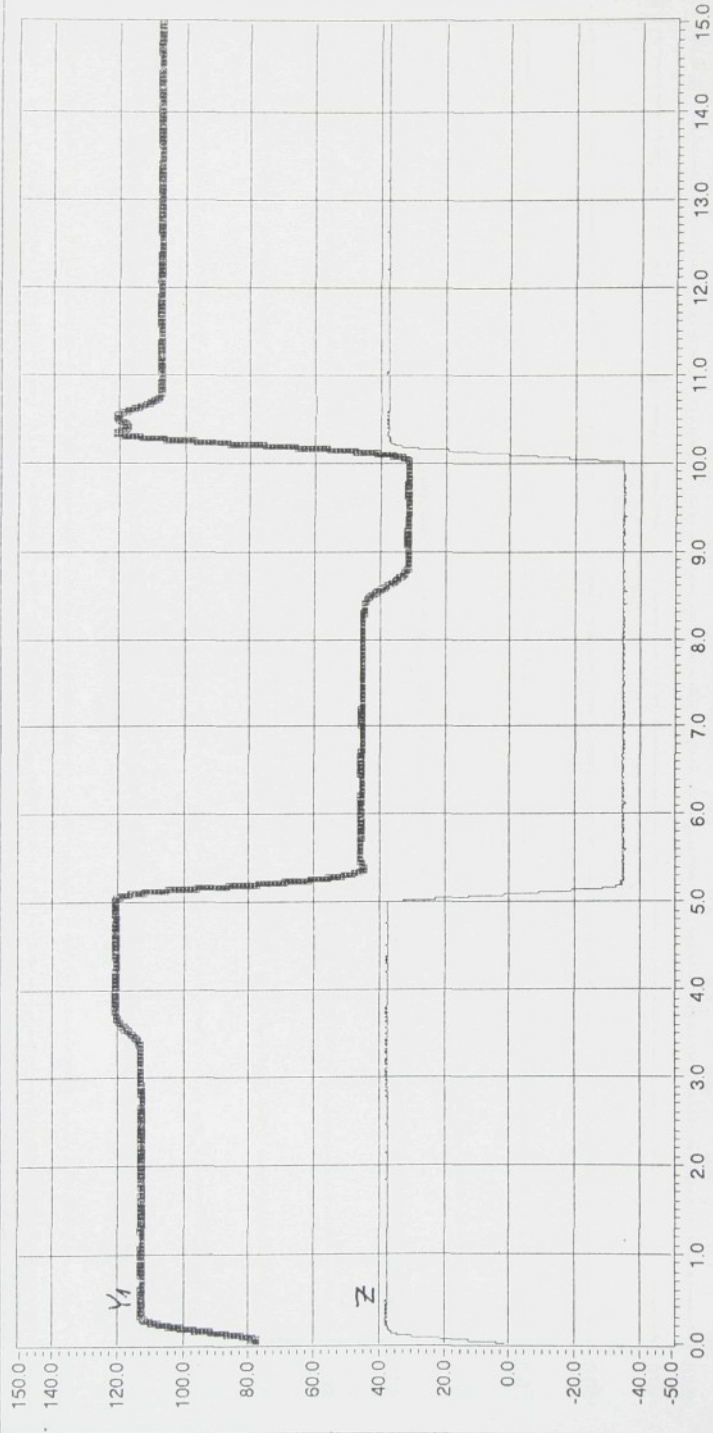
soubor K95h2DDY 3

soubor K95H2HDY3



X: cas [s]

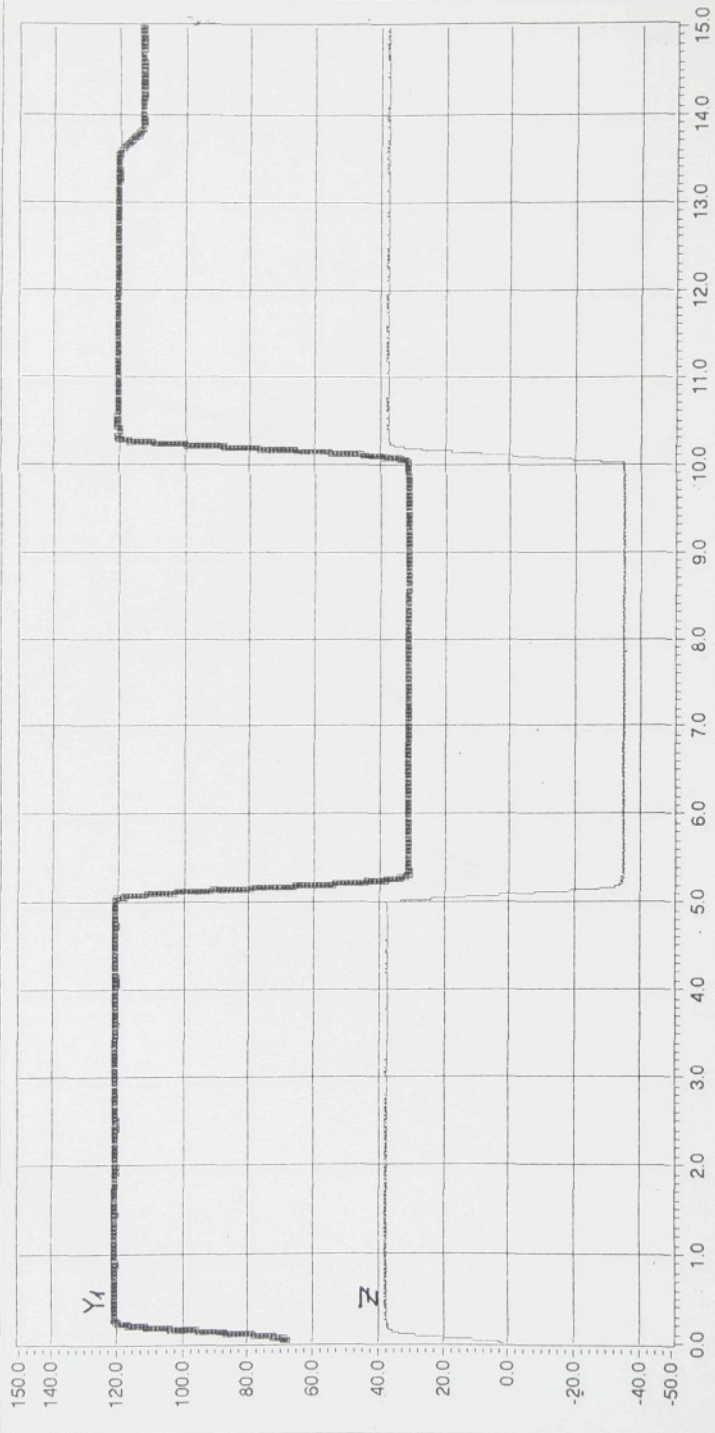
Y: buzení [mm], odezva [mm]



X: cas [s]

soubor: KCO2S40 S

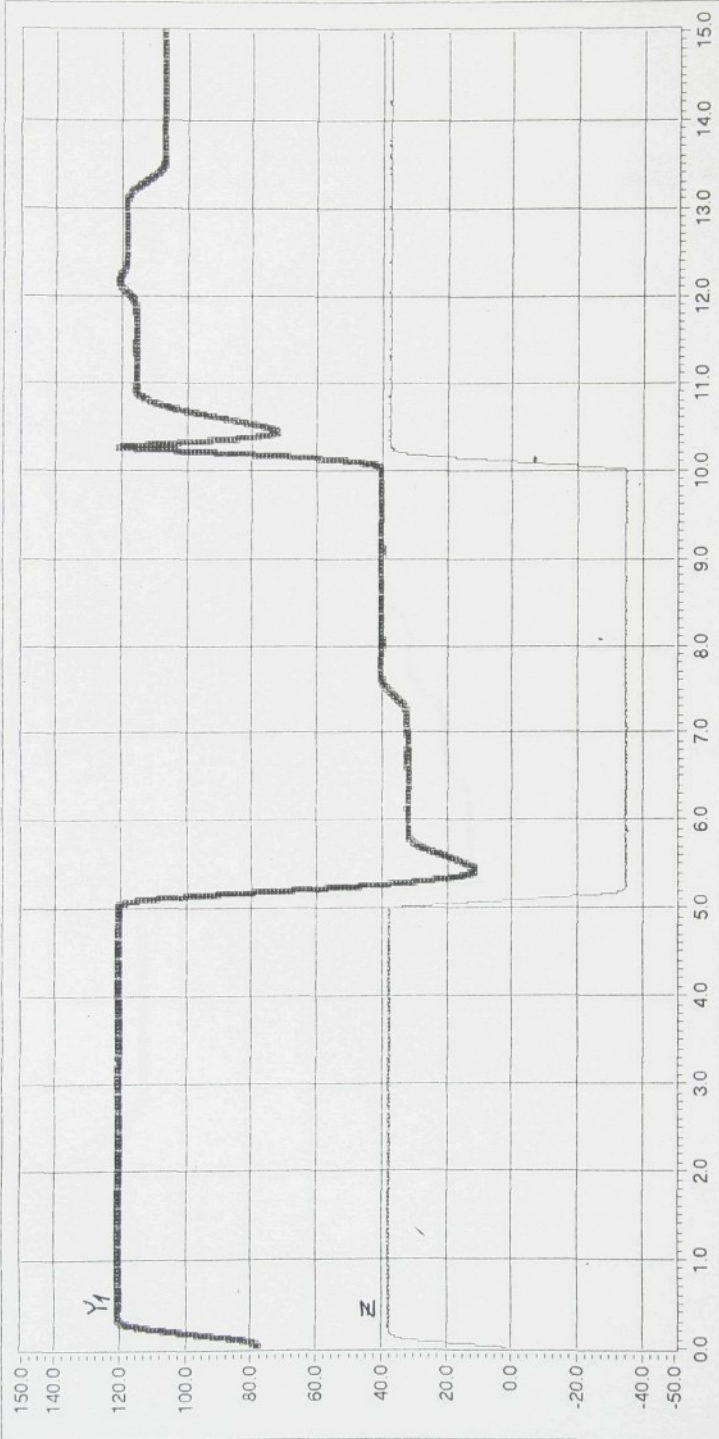
Y: buzení [mm], odezva [mm]



X: cas [s]

Y: buzení [mm], odezva [mm]

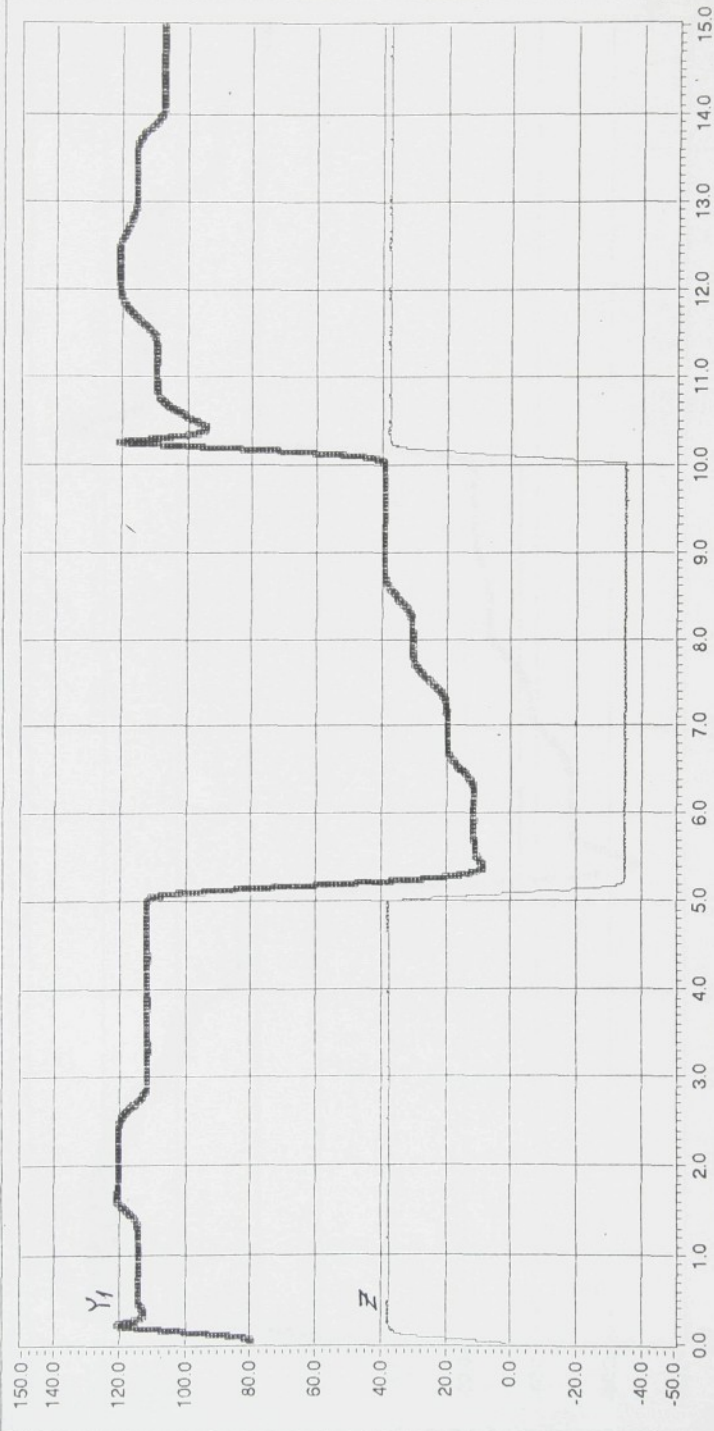
soubor: KCO2S80.M



X: čas [s]

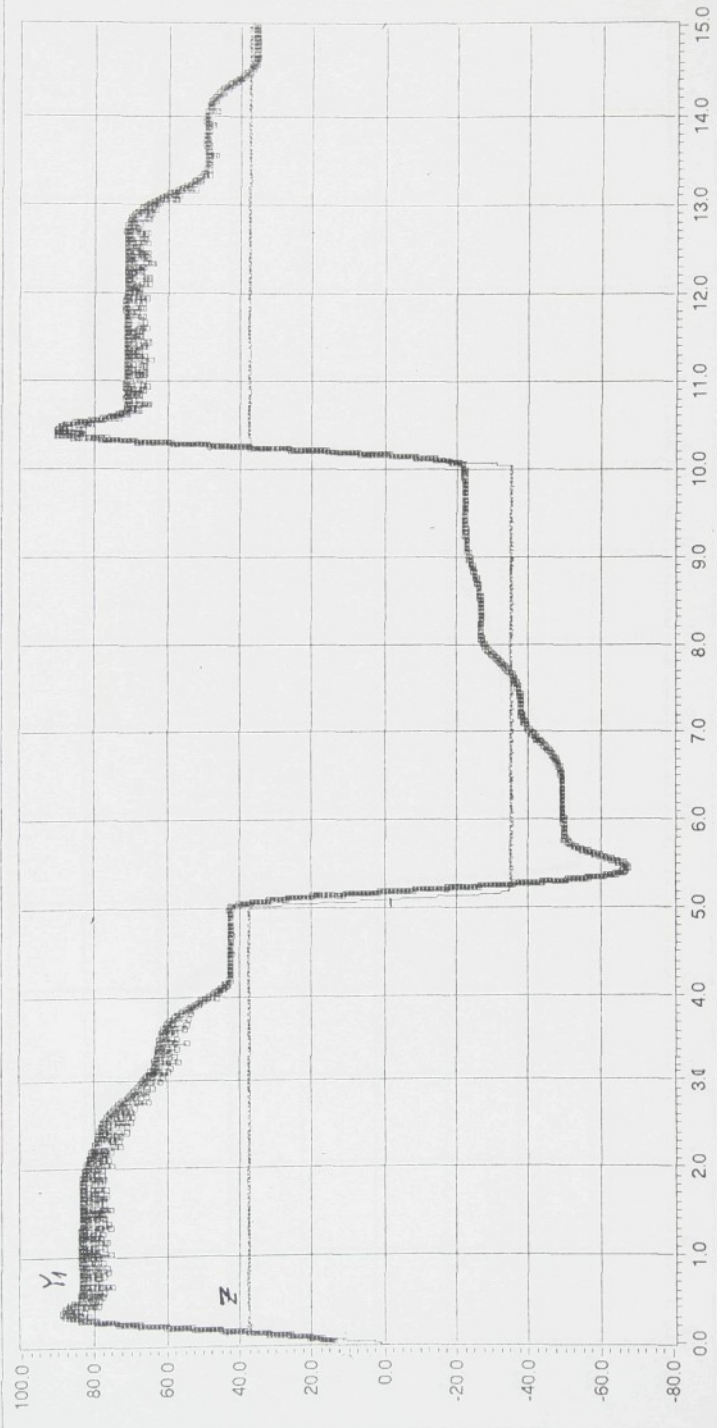
soubor KCO2380.S

X: cas [s]



Y: buzeni [mm], pod sed [mm]

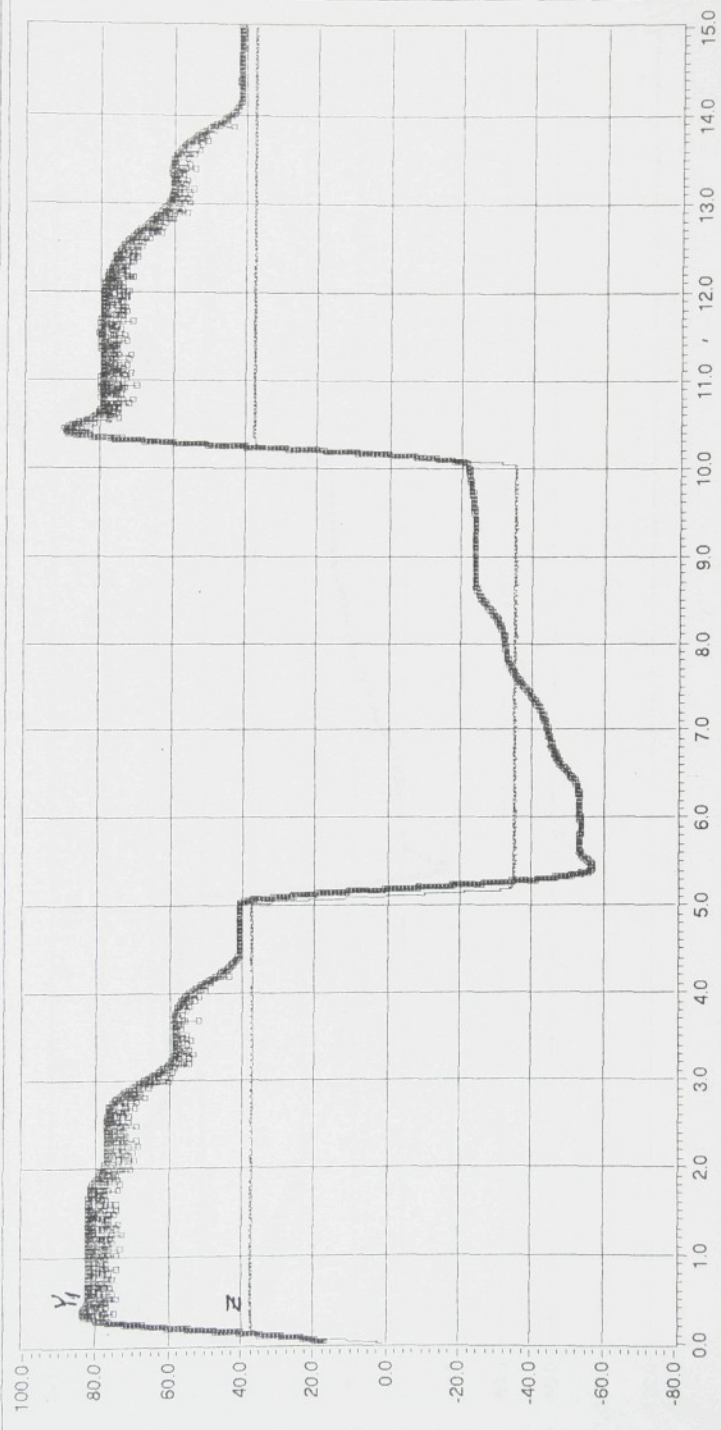
soubor K9502SDY1



X: cas [s]

soubor K9502SDY.2

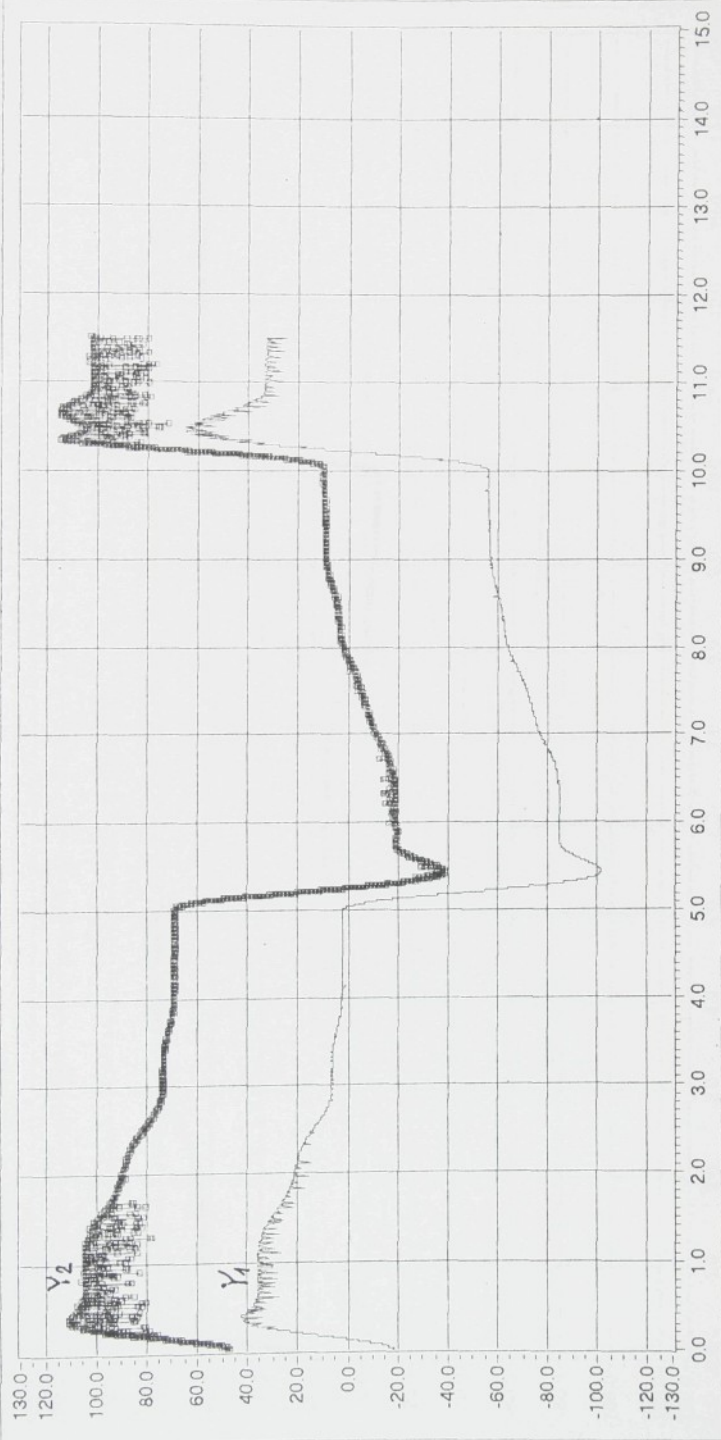
Y: buzení [mm], poč. sed [mm]



X: cas [s]

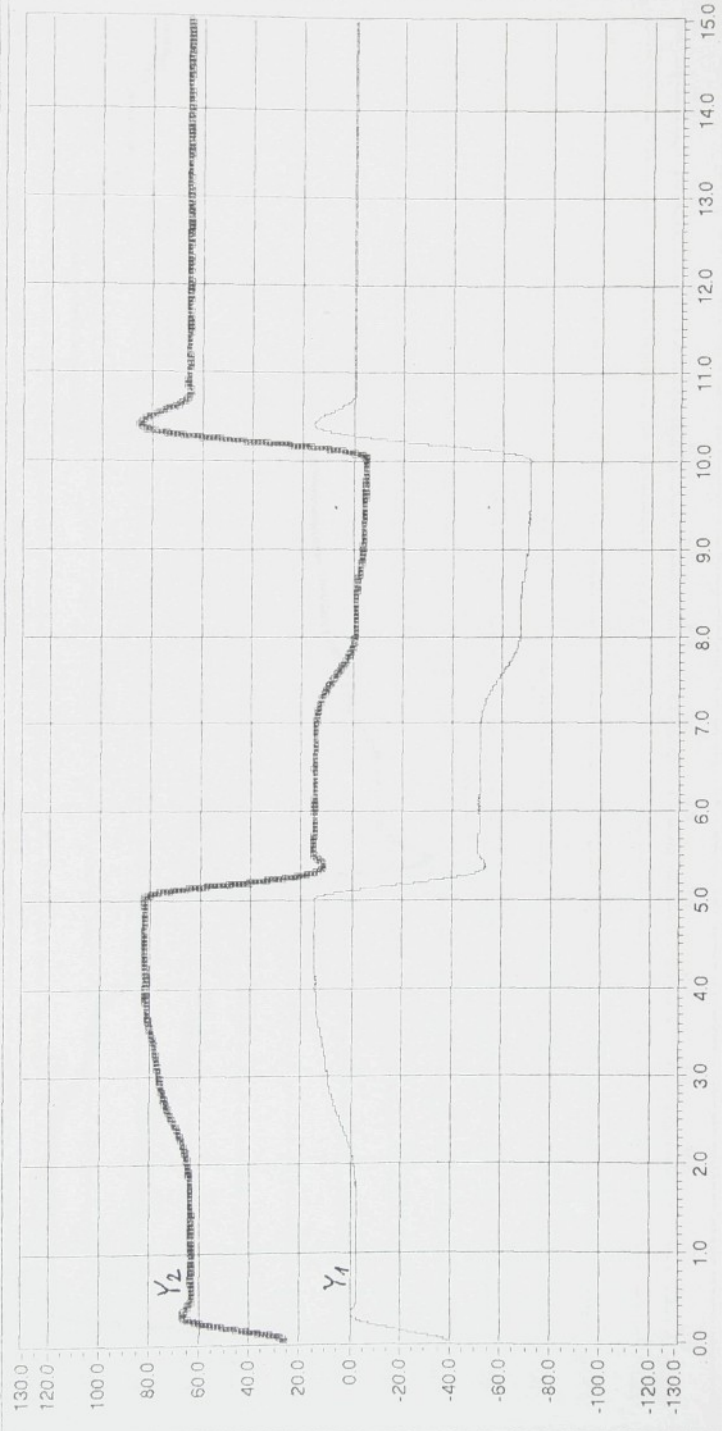
soubor K9502DDY1

Y pod sed [mm] pod panák [mm]



X cas [s]

Y pod sedadlo [mm], pod panák [mm]



soubor K95C02DDY2

X cas [s]

soubor K9502SDY.1

Y pod sed [mm] pod panák [mm]



X cas [s]

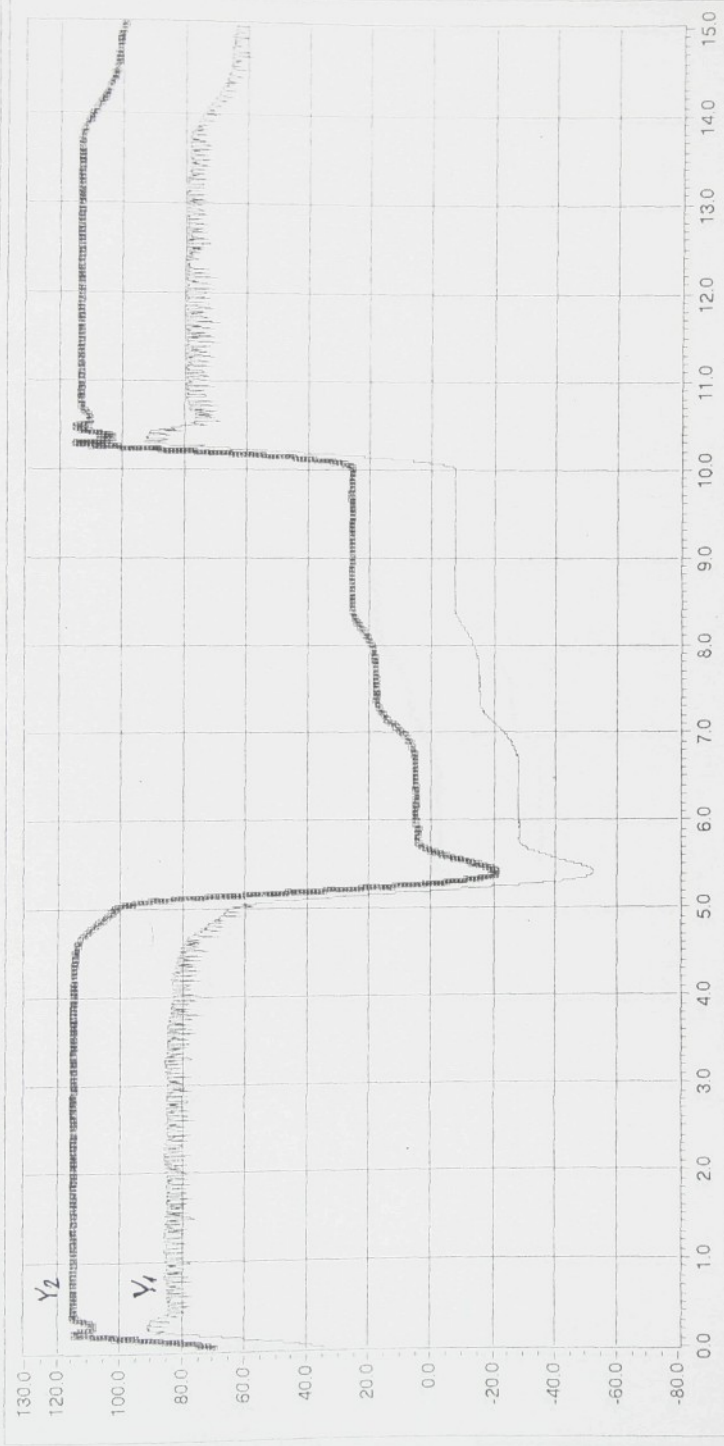
soubor K9502SDV2

γ pod sed [mm] pod panak [mm]



X: cas [s]

soubor K95O2HDY 1

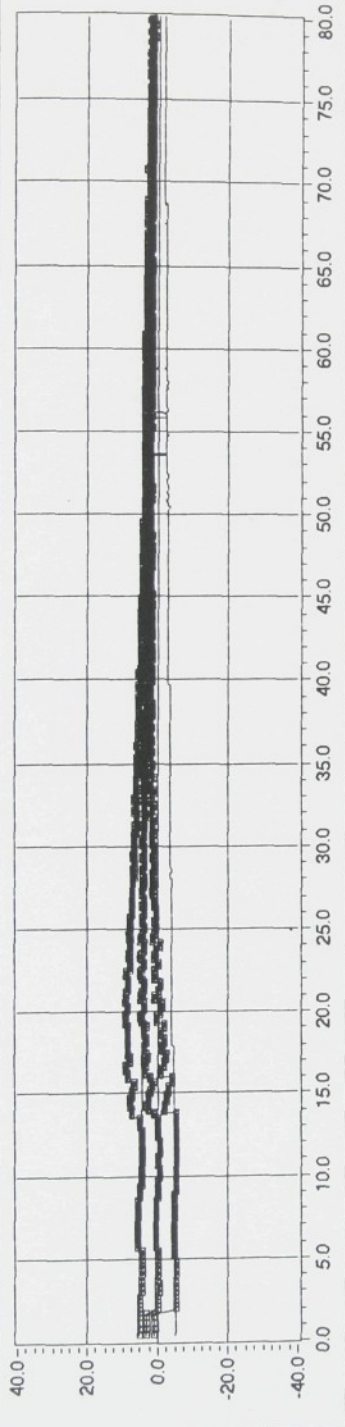
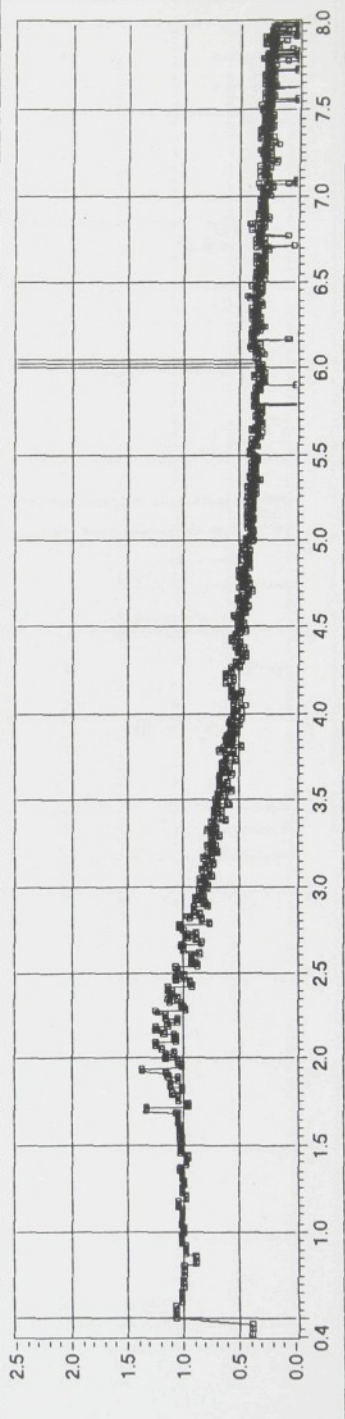


X cas [s]

soubor K95O2HDY.2



Y: buzení [mm], odězva [mm]

Y: přenos [1] Y_1/Z 

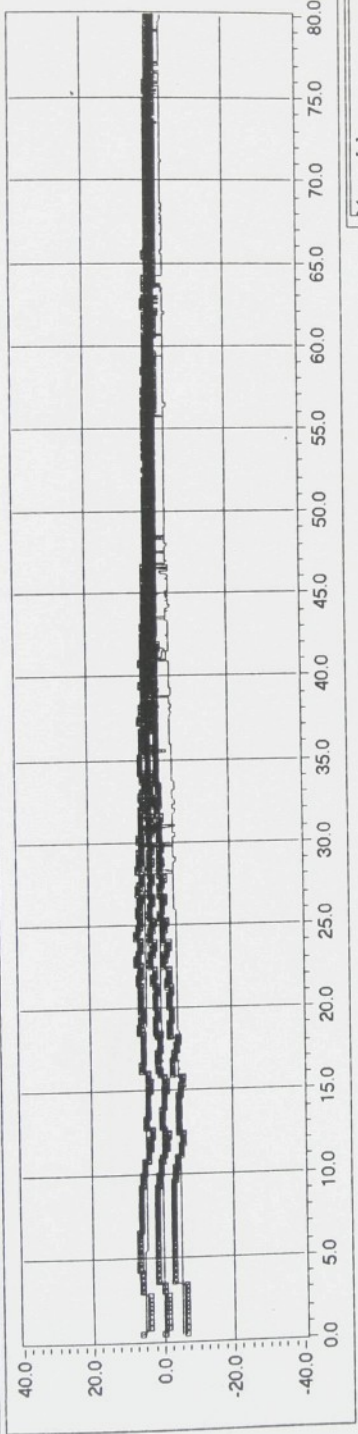
soubor: ISRH1D40.M

X: čas [s]

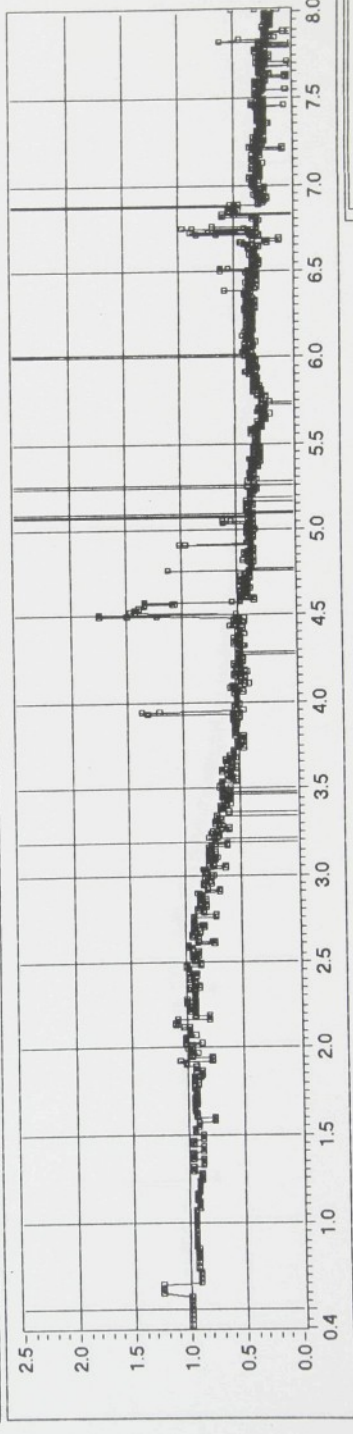
soubor: ISRH1D40.M

X: frekvence [Hz]

súbor: ISRH1S40.M
Y: buzeni [mm], odzva [mm]



Y: prenos [1] \dot{Y}_1 / \dot{Z}

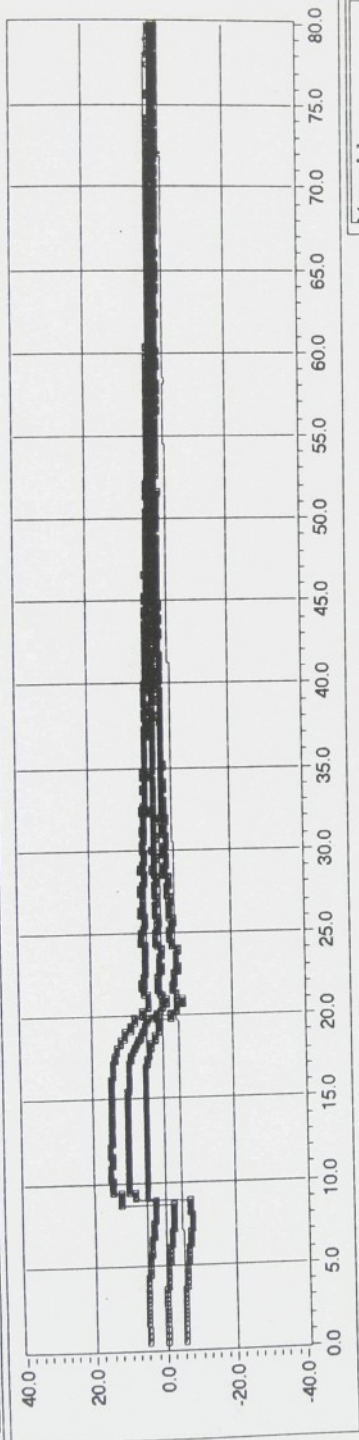


X: frekvencia [Hz]

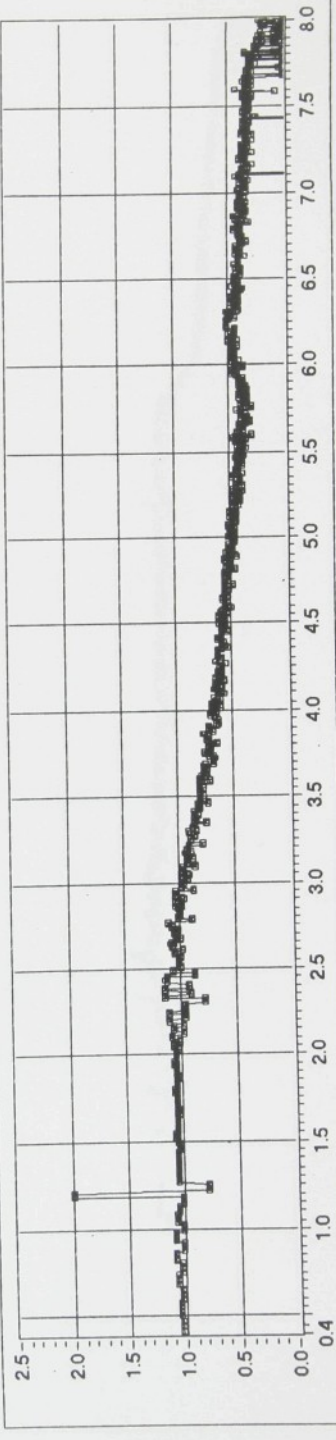
súbor: ISRH1S40.M
X: cas [s]

súbor: ISRH1S40.M
X: cas [s]

Y: buzení [mm], odzvava [mm]

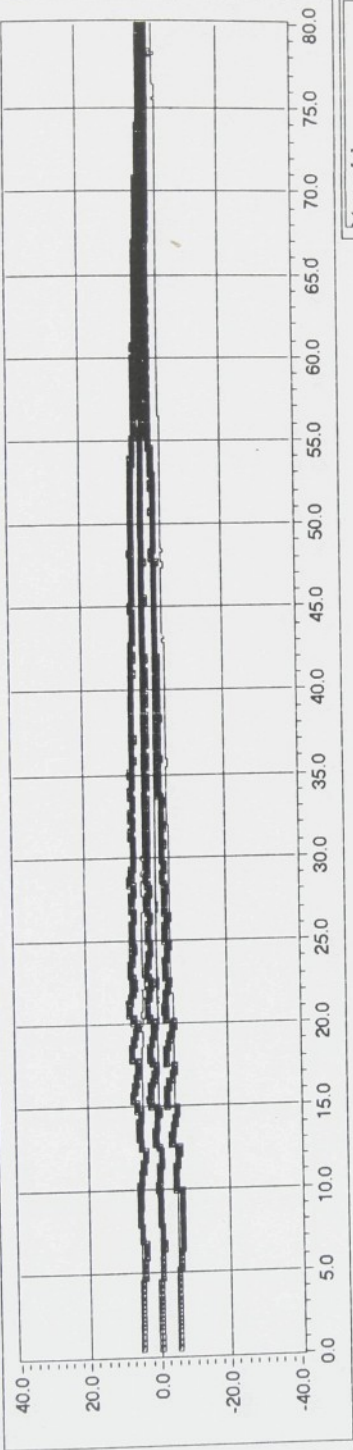
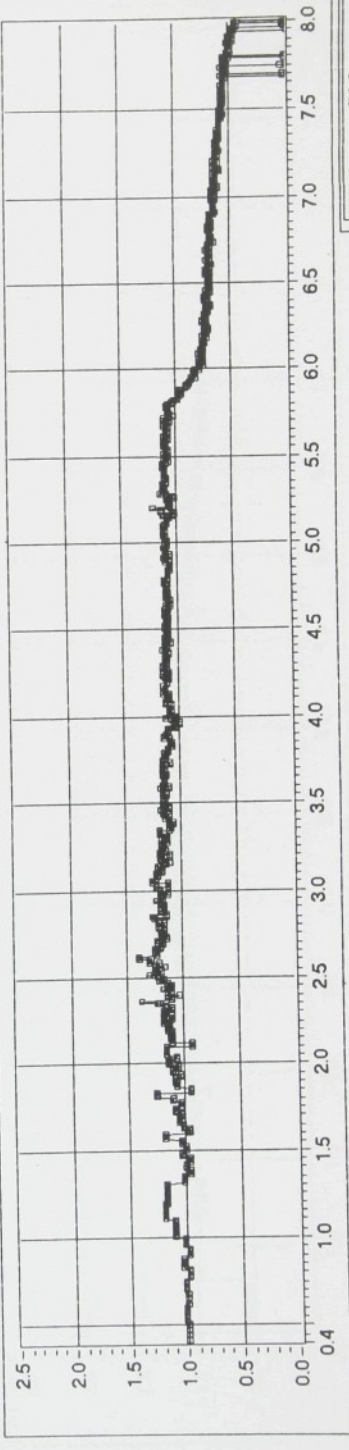


soubor: ISRH1H40.M

Y: prenos [1] γ_1/γ_2 

X: frekvence [Hz]

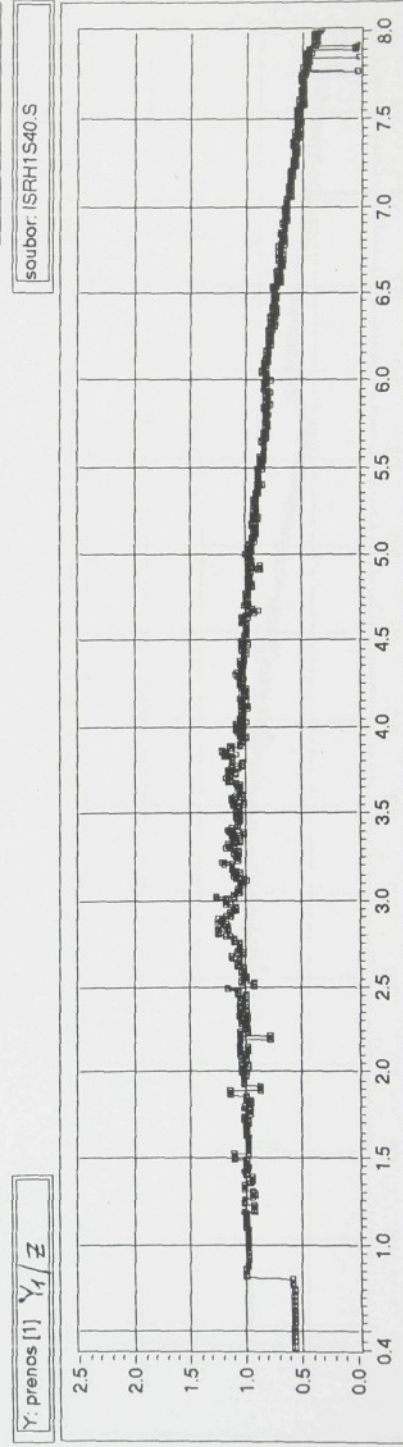
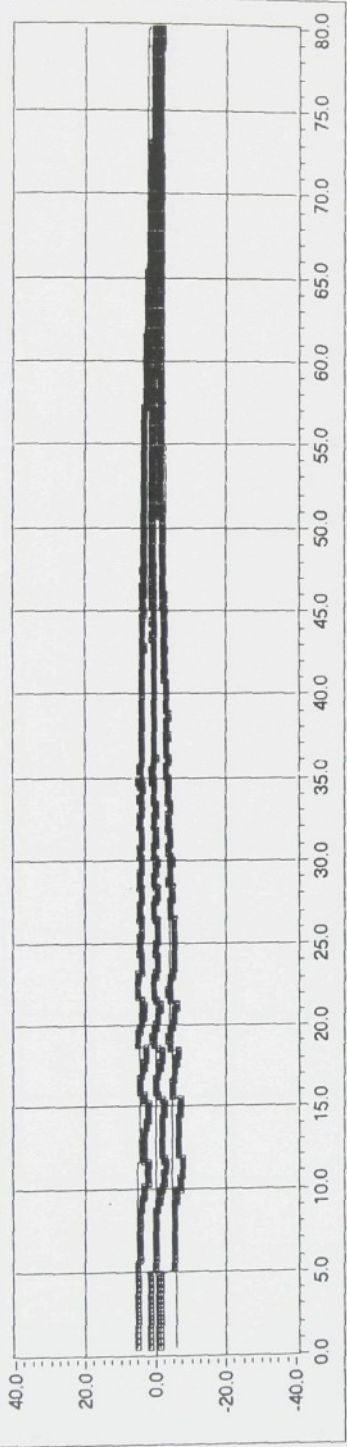
Y: buzení [mm], odzava [mm]

Y: prenos [1] Y_1/Z 

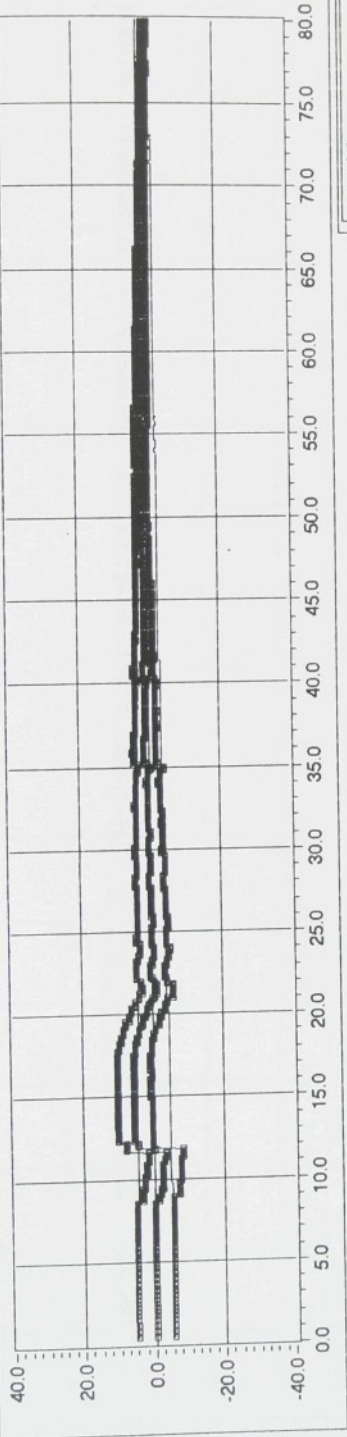
soubor: ISRH1D40.S

soubor: ISRH1D40.S

X: frekvence [Hz]

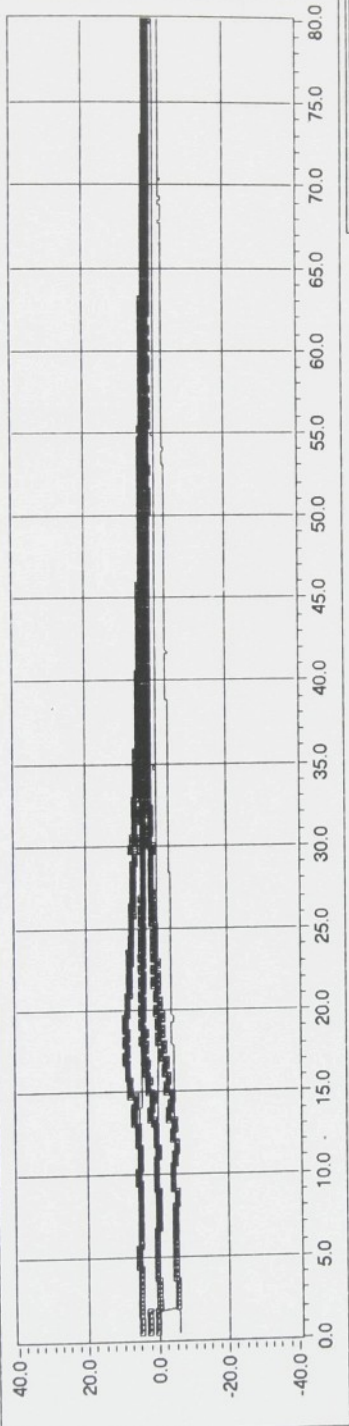


soubor: ISRH1H40.S

Y: prenos [1] \dot{Y}_1/Z

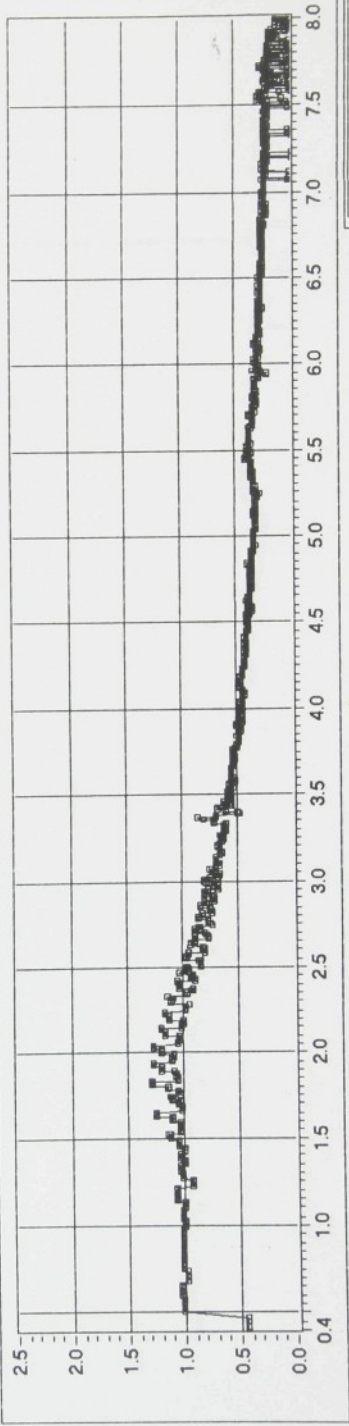
X: frekvence [Hz]

Y: buzení [mm], odezva [mm]



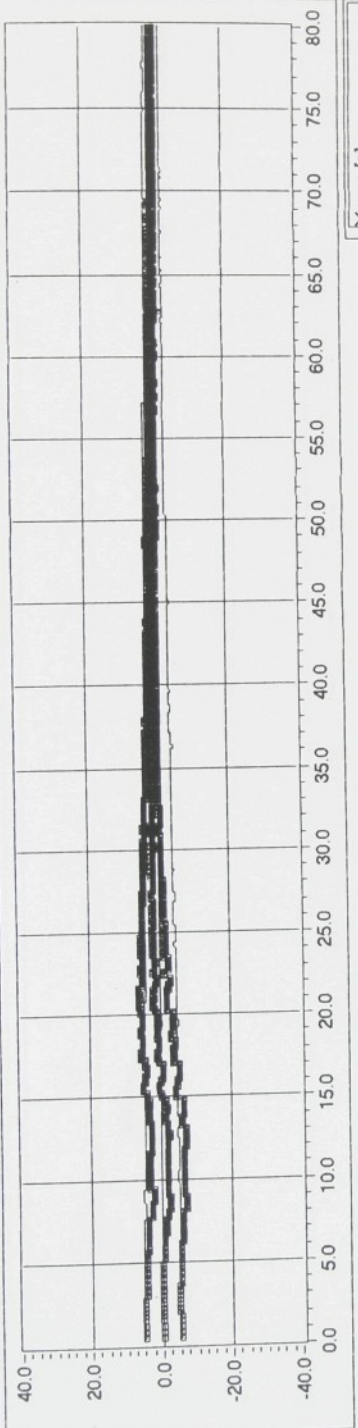
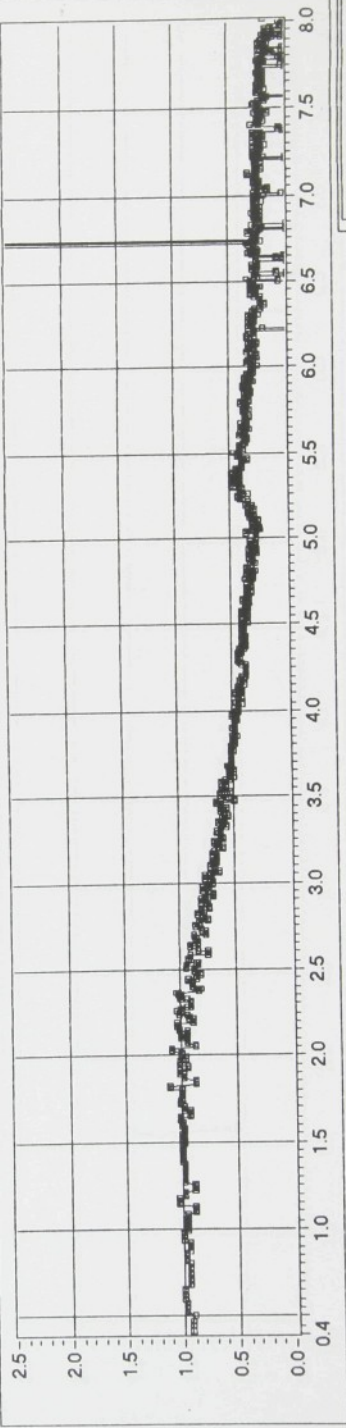
soubor: ISRH1D60.M

Y: přenos [1] γ_1/γ_2



X: frekvence [Hz]

Y: buzení [mm], odzvva [mm]

Y: prenos [1] \dot{Y}_1 / \dot{Z} 

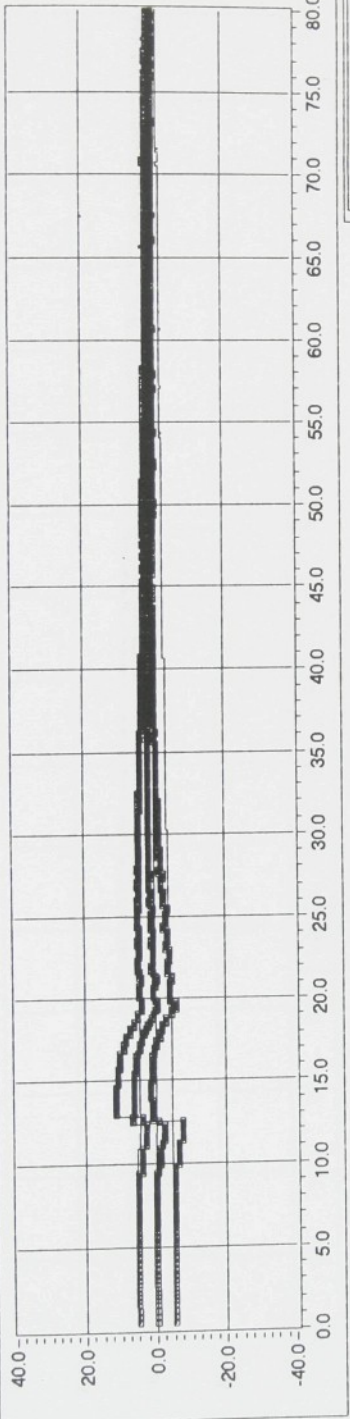
soubor: ISRH1S60.M

X: cas [s]

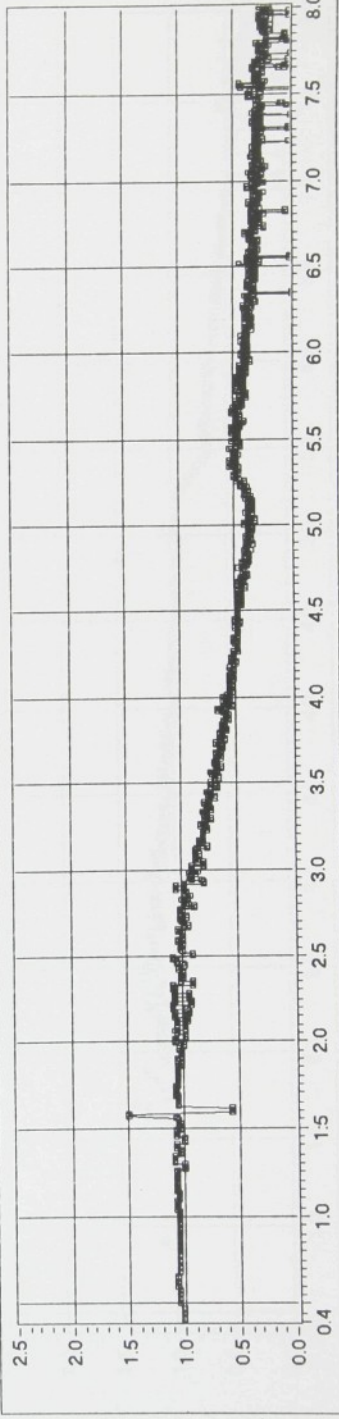
soubor: ISRH1S60.M

X: frekvence [Hz]

Y: buzení [mm], odezva [mm]

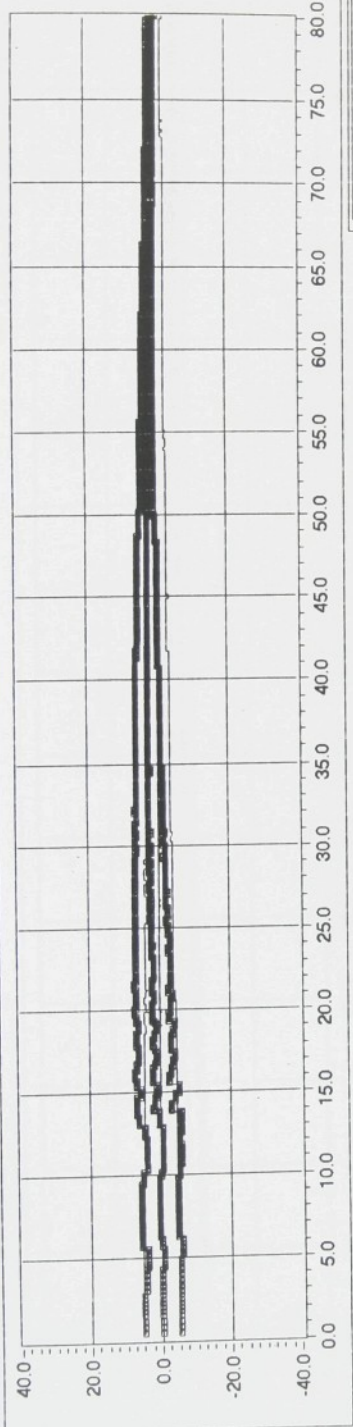
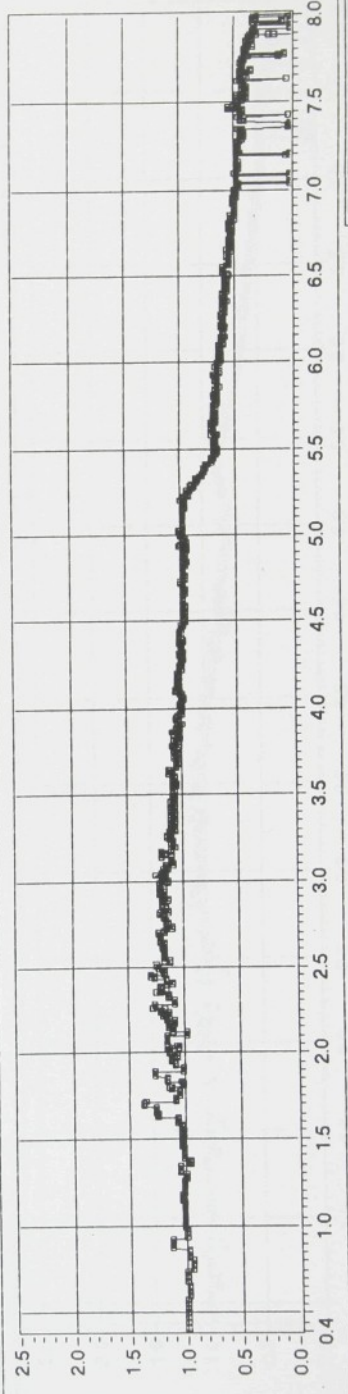


soubor: ISRH1H60.M

Y: přenos [1] \dot{Y}_1 / \dot{Z}_1 

soubor: ISRH1H60.M

Y: buzeni [mm], odcisna [mm]

Y: prenos [1] Y_1/Z 

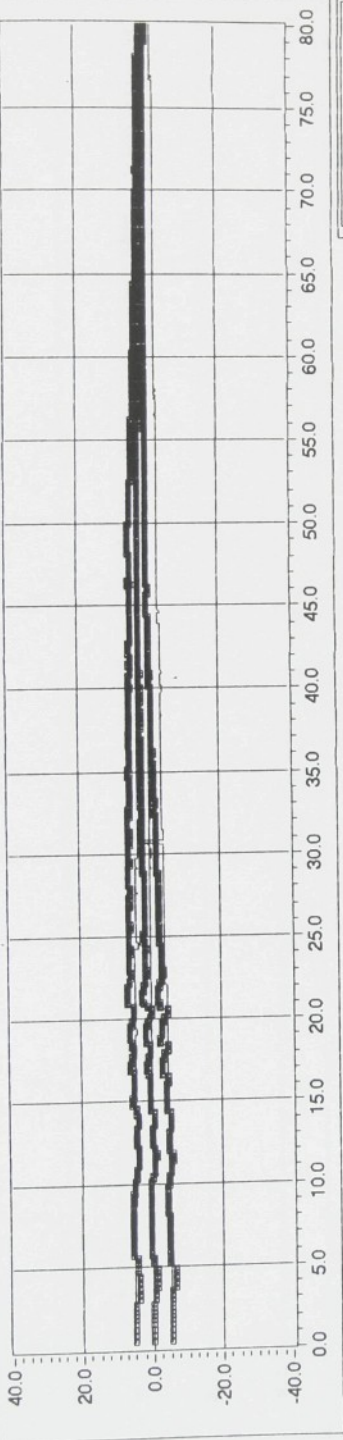
soubor: ISRH1D60.S

X: cas [s]

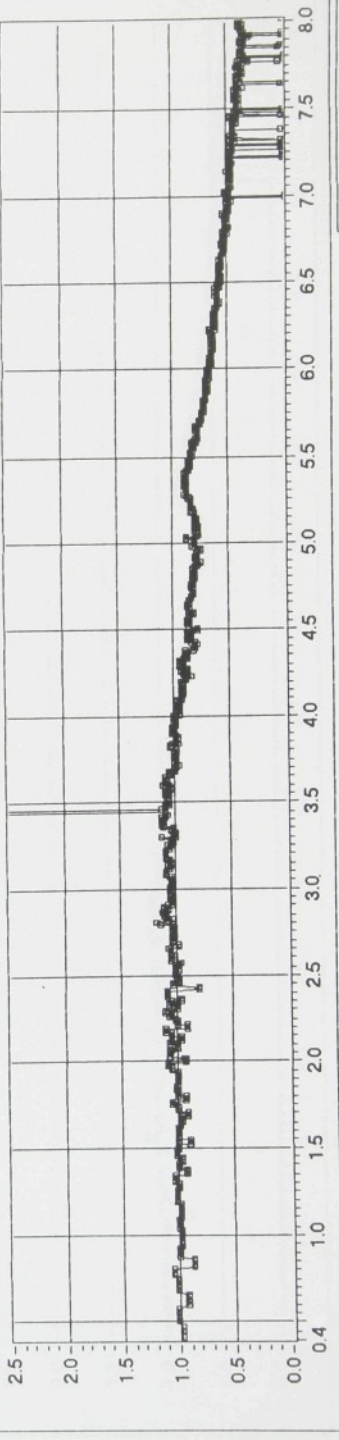
soubor: ISRH1D60.S

X: frekvence [Hz]

Y: buzení [mm], odzvva [mm]

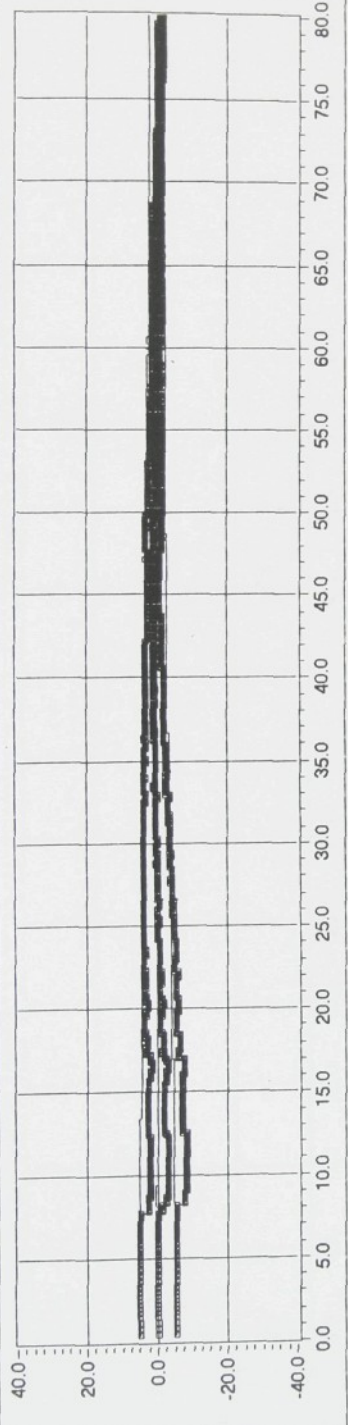


soubor: ISRH1S60.S

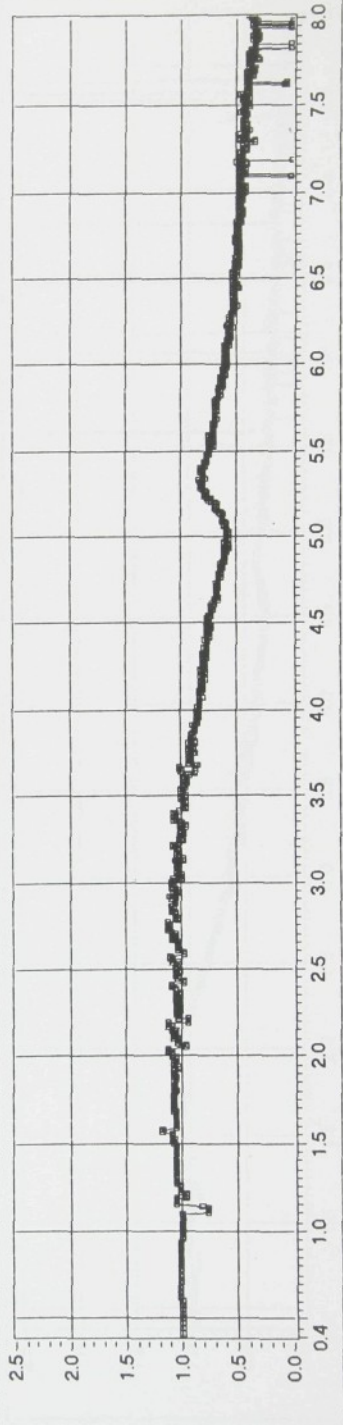
Y: prenos [1] \dot{Y}_1/\dot{Z} 

soubor: ISRH1S60.S

Y: buzení [mm], odezva [mm]

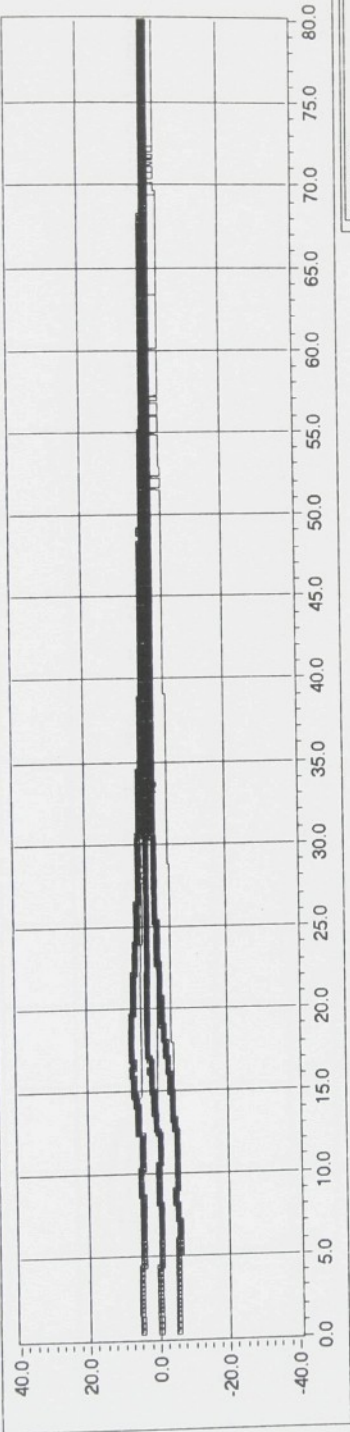


soubor: ISRH1H60.S

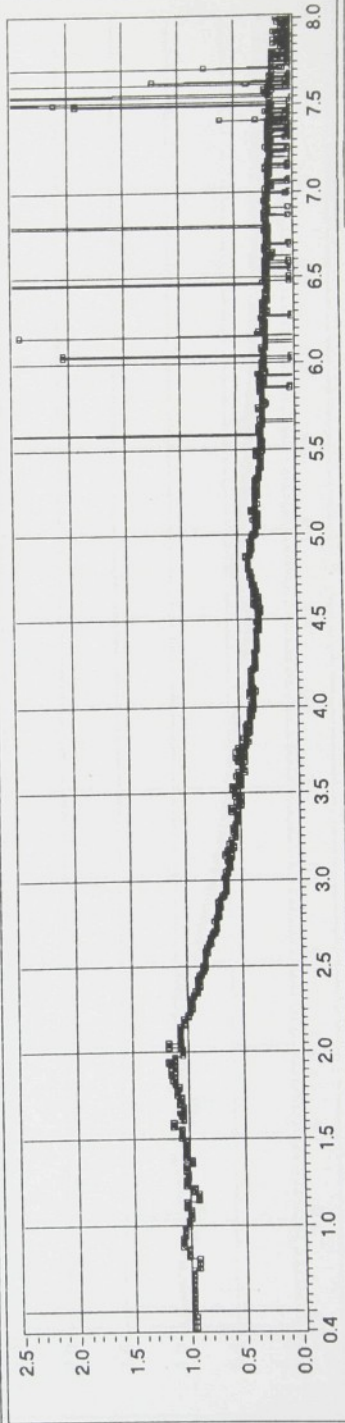
Y: prenos [1] Y_1 / Z 

X: frekvence [Hz]

Y: buzeni [mm], odezva [mm]

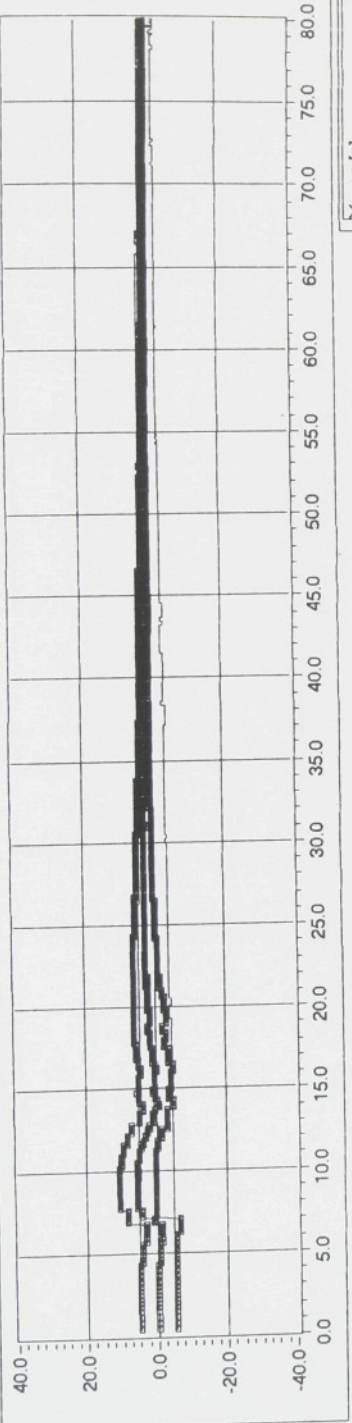


soubor: ISRH1D80 M

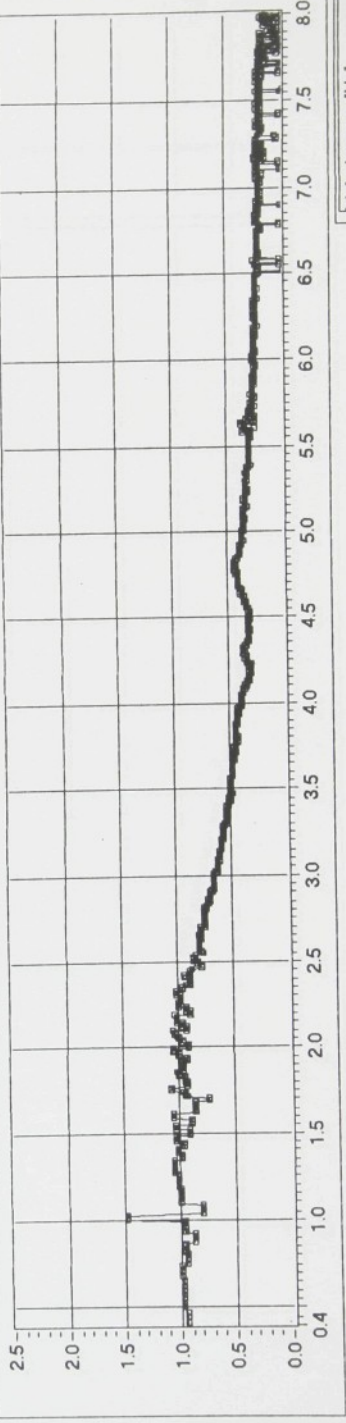
Y: prenos [1] γ_1/z 

soubor: ISRH1D80 M

Y: buzení [mm], odezva [mm]

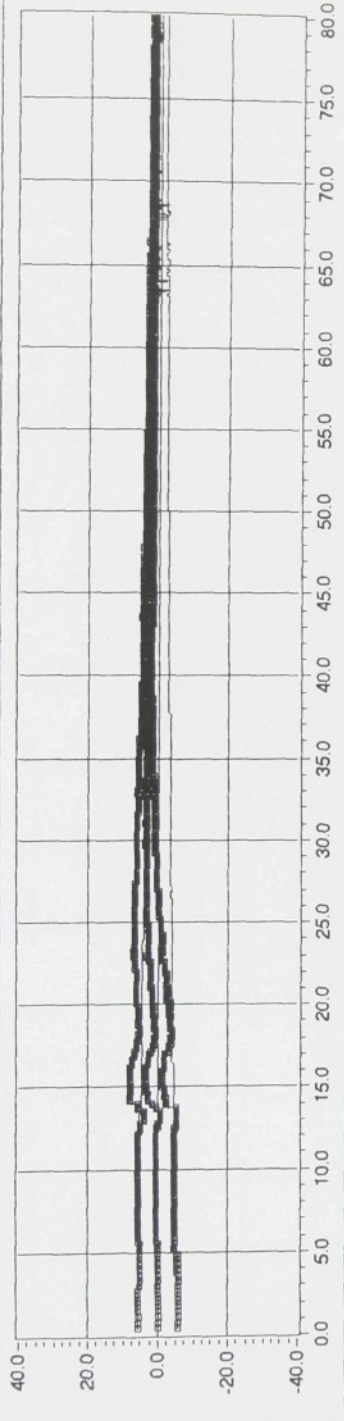


soubor: ISRH1S80.M

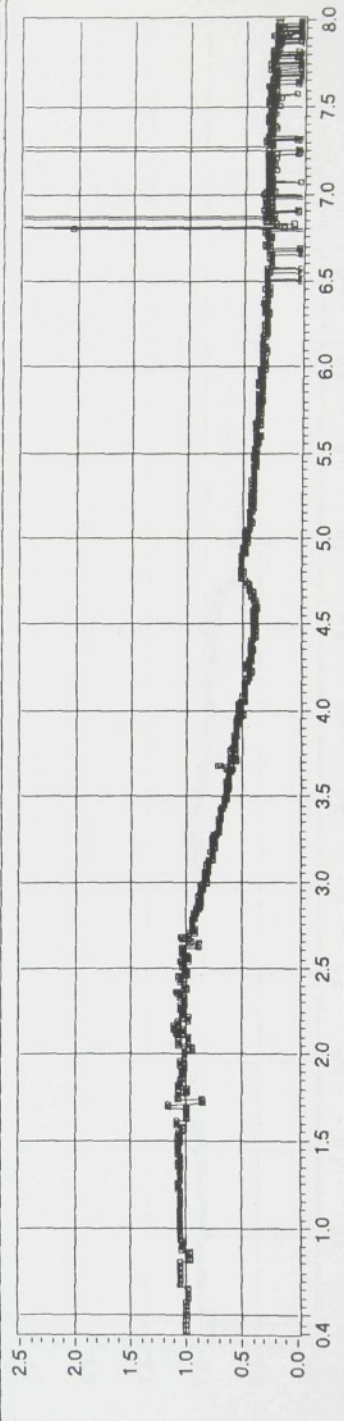
Y: přenos [1] \dot{Y}_1/Z 

soubor: ISRH1S80.M

Y: buzeni [mm], odzvava [mm]

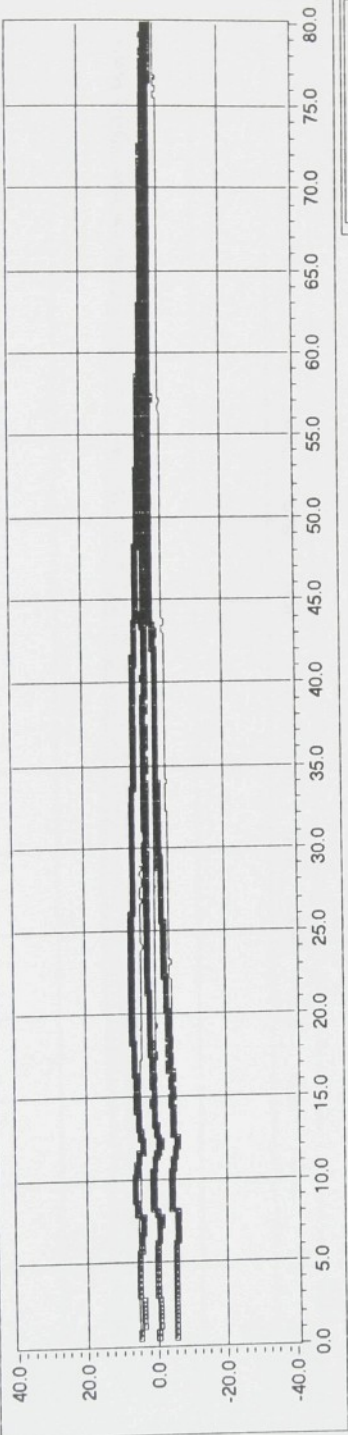
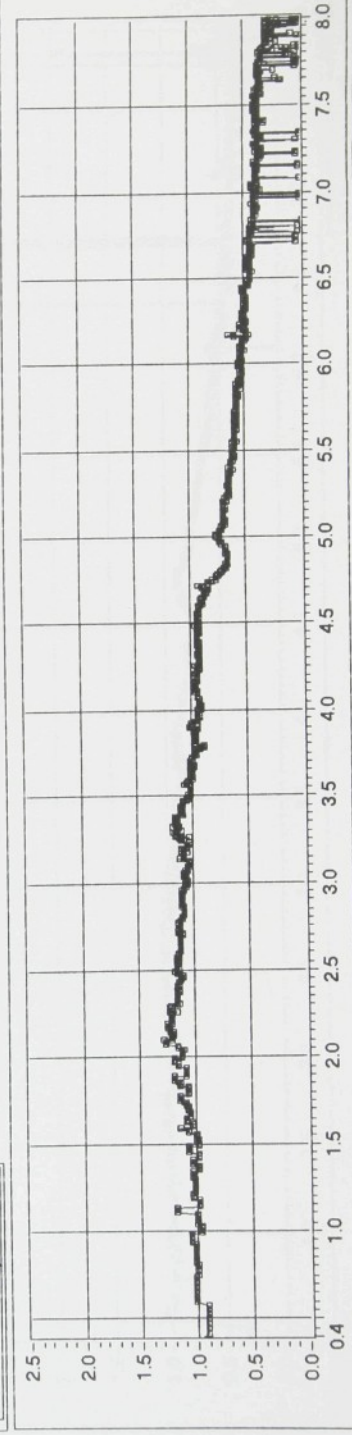


soubor: ISRH1H80.M

Y: prenos [1] Y_1 / Z 

X: frakvence [Hz]

Y: buzení [mm], oddezva [mm]

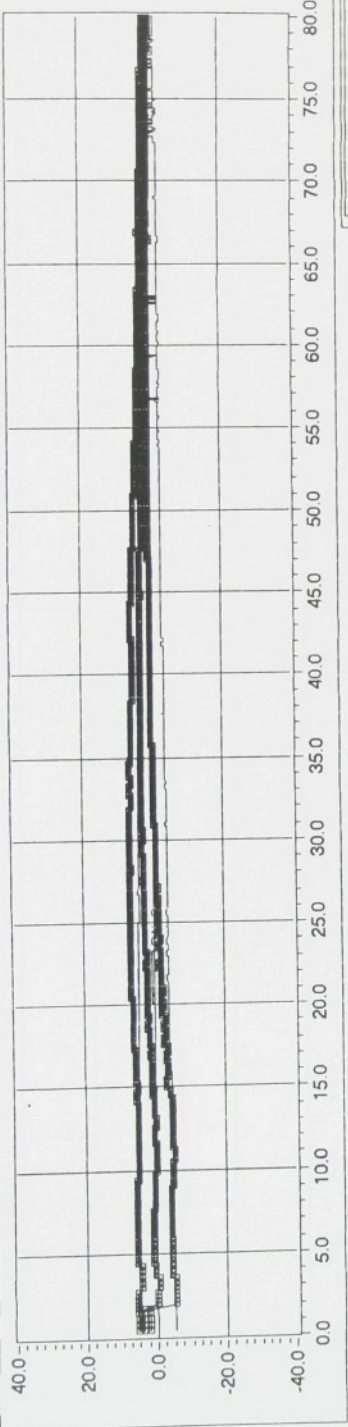
Y: pírenos [1] Y_1/Z 

soubor: ISRH1D80.S

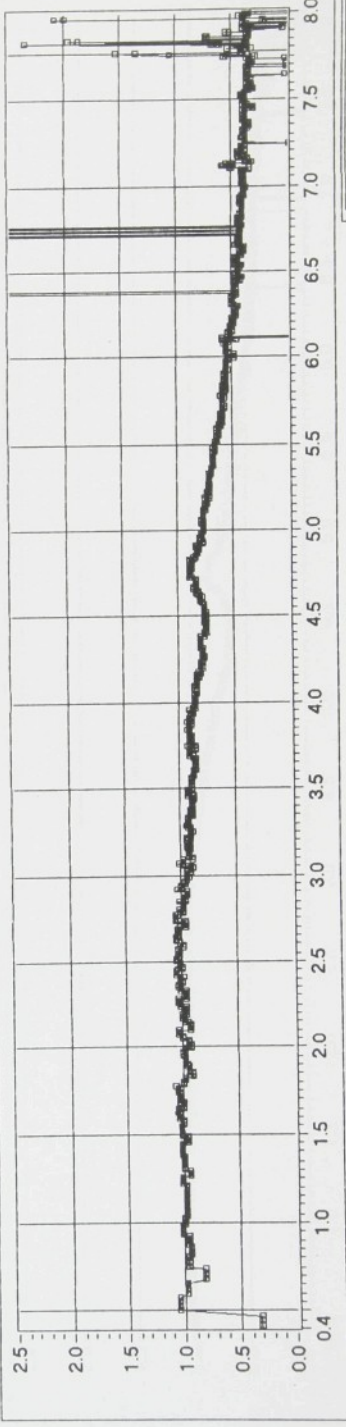
soubor: ISRH1D80.S

X: frekvence [Hz]

Y: buzení [mm], odzvá [mm]



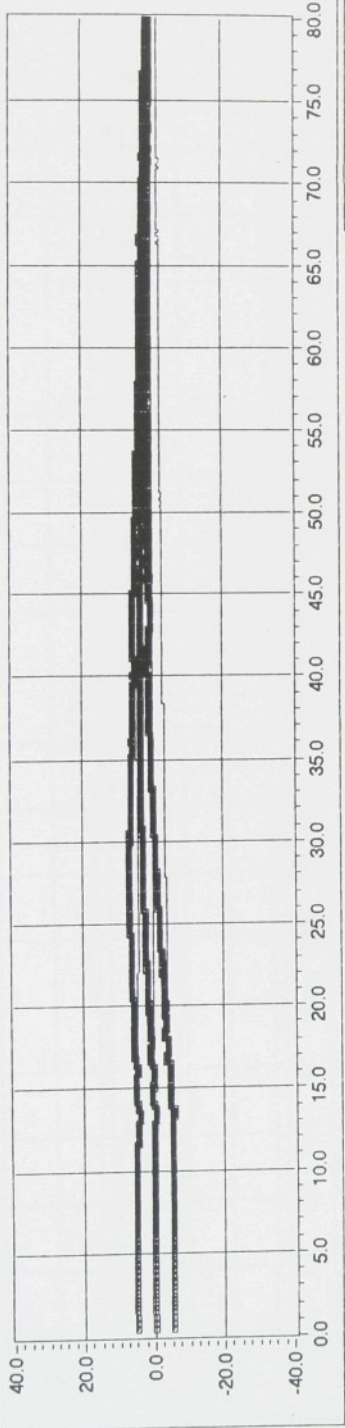
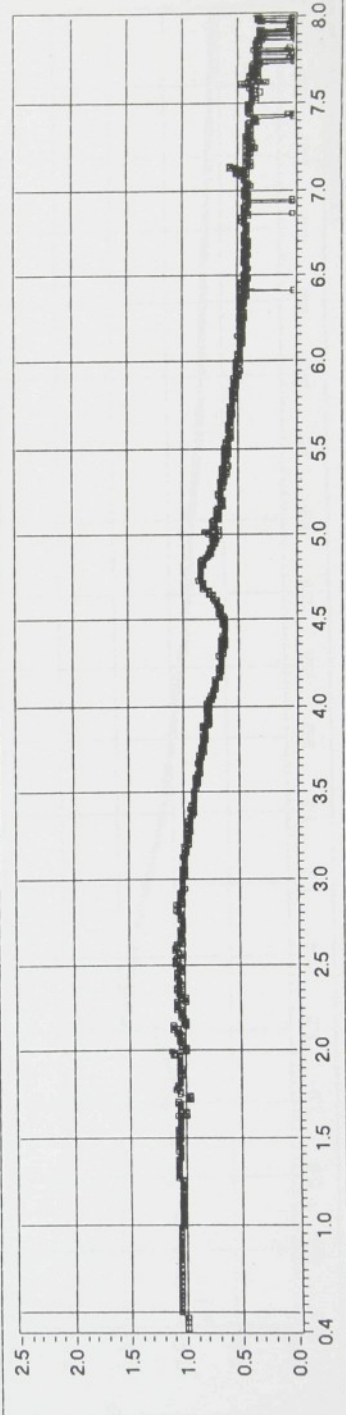
soubor: ISRH1S80.S

Y: prenos [1] Y_1/Z 

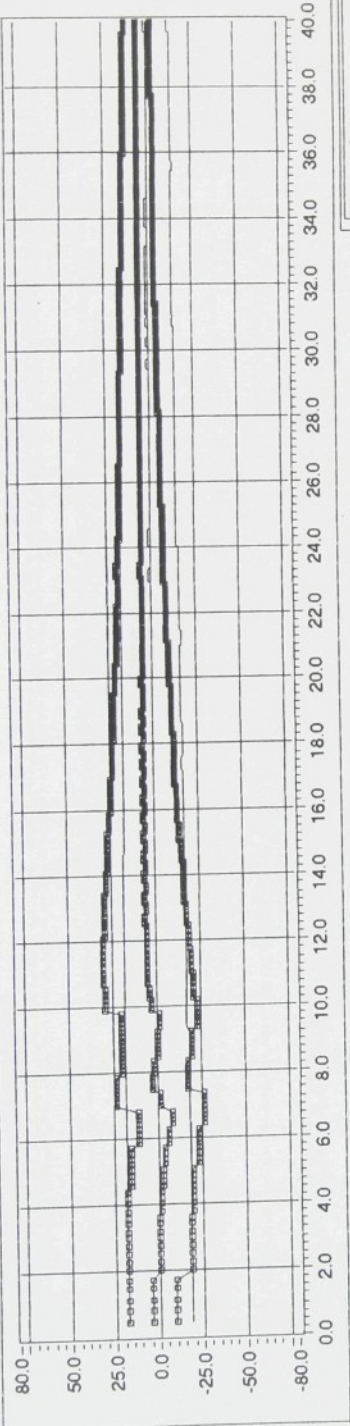
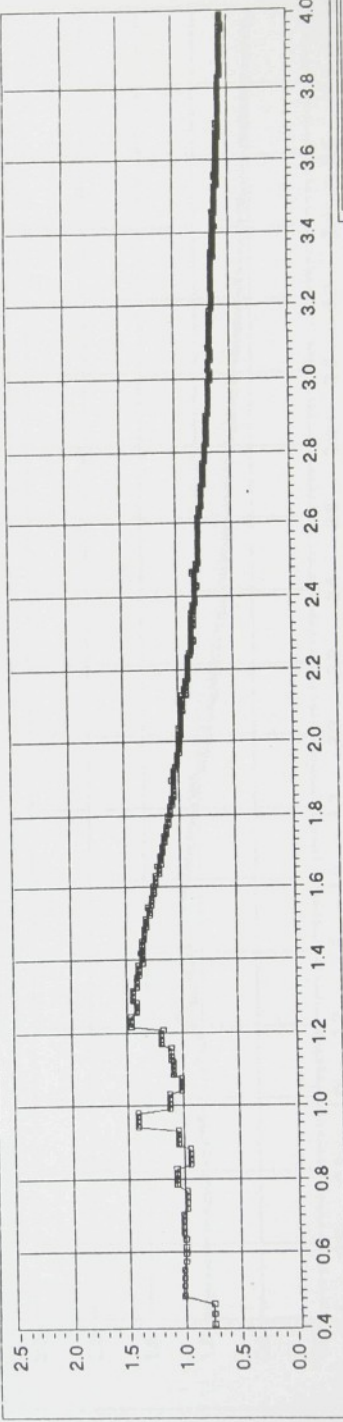
soubor: ISRH1S80.S

X: frekvence [Hz]

Y: buzení [mm], odezva [mm]

Y: přenos [1] γ_1/z 

Y: buzení [mm], odzvza [mm]

Y: prenos [1] \dot{Y}_f / \dot{Z} 

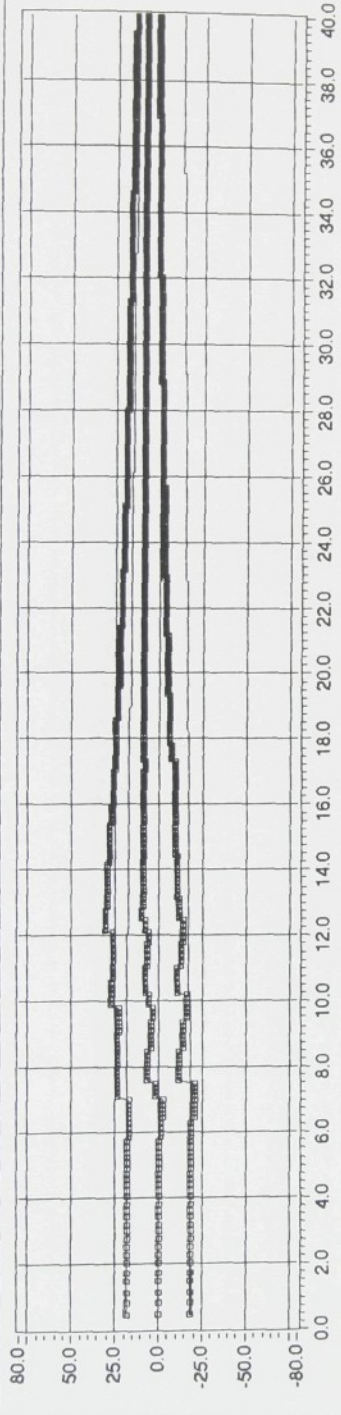
soubor: ISRH2D40.M

X: čas [s]

soubor: ISRH2D40.M

X: frekvence [Hz]

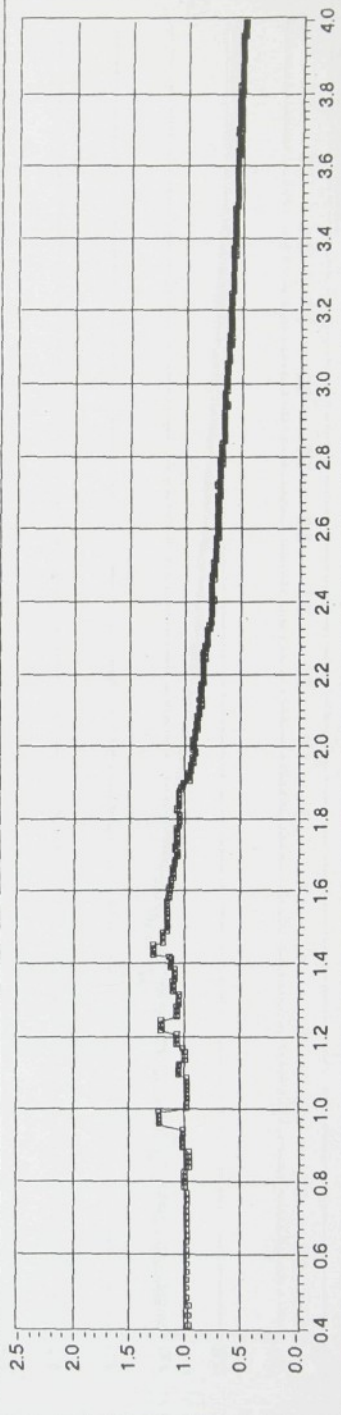
soubor: ISRH2S40.M



soubor: ISRH2S40.M

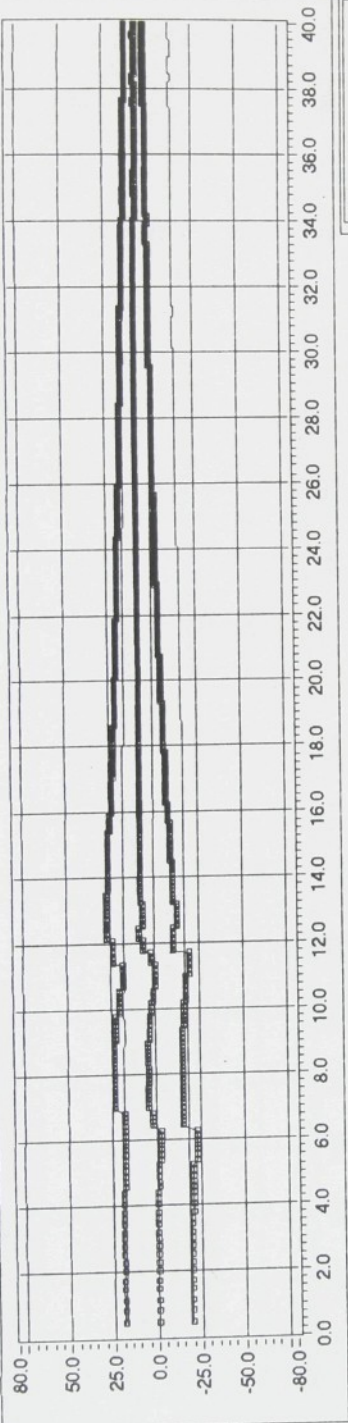
soubor: ISRH2S40.M

Y: prenos [1] Y_1/Z



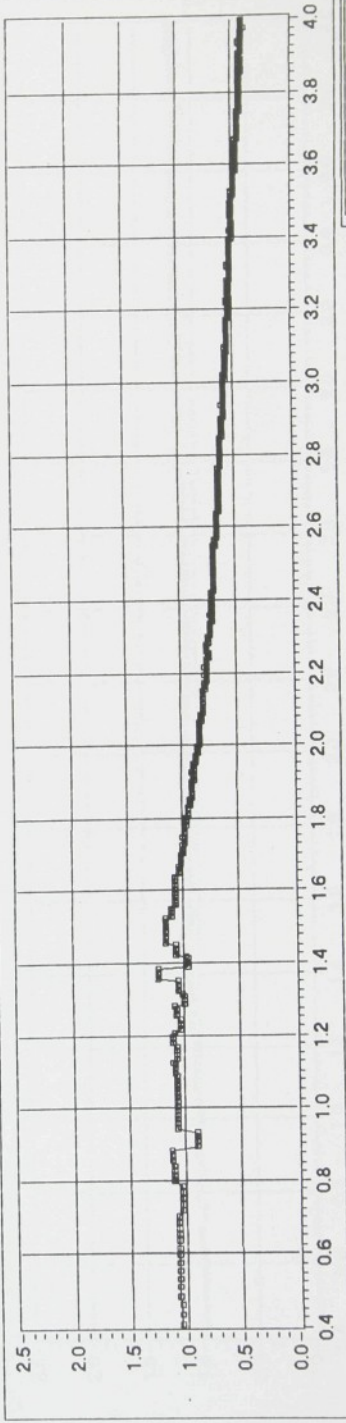
X: frekvence [Hz]

soubor: ISRH2H40.M
Y: buzení [mm], odzvava [mm]



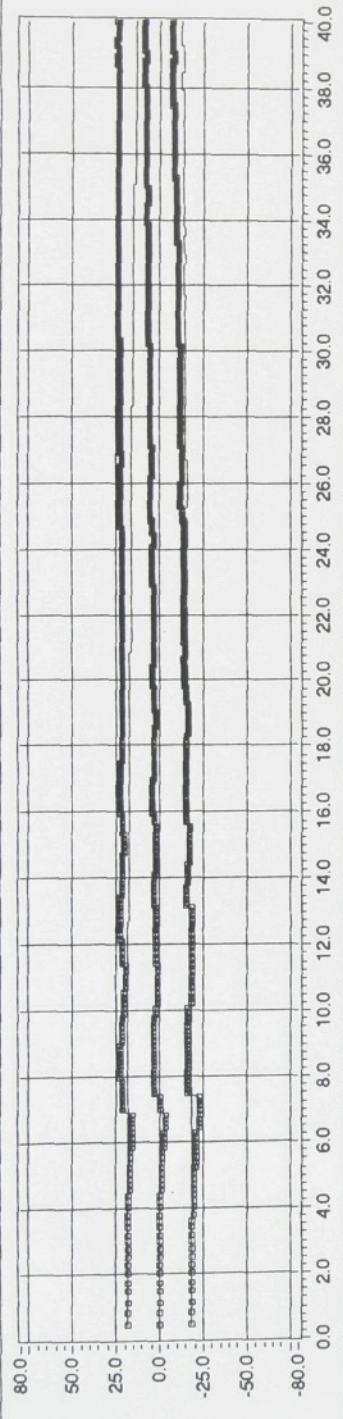
X: cas [s]

soubor: ISRH2H40.M
Y: přenos [1] \dot{Y}_1/\dot{Z}

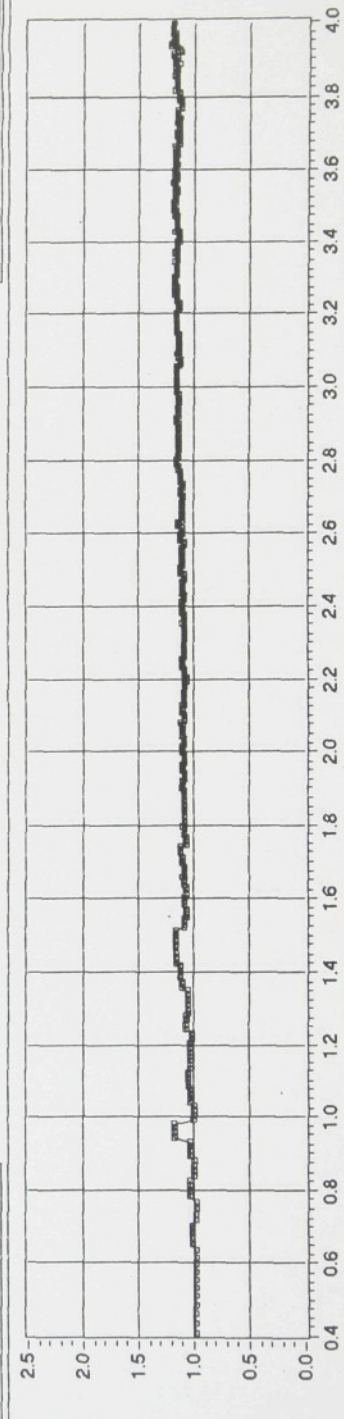


X: frekvence [Hz]

Y: buzení [mm], odezva [mm]

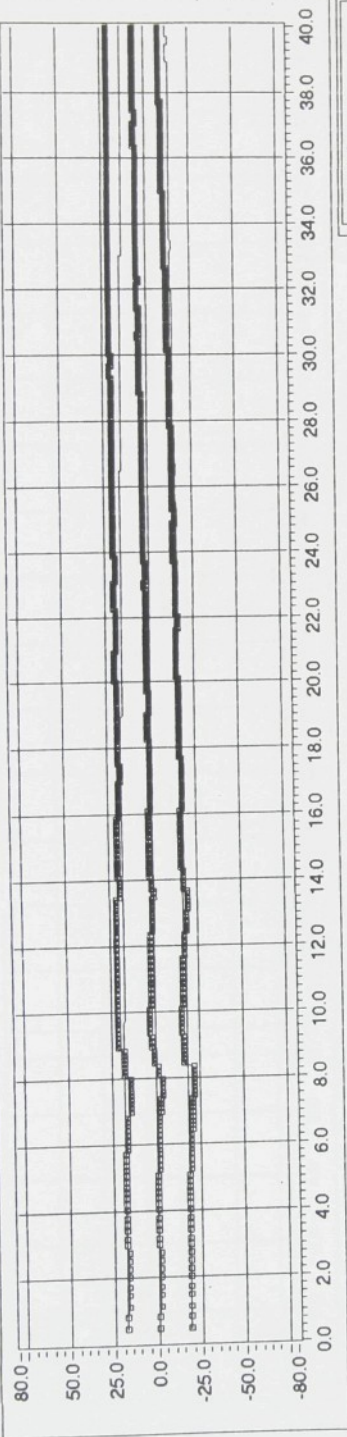


súbor: ISRH2D40.S

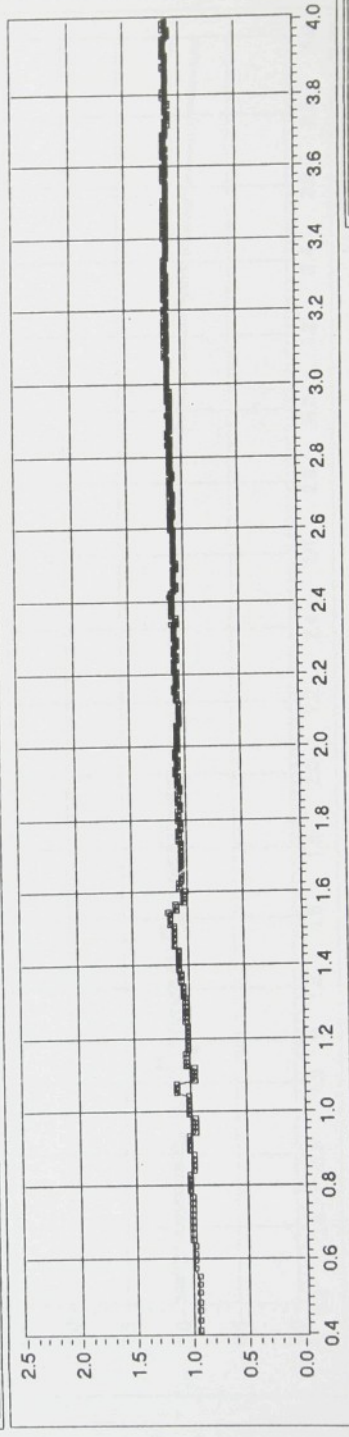
Y: prenos [1] Y_1/Z 

X: frekvencia [Hz]

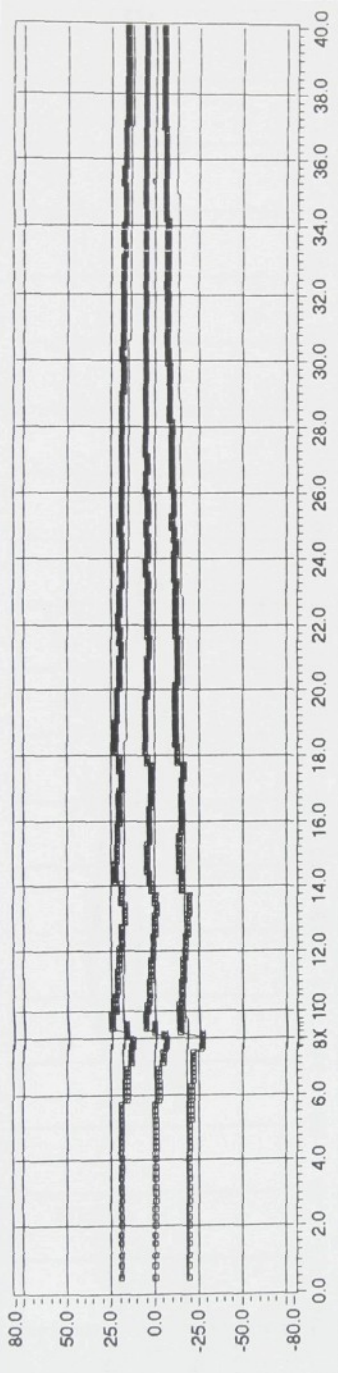
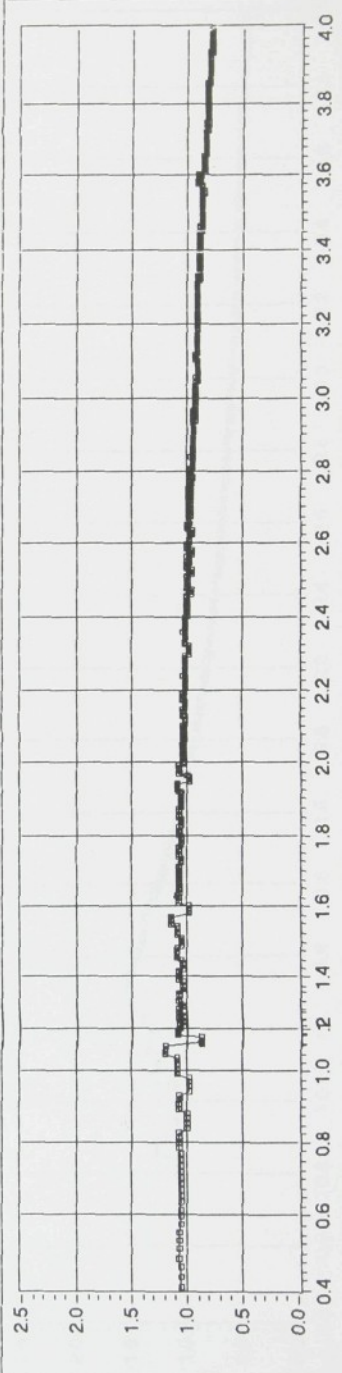
soubor: ISRH2S40 S



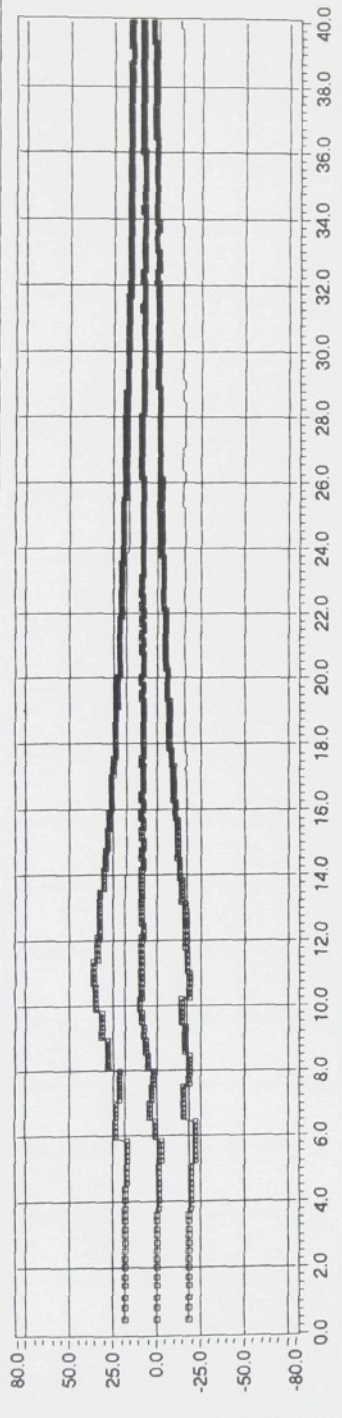
X: čas [s]
soubor: ISRH2S40 S



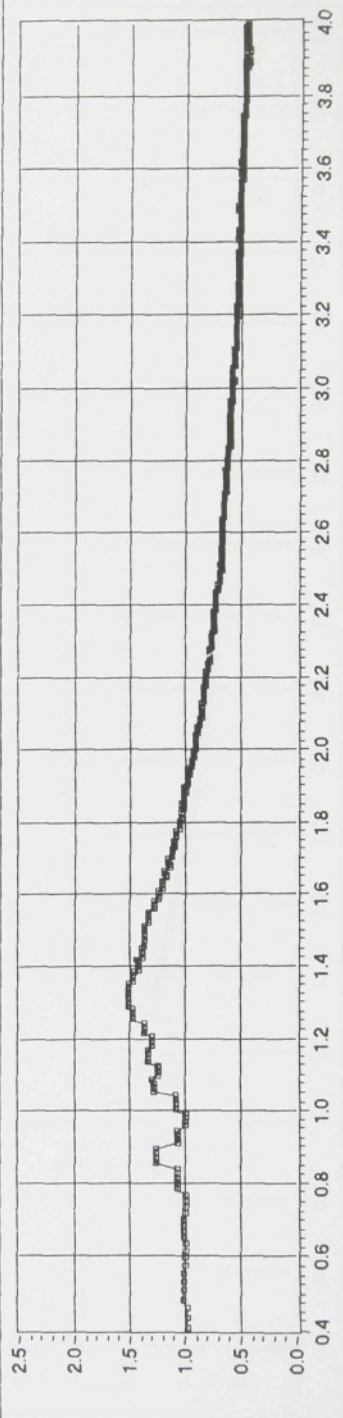
soubor: ISRH2H40 S

Y: přenos [1] Y_1 / Z 

Y: buzeni [mm], odezva [mm]

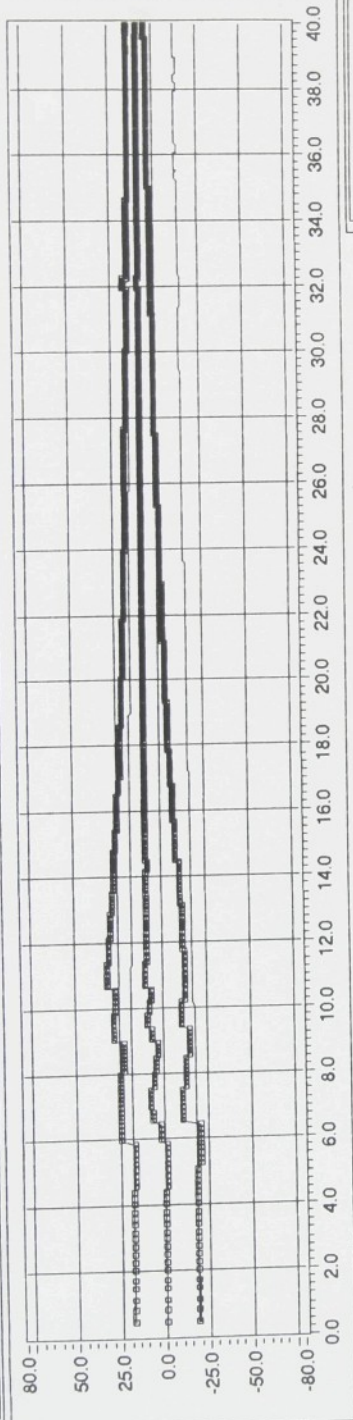


soubor: ISRH2D60.M

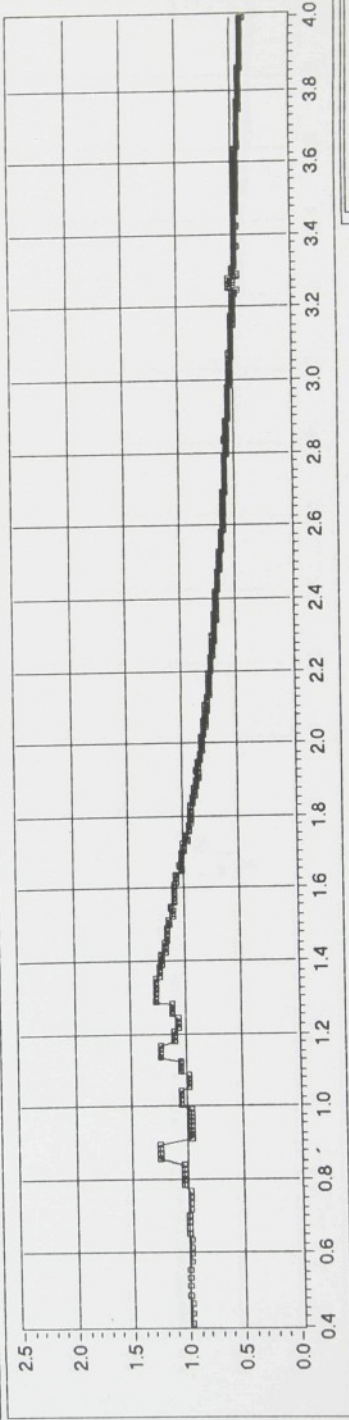
Y: prenos [1] Y_1/Z 

X: frekvencia [Hz]

Y: buzení [mm], odezva [mm]



Y: prenos [1] Y_1/Z



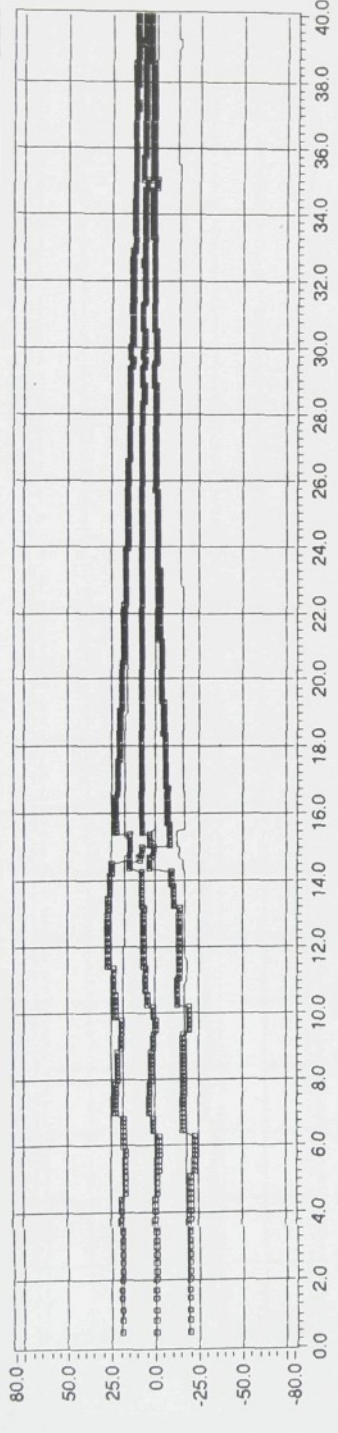
súbor: ISRH2S60.M

X: čas [s]

súbor: ISRH2S60.M

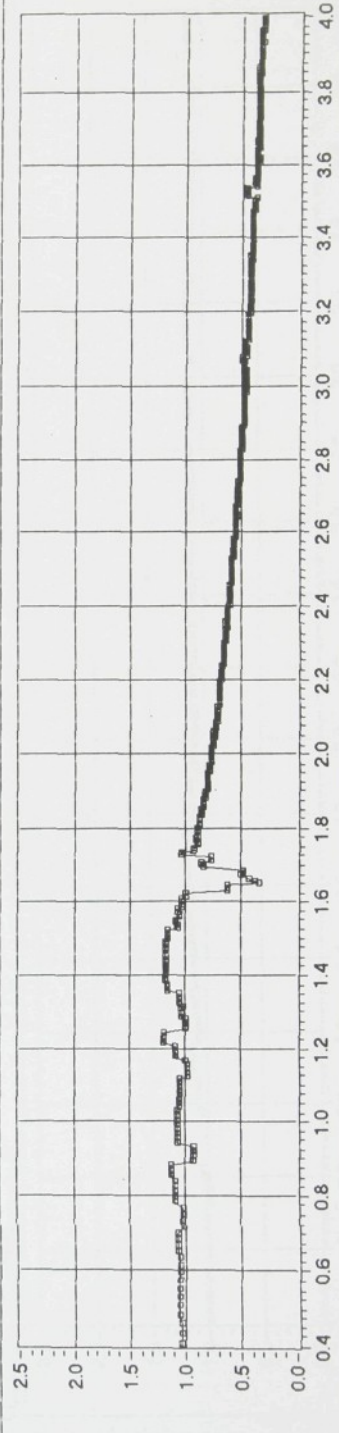
X: frekvencia [Hz]

Y: buseci [mm], odzvna [mm]



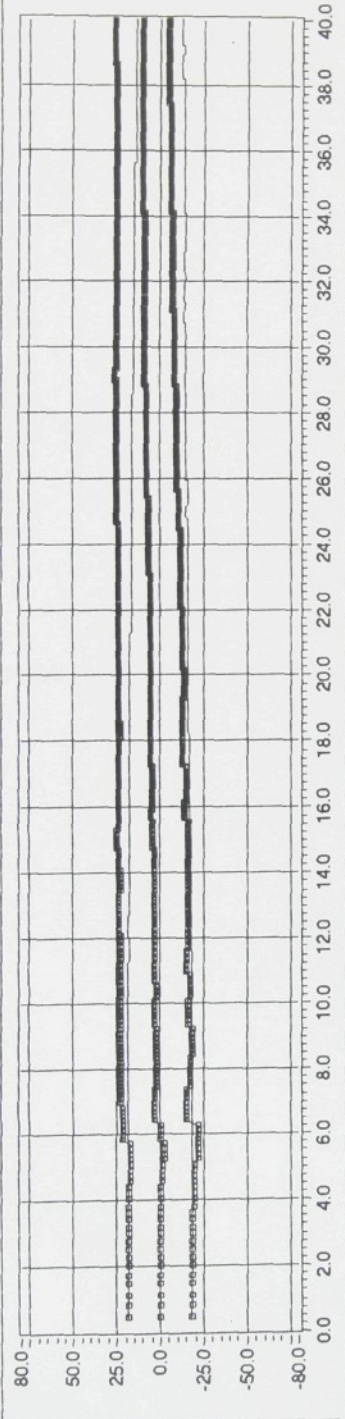
soubor: ISRH2H60.M

Y: prenos [1] Y/Z

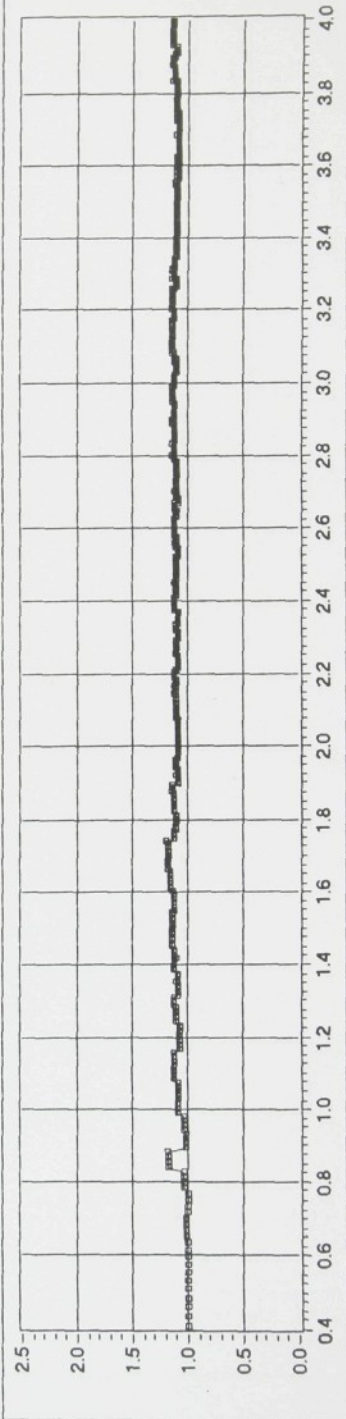


X: frekvence [Hz]

Y: buzení [mm], odzvza [mm]

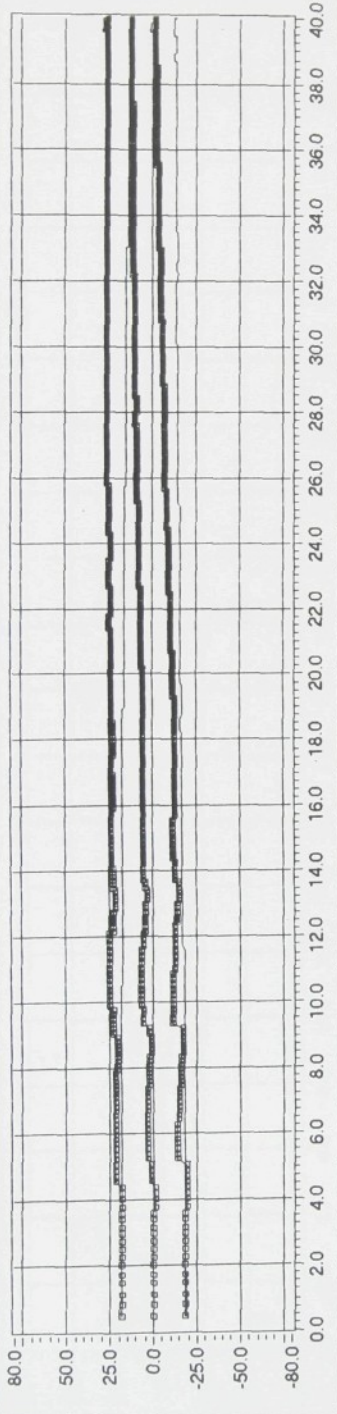


soubor: ISRH2D60.S

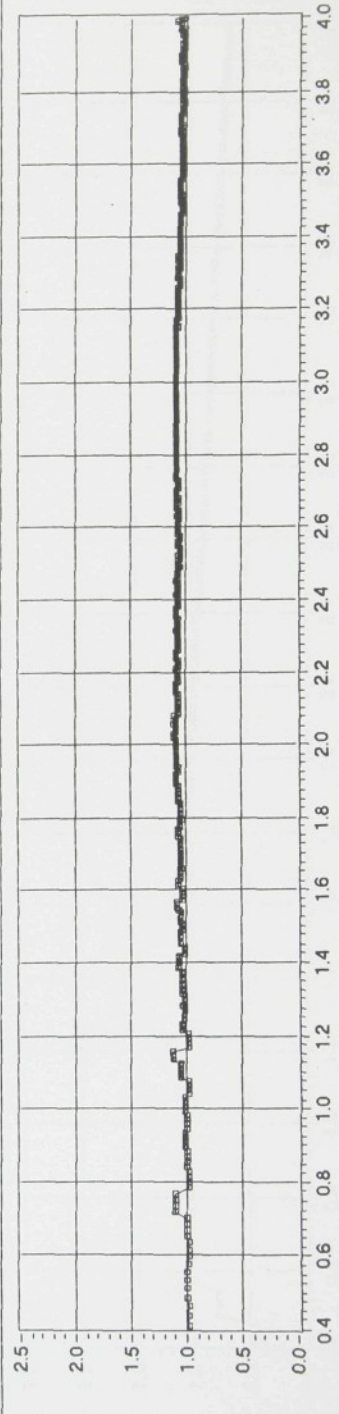
Y: prenos [1] Y_f/Z 

X: frekvence [Hz]

Y: buzení [mm], odzvava [mm]

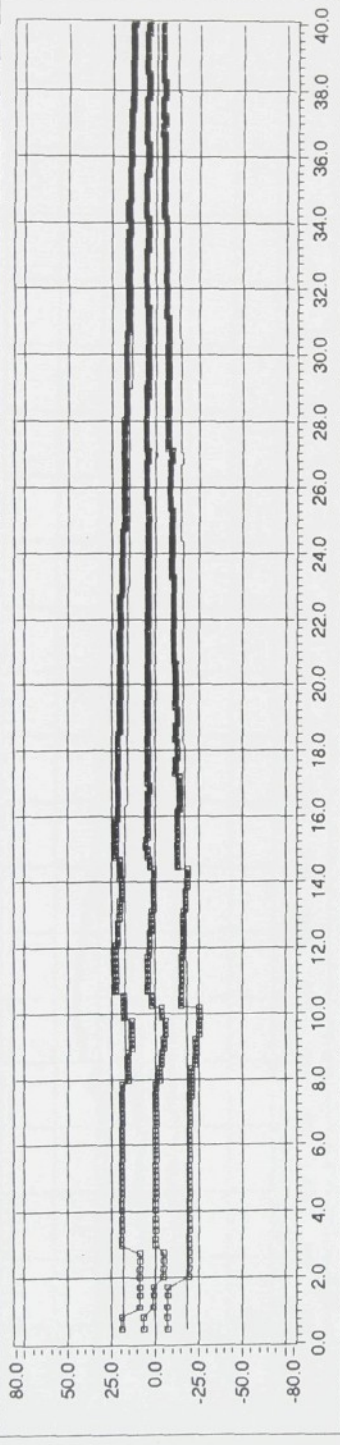


soubor: ISRH2S60.S

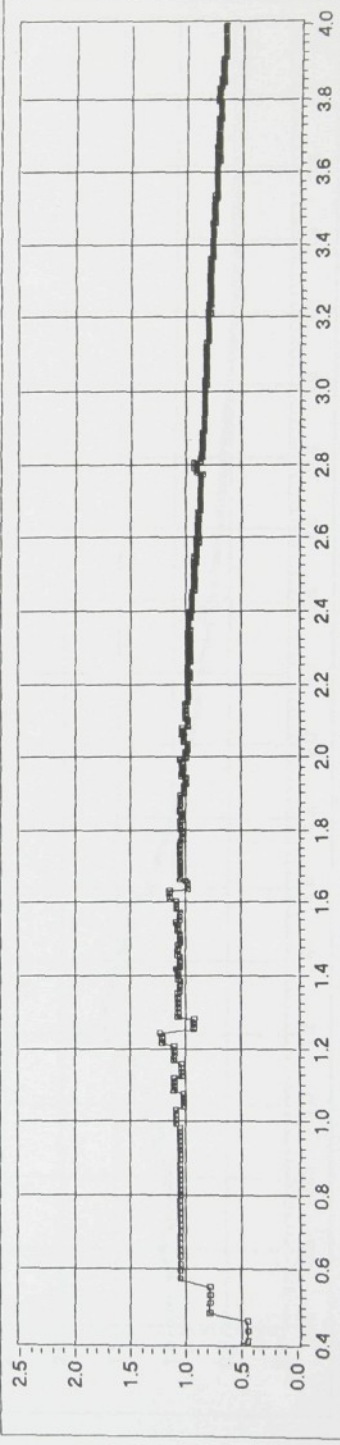
Y: přenos [1] Y_f/Z 

X: frekvence [Hz]

Y. buzeni [mm], odczvya [mm]

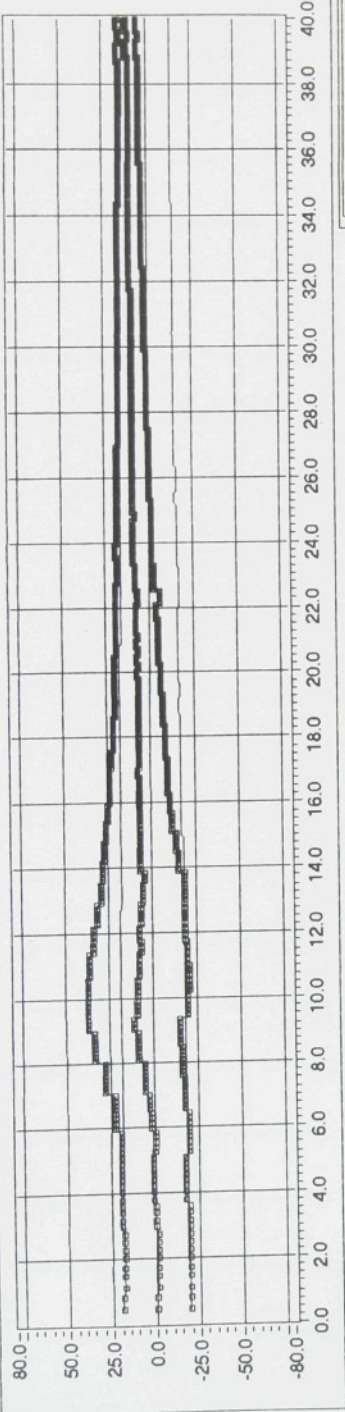
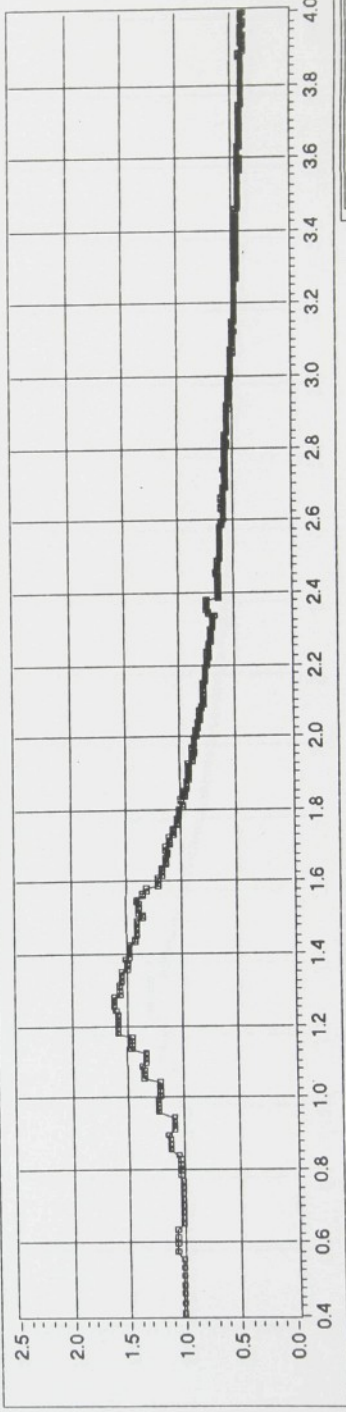


soubor: ISRH2H60 S

Y. prenos [1] Y_1/Z 

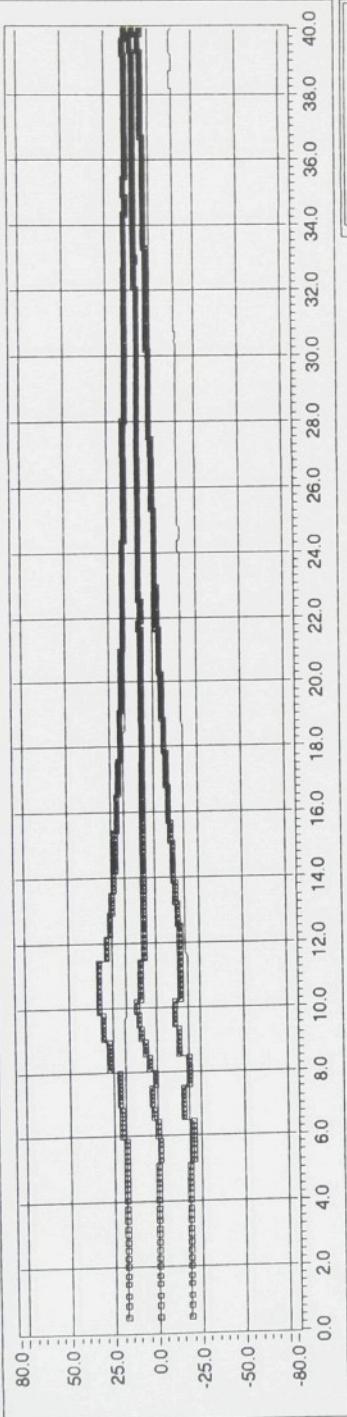
X. frekvence [Hz]

Y: buzení [mm], odezva [mm]

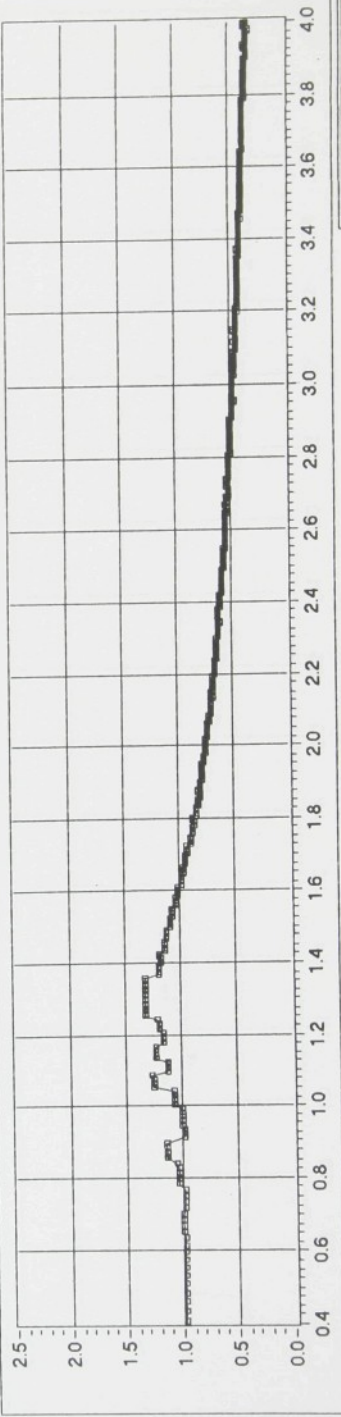
Y: přenos [1] Y_1 / \bar{Z} 

X: frekvence [Hz]

Y: buzení [mm], odzeva [mm]

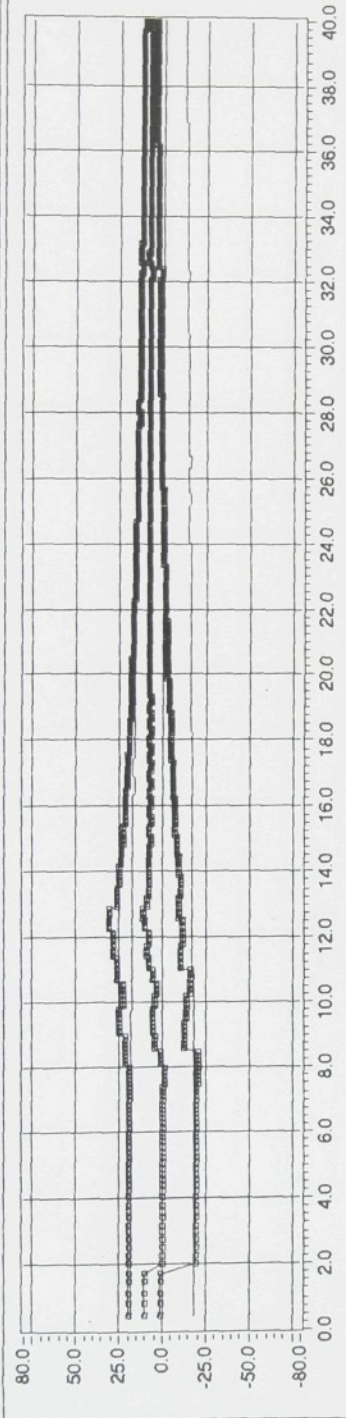


súbor: ISRH2S80.M

Y: prenos [1] \dot{Y}_1/Z 

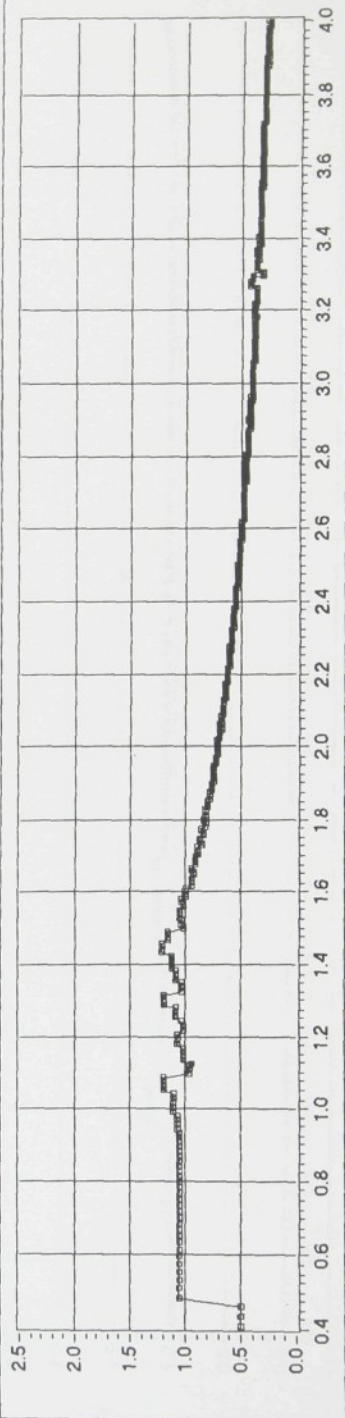
X: frekvencia [Hz]

Y: buzení [mm], odezva [mm]



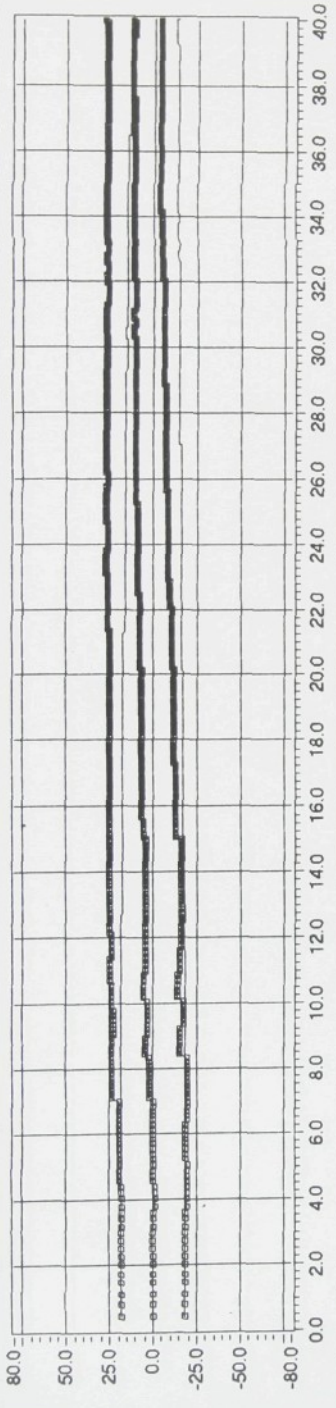
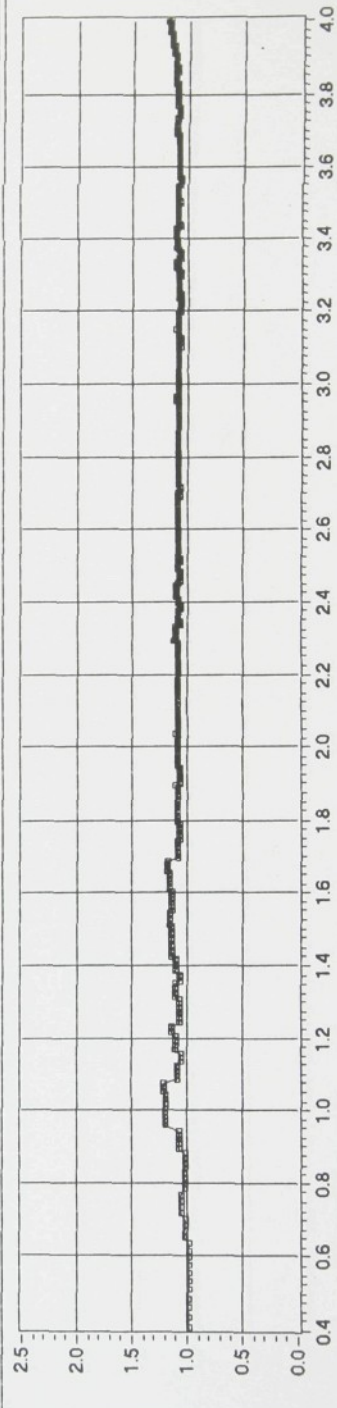
soubor: ISRH2H80.M

Y: přenos [1] Y_1/Z



X: frekvence [Hz]

Y: buzení [mm], odezva [mm]

Y: přenos [1] Y_1/Z 

X: frekvence [Hz]